



IMT Nord Europe
École Mines-Télécom
IMT-Université de Lille

Niveau CI1

Résistance des Matériaux (RdM)

Intervenant:
Agnès ZAMBON

AU: 2022-2023

Plan de la séance 1

- 1. INTRODUCTION AU DIMENSIONNEMENT DE PIÈCES ET DE STRUCTURES**
- 2. NOTION DE CONTRAINTE**
- 3. NOTION DE DÉFORMATION**
- 4. PROPRIÉTÉS MÉCANIQUES D'UN MATÉRIAU**
- 5. LOI DE COMPORTEMENT D'UN MATÉRIAU**

1. INTRODUCTION AU DIMENSIONNEMENT DE PIÈCES/STRUCTURES

3

1.2 A travers l'histoire (approches empiriques)

Les systèmes mécaniques sont constitués de pièces élémentaires qui peuvent être classées en **trois familles**, selon leurs **proportions géométriques & propriétés mécaniques**

I. Poutres

1 dimension \gg 2 autres



Stonehenge (UK)

Araire



Trébuchet



II. Plaques et Coques

1 dimension \ll 2 autres



Outils en céramique

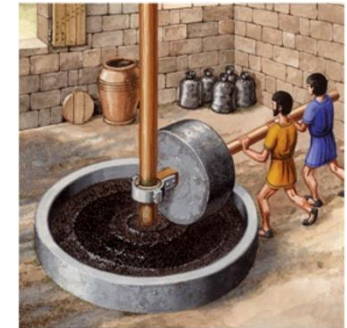
Armures



Coques de bateaux

III. Pièces volumiques

Sans dimension privilégiée



Presses d'huile



Boules de démolition

1. INTRODUCTION AU DIMENSIONNEMENT DE PIÈCES/STRUCTURES

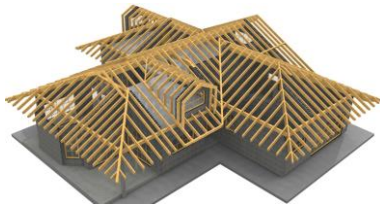
4

1.2 De nos jours: Approches basées sur la MMC

L'innovation de structures en ingénierie fait appel à des **modèles de dimensionnement** de plus en plus performants permettant de **prédire** avec précision le **comportement** mécanique aux conditions de service (solllicitations, stabilité géométrique, ...)

Poutres

1 dimension \gg 2 autres



Bâtiment



Charpentes et Plateformes



Radiotélescope
(CHIME)

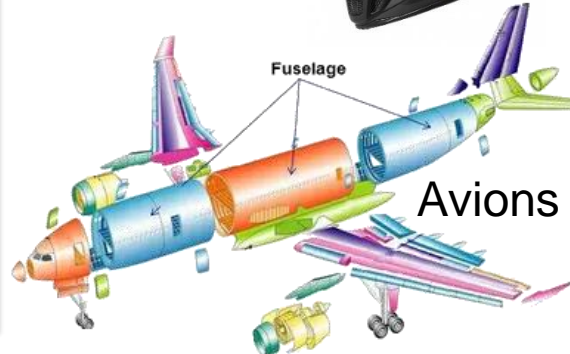
Plaques et Coques

1 dimension \ll 2 autres



Tôles métalliques

Casques
composites



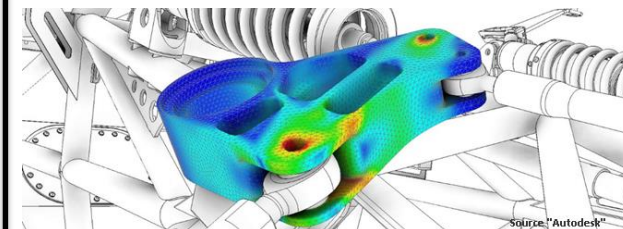
"Pièces volumiques"

Sans dimension privilégiée



Briseurs de vagues

Têtes de forage



Pièces automobiles

1. INTRODUCTION AU DIMENSIONNEMENT DE PIÈCES/STRUCTURES

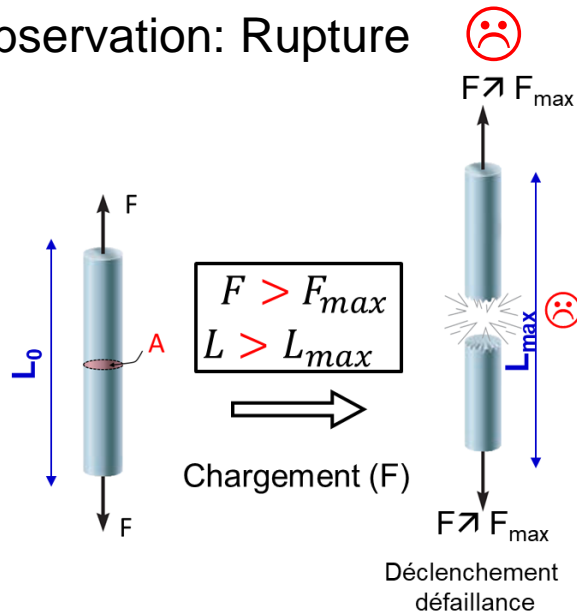
5

1.3 Sécurité et aptitude au service

- Toute structure soumise à un chargement externe "exagéré" est sujette à des **mécanismes de déformation** ou/et des **mécanismes de défaillance**, incompatibles avec son usage .
- Pour garantir son aptitude au service et éviter les accidents, **des critères de résistance** portant sur les contraintes sont respectés dès la phase de conception.

❑ Exemple: le cas d'une sollicitation de traction uni-axiale

- Observation: Rupture



- ❑ Critères usuels de résistance: 😊

- **Critère en contrainte maximale** (σ_{Ultime})

$$\sigma (= \frac{F}{A}) < \sigma_{Ultime}$$

- Critère en déplacement maximal (L_{max})

$$L < L_{max}$$

σ : contrainte mécanique [$MPa = \frac{N}{mm^2}$]

F: Force mécanique [$N = kg \times m/s^2$]

A: surface de la section [m^2]

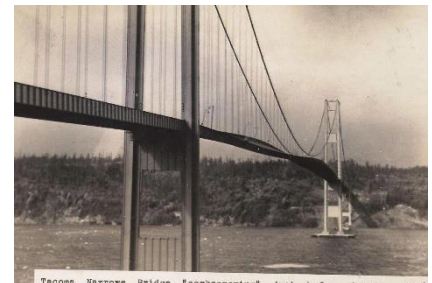
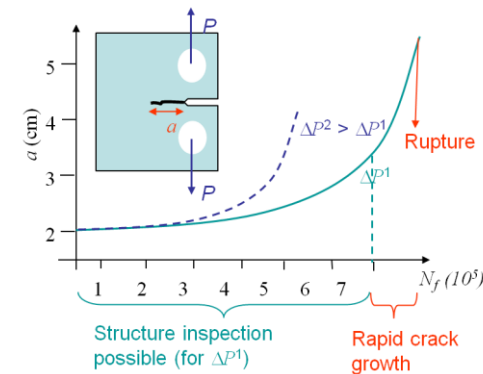
1. INTRODUCTION AU DIMENSIONNEMENT DE PIÈCES/STRUCTURES

6

1.3 Sécurité et aptitude au service (Complément de lecture)

❑ Autres critères usuels (suite)

- D'autres phénomènes peuvent être à l'origine de mécanismes de défaillance
- **Instabilité par flambement:** certains éléments élancés chargés en compression, peuvent subir, pour une valeur critique de la charge, un changement brutal de forme (apparition d'une courbure) conduisant à sa ruine.
- **Rupture par fatigue:** des chargements répétitifs peuvent engendrer au sein du matériau un endommagement cumulatif qui conduit au bout d'un temps lié au chargement à une rupture.
- **Rupture par fissuration:** Sous conditions de sollicitation, une fissure peut se propager dans un matériau et conduire à une rupture brutale « catastrophique »;
- **Instabilité dynamique :** sous sollicitation cyclique, un phénomène de vibrations s'instaure et s'amplifie jusqu'à rupture des éléments.



DIMENSIONNEMENT DE PIÈCES & DE STRUCTURES: FAMILLE DES POUTRES

Poutres

1 dimension >> 2 autres

1. INTRODUCTION AU DIMENSIONNEMENT DES POUTRES

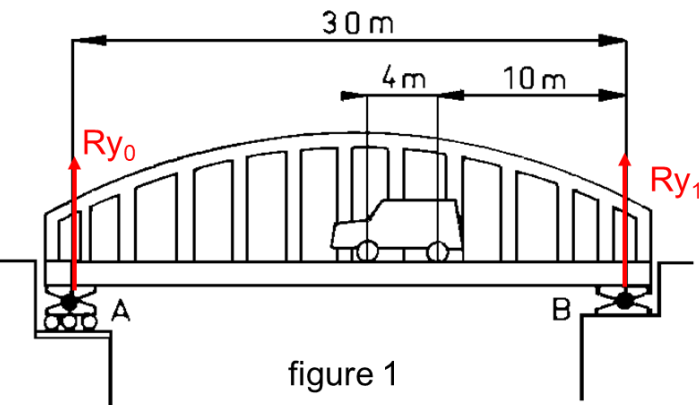
8

❑ Comment vérifier les critères usuels pour les poutres ?

Scénario: « Soit une automobile de 1200 Kg qui se déplace sur un pont de 30 m de longueur et 20 tonnes de masse (figure 1). Le véhicule s'arrête brusquement à 10 m du point B »

❑ Problème de RdM

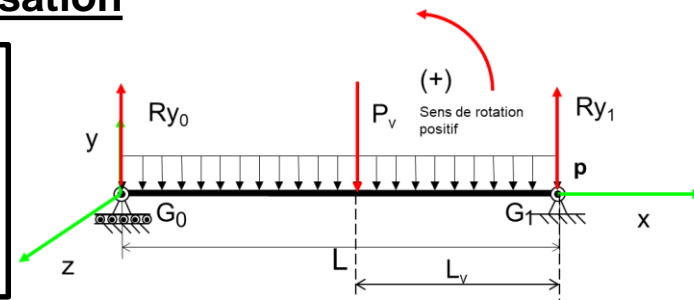
Le pont risque-t-il de fléchir sous l'action du poids du véhicule ?



❑ La résolution par la RdM se fait en **trois étapes**

I. Etape 1: la schématisation

Composant (poutre ?)
Schématisation
Liaisons/sollicitations
Hypothèses de la RdM



II. Etape 2: Résolution du problème statique : recherche actions "passives"

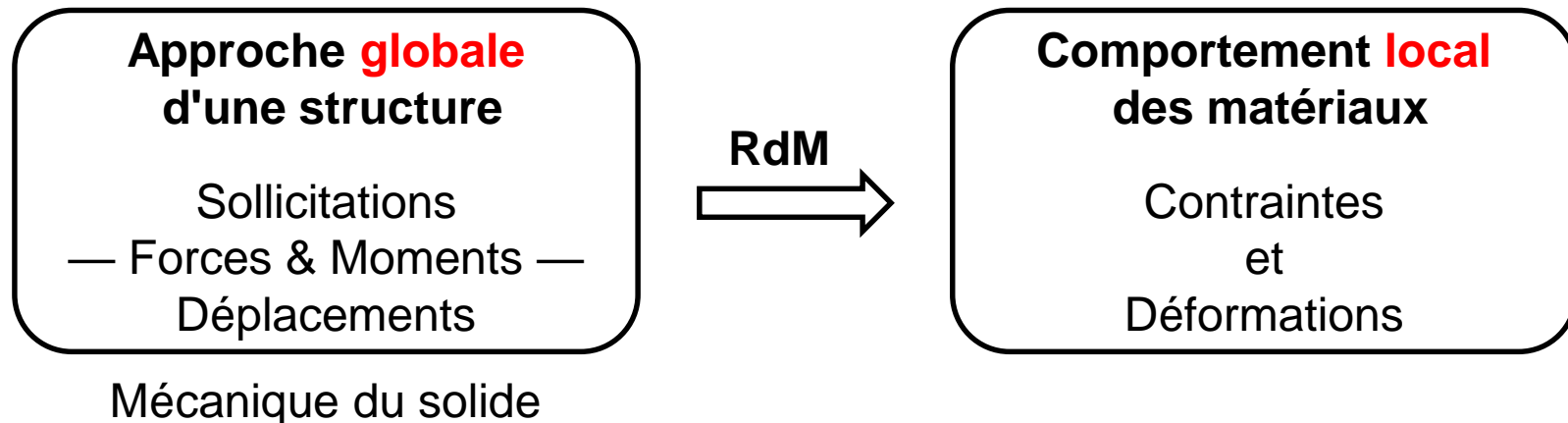
$$\begin{cases} Ry_0 = \frac{pL^2/2 + P_v(L_v)}{L} \\ Ry_1 = \frac{pL^2/2 + P_v(L - L_v)}{L} \end{cases}$$

III. Etape 3: Dimensionnement

Vérification de critères en
contrainte ou en
déformation

1.4 C'est quoi la RdM (Résistance des Matériaux)?

- La **Résistance des Matériaux** (RdM) constitue la base des sciences de **dimensionnement des structures**. Elle traite les problèmes "simples" liés au comportement et au dimensionnement **des poutres**.
- Elle permet à partir du respect de **critères de résistance** et de **déformations admissibles** de (pré)dimensionner au plus juste une structure en garantissant un coût financier acceptable.
- Elle fait partie de la **Mécanique des Milieux Continus**.
- Elle est utilisée dans la Conception Mécanique, le Génie Civil et dans les bureaux d'études (dimensionnement de structures).



- **Partie 1 : Contraintes, Déformations, Loi de comportement**
- ***Notion de contraintes:***
 - Vecteur contrainte, état de contrainte : déterminer un vecteur contrainte à partir d'un état de contrainte, contraintes principales, contrainte normale, contrainte de cisaillement, ...
- ***Notion de déformations:***
 - Transformation homogène et/ou hétérogène d'un matériau
 - Vecteur déformation, état de déformation : déformation normale, distorsion,
- ***Caractérisation mécanique d'un matériau***
 - Essai de traction
 - Comportement d'un matériau
- ***Lois de comportement***
 - Loi de Hooke uniaxiale, loi de Hooke généralisée, grandeurs caractéristiques des matériaux homogènes isotropes

- **Partie 2 : Poser un problème en RDM**
- ***Les 3 Étapes de résolution d'un Pb de RDM (Théorie des poutres):***
 - 1) Schématisation d'un problème, hypothèses de la RDM**
 - *La représentation graphique d'une poutre (fibre moyenne)*
 - 2) Recherche des actions "passives" Application du PFS :**
 - Problèmes: hypostatique, isostatique, hyperstatique
 - *Identification et calcul des réactions de liaisons*
 - 3) Dimensionnement / Vérification / Identification :**
 - Application de la méthode des coupures,
 - Détermination des éléments de réduction (ou de cohésion)
 - *Équations d'équilibre en RdM*
 - *Équations d'équilibre en contraintes*
 - *Propriétés de surface (Moment quadratique, Moment polaire)*

- **Partie 3 : Les sollicitations simples en RDM (théorie des poutres)**
- ***Etudes des sollicitations simples:***
 - La traction/compression,
 - Le cisaillement,
 - La torsion,
 - La flexion (flexion pure, flexion simple, ...)
- ***Objectifs:***
 - Identification des éléments de réduction \Leftrightarrow Sollicitations simples
 - Dans une section quelconque de la poutre, établir le lien entre les éléments de réduction (au centre de gravité) et l'état de contraintes (en dehors du centre de gravité)
 - Détermination de la contrainte maximale
 - Application d'un critère de résistance ou de comportement pour dimensionner ou vérifier les dimensions d'une poutre

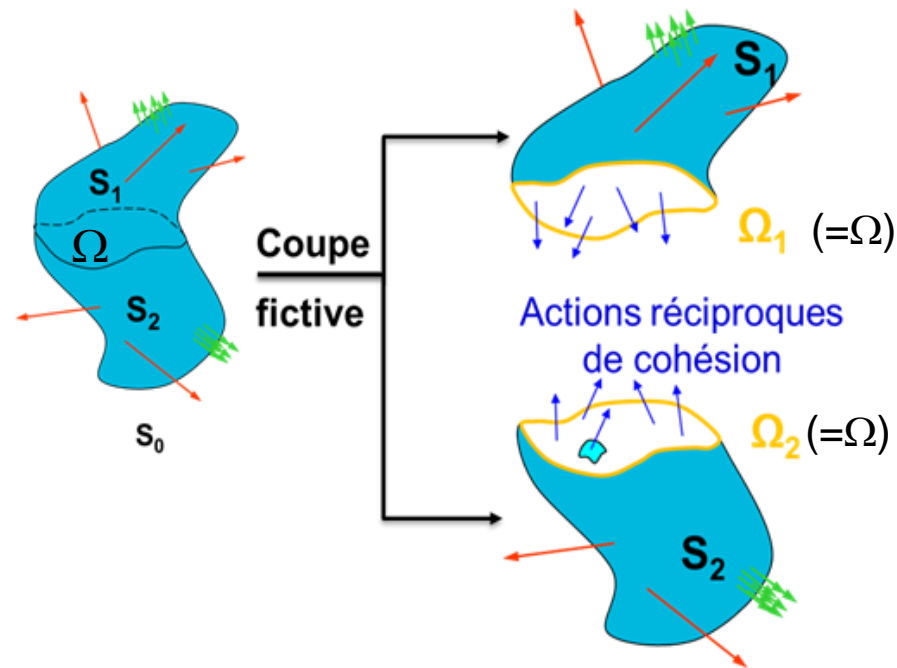
Partie 1

- 1. NOTION DE CONTRAINTE**
- 2. NOTION DE DÉFORMATION**
- 3. CARACTÉRISATION MÉCANIQUE
D'UN MATÉRIAU**
- 4. LOI DE COMPORTEMENT**

1.1 Efforts de cohésion:

▪ Soient:

- \mathbf{S}_0 un **solide en équilibre** sous l'action de sollicitations extérieures $\rightarrow \overrightarrow{\sum F_{ext}} = \vec{0}$
- \mathbf{S}_0 est divisé en deux solides \mathbf{S}_1 & \mathbf{S}_2 obtenus par une coupe fictive de séparation Ω



Les sollicitations internes sont appelées **efforts de cohésion**

\mathbf{S}_0 est en équilibre statique



Chacun des solides \mathbf{S}_1 et \mathbf{S}_2 est **en équilibre** sous l'action de:

- Sollicitations extérieures
- Sollicitations internes



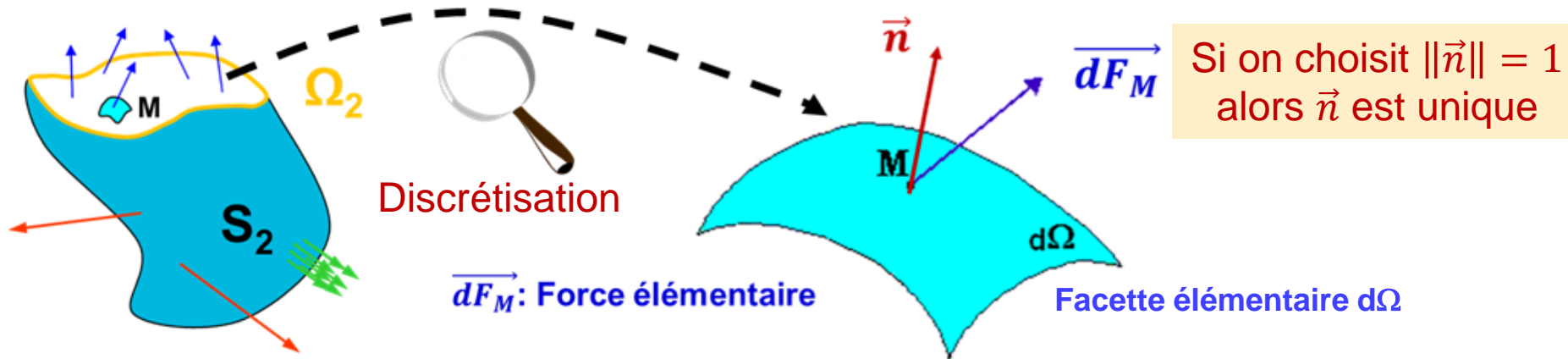
\mathbf{S}_1 en équilibre $\Rightarrow \overrightarrow{\sum F_{ext/S_1}} + \overrightarrow{\sum F_{int/S_1}} = \vec{0}$

\mathbf{S}_2 en équilibre $\Rightarrow \overrightarrow{\sum F_{ext/S_2}} + \overrightarrow{\sum F_{int/S_2}} = \vec{0}$

- Pour évaluer la résistance du solide \mathbf{S}_0 aux efforts extérieurs $\overrightarrow{F_{ext}}$; il faut connaître la distribution des efforts de cohésion en toute section fictive

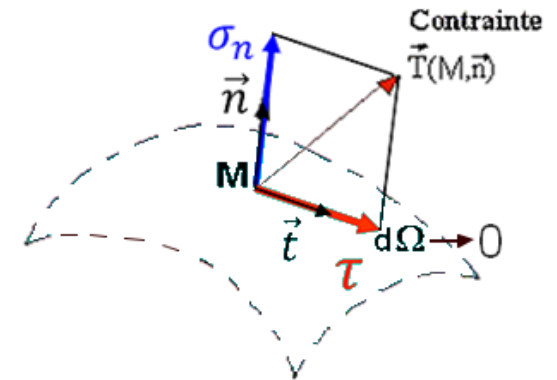
1.2 Vecteur contrainte: Définition

- Soit le solide S_2 et soit un point M localisé sur la surface Ω_2
- On identifie autour du point M une facette élémentaire $d\Omega$ de **vecteur normal sortant** (au point M) \vec{n} (\vec{n} est le vecteur caractéristique de la surface)



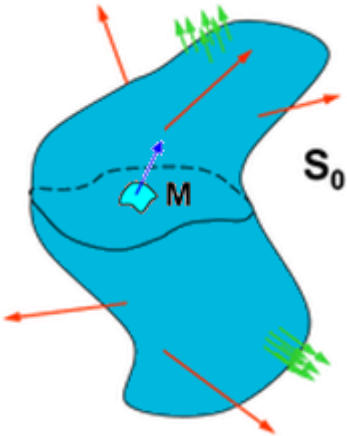
□ **Définition: le vecteur contrainte** (on le note $\vec{T}(M, \vec{n})$) au point M de la surface $d\Omega$ de normale sortante \vec{n} est donné par:

$$\vec{T}(M, \vec{n}) = \lim_{d\Omega \rightarrow 0} \frac{d\vec{F}_M}{d\Omega}$$



1.2 Vecteur contrainte: Définitions

- un vecteur contrainte est **toujours rattaché à une facette $d\Omega$ unique**



- Par continuité du milieu, en tout point M d'un corps déformable, on peut choisir une facette et lorsque $d\Omega \rightarrow 0$ associer un **vecteur contrainte (noté $\vec{T}(M, \vec{n})$)**, ce vecteur est déterminé pour **une seule facette $d\Omega$** , il dépend de la direction du vecteur normal \vec{n} (\vec{n} vecteur de norme 1).

- Pour **chaque point M** d'un corps rigide, on peut identifier une **infinité de facettes d'orientations différentes**, donc définir **une infinité** de vecteurs contrainte dont la valeur **dépend de l'orientation du vecteur normal \vec{n}** de la facette retenue.

□ Unités des contraintes dans le S.I. des unités:

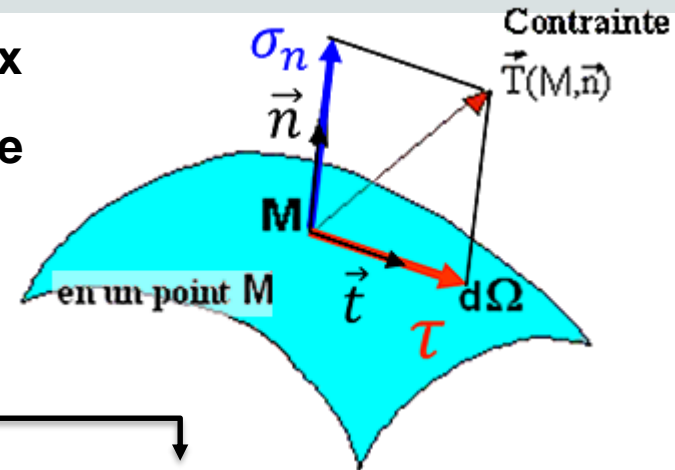
- Une contrainte s'exprime en N/m^2 (rappel : $1 N/m^2 = 1 Pa$).
- **En mécanique** : on exprime **les contraintes en MPa**

Pour avoir un système d'unités homogène : on exprimera les **longueurs en mm** et les **forces en Newton**.

1.3 Nature des contraintes

- Le vecteur contrainte $\vec{T}(M, \vec{n})$ est composé de **deux contraintes aux agissements différents / plan de la facette**:

$$\vec{T}(M, \vec{n}) = \underbrace{\sigma_n \vec{n}}_{\text{Contrainte normale}} + \underbrace{\tau \vec{t}}_{\text{Contrainte tangentielle}}$$



Contrainte normale (σ_n) au plan tangent de la facette (de normale \vec{n})

- colinéaire à \vec{n}
- $\sigma_n > 0$: traction
- $\sigma_n < 0$: compression

$$\sigma_n(M, \vec{n}) = \vec{n} \cdot \vec{T}(M, \vec{n})$$

$$\overrightarrow{\sigma_n(M, \vec{n})} = \sigma_n \cdot \vec{n}$$

Contrainte tangentielle ou de cisaillement (τ) au plan tangent de la facette (de normale \vec{n})

- \vec{t} perpendiculaire à \vec{n} est contenu dans le plan $(\vec{T}(M, \vec{n}), \vec{n})$

$$\tau(M, \vec{n}) = \|\vec{T}(M, \vec{n}) \wedge \vec{n}\|$$

$$\overrightarrow{\tau(M, \vec{n})} = \vec{T}(M, \vec{n}) - \sigma_n \cdot \vec{n}$$

$$\overrightarrow{\tau(M, \vec{n})} = \vec{n} \wedge \vec{T}(M, \vec{n}) \wedge \vec{n}$$

1.4 Vecteur contrainte: Exercice résolu

- Soit le vecteur contrainte $\vec{T}(M, \vec{n})$ qui s'exprime par : $\vec{T}(M, \vec{n}) = \begin{bmatrix} 125 \\ 60 \\ -40 \end{bmatrix}$

associé à la facette de direction normale $\vec{n} = \begin{bmatrix} \frac{\sqrt{3}}{4} \\ \frac{3}{4} \\ \frac{1}{2} \end{bmatrix}$

1. Vérifier que $\|\vec{n}\| = 1$

2. Calculer σ_n ?

$$\sigma_n = \vec{n} \cdot \vec{T}(M, \vec{n}) \quad \sigma_n = \frac{\sqrt{3}}{4} \cdot 125 + \frac{3}{4} \cdot 60 - \frac{1}{2} \cdot 40 \quad \sigma_n = 79,13 \text{ MPa}$$

3. Calculer τ ?

M1: $\tau = \sqrt{\|\vec{T}(M, \vec{n})\|^2 - \sigma_n^2} \quad \tau = \sqrt{125^2 + 60^2 + 40^2 - 79,13^2} \quad \tau = 120,68 \text{ MPa}$

M2: $\vec{\tau} = \vec{T}(M, \vec{n}) - \sigma_n \vec{n} \quad \vec{\tau} = \begin{bmatrix} 125 \\ 60 \\ -40 \end{bmatrix} - 79,127 \begin{bmatrix} \frac{\sqrt{3}}{4} \\ \frac{3}{4} \\ \frac{1}{2} \end{bmatrix} \quad \vec{\tau} = \begin{bmatrix} 90,73 \\ 0,65 \\ -79,56 \end{bmatrix}$

M3: $\overrightarrow{\tau(M, \vec{n})} = \vec{n} \wedge \vec{T}(M, \vec{n}) \wedge \vec{n}$

$$\vec{T}(M, \vec{n}) \wedge \vec{n} = \begin{bmatrix} 125 \\ 60 \\ -40 \end{bmatrix} \wedge \begin{bmatrix} \frac{\sqrt{3}}{4} \\ \frac{3}{4} \\ \frac{1}{2} \end{bmatrix} = \begin{bmatrix} 60 \\ -10\sqrt{3} - 62,5 \\ \frac{375}{4} - 15\sqrt{3} \end{bmatrix} \quad \vec{n} \wedge \vec{T}(M, \vec{n}) \wedge \vec{n} = \begin{bmatrix} \frac{\sqrt{3}}{4} \\ \frac{3}{4} \\ \frac{1}{2} \end{bmatrix} \wedge \begin{bmatrix} 60 \\ -79,82 \\ 67,77 \end{bmatrix} = \begin{bmatrix} 90,73 \\ 0,65 \\ -79,56 \end{bmatrix}$$

1.5 Vecteur contrainte: **INSUFFISANT** POUR TRADUIRE UN ETAT DE CONTRAINTE

- En tout point M d'un solide, la connaissance d'un vecteur contrainte $\vec{T}(M, \vec{n})$ est insuffisante, pour traduire ce que supporte ce point M au sein de la matière.
- Pour avoir une information complète de **l'état de contrainte** au point M, il faudrait exprimer **les vecteurs contrainte** pour toutes les directions possibles du vecteur \vec{n} , ce qui est **impossible**.
- Pour pallier à cette impossibilité, est-il possible de créer un "objet" mathématique qui pour tout point M permettrait de déterminer pour toute direction \vec{n} le vecteur contrainte $\vec{T}(M, \vec{n})$ lui correspondant.
- L'objet existe, il s'agit d'une fonction : **exprimée dans un repère**, elle est définie à partir d'une Matrice dite **Matrice de contraintes**, (Tenseur de contraintes) **unique**.

1.6 Matrice des contraintes: État de contrainte

□ État de contrainte: **Définition de la matrice (Tenseur) de contrainte**

- $\forall M \in S_0$, on peut définir une application linéaire $\bar{\sigma} : (E_3 \rightarrow E_3)$ qui à tout vecteur unitaire \vec{n} associe un vecteur contrainte $\vec{T}(M, \vec{n})$. Dans une base orthonormée directe $(\vec{e}_1, \vec{e}_2, \vec{e}_3)$, l'application $\bar{\sigma}$ est telle que:

$$\forall M \in S_0 \quad \begin{cases} E_3 \rightarrow E_3 \\ \vec{n} \rightarrow \vec{T}(M, \vec{n}) = \bar{\sigma} \vec{n} \end{cases}$$

- Dans un repère de travail $(\vec{e}_1, \vec{e}_2, \vec{e}_3)$, l'application $\bar{\sigma}$ est caractérisée par une matrice (3x3) appelée **matrice des contraintes**, c'est un **tenseur**.

- **Remarque:** la position d'un coefficient du tenseur $[\sigma_{ij}]$:

- (i): N° de **ligne**
(j) : N° de **colonne**

$$\bar{\sigma} = \begin{bmatrix} \sigma_{11} & \sigma_{12} & \sigma_{13} \\ \sigma_{21} & \sigma_{22} & \sigma_{23} \\ \sigma_{31} & \sigma_{32} & \sigma_{33} \end{bmatrix}_{(\vec{e}_1, \vec{e}_2, \vec{e}_3)}$$

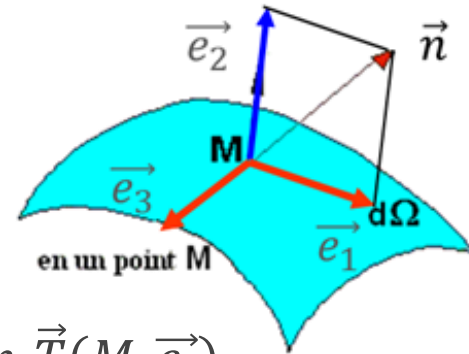
- La matrice des contraintes $\bar{\sigma}$ **caractérise totalement l'état de contrainte** au point M.

1.6 Matrice de contrainte: État de contraintes

□ État de contrainte: **Identification des coefficients de la matrice de contrainte**

- Soit \vec{n} exprimé dans un repère orthonormé direct $(\vec{e}_1, \vec{e}_2, \vec{e}_3)$

$$\vec{n} = n_1 \vec{e}_1 + n_2 \vec{e}_2 + n_3 \vec{e}_3 \quad \vec{n} \rightarrow \begin{pmatrix} n_1 \\ n_2 \\ n_3 \end{pmatrix}_{(\vec{e}_1, \vec{e}_2, \vec{e}_3)}$$



- Etat de contrainte: cas général: $\forall \vec{n}$

$$\vec{T}(M, \vec{n}) = \bar{\vec{a}} \cdot \vec{n} = \begin{bmatrix} a_{11} & a_{12} & a_{13} \\ a_{21} & a_{22} & a_{23} \\ a_{31} & a_{32} & a_{33} \end{bmatrix} \cdot \vec{n} = \sum_{i=1}^3 n_i \bar{\vec{a}} \cdot \vec{e}_i = \sum_{i=1}^3 n_i \vec{T}(M, \vec{e}_i)$$

- Etat de contrainte: cas particulier: $\vec{n} = \vec{e}_i$;

$$\vec{T}(M, \vec{e}_i) = \begin{bmatrix} a_{11} & a_{12} & a_{13} \\ a_{21} & a_{22} & a_{23} \\ a_{31} & a_{32} & a_{33} \end{bmatrix} \cdot \vec{e}_i = \begin{bmatrix} a_{1i} \\ a_{2i} \\ a_{3i} \end{bmatrix}_{(\vec{e}_1, \vec{e}_2, \vec{e}_3)} = \begin{bmatrix} \sigma_{1i} \\ \sigma_{2i} \\ \sigma_{3i} \end{bmatrix}_{(\vec{e}_1, \vec{e}_2, \vec{e}_3)}$$

$a_{1i} = \sigma_{1i}$, $a_{2i} = \sigma_{2i}$ et $a_{3i} = \sigma_{3i}$ sont respectivement les composantes des vecteurs contrainte associés aux facettes de normales les vecteurs \vec{e}_i , vecteurs directeurs de la base $(\vec{e}_1, \vec{e}_2, \vec{e}_3)$.

1.7 Matrice des contraintes: contrainte normale/ contrainte de cisaillement

- Identification du vecteur contrainte $\vec{T}(M, \vec{n})$ **pour une facette de normale \vec{n} ($\|\vec{n}\| = 1$)**

$$\vec{T}(M, \vec{n}) = [\sigma_{ij}] \begin{bmatrix} n_1 \\ n_2 \\ n_3 \end{bmatrix} = \begin{bmatrix} \sigma_1(\vec{n}) = \sigma_{11} \cdot n_1 + \sigma_{12} \cdot n_2 + \sigma_{13} \cdot n_3 \\ \sigma_2(\vec{n}) = \sigma_{21} \cdot n_1 + \sigma_{22} \cdot n_2 + \sigma_{23} \cdot n_3 \\ \sigma_3(\vec{n}) = \sigma_{31} \cdot n_1 + \sigma_{32} \cdot n_2 + \sigma_{33} \cdot n_3 \end{bmatrix}$$

Cas général: $\forall \vec{n} (\|\vec{n}\| = 1)$

$$\vec{T}(M, \vec{e}_i) = \begin{bmatrix} \sigma_1(\vec{e}_i) = \sigma_{1i} \\ \sigma_2(\vec{e}_i) = \sigma_{2i} \\ \sigma_3(\vec{e}_i) = \sigma_{3i} \end{bmatrix}$$

Cas particulier: $\vec{n} = \vec{e}_i$

- Valeur de la **contrainte normale** σ_n à partir de $\vec{T}(M, \vec{n})$

$$\sigma_n(M, \vec{n}) = \vec{n} \cdot \vec{T}(M, \vec{n}) = [n_1 \quad n_2 \quad n_3] \begin{bmatrix} \sigma_{11} & \sigma_{12} & \sigma_{13} \\ \sigma_{21} & \sigma_{22} & \sigma_{23} \\ \sigma_{31} & \sigma_{32} & \sigma_{33} \end{bmatrix} \begin{bmatrix} n_1 \\ n_2 \\ n_3 \end{bmatrix}$$

si $\vec{n} = \vec{e}_i$
 $\sigma_n(\vec{e}_i) = \sigma_{ii}$

- Valeur de la **contrainte de cisaillement** τ à partir de $\vec{T}(M, \vec{n})$

$$\vec{\tau}(M, \vec{n}) = \vec{n} \wedge \vec{T}(M, \vec{n}) \wedge \vec{n} = \begin{bmatrix} n_1 \\ n_2 \\ n_3 \end{bmatrix} \wedge \begin{bmatrix} \sigma_1(\vec{n}) \\ \sigma_2(\vec{n}) \\ \sigma_3(\vec{n}) \end{bmatrix} \wedge \begin{bmatrix} n_1 \\ n_2 \\ n_3 \end{bmatrix}$$

$$\tau(M, \vec{n}) = \|\vec{T}(M, \vec{n}) \wedge \vec{n}\|$$

$$\vec{\tau}(M, \vec{n}) = \begin{bmatrix} 0 & -n_3 & n_2 \\ n_3 & 0 & -n_1 \\ -n_2 & n_1 & n_1 \end{bmatrix} \begin{bmatrix} 0 & -\sigma_3 & \sigma_2 \\ \sigma_3 & 0 & -\sigma_1 \\ -\sigma_2 & \sigma_1 & 0 \end{bmatrix} \begin{bmatrix} n_1 \\ n_2 \\ n_3 \end{bmatrix}$$

1.7 Matrice des contraintes: Propriétés

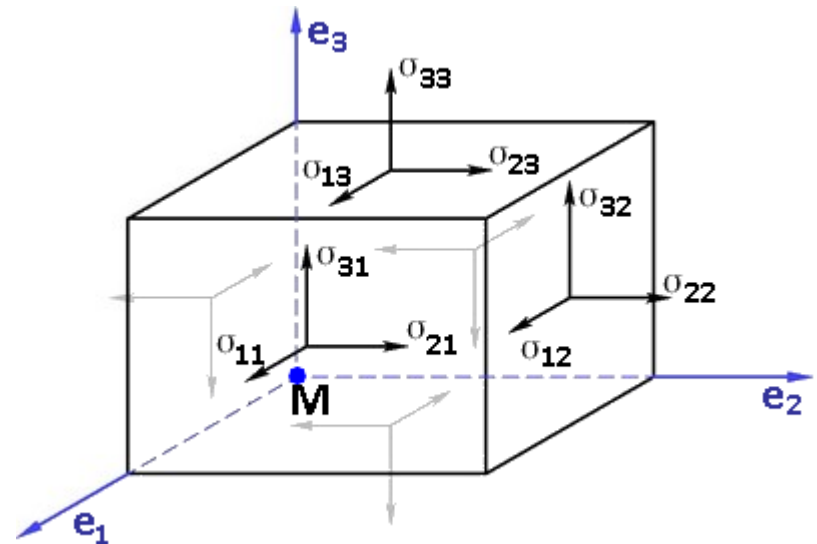
□ Représentation graphique d'un état de contrainte en un point M

L'état de contrainte est exprimé en un point M dans un repère $(\vec{e}_1, \vec{e}_2, \vec{e}_3)$ par:

$$\overline{\overline{\sigma(M)}} = \begin{bmatrix} \sigma_{11} & \sigma_{12} & \sigma_{13} \\ \sigma_{21} & \sigma_{22} & \sigma_{23} \\ \sigma_{31} & \sigma_{32} & \sigma_{33} \end{bmatrix}_{(\vec{e}_1, \vec{e}_2, \vec{e}_3)}$$

$$\vec{T}(M, \vec{e}_i) = \begin{bmatrix} \sigma_{1i} \\ \sigma_{2i} \\ \sigma_{3i} \end{bmatrix}$$

On représente l'état de contrainte sous la forme d'un cube de sommet M, de faces normales à $\vec{e}_1, \vec{e}_2, \vec{e}_3$, sur lesquelles on reporte chaque composante des vecteurs contrainte associés $\vec{T}(M, \vec{e}_i)$



Rq : Etant donnée la définition du vecteur contrainte : $\vec{T}(M, \vec{n}) = \lim_{d\Omega \rightarrow 0} \frac{d\vec{F}_M}{d\Omega}$
ce cube a un volume qui tend vers le volume nul.
 (en fait il s'agit d'un point)

1.7 Matrice des contraintes: Propriétés

- La matrice des contraintes $\bar{\sigma}$ est **symétrique** à coefficients réels.
- La matrice des contraintes $\bar{\sigma}$ est **diagonalisable**. Ainsi, il existe toujours un repère unique $(\vec{k}_1, \vec{k}_2, \vec{k}_3)$ dans lequel $\bar{\sigma}$ est diagonale.

$$\bar{\sigma} = \begin{bmatrix} \sigma_I & 0 & 0 \\ 0 & \sigma_{II} & 0 \\ 0 & 0 & \sigma_{III} \end{bmatrix}_{(\vec{k}_1, \vec{k}_2, \vec{k}_3)}$$

$\vec{k}_1, \vec{k}_2, \vec{k}_3$ est appelé **repère principal** de contraintes.
 $\sigma_I, \sigma_{II}, \sigma_{III}$ sont les **valeurs propres** de $\bar{\sigma}$ et sont appelées **contraintes principales**.

- La matrice des contraintes possède **trois invariants** I_i :

➤ Cas 1: dans un repère général

$$I_1 = \text{trace}(\sigma_{ij}) = \sigma_{11} + \sigma_{22} + \sigma_{33}$$

$$I_2 = \frac{1}{2} \sum_{i=1}^3 \sum_{j=1}^3 (\sigma_{ii} \cdot \sigma_{jj} - \sigma_{ij} \cdot \sigma_{ij})$$

$$I_3 = \det(\sigma_{ij})$$

➤ Cas 2: Dans le repère principal

$$\Rightarrow \begin{cases} I_1 = \sigma_I + \sigma_{II} + \sigma_{III} \\ I_2 = \sigma_I \cdot \sigma_{II} + \sigma_{II} \cdot \sigma_{III} + \sigma_{III} \cdot \sigma_I \\ I_3 = \sigma_I \cdot \sigma_{II} \cdot \sigma_{III} \end{cases}$$

- Les **valeurs propres** sont racines du **polynôme caractéristique** :

$$\det(\bar{\sigma} - \lambda \bar{I}) = 0$$

1.7 Matrice des contraintes: Propriétés

□ Changement de repère d'un Etat de contrainte:

- Soit $\bar{\bar{\sigma}}$ une matrice des contraintes en un point M exprimée dans un repère $R1 (\vec{e}_1, \vec{e}_2, \vec{e}_3)$ notée $\bar{\bar{\sigma}}_{R1}$.
- Soit $R2 (\vec{e}'_1, \vec{e}'_2, \vec{e}'_3)$ un deuxième repère de travail tq $R1 \neq R2$.

On peut alors exprimer la matrice des contraintes $\bar{\bar{\sigma}}$ dans le repère $R2$ par la **matrice de passage** ${}^{R1}T_{R2}$: $R1(\vec{e}_1, \vec{e}_2, \vec{e}_3) \rightarrow R2(\vec{e}'_1, \vec{e}'_2, \vec{e}'_3)$ qui $\bar{\bar{\sigma}} \rightarrow \bar{\bar{\sigma}}'$ tq:

$$\bar{\bar{\sigma}}'_{R2} = \overline{\overline{{}^{R2}T_{R1}}} \times \bar{\bar{\sigma}}_{R1} \times \overline{\overline{{}^{R1}T_{R2}}}$$

$$\begin{bmatrix} \sigma'_{11} & \sigma'_{12} & \sigma'_{13} \\ \sigma'_{21} & \sigma'_{22} & \sigma'_{23} \\ \sigma'_{31} & \sigma'_{32} & \sigma'_{33} \end{bmatrix} = \overline{\overline{{}^{R2}T_{R1}}} \begin{bmatrix} \sigma_{11} & \sigma_{12} & \sigma_{13} \\ \sigma_{21} & \sigma_{22} & \sigma_{23} \\ \sigma_{31} & \sigma_{32} & \sigma_{33} \end{bmatrix} \overline{\overline{{}^{R1}T_{R2}}}$$

Rappel

$$\overline{\overline{{}^{R1}T_{R2}}} = [T^i_j]$$

Vecteur de R_2 dans R_1

$\bar{\bar{\sigma}}'$ identifie le même état de contrainte que $\bar{\bar{\sigma}}$ dans le repère $R2$.

1.8 Fiche récapitulative

Vecteur contrainte

$$\vec{T}(M, \vec{n}) = \overrightarrow{\sigma_n(M, \vec{n})} + \overrightarrow{\tau(M, \vec{n})}$$

Contrainte normale

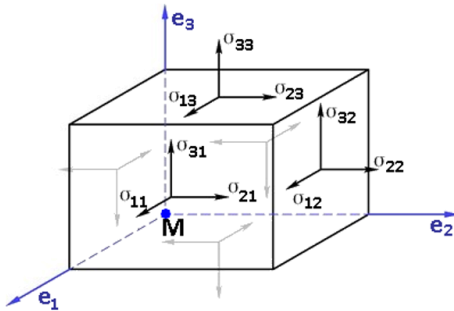
$$\sigma_n(M, \vec{n}) = \vec{n} \cdot \vec{T}(M, \vec{n})$$

Contrainte de cisaillement

$$\tau(M, \vec{n}) = \|\vec{T}(M, \vec{n}) \wedge \vec{n}\|$$

Etat de contraintes

$$\overline{\overline{\sigma(M)}} = \begin{bmatrix} \sigma_{11} & \sigma_{12} & \sigma_{13} \\ \sigma_{21} & \sigma_{22} & \sigma_{23} \\ \sigma_{31} & \sigma_{32} & \sigma_{33} \end{bmatrix}_{(\vec{e}_1, \vec{e}_2, \vec{e}_3)}$$



Vecteur contrainte

$$\vec{T}(M, \vec{n}) = \overline{\overline{\sigma(M)}} \begin{bmatrix} n_1 \\ n_2 \\ n_3 \end{bmatrix}$$

$$\|\vec{n}\| = 1$$

$$\vec{T}(M, \vec{e}_i) = \begin{bmatrix} \sigma_{1i} \\ \sigma_{2i} \\ \sigma_{3i} \end{bmatrix}$$

Etat de contraintes principales

$$\overline{\overline{\sigma(M)}} = \begin{bmatrix} \sigma_I & 0 & 0 \\ 0 & \sigma_{II} & 0 \\ 0 & 0 & \sigma_{III} \end{bmatrix}_{(\vec{p}_1, \vec{p}_2, \vec{p}_3)}$$

Changement de repère

$$\overline{\overline{\sigma'}}_{R2} = \overline{\overline{R2T_{R1}}} \times \overline{\overline{\sigma}}_{R1} \times \overline{\overline{R1T_{R2}}}$$

TRANSITION (WOOCCLAP -EX)



IMT Nord Europe
École Mines-Télécom
IMT-Université de Lille

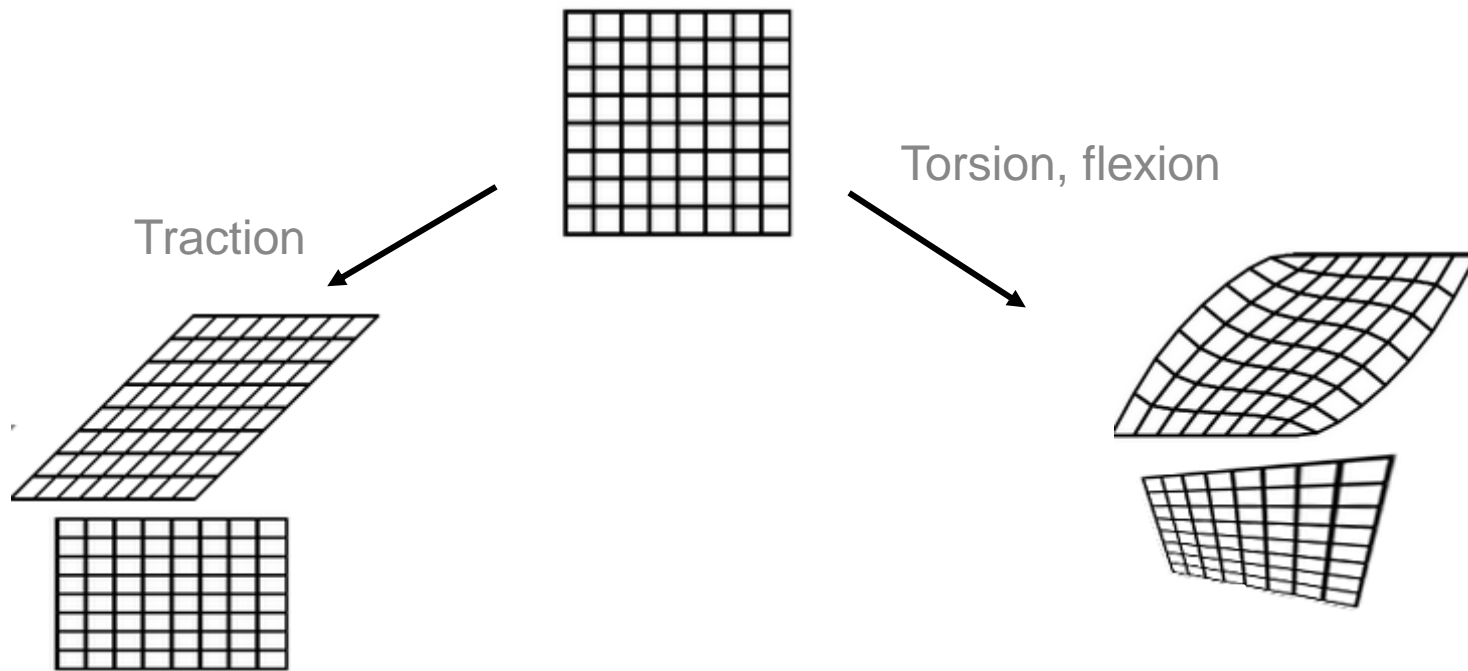
Partie 1

- 1. NOTION DE CONTRAINTE**
- 2. NOTION DE DÉFORMATION**
- 3. CARACTÉRISATION MÉCANIQUE
D'UN MATÉRIAU**
- 4. LOI DE COMPORTEMENT**

2.1 Illustration : Transformation d'un milieu continu

Tout matériau qui supporte une sollicitation (mécanique, thermique,...), se transforme géométriquement. **Deux types de transformations peuvent être identifiées**

Exemple: transformations possibles d'un carré quadrillé



Lorsque tous les carrés déformés sont superposables, la **transformation est homogène** (en chaque point la déformation est identique)

Dans le cas contraire la **transformation est hétérogène** (chaque point ne présente pas une déformation identique).

2.2 Notion de déformation

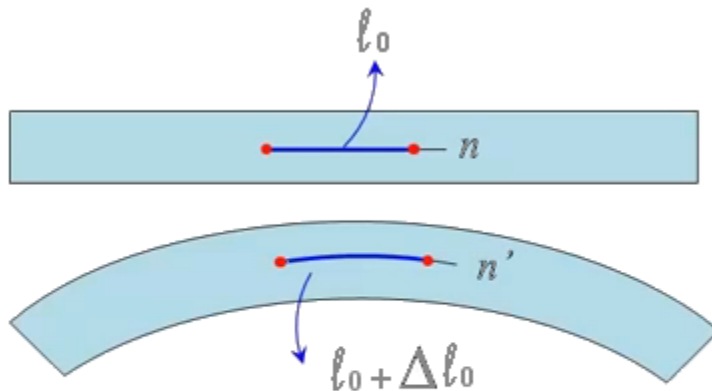
Un matériau peut se déformer en changeant de dimension (**expansion**) et/ou en changeant de forme (**distorsion**)

□ Nature des déformations

Changement de dimension



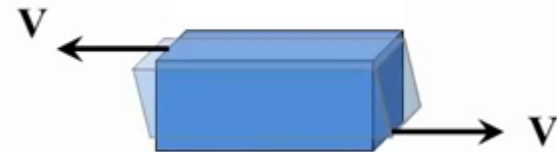
Déformation normale : ϵ



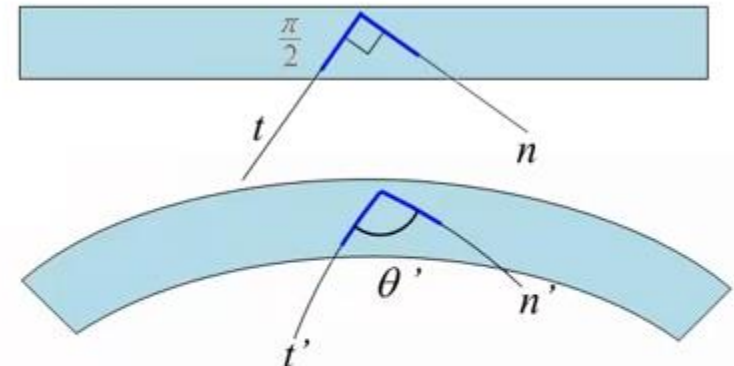
déformation normale :

$$\epsilon = \lim_{l_0 \rightarrow 0} \frac{\Delta l_0}{l_0}$$

Changement de forme



Déformation due au cisaillement : γ



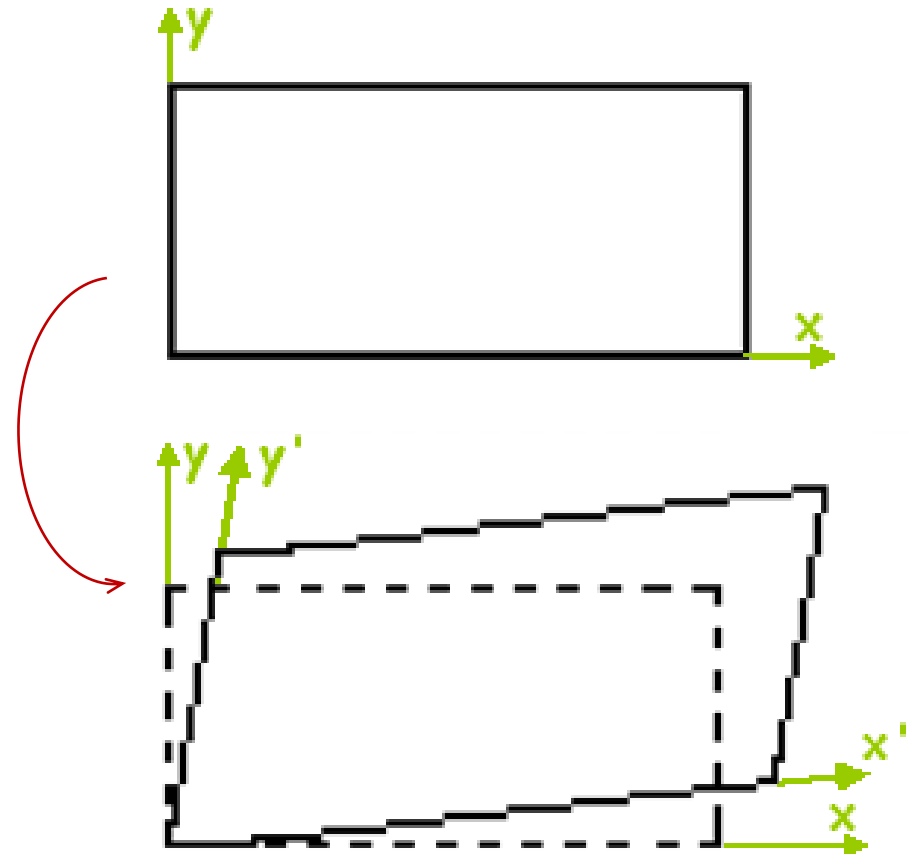
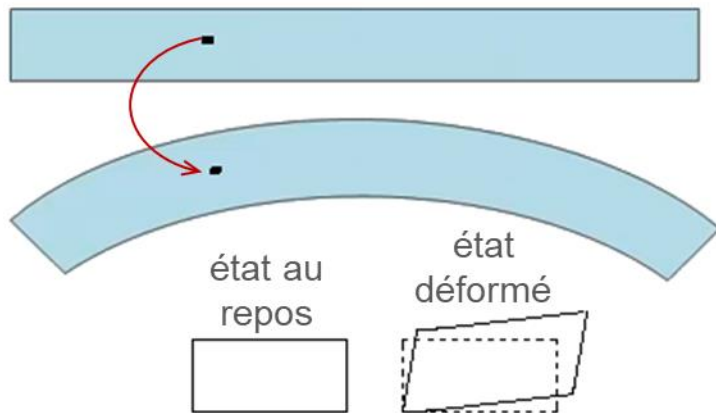
déformation due au cisaillement

angle de glissement : $\gamma_m = \frac{\pi}{2} - \theta'$

si $\gamma < 0$: $\theta' > \pi/2$ et si $\gamma > 0$: $\theta' < \pi/2$

2.2 Notion de déformation

❑ Exercice résolu: Déformation due au cisaillement

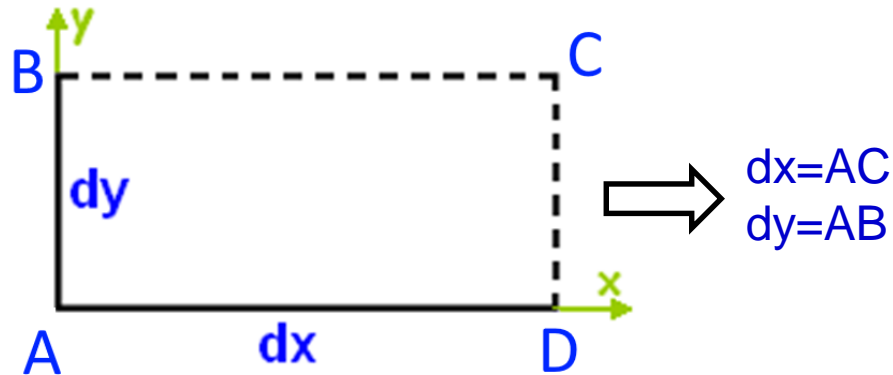


Superposition de l'état initial (au repos)
et l'état déformé

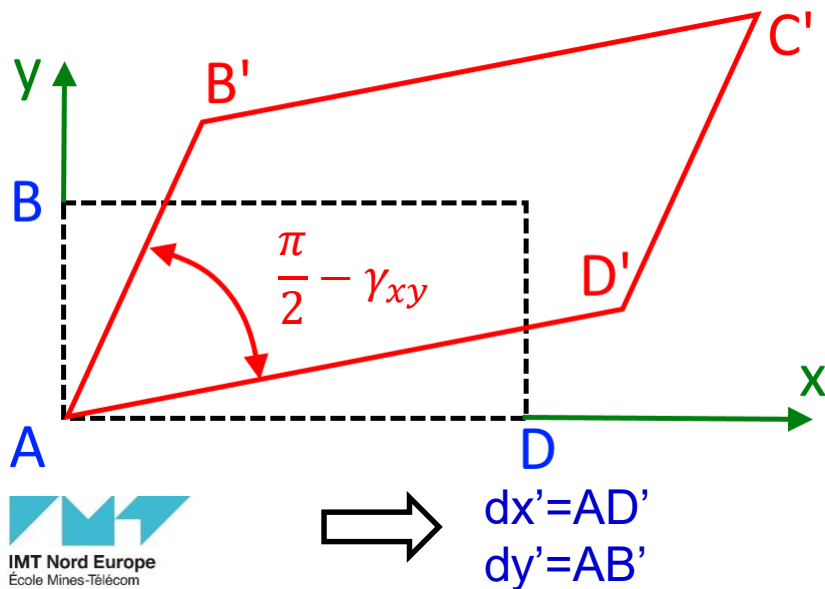
Déterminer les déformations ε_{xx} , ε_{yy} et le glissement γ_{xy}

2.2 Notion de déformation

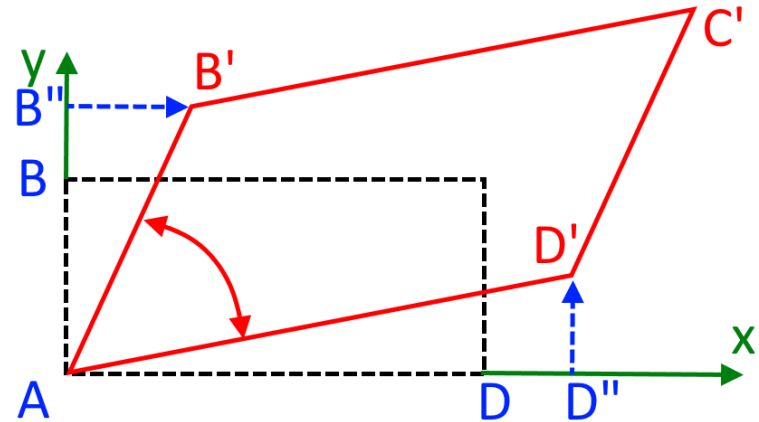
□ Etat avant déformation



□ Etat après déformation



▪ Les déformations ϵ_{xx} , ϵ_{yy}



Dans le cadre des petites deformations

$$dx' = AD' \approx AD''$$

$$dy' = AB' \approx AB''$$

$$\epsilon_{xx} = \frac{dx' - dx}{dx} \Rightarrow \epsilon_{xx} dx = dx' - dx$$

$$\epsilon_{yy} = \frac{dy' - dy}{dy} \Rightarrow \epsilon_{yy} dy = dy' - dy$$

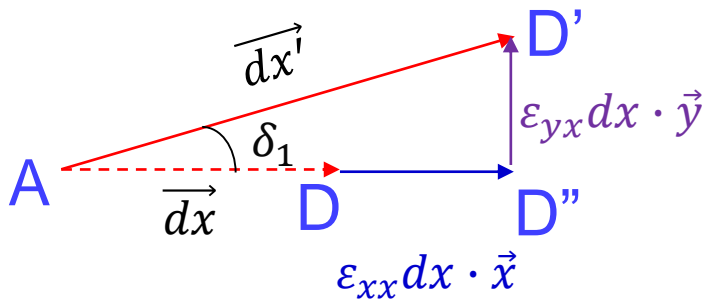
Dans le contexte de petites deformations

$$\varepsilon_{xx}dx = dx' - dx$$

$$\varepsilon_{yy}dy = dy' - dy$$

▪ **Le glissement:** $\gamma_{xy} = \delta_1 + \delta_2$

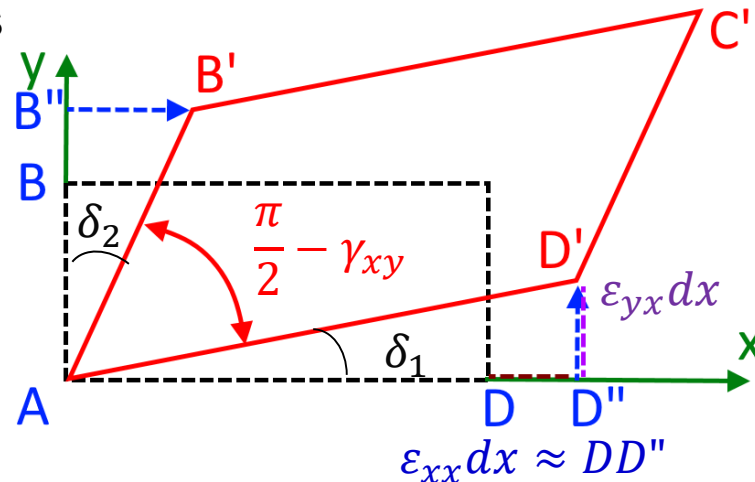
• Expression de δ_1



$$\overrightarrow{dx'} = \overrightarrow{dx} + \varepsilon_{xx}dx \cdot \vec{x} + \varepsilon_{yx}dx \cdot \vec{y}$$

Dans le contexte de petites deformations

$$\text{tg}\delta_1 \approx \delta_1 = \frac{\varepsilon_{yx} dx}{(1 + \varepsilon_{xx})dx}$$



Dans le contexte de petites deformations

$$\varepsilon_{xx} \ll 1$$

$$\text{tg}\delta_1 \approx \delta_1 = \frac{\varepsilon_{yx} dx}{(1 + \varepsilon_{xx})dx} \approx \varepsilon_{yx}$$

• Expression de δ_2

$$\text{tg}\delta_2 \approx \delta_2 = \frac{\varepsilon_{xy}}{1 + \varepsilon_{yy}} \approx \varepsilon_{xy}$$

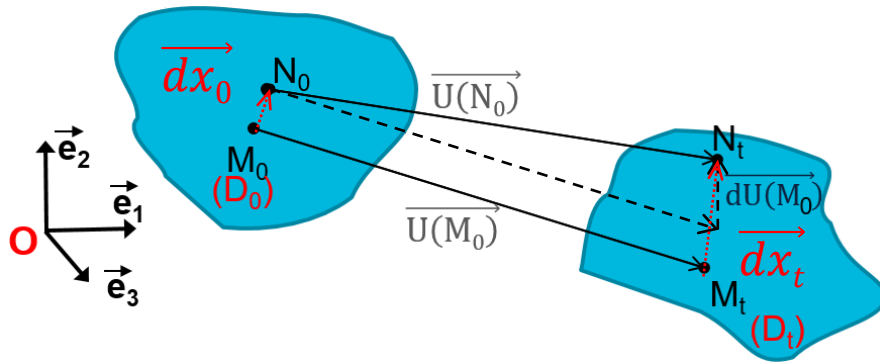
• Expression du glissement

$$\gamma_{xy} = \varepsilon_{yx} + \varepsilon_{xy}$$

Si $\varepsilon_{yx} = \varepsilon_{xy} \Rightarrow$

$$\gamma_{xy} = 2 \varepsilon_{xy}$$

2.4 Déformation d'un milieu continu



Etudions la matrice : $\bar{\bar{\epsilon}}$

$$\bar{\bar{\epsilon}} = \begin{bmatrix} \epsilon_{11} & \epsilon_{12} & \epsilon_{13} \\ \epsilon_{21} & \epsilon_{22} & \epsilon_{23} \\ \epsilon_{31} & \epsilon_{32} & \epsilon_{33} \end{bmatrix}_{(\vec{e}_1, \vec{e}_2, \vec{e}_3)}$$

Direction de projection \uparrow $[\epsilon_{ij}]$ Direction Segment considéré du vecteur déformation

Analogie avec les contraintes :

pour tout point M, $\bar{\bar{\epsilon}}$ est la matrice d'une application linéaire, qui à chaque direction \vec{n} associe un vecteur déformation $\vec{\epsilon}(M, \vec{n})$

$$\begin{aligned} E_3 &\longrightarrow E_3 & \vec{\epsilon}(M, \vec{n}) &= \bar{\bar{\epsilon}} \vec{n} = \epsilon_{n,n} \vec{n} + \epsilon_{t,n} \vec{t} \\ \vec{n} &\longrightarrow \vec{\epsilon}(M, \vec{n}) & \epsilon_{t,n} \vec{t} &= \vec{n} \wedge \vec{\epsilon}(M, \vec{n}) \wedge \vec{n} \end{aligned}$$

ϵ_{nn} est la **déformation normale** (assimilable à un allongement relatif)

ϵ_{tn} est la **déformation de distorsion** (assimilable à un angle)

2.5 Matrice de déformation : propriétés

Etudions la matrice : $\bar{\bar{\epsilon}}$

$$\bar{\bar{\epsilon}} = \begin{bmatrix} \epsilon_{11} & \epsilon_{12} & \epsilon_{13} \\ \epsilon_{21} & \epsilon_{22} & \epsilon_{23} \\ \epsilon_{31} & \epsilon_{32} & \epsilon_{33} \end{bmatrix}_{(\vec{e}_1, \vec{e}_2, \vec{e}_3)}$$

- Mathématiquement la matrice de déformation se comporte de la même manière que la matrice de contraintes.
- Elle est symétrique, diagonalisable, on peut la changer de repère.
- Le repère principal est identique pour la matrice de déformation et de contrainte

2.4.4 Déformation d'un milieu continu

Etudions la matrice : $\bar{\bar{\epsilon}}$

$$\bar{\bar{\epsilon}} = \begin{bmatrix} \epsilon_{11} & \dots & \dots \\ \dots & \epsilon_{22} & \dots \\ \dots & \dots & \epsilon_{33} \end{bmatrix}_{(\vec{e}_1, \vec{e}_2, \vec{e}_3)}$$

Les termes diagonaux caractérisent l'expansion dans les directions $(\vec{e}_1, \vec{e}_2, \vec{e}_3)$

Variation relative de volume $\frac{dV}{V} = \text{trace}(\bar{\bar{\epsilon}})$

$$\bar{\bar{\epsilon}} = \begin{bmatrix} \dots & \epsilon_{12} & \epsilon_{13} \\ \epsilon_{21} & \dots & \epsilon_{23} \\ \epsilon_{31} & \epsilon_{32} & \dots \end{bmatrix}_{(\vec{e}_1, \vec{e}_2, \vec{e}_3)}$$

Les termes extra-diagonaux caractérisent la distorsion dans les plans (\vec{e}_i, \vec{e}_j)

$$\epsilon_{ij} = \frac{1}{2} \gamma_{ij}$$

La matrice $\bar{\bar{\epsilon}}$ est symétrique diagonalisable

Partie 1

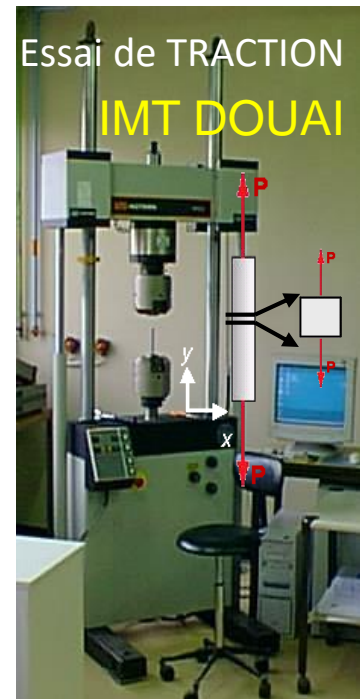
- 1. NOTION DE CONTRAINTE**
- 2. NOTION DE DÉFORMATION**
- 3. CARACTÉRISATION MÉCANIQUE
D'UN MATÉRIAU**
- 4. LOI DE COMPORTEMENT**

3. CARACTÉRISATION MÉCANIQUE D'UN MATÉRIAU

3.1 Essai de traction

Une famille (**idéalisée**) de matériaux correspond aux **matériaux isotropes homogènes**. Ces matériaux présentent globalement une **organisation atomique identique dans toutes les directions**, et jusqu'à une certaine échelle (mésoscopique) peuvent être considérés comme ne présentant **pas d'hétérogénéité structurelle**.

Pour caractériser le **comportement mécanique** de ces matériaux, il suffit de réaliser un **essai de traction** jusqu'à rupture de ce dernier, et de relever ce que l'on observe.

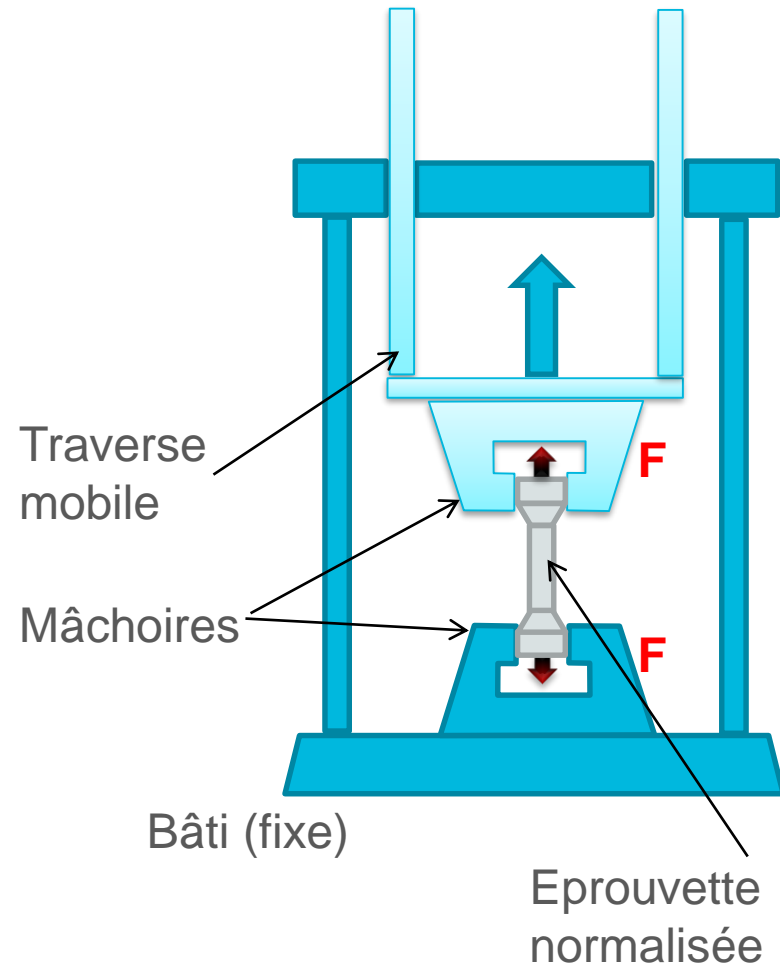


3. CARACTÉRISATION MÉCANIQUE D'UN MATÉRIAU

39

3.1 Essai de traction – Machine de traction

Machine de traction

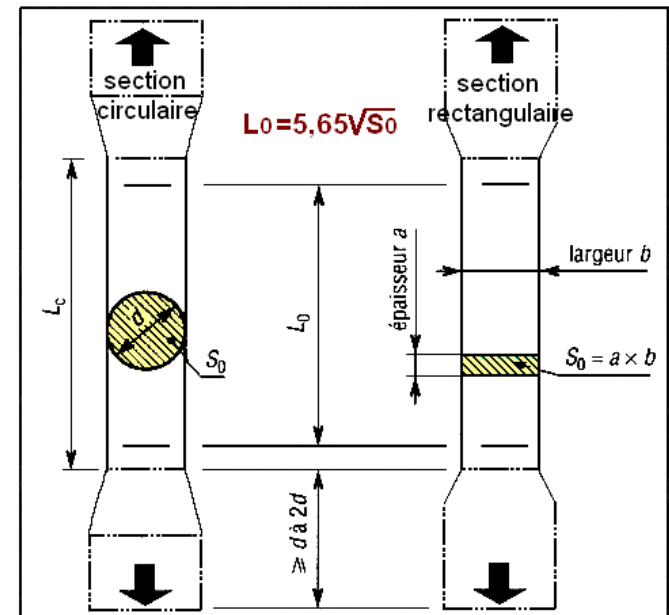
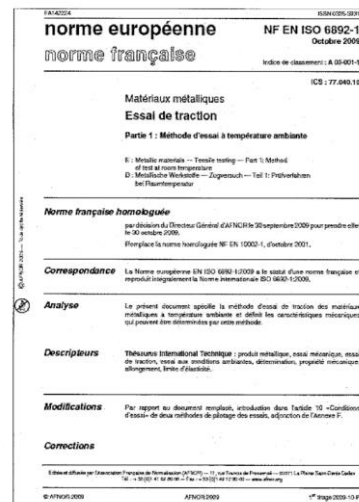


- L'essai de traction est à la base de la caractérisation des propriétés élastiques des matériaux, dont E et ν .

- Par l'intermédiaire d'une machine de traction, une éprouvette de **taille normalisée** est soumise à un effort longitudinal F croissant.

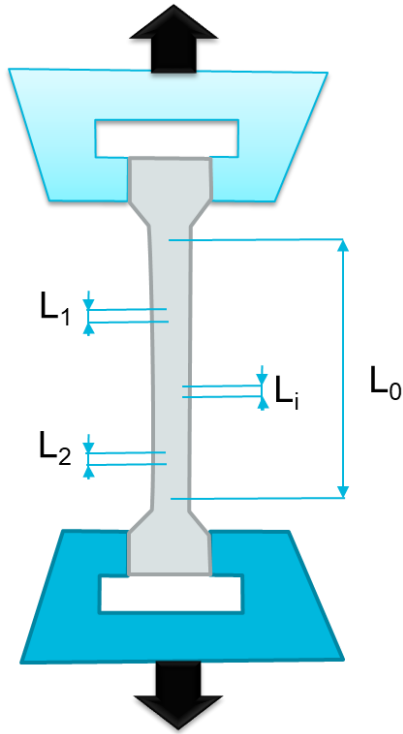
- La norme décrivant l'essai dépend de la famille du matériau, des conditions d'essai et du type d'application.

- L'exemple classique utilisé pour illustrer cet essai est la NF EN ISO 6892-1 Novembre 2016 - *Matériaux métalliques - Essai de traction - Partie 1 : méthode d'essai à température ambiante*



3.1 Essai de traction – principe de l'essai normalisé

Schéma de principe de l'essai normalisé



La section initiale de l'éprouvette S_0 est constante.

La zone calibrée de l'éprouvette est de longueur totale L_0

ΔL_i représente la variation de longueur d'un segment de référence L_i (segment parallèle à la force F)

Pour s'assurer de la représentativité de l'essai, on doit s'assurer que la variation relative de longueur est la même quelque soit le segment de référence L_i pris dans la zone calibrée.

Dans la zone calibrée L_0 la transformation du matériau est homogène

La variation relative de longueur correspond à la déformation ε_{11}

$$\varepsilon_{11} = \lim_{L \rightarrow 0} \frac{\Delta L}{L}$$

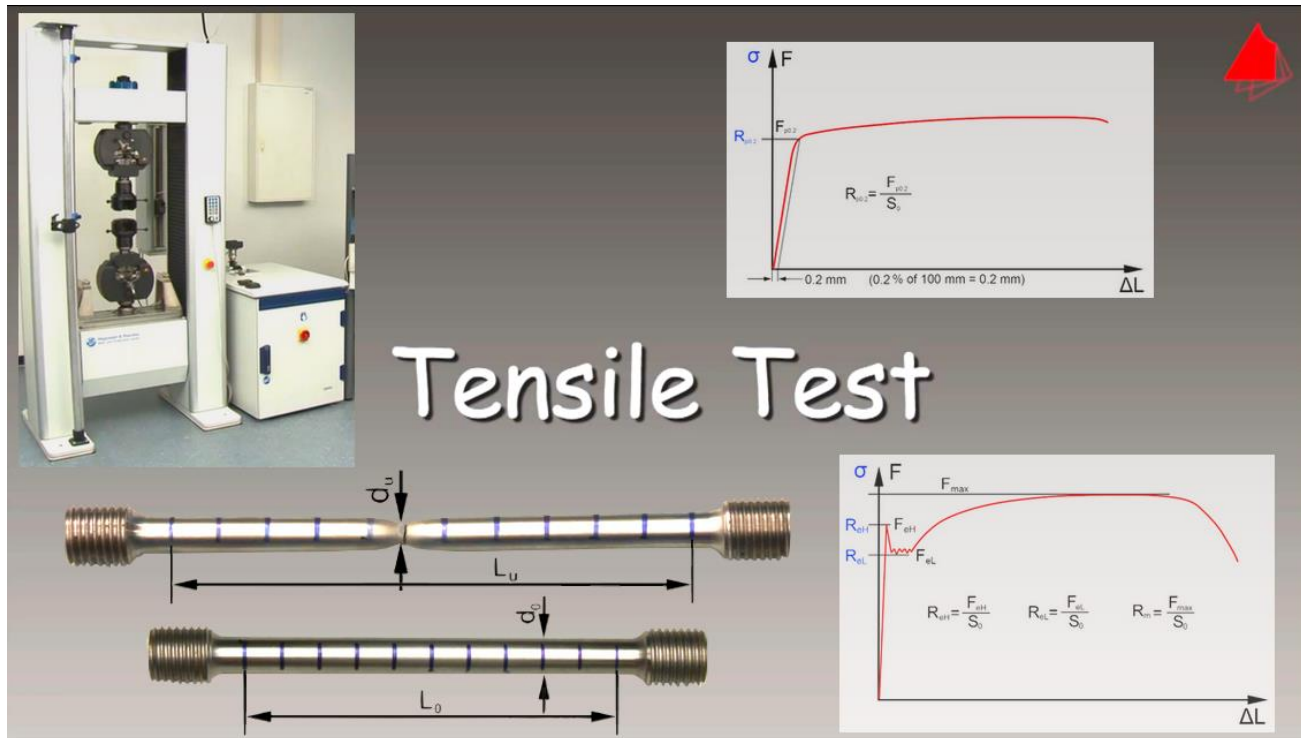
$$\varepsilon_{11} = \frac{\Delta L_1}{L_1} = \frac{\Delta L_2}{L_2} = \dots = \frac{\Delta L_i}{L_i}$$

3. CARACTÉRISATION MÉCANIQUE D'UN MATÉRIAU

41

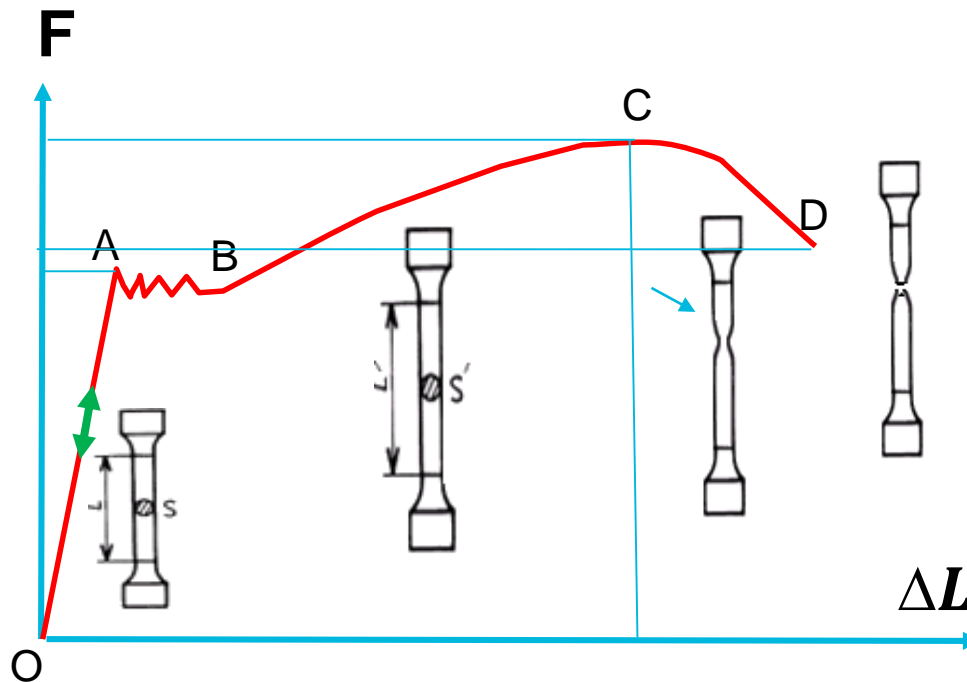
3.1 Essai de traction – par l'exemple

Video : Tensile test, Brauch & Trautwein, Karlsruhe University of Applied Sciences



3.2 Comportement du matériau

□ Courbe Force/Allongement ΔL



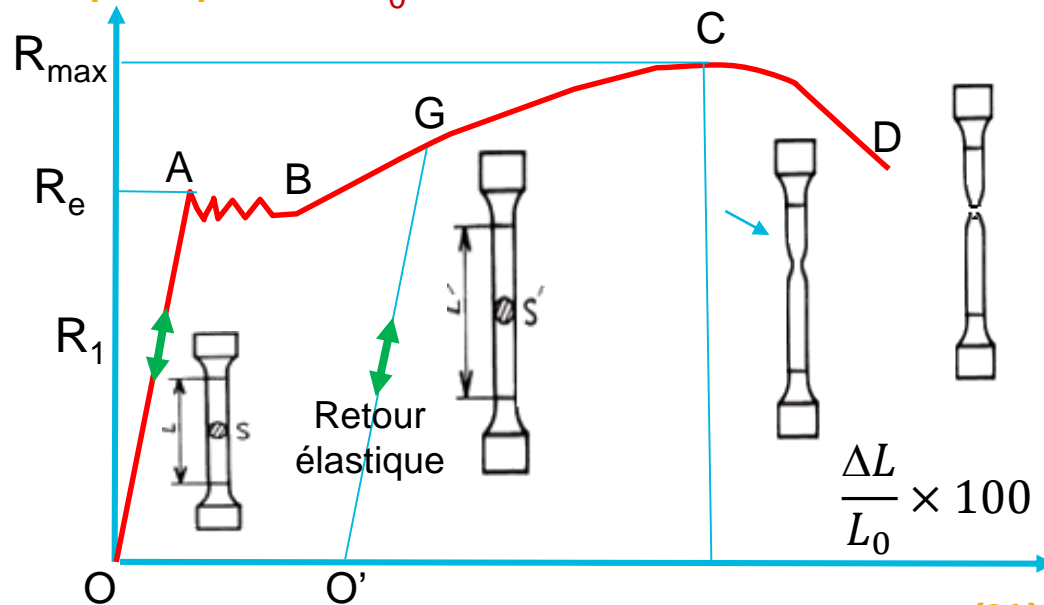
3.3 Essai de traction : courbe conventionnelle de traction

Enregistrement des capteurs de force et d'extensométrie :
Force , Allongement ΔL

Tracé de la **force unitaire** de traction en fonction de l'allongement pourcent

R(MPa) $R=F/S_0$

Allongement ΔL (mm)



courbe conventionnelle de traction (%)

$R=F/S_0$: Force unitaire de traction (MPa)

Trois zones de comportement:
Zone élastique (OA)

- Allongement **linéaire réparti** : déformation totalement réversible. (Zone de déformation plastique AD)

Zone d'écrouissage (AC)

- Allongement **non linéaire réparti** : déformation partiellement irréversible (élastique+plastique)

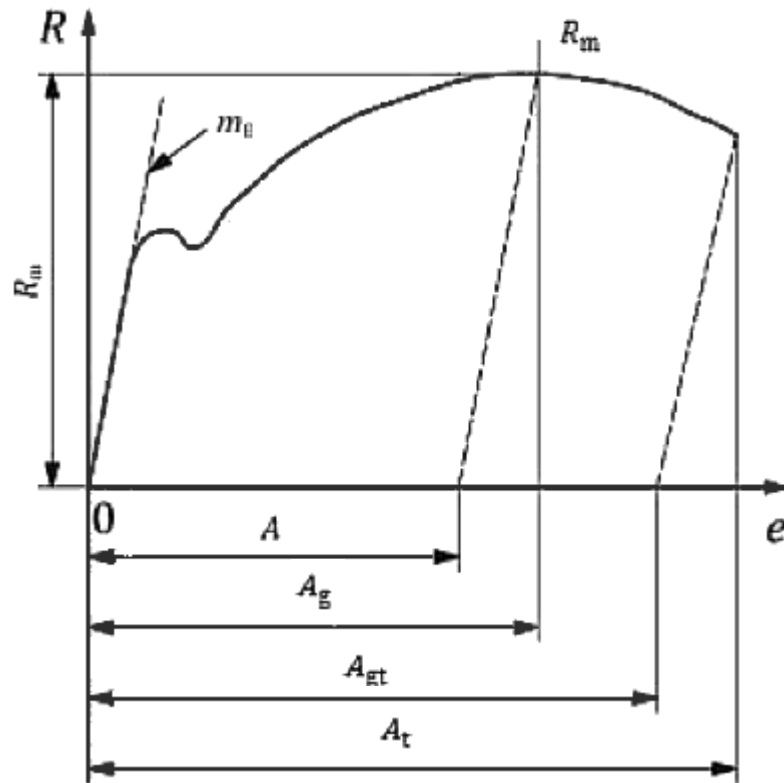
(parfois palier d'écoulement plastique AB)

Zone de striction (CD)

- **Allongement localisé** au niveau d'une section droite qui diminue jusqu'à rupture.

(O'G) : en cours d'essai si la force est annulée, on observe un retour élastique du matériau (réversible)

3.6 Essai de traction : valeurs d'essai

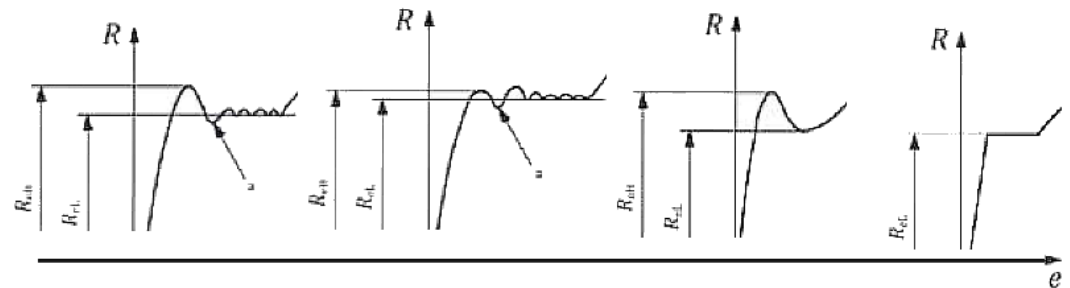


ISO 6892-1-2019

Matériaux métalliques essai de traction

Légende

- A pourcentage d'allongement après rupture [déterminé directement sur l'éprouvette]
- A_g pourcentage d'extension plastique à la force maximale
- A_{gt} pourcentage total à la force maximale
- A_t pourcentage total à la rupture
- e pourcentage d'extension
- m_E pente de la partie élastique de la courbe de pourcentage de contrainte et de pourcentage d'extension
- R contrainte
- R_m résistance à la traction



Légende

- e pourcentage d'extension
- R contrainte
- R_{eH} limite supérieure d'écoulement
- R_{eL} limite inférieure d'écoulement
- a Effet transitoire initial.

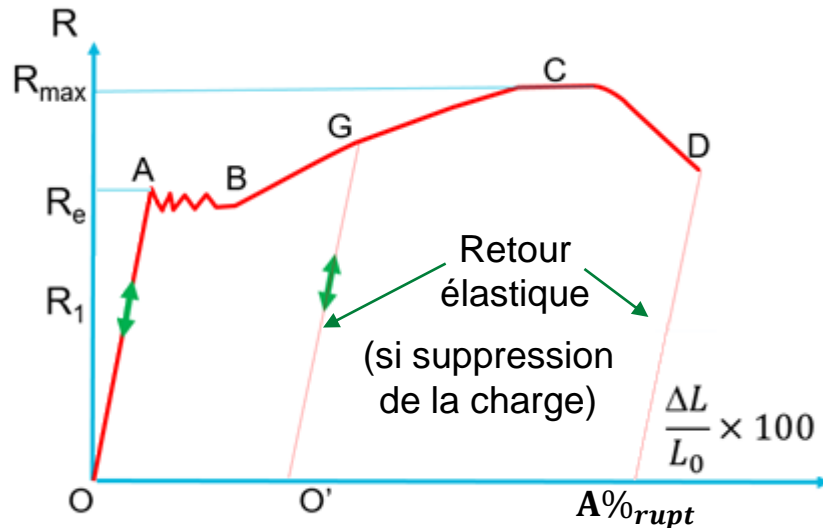
3. CARACTÉRISATION MÉCANIQUE D'UN MATÉRIAU

45

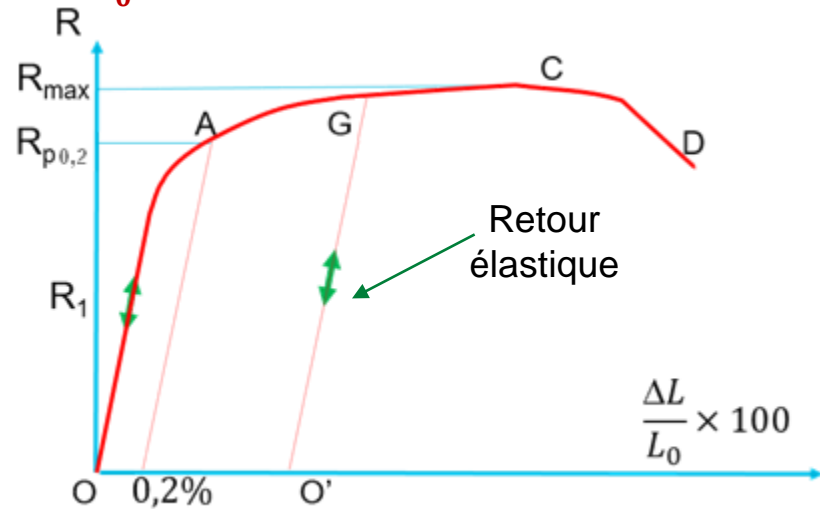
3.4 Essai de traction : courbe conventionnelle de traction

Grandeurs caractéristiques déterminées à partir de l'essai de traction

courbe conventionnelle de traction : $\sigma = \frac{F}{S_0}$



courbe conventionnelle de traction



courbe conventionnelle de traction

Limite apparente d'Elasticité nette (point A)
(Aciers ferritiques)

$$(A): R_e = \frac{F_e}{S_0} \quad (C): R_m = \frac{F_m}{S_0}$$

$$A\%_{rupt} = \frac{Lu}{L_0} \times 100$$

Certains matériaux ne présentent pas de limite apparente d'élasticité nette
(Aciers austénitiques, Aluminium,...)

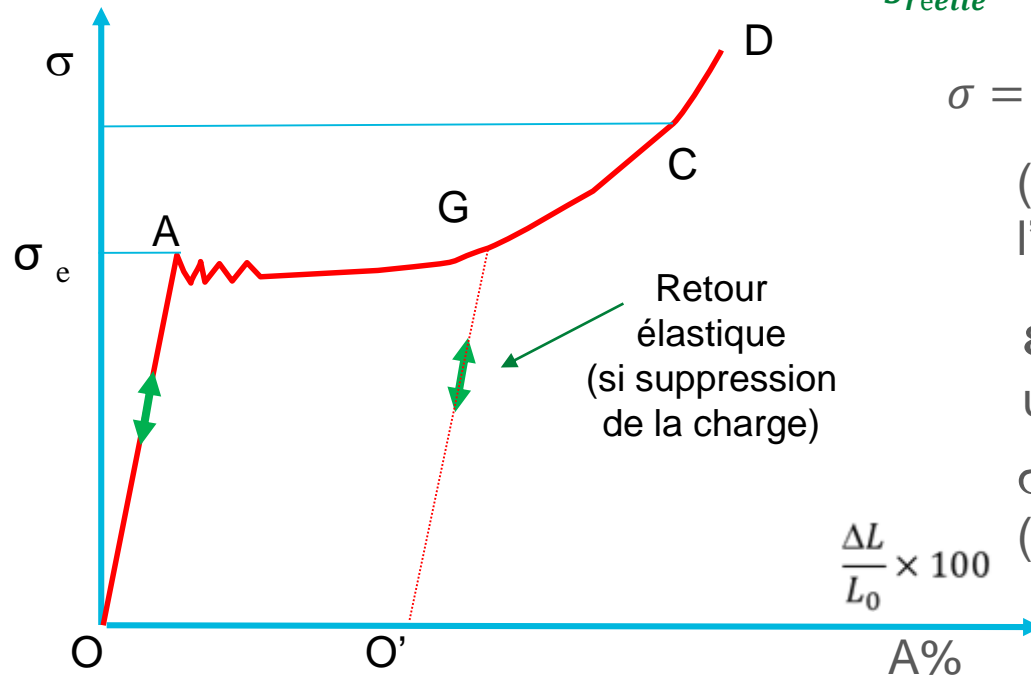
On détermine une **Limite conventionnelle d'Elasticité** : avec allongement rémanent de 0,2%

$$(A): R_{p0,2} = \frac{F_{p0,2}}{S_0} \quad R_m = \frac{F_m}{S_0}$$

3.4 Essai de traction : courbe rationnelle de traction

En tenant compte des équilibres et des hypothèses de traction simple, on a

courbe rationnelle de traction : $\sigma = \frac{F}{S_{réelle}}$



$$\sigma = \frac{F}{S} = \frac{-N}{S}$$

(valable à condition d'enlever l'incidence de la géométrie)

ε : Déformation ou allongement unitaire(adimensionnel)

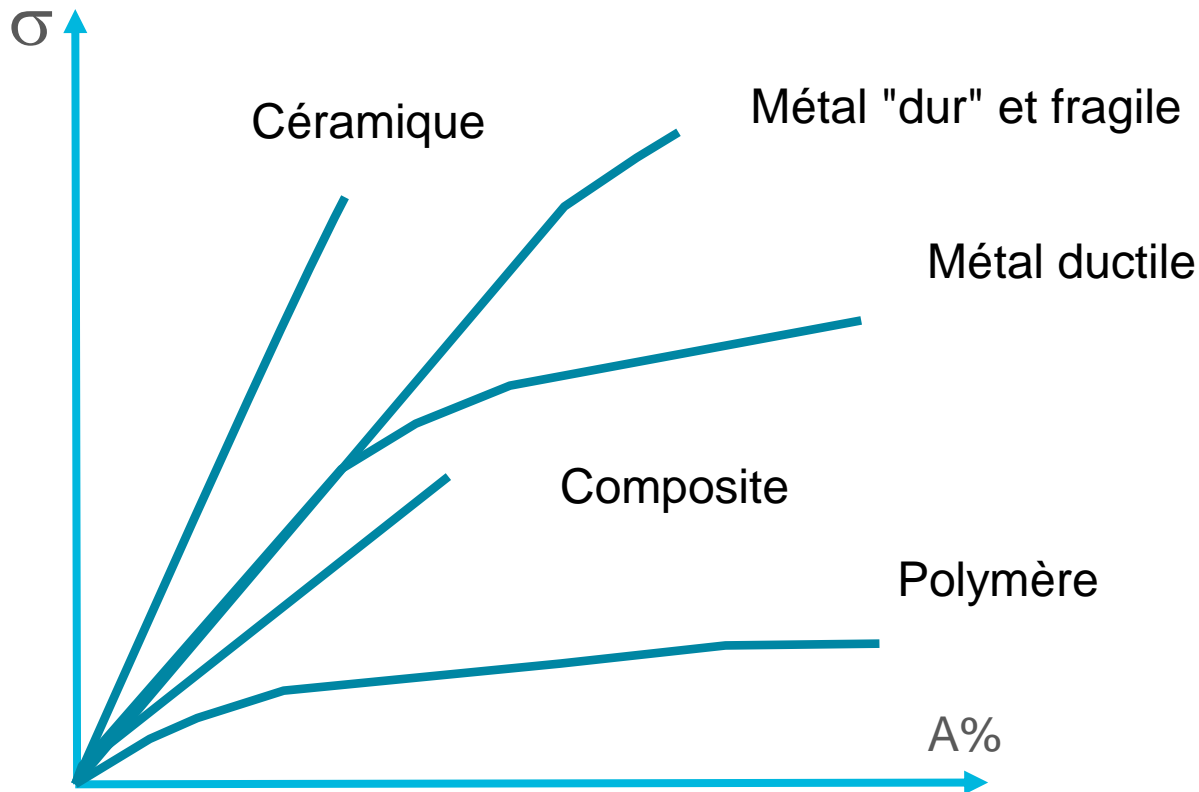
σ : Contrainte de traction réelle (MPa ou N.mm⁻²)

On distingue 2 zones de comportement :

- Un domaine élastique (entre $0 \leq \sigma_{11} \leq \sigma_e$)
- Un domaine plastique (pour $\sigma_{11} > \sigma_e$)

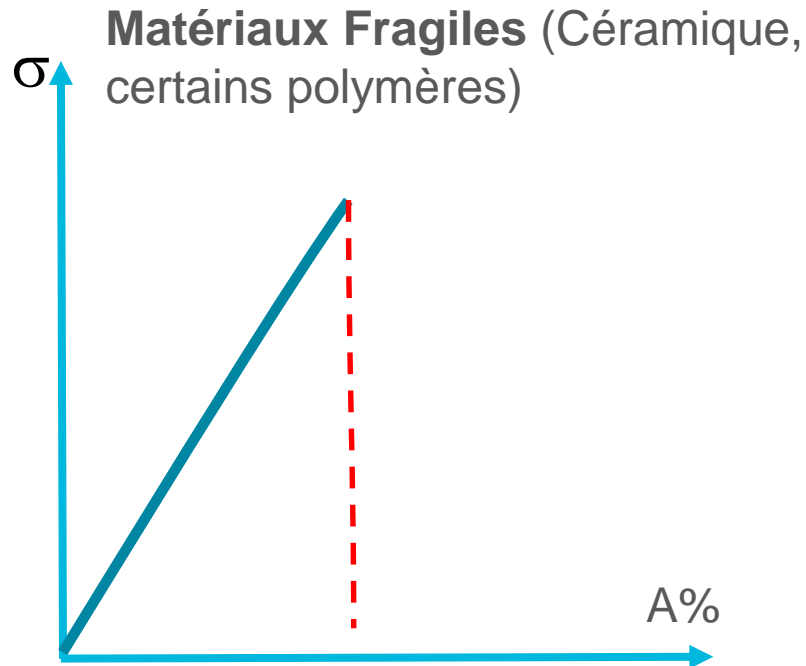
3.4 Essai de traction : courbe rationnelle typique

Courbe rationnelle : dépend du type de matériau

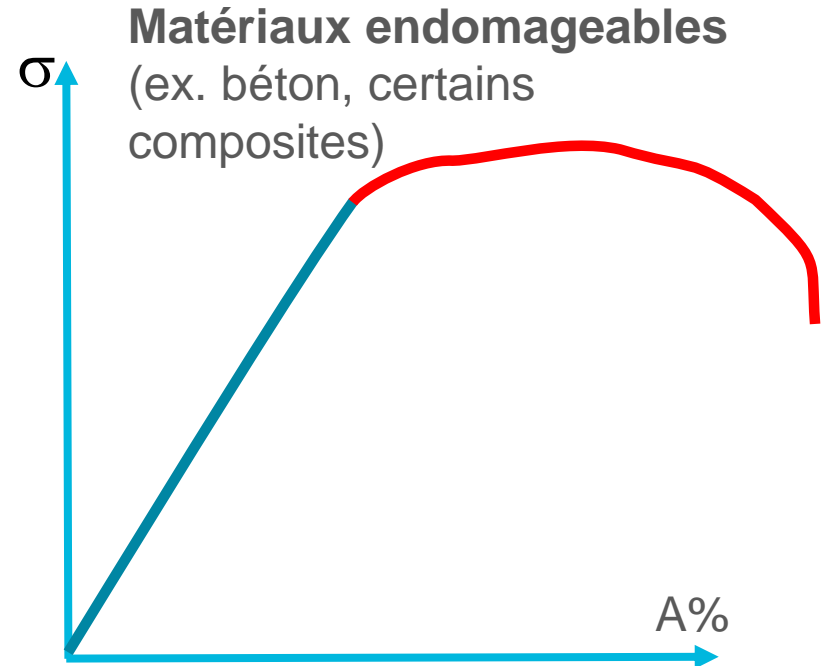


3.4 Essai de traction : au-delà de la limite d'élasticité

□ Comportements des Matériaux



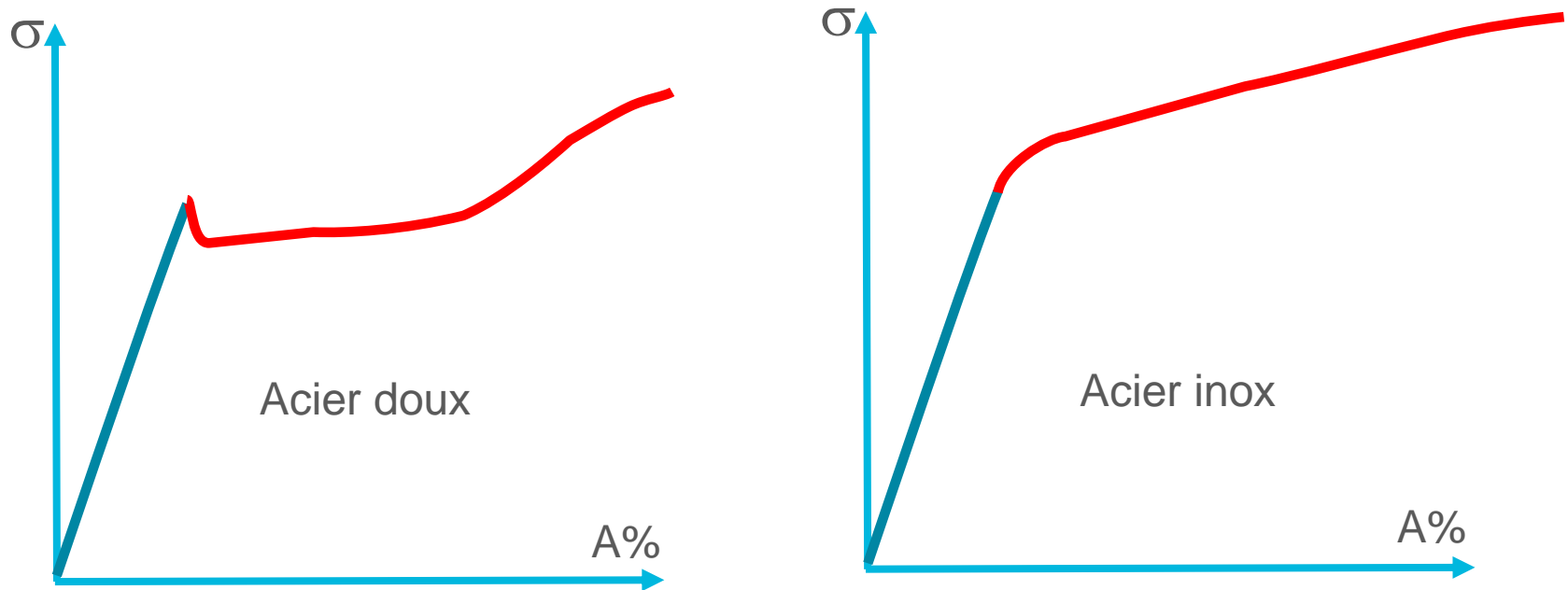
→ Au-delà de la limite d'élasticité **Les matériaux fragiles** présentent une faible aptitude à supporter des déformations



→ Au-delà de la limite d'élasticité **Les matériaux endommageables** présentent une dégradation des propriétés

3.4 Essai de traction : au-delà de la limite d'élasticité

❑ Matériaux ductiles (métaux, certains polymères)



La ductilité est l'aptitude du matériau à supporter des déformations élevées (qq% à qq dizaines de %)

3.4 Essai de traction : matériaux symétriques et non symétriques

Matériaux symétriques : matériau ayant la même limite élastique en traction et en compression :

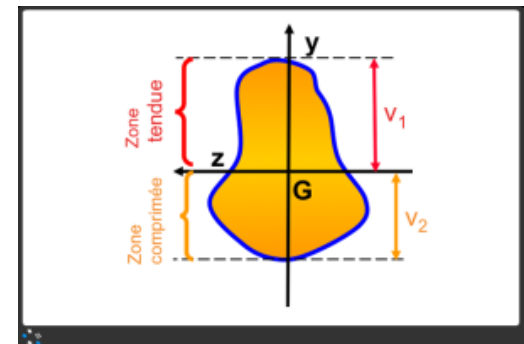
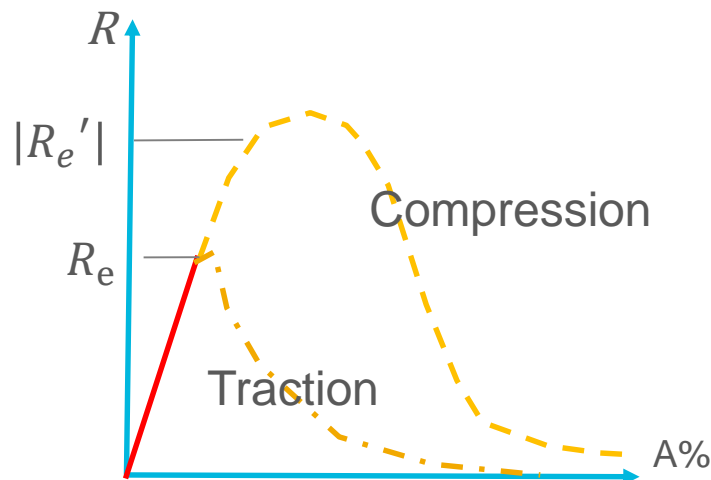
$$R_e = |R'_e|$$

Matériaux non symétriques : les limites élastiques en traction et en compression sont différentes

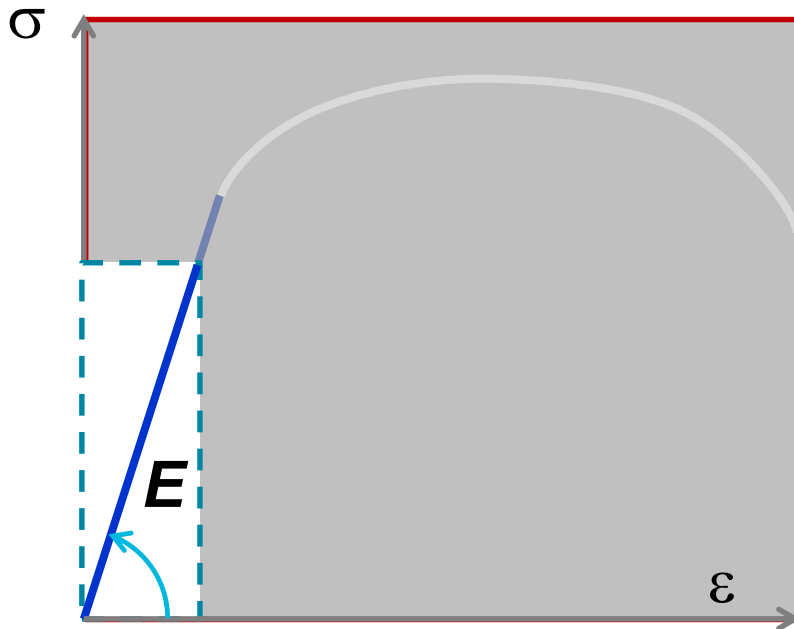
En traction	R_e	En compression	R'_e	$R_e \neq R'_e $
-------------	-------	----------------	--------	-------------------

Cas d'application : le béton avec le cas d'une poutre en flexion par exemple, fonte

*Exemple sur
le béton*



3.4 Essai de traction : Zone d'utilisation en RdM



Loi de Hooke en traction (1678)

« *ut tensio sic vis* » « telle extension, telle force »

$$\sigma = E \varepsilon$$

(Sous cette forme la loi est uni axiale)

Point important !

Les **théories de l'élasticité linéaire de la RdM** ne concernent que **le domaine élastique** des matériaux

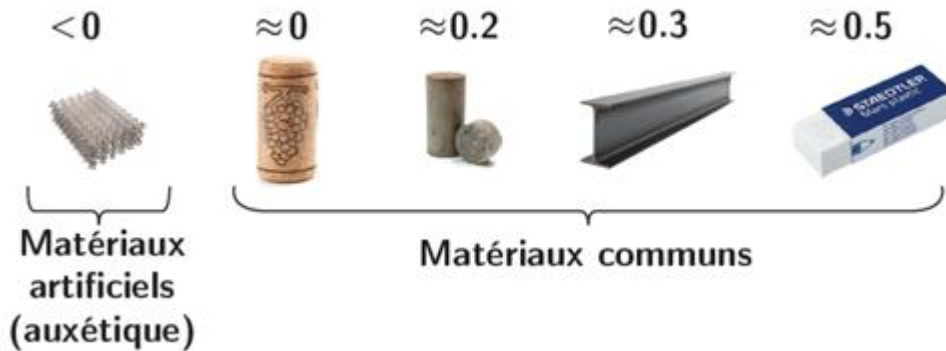
- Dans ce domaine les déformations sont réversibles et n'excèdent pas quelques %

3. CARACTÉRISATION MÉCANIQUE D'UN MATÉRIAU

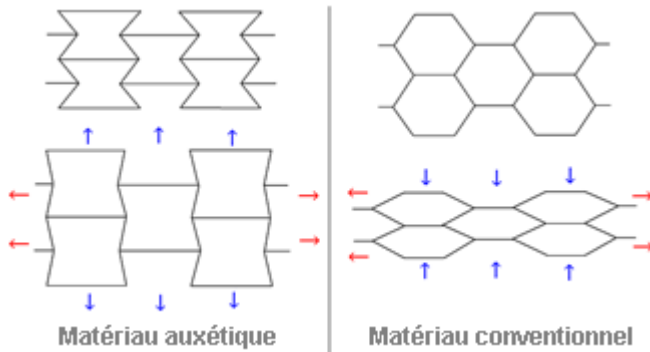
52

3.5 Quelques valeurs usuelles : **Module de Young** et **Coefficient de Poisson**

Coefficients de poisson



Valeurs typiques



E : Module de Young

➤ Très variable selon le matériau

Matériau	Module de Young E en MPa
Acier	210 000
Aluminium	70 000
Bois	5 500 à 12 000
Verre	60 000
Polystyrène	3 000
Béton	20 000 (comp) 50000 (trac.)
Céramique	Jusqu'à 1 000 000

4.1 Loi de comportement (petites déformations; matériaux isotropes)

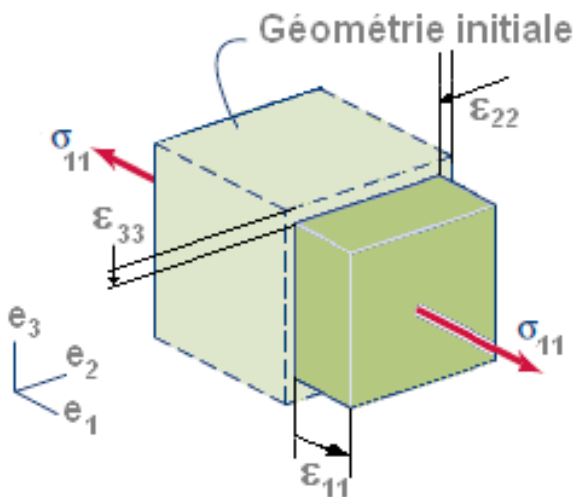
Cas uniaxial

La majorité des matériaux dans le domaine des petites déformations présentent un comportement linéaire élastique. (hypothèses de la RDM)

C'est-à-dire :

- Matériau isotrope

On exerce sur un matériau une contrainte selon une direction (par exemple $\sigma_{11}\vec{e}_1$)



$$\overline{\overline{\sigma(M)}} = \begin{bmatrix} \sigma_{11} & 0 & 0 \\ 0 & 0 & 0 \\ 0 & 0 & 0 \end{bmatrix}_{(\vec{e}_1, \vec{e}_2, \vec{e}_3)}$$

On observe alors l'état de déformation suivant :

$$\overline{\overline{\varepsilon(M)}} = \begin{bmatrix} \varepsilon_{11} & 0 & 0 \\ 0 & \varepsilon_{22} & 0 \\ 0 & 0 & \varepsilon_{33} \end{bmatrix}_{(\vec{e}_1, \vec{e}_2, \vec{e}_3)} \quad \text{avec}$$

$$\varepsilon_{11} = K \sigma_{11}$$

$$\varepsilon_{22} = -\alpha \varepsilon_{11}$$

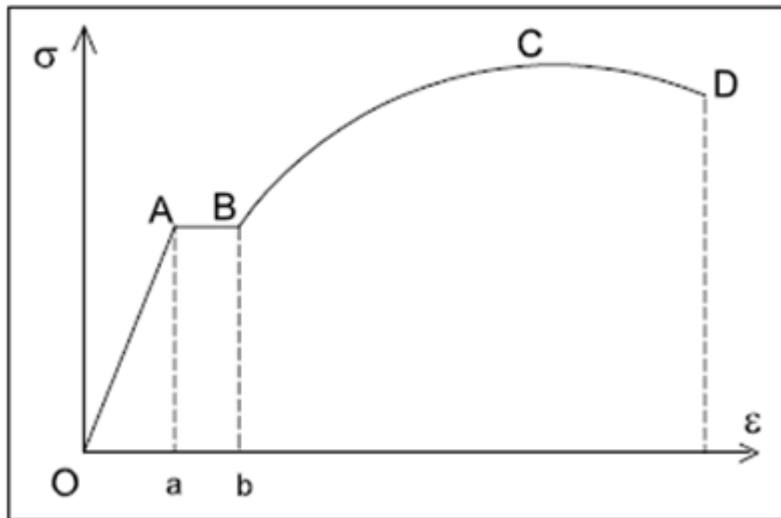
$$\varepsilon_{33} = -\alpha \varepsilon_{11}$$

Si on annule σ_{11} alors les déformations s'annulent et la forme reprend sa géométrie initiale

3.7 Essai de traction : exemple

Un essai de traction est réalisé sur une éprouvette de longueur initiale 100mm

A : $\epsilon = 0,12 \%$	B : $\epsilon = 2,4 \%$	C : $\epsilon = 19 \%$	D : $\epsilon = 25 \%$
$\sigma = 240 \text{ MPa}$	$\sigma = 240 \text{ MPa}$	$\sigma = 420 \text{ MPa}$	$\sigma = 380 \text{ MPa}$



1. La courbe correspond-elle à la courbe conventionnelle de traction ?
2. Identifier les zones de comportement
3. Déterminer R_e , R_m , R_r
4. Calculer le module de Young (on précisera les unités)
5. Calculer l'allongement à la rupture
6. Reporter les différents points sur la courbe

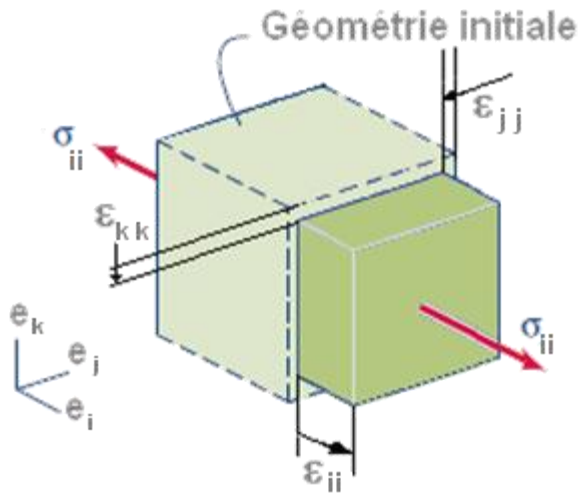
Partie 1

- 1. NOTION DE CONTRAINTE**
- 2. NOTION DE DÉFORMATION**
- 3. CARACTÉRISATION MÉCANIQUE
D'UN MATÉRIAU**
- 4. LOI DE COMPORTEMENT**

4.1 Loi de comportement (petites déformations; matériaux isotropes)

□ Cas uniaxial

Ce comportement est modélisé par **la loi de Hooke** (uniaxiale), qui relie déformation et contrainte (quelquesoit la direction \vec{e}_i , cas d'un matériau isotrope)



$$\sigma_{ii} = E \varepsilon_{ii}$$

E est appelé **Module de YOUNG**,
c'est une caractéristique du matériau

Simultanément dans les plans perpendiculaires à \vec{e}_i
se produisent des déformations

$$\varepsilon_{jj} = -\nu \varepsilon_{ii}$$

$$\varepsilon_{kk} = -\nu \varepsilon_{ii}$$

ν est appelé **coefficient de Poisson**,
c'est une caractéristique du matériau

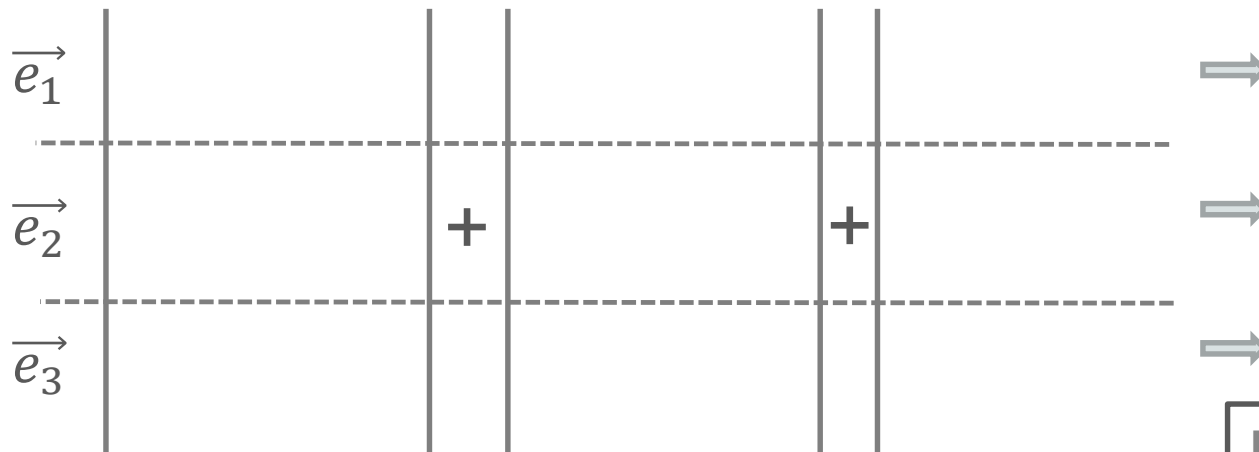
4.1 Loi de comportement (petites déformations; matériaux isotropes)

Loi de Hooke généralisée (repère principal)

- Dans le domaine des petites déformations, le comportement du matériau est linéaire
- Si on superpose des contraintes, les déformations induites s'ajoutent
- On généralise ainsi la loi de Hooke à des états de contraintes tridimensionnels en superposant trois contraintes selon trois directions perpendiculaires $(\vec{e}_1, \vec{e}_2, \vec{e}_3)$

$$\overline{\overline{\sigma(M)}} = \begin{bmatrix} \sigma_{11} & 0 & 0 \\ 0 & 0 & 0 \\ 0 & 0 & 0 \end{bmatrix} + \begin{bmatrix} 0 & 0 & 0 \\ 0 & \sigma_{22} & 0 \\ 0 & 0 & 0 \end{bmatrix} + \begin{bmatrix} 0 & 0 & 0 \\ 0 & 0 & 0 \\ 0 & 0 & \sigma_{33} \end{bmatrix} = \begin{bmatrix} \sigma_{11} & 0 & 0 \\ 0 & \sigma_{22} & 0 \\ 0 & 0 & \sigma_{33} \end{bmatrix}_{(\vec{e}_1, \vec{e}_2, \vec{e}_3)}$$

On exprime ainsi les déformations en fonctions des contraintes dans chaque direction \vec{e}_i



Dans le repère principal :

Loi de Hooke généralisée

4.1 Loi de comportement (petites déformations; matériaux isotropes)

Loi de Hooke généralisée (repère principal)

- Dans le domaine des petites déformations, le comportement du matériau est linéaire
- Si on superpose des contraintes, les déformations induites s'ajoutent
- On généralise ainsi la loi de Hooke à des états de contraintes tridimensionnels en superposant trois contraintes selon trois directions perpendiculaires $(\vec{e}_1, \vec{e}_2, \vec{e}_3)$

$$\overline{\overline{\sigma(M)}} = \begin{bmatrix} \sigma_{11} & 0 & 0 \\ 0 & 0 & 0 \\ 0 & 0 & 0 \end{bmatrix} + \begin{bmatrix} 0 & 0 & 0 \\ 0 & \sigma_{22} & 0 \\ 0 & 0 & 0 \end{bmatrix} + \begin{bmatrix} 0 & 0 & 0 \\ 0 & 0 & 0 \\ 0 & 0 & \sigma_{33} \end{bmatrix} = \begin{bmatrix} \sigma_{11} & 0 & 0 \\ 0 & \sigma_{22} & 0 \\ 0 & 0 & \sigma_{33} \end{bmatrix}_{(\vec{e}_1, \vec{e}_2, \vec{e}_3)}$$

On exprime ainsi les déformations en fonctions des contraintes dans chaque direction \vec{e}_i

\vec{e}_1	$\varepsilon_{11} = \frac{\sigma_{11}}{E}$	$\varepsilon_{11} = -\nu \frac{\sigma_{22}}{E}$	$\varepsilon_{11} = -\nu \frac{\sigma_{33}}{E}$	$\Rightarrow \varepsilon_{11} = \frac{\sigma_{11}}{E} - \nu \frac{\sigma_{22} + \sigma_{33}}{E}$
\vec{e}_2	$\varepsilon_{22} = -\nu \frac{\sigma_{11}}{E}$	$\varepsilon_{22} = \frac{\sigma_{22}}{E}$	$\varepsilon_{22} = -\nu \frac{\sigma_{33}}{E}$	$\Rightarrow \varepsilon_{22} = \frac{\sigma_{22}}{E} - \nu \frac{\sigma_{11} + \sigma_{33}}{E}$
\vec{e}_3	$\varepsilon_{33} = -\nu \frac{\sigma_{11}}{E}$	$\varepsilon_{33} = -\nu \frac{\sigma_{22}}{E}$	$\varepsilon_{33} = \frac{\sigma_{33}}{E}$	$\Rightarrow \varepsilon_{33} = \frac{\sigma_{33}}{E} - \nu \frac{\sigma_{11} + \sigma_{22}}{E}$

Dans le repère principal :

Loi de Hooke généralisée

$$\varepsilon_{ii} = \frac{\sigma_{ii}}{E} - \nu \frac{\sigma_{jj} + \sigma_{kk}}{E}$$

4.1 Loi de comportement (petites déformations; matériaux isotropes)

Loi de Hooke généralisée (repère principal)

$$\varepsilon_{ii} = \frac{\sigma_{ii}}{E} - \nu \frac{\sigma_{jj} + \sigma_{kk}}{E} \xrightarrow{\varepsilon_{11} + \varepsilon_{22} + \varepsilon_{33}} \frac{1 - 2\nu}{E} (\sigma_{11} + \sigma_{22} + \sigma_{33}) = \varepsilon_{11} + \varepsilon_{22} + \varepsilon_{33} \quad \textcircled{1}$$

Inversion de la loi de Hooke (exemple détermination de σ_{11})

$$\varepsilon_{11} = \frac{\sigma_{11}}{E} - \nu \frac{\sigma_{22} + \sigma_{33}}{E} \xRightarrow{\quad} \sigma_{22} + \sigma_{33} = \frac{E}{\nu} \left(\frac{\sigma_{11}}{E} - \varepsilon_{11} \right) \quad \textcircled{2}$$

$$\textcircled{1} \xRightarrow{\quad} \sigma_{22} + \sigma_{33} = \frac{E}{1 - 2\nu} (\varepsilon_{11} + \varepsilon_{22} + \varepsilon_{33}) - \sigma_{11}$$

$$\textcircled{1} = \textcircled{2} \xRightarrow{\quad} \frac{E}{\nu} \left(\frac{\sigma_{11}}{E} - \varepsilon_{11} \right) = \frac{E}{1 - 2\nu} (\varepsilon_{11} + \varepsilon_{22} + \varepsilon_{33}) - \sigma_{11}$$

$$\sigma_{11} \left(\frac{1}{\nu} + 1 \right) = \frac{E}{\nu} \varepsilon_{11} + \frac{E}{1 - 2\nu} (\varepsilon_{11} + \varepsilon_{22} + \varepsilon_{33})$$

$$\sigma_{11} = \frac{E}{1 + \nu} \varepsilon_{11} + \frac{E\nu}{(1 + \nu)(1 - 2\nu)} (\varepsilon_{11} + \varepsilon_{22} + \varepsilon_{33})$$

Loi de Hooke généralisée inversée

Repère principal

Calcul identique pour σ_{22}, σ_{33}

4.1 Loi de comportement : Loi généralisée

Loi de Hooke généralisée (**Repère principal**) (petites déformations; matériaux isotropes)

$$\varepsilon_{ii} = \frac{(1+\nu)\sigma_{ii}}{E} - \nu \frac{\sigma_{ii} + \sigma_{jj} + \sigma_{kk}}{E} \quad \textcircled{1}$$

Inversion de la loi de Hooke

$$\textcircled{2} \implies \sigma_{11} + \sigma_{22} + \sigma_{33} = \frac{E}{1-2\nu} (\varepsilon_{11} + \varepsilon_{22} + \varepsilon_{33})$$

$$\textcircled{1} \& \textcircled{2} \implies \varepsilon_{ii} = \frac{(1+\nu)\sigma_{ii}}{E} - \frac{\nu}{E} \left(\frac{E}{1-2\nu} (\varepsilon_{11} + \varepsilon_{22} + \varepsilon_{33}) \right)$$

$$\frac{(1+\nu)\sigma_{ii}}{E} = \varepsilon_{ii} + \frac{\nu}{1-2\nu} (\varepsilon_{11} + \varepsilon_{22} + \varepsilon_{33})$$

$$\sigma_{ii} = \frac{E}{1+\nu} \varepsilon_{ii} + \frac{E\nu}{(1+\nu)(1-2\nu)} (\varepsilon_{11} + \varepsilon_{22} + \varepsilon_{33})$$

Loi de Hooke généralisée inversée

Repère
principal

Par permutation
d'indices
on détermine
 $\sigma_{11}, \sigma_{22}, \sigma_{33}$

4.2 Loi de comportement : Loi généralisée

Loi de Hooke généralisée (**Repère quelconque**)

Loi de Hooke généralisée inversée dans le repère principal (forme matricielle)

$$\begin{bmatrix} \sigma_I & 0 & 0 \\ 0 & \sigma_{II} & 0 \\ 0 & 0 & \sigma_{III} \end{bmatrix} = \frac{E}{1+\nu} \begin{bmatrix} \varepsilon_I & 0 & 0 \\ 0 & \varepsilon_{II} & 0 \\ 0 & 0 & \varepsilon_{III} \end{bmatrix} + \frac{E\nu(\varepsilon_I + \varepsilon_{II} + \varepsilon_{III})}{(1+\nu)(1-2\nu)} \begin{bmatrix} 1 & 0 & 0 \\ 0 & 1 & 0 \\ 0 & 0 & 1 \end{bmatrix}$$

Procédons à un changement de repère caractérisé par la matrice de passage $[P]$

$${}^t[P] \begin{bmatrix} \sigma_I & 0 & 0 \\ 0 & \sigma_{II} & 0 \\ 0 & 0 & \sigma_{III} \end{bmatrix} [P] = \frac{E}{1+\nu} {}^t[P] \begin{bmatrix} \varepsilon_I & 0 & 0 \\ 0 & \varepsilon_{II} & 0 \\ 0 & 0 & \varepsilon_{III} \end{bmatrix} [P] + \frac{E\nu(\varepsilon_{11} + \varepsilon_{22} + \varepsilon_{33})}{(1+\nu)(1-2\nu)} \underbrace{{}^t[P][Id_3][P]}_{[Id_3]}$$

Nous obtenons :

$$\begin{bmatrix} \sigma_{11} & \sigma_{12} & \sigma_{13} \\ \sigma_{21} & \sigma_{22} & \sigma_{23} \\ \sigma_{31} & \sigma_{32} & \sigma_{33} \end{bmatrix} = \frac{E}{1+\nu} \begin{bmatrix} \varepsilon_{11} & \varepsilon_{12} & \varepsilon_{13} \\ \varepsilon_{21} & \varepsilon_{22} & \varepsilon_{23} \\ \varepsilon_{31} & \varepsilon_{32} & \varepsilon_{33} \end{bmatrix} + \frac{E\nu(\varepsilon_{11} + \varepsilon_{22} + \varepsilon_{33})}{(1+\nu)(1-2\nu)} \begin{bmatrix} 1 & 0 & 0 \\ 0 & 1 & 0 \\ 0 & 0 & 1 \end{bmatrix}$$

(les matrices des contraintes et déformations qui décrivent le même état de contrainte ne sont plus diagonales)

Loi de Hooke généralisée inversée (Repère quelconque)

$$\sigma_{ij} = \frac{E}{1+\nu} \varepsilon_{ij} + \frac{E\nu}{(1+\nu)(1-2\nu)} (\varepsilon_{11} + \varepsilon_{22} + \varepsilon_{33}) \delta_{ij}$$

De même la Loi de Hooke généralisée

$$\varepsilon_{ij} = \frac{(1+\nu)}{E} \sigma_{ij} - \frac{\nu}{E} (\sigma_{11} + \sigma_{22} + \sigma_{33}) \delta_{ij}$$

4.2 Loi de comportement : Loi généralisée

Loi de Hooke généralisée
(Repère quelconque)
$$\varepsilon_{ij} = \frac{(1+\nu)}{E} \sigma_{ij} - \frac{\nu}{E} (\sigma_{11} + \sigma_{22} + \sigma_{33}) \delta_{ij}$$

Inversion de la loi de Hooke généralisée inversée
(Repère quelconque)

$$\sigma_{ij} = \frac{E}{1+\nu} \varepsilon_{ij} + \frac{E\nu}{(1+\nu)(1-2\nu)} (\varepsilon_{11} + \varepsilon_{22} + \varepsilon_{33}) \delta_{ij}$$

Que l'on pose aussi
$$\sigma_{ij} = 2\mu \varepsilon_{ij} + \lambda (\varepsilon_{11} + \varepsilon_{22} + \varepsilon_{33}) \delta_{ij}$$

Grandeurs caractéristiques des matériaux

μ, λ coefficients de Lamé
 E Module de YOUNG
 ν Coefficient de Poisson
 μ Module de COULOMB

$$\left\{ \begin{array}{l} \lambda = \frac{E\nu}{(1+\nu)(1-2\nu)} \\ \mu = \frac{E}{2(1+\nu)} \\ \nu = \frac{\lambda}{2(\lambda+\mu)} \\ E = \mu \frac{3\lambda+2\mu}{\mu+\lambda} \end{array} \right.$$



IMT Nord Europe
École Mines-Télécom
IMT-Université de Lille

Résistance des Matériaux

(RdM)

Séance 2

Partie 2 (1/2)

Intervenant:

AU: 2022-2023

PARTIE 2

DÉMARCHE DE RÉOLUTION D'UN PROBLÈME DE RdM

ETAPE 1 :

- Schématisation
- Hypothèses de la RdM

ETAPE 2 : RÉOLUTION PROBLÈME STATIQUE

- Principe fondamental de la statique (PFS)
- Liaisons

ETAPE 3 : DIMENSIONNEMENT

- Éléments de réduction
- Équations d'équilibre en RdM
- Equations d'équilibre d'une section

COMPLÉMENT DE COURS:

- Propriétés de sections



2. Démarche de résolution d'un problème de RdM

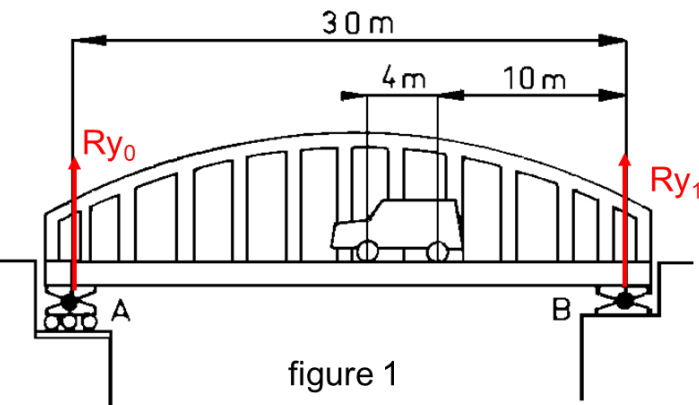
3

❑ Comment vérifier les critères usuels pour les poutres ?

Scénario: « Soit une automobile de 1200 Kg qui se déplace sur un pont de 30 m de longueur et 20 tonnes de masse (figure 1). Le véhicule s'arrête brusquement à 10 m du point B »

❑ Problème de RdM

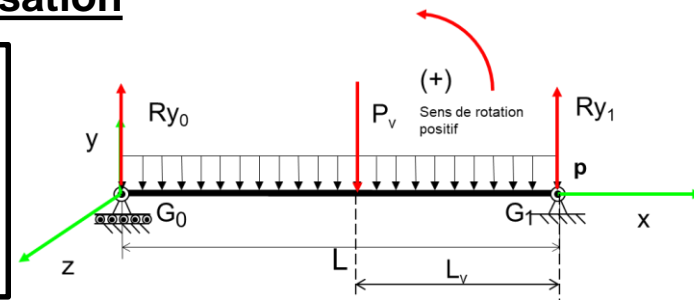
Le pont risque-t-il de fléchir sous l'action du poids du véhicule ?



❑ La résolution par la RdM se fait en **trois étapes**

I. Etape 1: la schématisation

Composant (poutre ?)
Schématisation
Liaisons/sollicitations
Hypothèses de la RdM



II. Etape 2: Résolution du problème statique : recherche actions "passives"

$$\begin{cases} Ry_0 = \frac{pL^2/2 + P_v(L_v)}{L} \\ Ry_1 = \frac{pL^2/2 + P_v(L - L_v)}{L} \end{cases}$$

III. Etape 3: Dimensionnement

Vérification de critères en
contrainte ou en
déformation

2. DÉMARCHE DE RÉOLUTION D'UN PROBLÈME DE RdM

4

□ 2.1 Étapes de résolution d'un problème de RdM

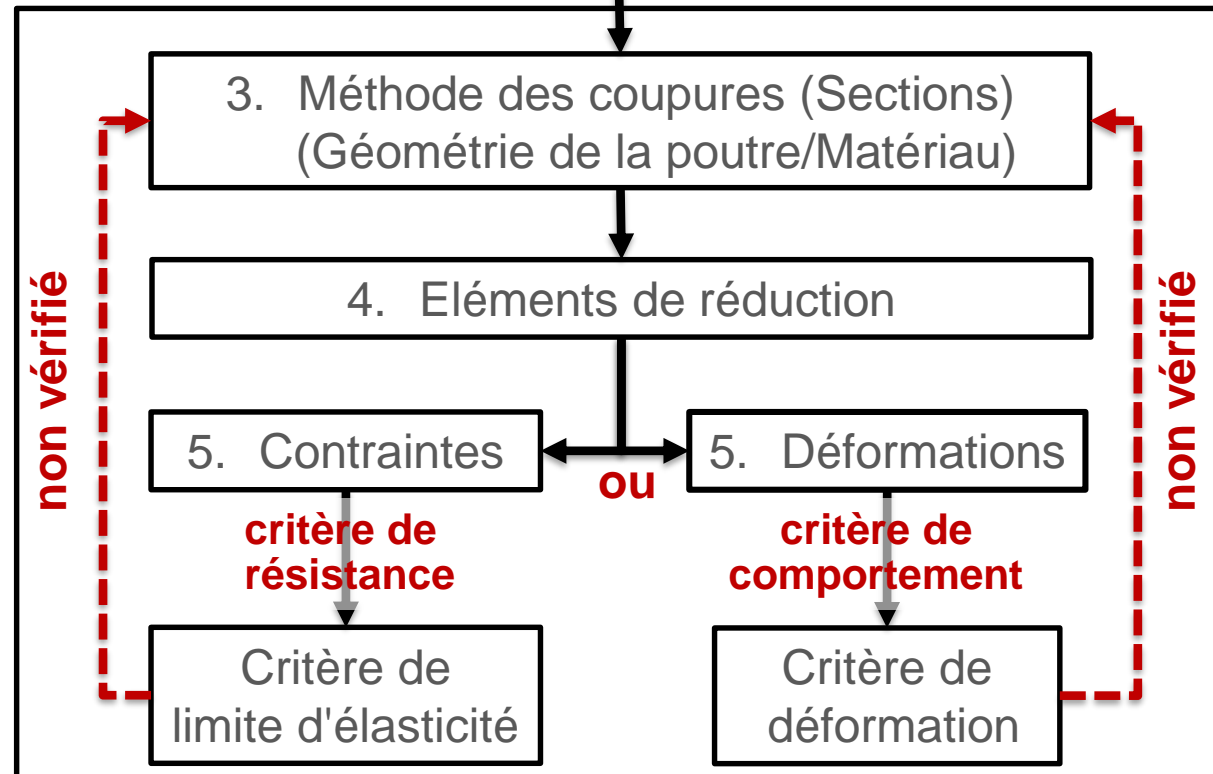
I. Schématisation

1. Composant (poutre ?)
2. Schématisation
3. Liaisons/sollicitations
4. Hypothèses de la RdM

II. Résolution du problème statique

- Principe fondamental de la statique (PFS)
1. Chargements actifs
 2. Réactions d'appuis (Actions passives)
- Système isostatique/hyperstatique

III. Dimensionnement / vérification:



Est-ce que la structure et/ou
le composant vérifie le critère
(Contrainte/Déformations) ?

A RETENIR

2. SCHÉMATISATION D'UN PROBLÈME DE RdM

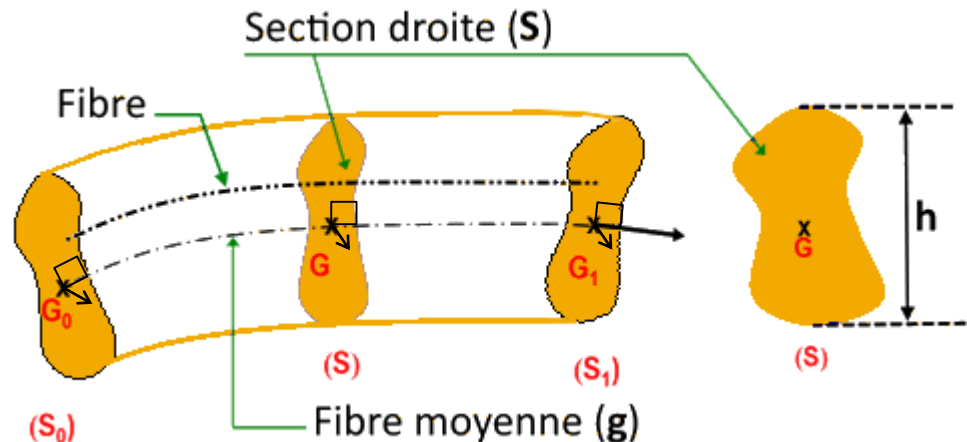
5

2. 2 Géométrie du composant

□ Géométrie (Hypothèse 1 de la RdM)

- Les composants étudiés en RdM sont **des poutres**.
- Par définition,
 - Une **poutre** est engendrée par une surface plane **S** nommée **section droite** dont le centre d'inertie (ou barycentre) **G** parcourt une courbe continue **g** appelée **fibre moyenne**;
 - La **section droite (S)** reste **perpendiculaire** à la fibre moyenne **g**;
 - Toute courbe parallèle à la courbe moyenne **g** est appelée **fibre**;

A RETENIR



2.2 Géométrie du composant

❑ Critères géométriques d'une poutre:

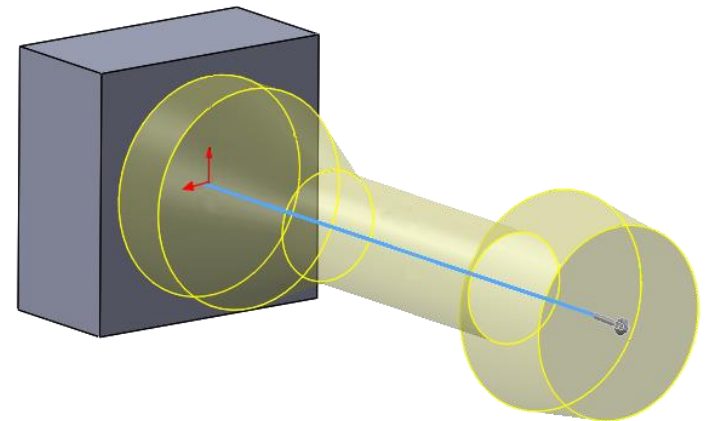
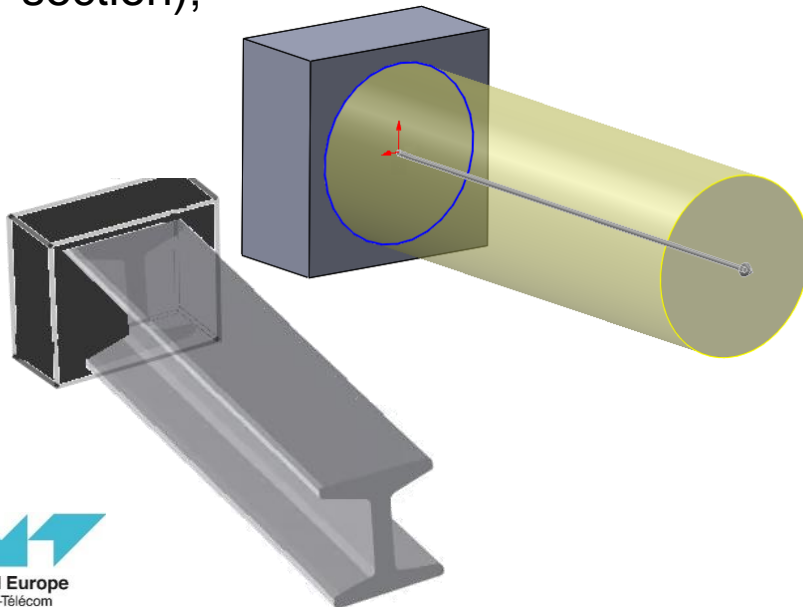
- La **longueur L** de la fibre moyenne doit être suffisamment grande devant la plus grande dimension **h** de la section droite (S):

$$5h < L < 30h$$

- Le **rayon de courbure R** en tout point de **g** de la fibre moyenne doit vérifier:

$$R > 20h$$

- Les **variations de forme et de dimensions de la section (S)** le long de la fibre moyenne **g** doivent être **progressives** (pas de variation brusque de la section);



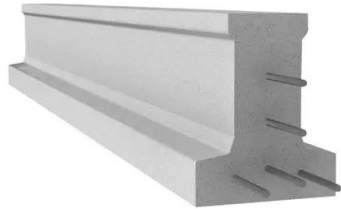
2. SCHÉMATISATION D'UN PROBLÈME DE RdM

7

2.2 Géométrie du composant

- ❑ **Applications directes:** Identifier le composant en vérifiant qu'il répond aux critères géométriques d'une poutre.

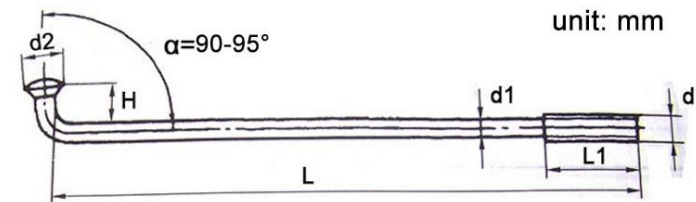
- **Exemple :**



- **Exemple 2: Rayons et jante d'une roue de vélo**



SPOKE PARAMETER



H	d2	d1	d	L1	L
6.45	5.06	2.59	2.75	10	30-350

2. SCHÉMATISATION D'UN PROBLÈME DE RdM

8

2.3 Schématisation d'un composant

I. Schématisation

Composant (poutre ?)

1. **Schématisation**
2. Liaisons/sollicitations
3. Hypothèses de la RdM

II. Résolution du problème statique

- Principe fondamental de la statique (PFS)
1. Chargements actifs
 2. Réactions d'appuis (Actions passives)

III. Dimensionnement

3. Méthode des coupures (Sections)
(Géométrie de la poutre/Matériau)

4. Éléments de réduction

5. Contraintes

5. Déformations

ou

**critère de
résistance**

**critère de
comportement**

Critère de
limite d'élasticité

Critère de
déformation

non vérifié

non vérifié

La schématisation d'une poutre se fait toujours **uniquement** par la représentation de sa **fibres moyenne**.

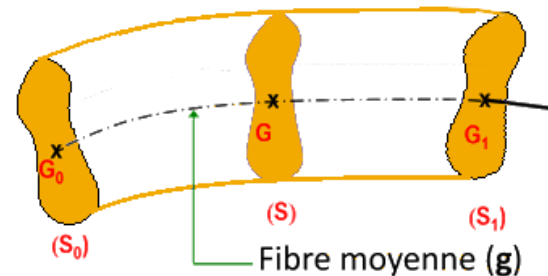
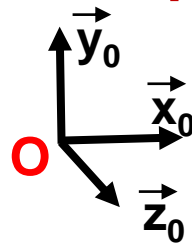
2.3.1 Schématisation d'un composant: Repère global/Repère local

1. Convention de positionnement du repère global d'étude:

- L'origine O du repère est libre (positionnée de façon à minimiser les calculs);
- \vec{y}_0 est aligné avec la verticale du lieu et orienté positivement vers le haut;
- \vec{z}_0 est horizontal et perpendiculaire au plan qui contient la poutre;
- \vec{x}_0 est orienté de telle façon que le repère $(O, \vec{x}_0, \vec{y}_0, \vec{z}_0)$ soit **orthonormé direct**.

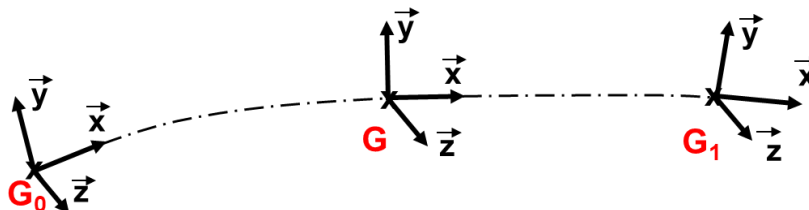
2. La poutre **est schématisée uniquement par sa fibre moyenne**

Repère global



3. Pour chaque section de la poutre on associe un repère local:

- L'origine G du repère est confondue avec la fibre moyenne (g);
- Les plans (G_i, \vec{y}, \vec{z}) appartiennent aux plans des sections (S) de la poutre;
- \vec{x} est normal aux plans des sections (\vec{x} tangent à la fibre moyenne);
- \vec{y}, \vec{z} correspondent aux **axes principaux d'inertie de section**; (cas d'un problème plan: \vec{z} perpendiculaire aux plans \vec{x}, \vec{y} communs au plan qui contient la poutre).



2. SCHÉMATISATION D'UN PROBLÈME DE RdM

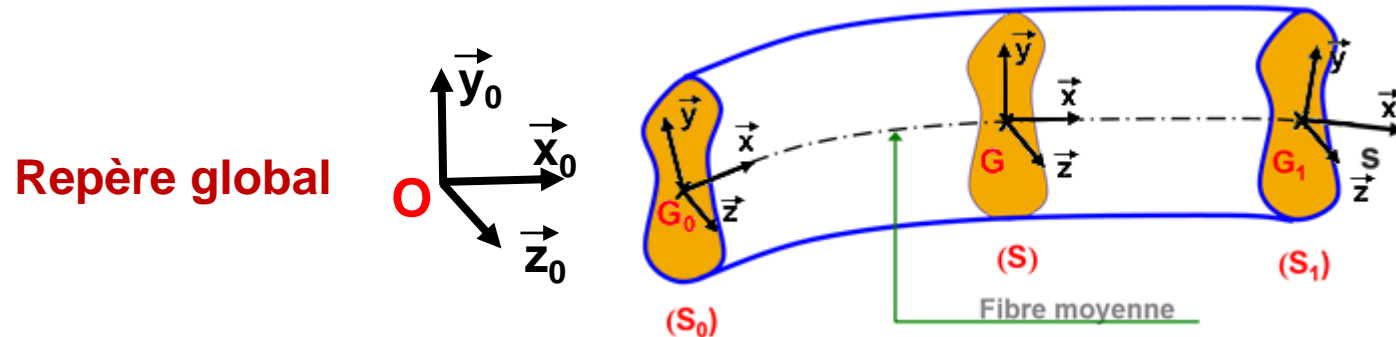
10

2.3.1 Schématisation d'un composant: Repère global/Repère local

Ce cours traite des problèmes plans :

La **fibre moyenne** de la poutre sera toujours **contenue dans un plan unique**

Le plan arbitrairement retenu du repère global sera le plan $(O, \vec{x}_0, \vec{y}_0)$ ou $(O, \vec{x}_0, \vec{z}_0)$



Les efforts extérieurs (ponctuels ou répartis) sont exclusivement **contenus** dans le plan $(O, \vec{x}_0, \vec{y}_0)$ ou $(O, \vec{x}_0, \vec{z}_0)$

Les moments extérieurs s'exercent autour de la **direction** \vec{z}_0 ou \vec{y}_0

La **direction** \vec{z} ou \vec{y} des repères principaux des sections de la poutre est **confondue avec la direction** \vec{z}_0 ou \vec{y}_0 du repère global

Remarque : la sollicitation en torsion sera appliquée sur une géométrie

spécifique. La sollicitation extérieure sera un unique moment autour de la direction \vec{x}_0 (cf. Chap torsion)

2. SCHÉMATISATION D'UN PROBLÈME DE RdM

11

2.3.2 Liaisons et sollicitations

I. Schématisation

Composant (poutre ?)

1. Schématisation
- 2. Liaisons/sollicitations**
3. Hypothèses de la RdM

II. Résolution du problème statique

- Principe fondamental de la statique (PFS)
1. Chargements actifs
 2. Réactions d'appuis (Actions passives)

III. Dimensionnement

3. Méthode des coupures (Sections)
(Géométrie de la poutre/Matériau)

4. Éléments de réduction

5. Contraintes

critère de
résistance

Critère de
limite d'élasticité

5. Déformations

critère de
comportement

Critère de
déformation

non vérifié

ou

non vérifié

Etant donné la **nature plane** des problèmes traités en RdM, trois liaisons sont le plus fréquemment étudiées: liaison encastrement, liaison appui simple, liaison pivot.

A RETENIR

2.3.2 Liaisons et sollicitations

- Chaque liaison d'un solide S_2 avec un solide S_1 est caractérisée par **deux torseurs**:

□ Torseur cinématique :

Il traduit la vitesse relative du solide S_2 par rapport à un autre solide S_1

$${}_O\{V_{S_2/S_1}\} = \begin{Bmatrix} \vec{\Omega}_{S_2/S_1} = \omega_x \cdot \vec{x} + \omega_y \cdot \vec{y} + \omega_z \cdot \vec{z} \\ \vec{V}_{O,S_2/S_1} = V_x \cdot \vec{x} + V_y \cdot \vec{y} + V_z \cdot \vec{z} \end{Bmatrix}_{(\vec{x}, \vec{y}, \vec{z})} = \begin{Bmatrix} \omega_x & V_x \\ \omega_y & V_y \\ \omega_z & V_z \end{Bmatrix}_{(\vec{x}, \vec{y}, \vec{z})} \quad \text{Avec,}$$

$\vec{\Omega}_{S_2/S_1}$: vecteur vitesse de rotation
 $\vec{V}_{O,S_2/S_1}$: vecteur vitesse du point O appartenant au solide S_2 par rapport au solide S_1

□ Torseur statique (Torseur de liaison):

Il traduit les efforts et moments transmissibles d'un solide S_2 à un autre solide S_1 .

$${}_O\{\tau_{S_2/S_1}\} = \begin{Bmatrix} \vec{F}_{S_2/S_1} = X \cdot \vec{x} + Y \cdot \vec{y} + Z \cdot \vec{z} \\ \vec{M}_{O,S_2/S_1} = L \cdot \vec{x} + M \cdot \vec{y} + N \cdot \vec{z} \end{Bmatrix}_{(\vec{x}, \vec{y}, \vec{z})} = \begin{Bmatrix} X & L \\ Y & M \\ Z & N \end{Bmatrix}_{(\vec{x}, \vec{y}, \vec{z})} \quad \text{Avec,}$$

\vec{F}_{S_2/S_1} : Force exercée par S_2 sur S_1 .
 $\vec{M}_{O,S_2/S_1}$: Moment au point O de S_2 sur S_1 .

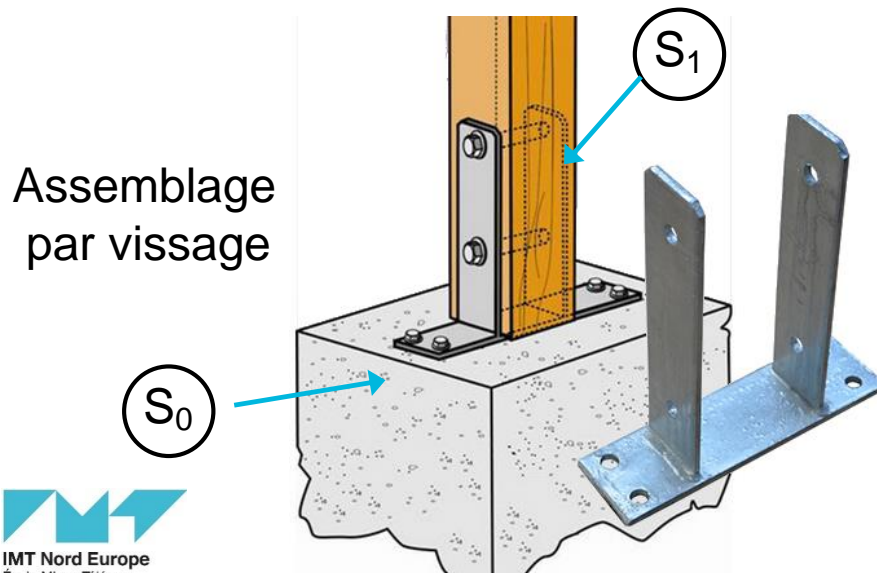
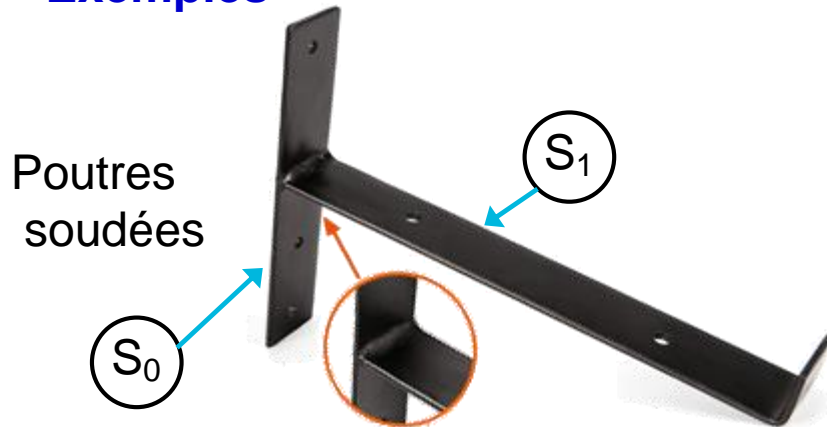
2. SCHÉMATISATION D'UN PROBLÈME DE RdM

13

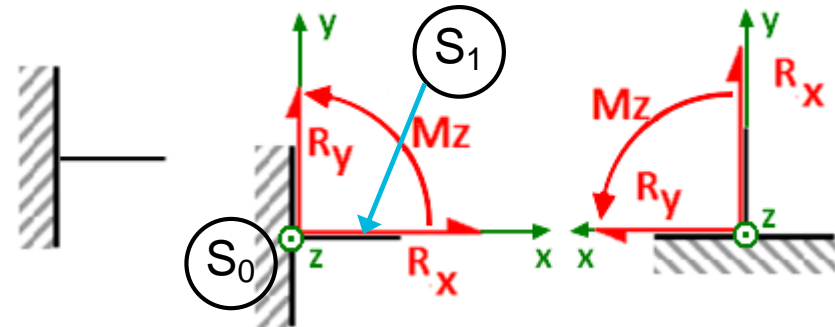
2.3.2 Liaisons et sollicitations

□ Liaison encastrement

■ Exemples



■ Représentation plane



■ Mouvements possibles (problème plan de normale \vec{z})

$${}_o\{V_{S0/S1}\} = \begin{cases} \omega_{\vec{x}} & V_x = 0 \\ \omega_{\vec{y}} & V_y = 0 \\ \omega_z = 0 & V_z \end{cases}$$

■ Torseur statique

$${}_o\{\tau_{S0/S1}\} = \begin{pmatrix} R_x & - \\ R_y & - \\ - & M_z \end{pmatrix}_{(\vec{x}, \vec{y}, \vec{z})}$$

2. SCHÉMATISATION D'UN PROBLÈME DE RdM

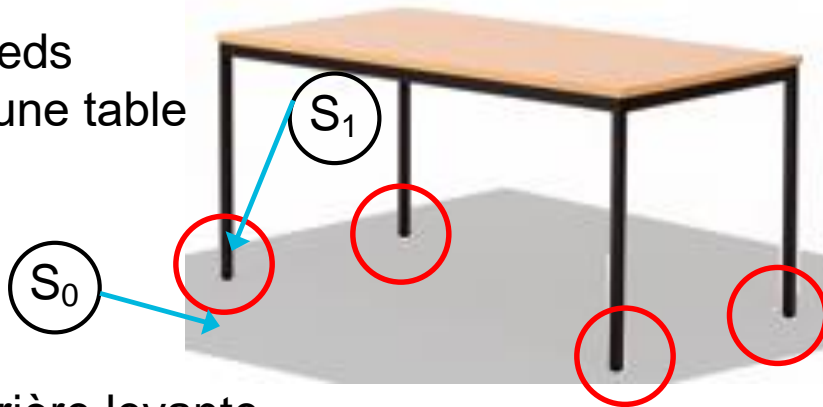
14

2.3.2 Liaisons et sollicitations

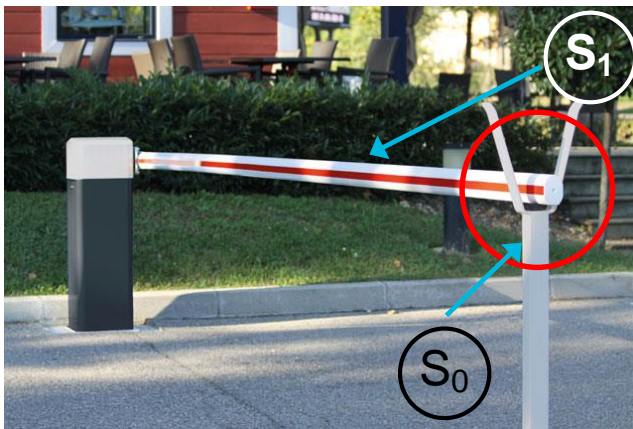
□ Liaison appui simple (ou ponctuelle)

▪ Exemples:

Pieds
d'une table

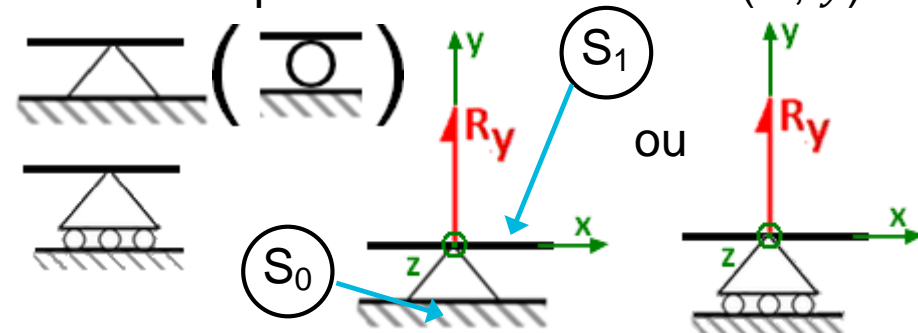


Barrière levante



▪ Représentation plane

Liaison ponctuelle de normale (O, \vec{y})



▪ Mouvements possibles (problème plan de normale \vec{z})

$${}_O\{V_{S0/S1}\} = \begin{Bmatrix} \omega_{\vec{x}} \\ \omega_{\vec{y}} \\ \omega_z \\ V_x \\ V_y \\ V_z \end{Bmatrix} = \begin{Bmatrix} V_x \\ V_y = 0 \\ V_z \end{Bmatrix}$$

▪ Torseur statique

$${}_O\{\tau_{S0/S1}\} = \begin{Bmatrix} R_x = 0 \\ R_y \\ - \\ M_z = 0 \end{Bmatrix}_{(\vec{x}, \vec{y}, \vec{z})}$$

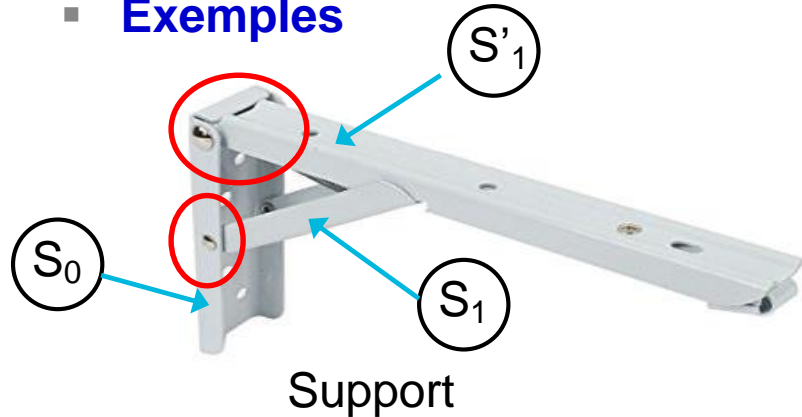
2. SCHÉMATISATION D'UN PROBLÈME DE RdM

15

2.3.2 Liaisons et sollicitations

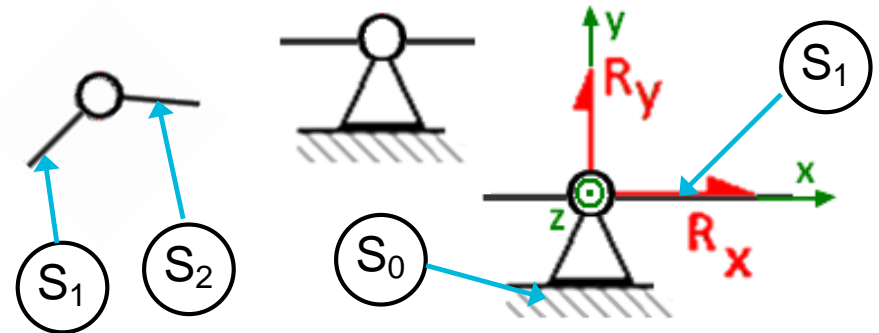
□ Liaison pivot

■ Exemples



Domaine du génie civil: les ponts

■ Représentation plane d'axe (O, \vec{z})



■ Mouvements possibles (problème plan de normale \vec{z})

$${}_O\{V_{S0/S1}\} = \begin{cases} \omega_{\vec{x}} & V_x = 0 \\ \omega_{\vec{y}} & V_y = 0 \\ \omega_z & V_z \end{cases}$$

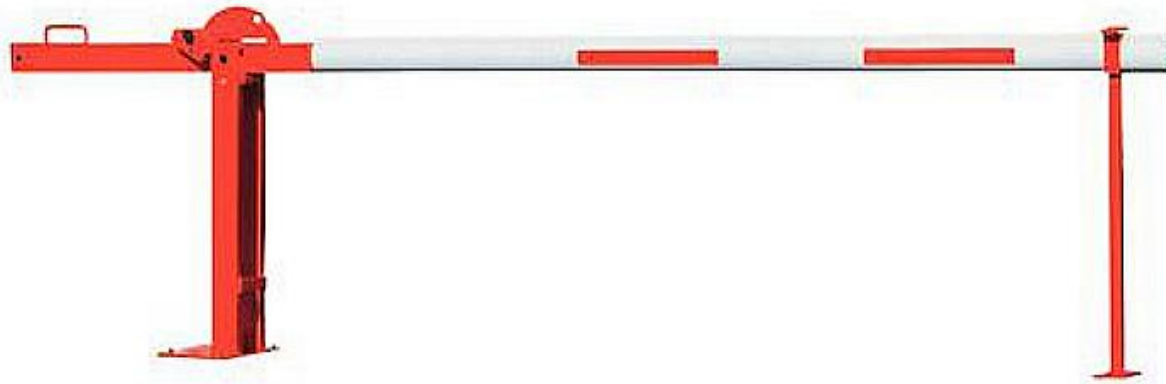
■ Torseur statique

$${}_O\{\tau_{S0/S1}\} = \begin{cases} R_x & - \\ R_y & - \\ - & M_z = 0 \end{cases}_{(\vec{x}, \vec{y}, \vec{z})}$$

2.3.2 Liaisons et sollicitations

□ Application directe:

Système barrière levante pivotante



1. Numéroté les pièces de ce mécanisme qui peuvent être pré-dimensionnées par la théorie des poutres.
2. Schématiser chaque pièce identifiée et représenter le chargement qui s'applique sur chacune d'elles.

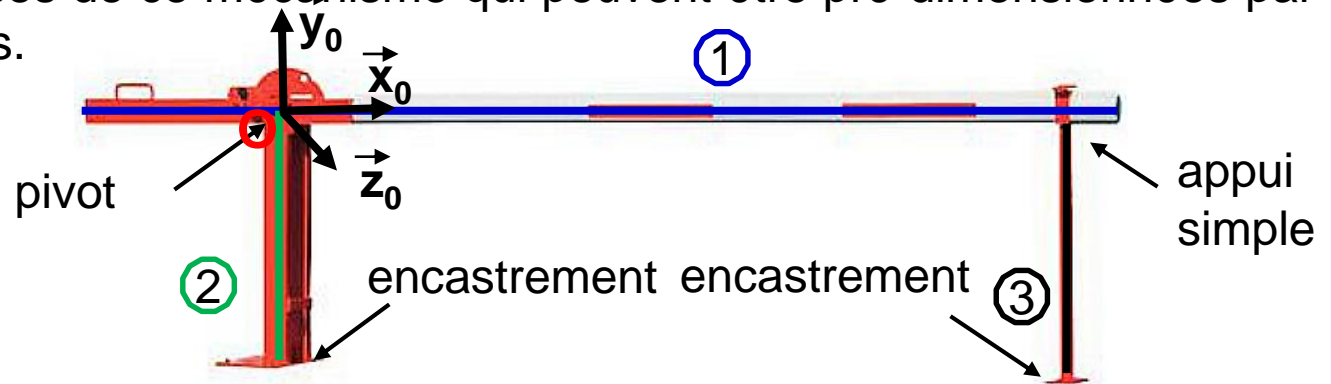
2. SCHÉMATISATION D'UN PROBLÈME DE RdM

17

2.3.2 Liaisons et sollicitations

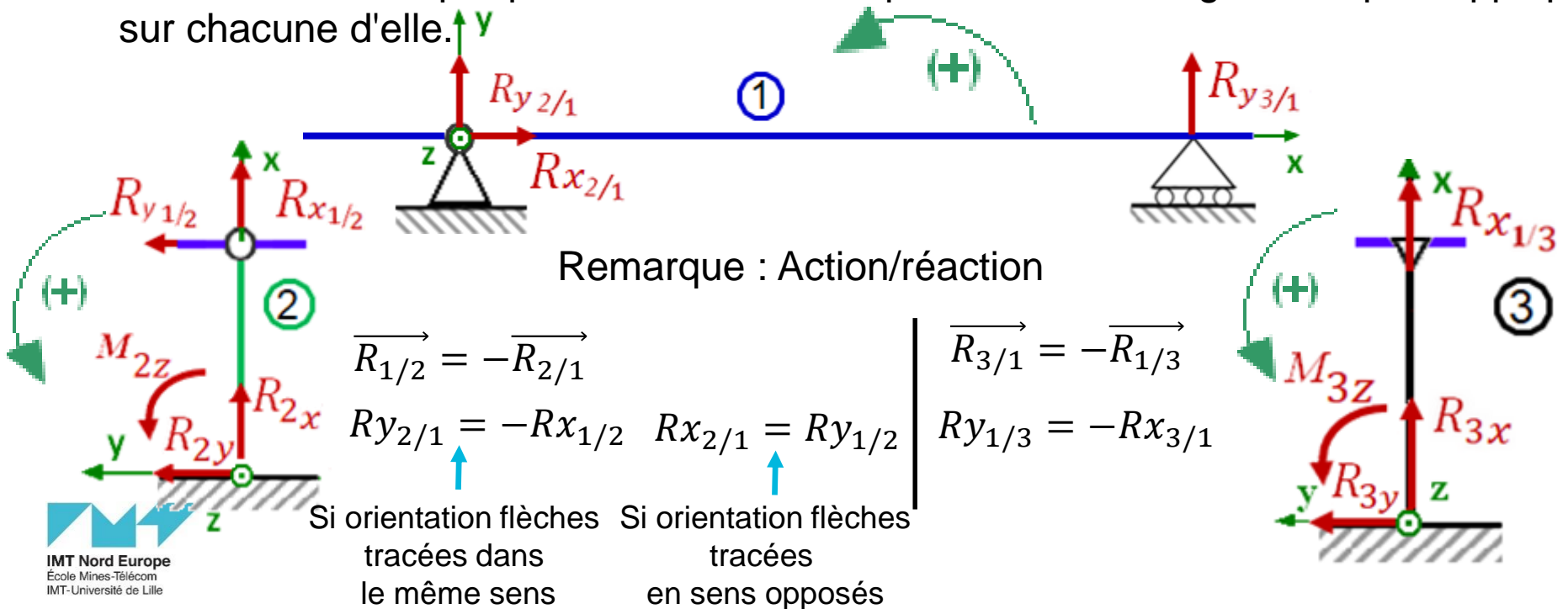
1. Numérototer les pièces de ce mécanisme qui peuvent être pré-dimensionnées par la théorie des poutres.

➤ 3 poutres:



Repère global

2. Schématiser chaque pièce identifiée et représenter le chargement qui s'applique sur chacune d'elle.



3. HYPOTHÈSES DE LA RdM

18

3.1 Démarche générale de résolution d'un problème de RdM

I. Schématisation

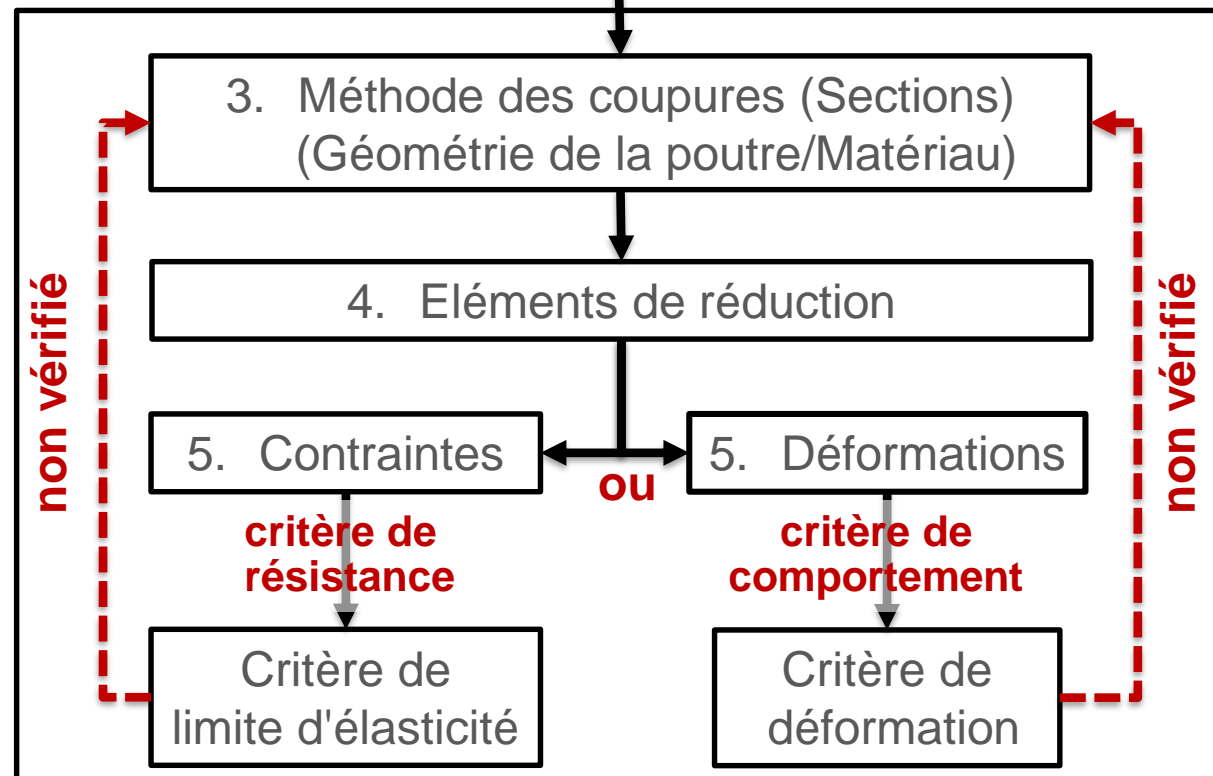
Composant (poutre ?)

1. Schématisation
2. Liaisons/sollicitations
3. **Hypothèses de la RdM**

II. Résolution du problème statique

- Principe fondamental de la statique (PFS)
1. Chargements actifs
 2. Réactions d'appuis (Actions passives)

III. Dimensionnement



A RETENIR

3.2 Rappel

Rappel

La **théorie de la RdM** peut être considérée comme une **simplification de la théorie mécanique des milieux continus**, **à condition** que **certaines exigences** sur la géométrie, les chargements et des zones de validité de calcul soient assurées, **on peut garantir que les résultats trouvés sont corrects.**

Il est donc important de les connaître, elles sont de 2 types :

Soit **des hypothèses simplificatrices** ont été posées pour réaliser les calculs.

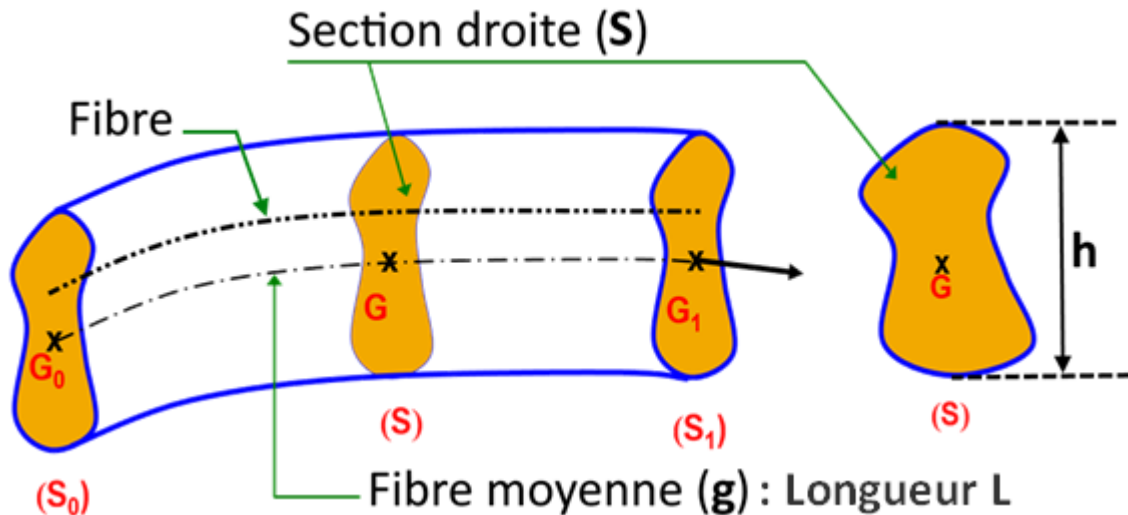
Soit **des hypothèses qui doivent être vérifiées avant tout calcul** pour s'assurer que les résultats seront corrects.

Le risque en cas de non-respect, est d'aboutir à une conception mal dimensionnée entraînant des risques d'endommagements irréversibles ou de défaillances.

Ces conditions sont appelées **les hypothèses de la RdM**, elles sont au **nombre de 10.**

3.3 Hypothèses de la RdM

Hypothèse 1 : Critères géométriques que doit respecter une poutre. (Voir Slide 12).

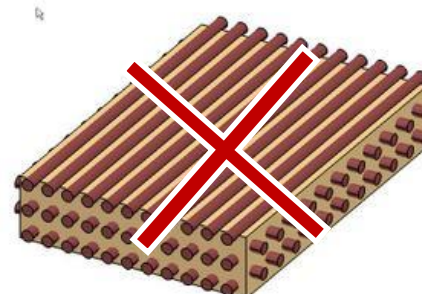


- La **longueur L** de la fibre moyenne doit être suffisamment grande devant la plus grande dimension h de la section droite (S) : **$5h < L < 30h$**
- Le **rayon de courbure R** en tout point de g de la fibre moyenne doit vérifier:
 $R > 20h$
- Les **variations de forme et de dimensions de la section (S)** le long de la fibre moyenne g doivent être **progressives** (pas de variation brusque de la section).

3.3 Hypothèses de la RdM

Hypothèse 2 : Homogénéité et isotropie des matériaux

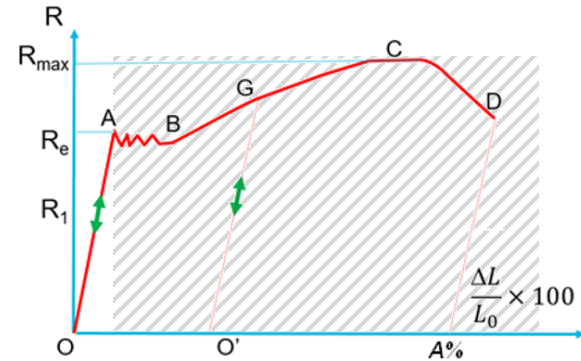
- Cette hypothèse porte sur la nature des matériaux qui constituent les poutres.
- Matériaux **homogènes**: c'est à dire qu'ils **ont les mêmes propriétés physiques en tout point du solide**.
- Matériaux **isotropes**: c'est à dire qu'ils **n'ont pas de direction privilégiée en contrainte ou en déformation**, le matériau réagit de la même façon aux sollicitations quelque soit la direction envisagée. C'est le cas de la plupart des matériaux métalliques, des bétons et des polymères. Par contre des **matériaux fibrés** comme le bois ou les composites ne sont pas isotropes.



3.3 Hypothèses de la RdM

Hypothèse 3 : Comportement élastique linéaire

- Les déformations des matériaux sont proportionnelles aux chargements appliqués: Elles s'annulent lorsque le chargement est supprimé;
- Ce comportement est caractérisé par **la loi de HOOKE généralisée** qui établit les relations contraintes-déformations;
- Pour déterminer cette loi (qui caractérise le comportement du matériau), on réalise un essai de traction normalisé.



Hypothèse 4 : Action statique des forces

- Les chargements extérieurs considérés **sont appliqués de façon lente, continue et progressive** et ceci depuis une valeur nulle jusqu'à leurs intensités **maximales** de sorte que les déformations se produisent à vitesse nulle.
- La poutre reste en équilibre quasi-statique, il n'y a pas de dissipation d'énergie sous forme de chaleur.

3.3 Hypothèses de la RdM

Hypothèse 5 : Conservation des dimensions initiales

- **Lorsqu'on détermine les chargements** (équilibre de tout ou partie de la structure), la **structure est considérée solide rigide donc non déformée**, c'est-à-dire que **toutes les longueurs et angles** qui décrivent la structure **restent constants**.

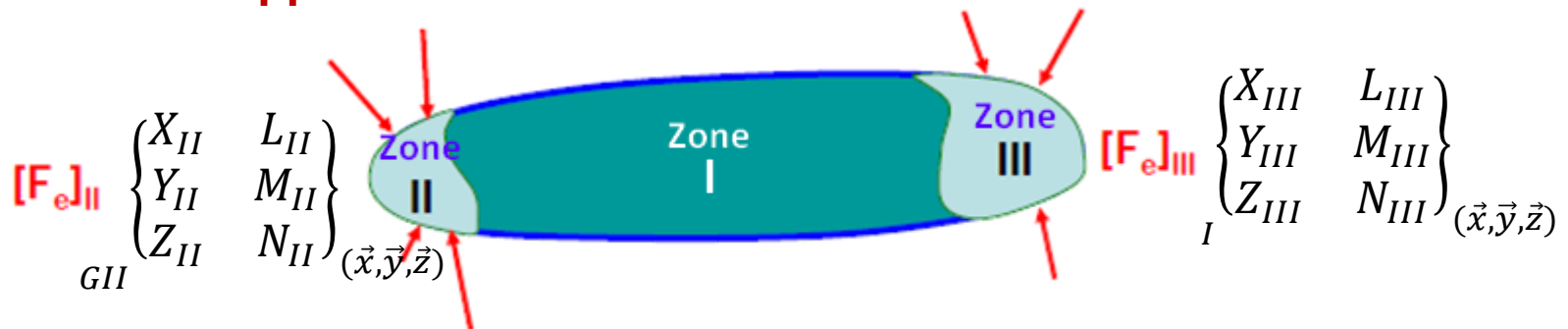
Conséquences

- Les dimensions qui interviennent dans les équations d'équilibre sont celles de la structure avant application des charges.
- **Les équations de la statique** pour décrire l'équilibre global d'une structure seront **écrites sur la structure non déformée**.

3.3 Hypothèses de la RdM

Hypothèse 6 : Hypothèse 1 de Barré de Saint Venant

Les contraintes et les déformations dans une **zone (I)** d'un solide **suffisamment éloignée** des zones d'application des sollicitations extérieures (II, III) **ne dépendent que des forces et moments résultants de ces sollicitations, et pas de leur mode d'application.**



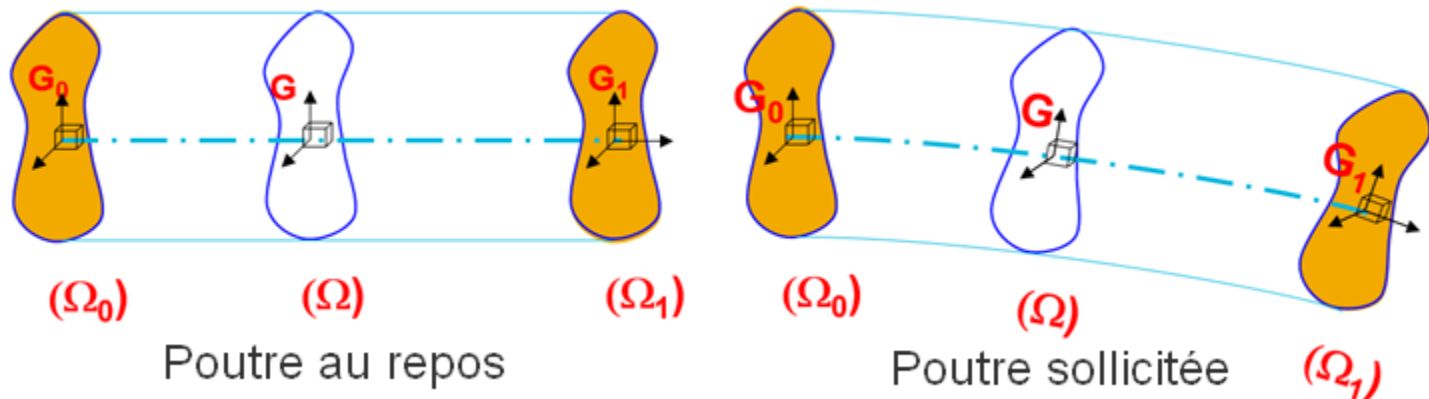
Les forces et moments en zone I résultants des chargements extérieurs appliqués sur les zones II et III sont **indépendants de la façon dont ces chargements sont appliqués** sur ces zones II et III.

3.3 Hypothèses de la RdM

Hypothèse 7 : Hypothèse de Navier Bernouilli

Toute section **plane avant déformation** se transforme en une section **plane après déformation**.

Toutes **les sections (Ω) qui constituent la poutre restent perpendiculaires à la fibre moyenne** après déformation.



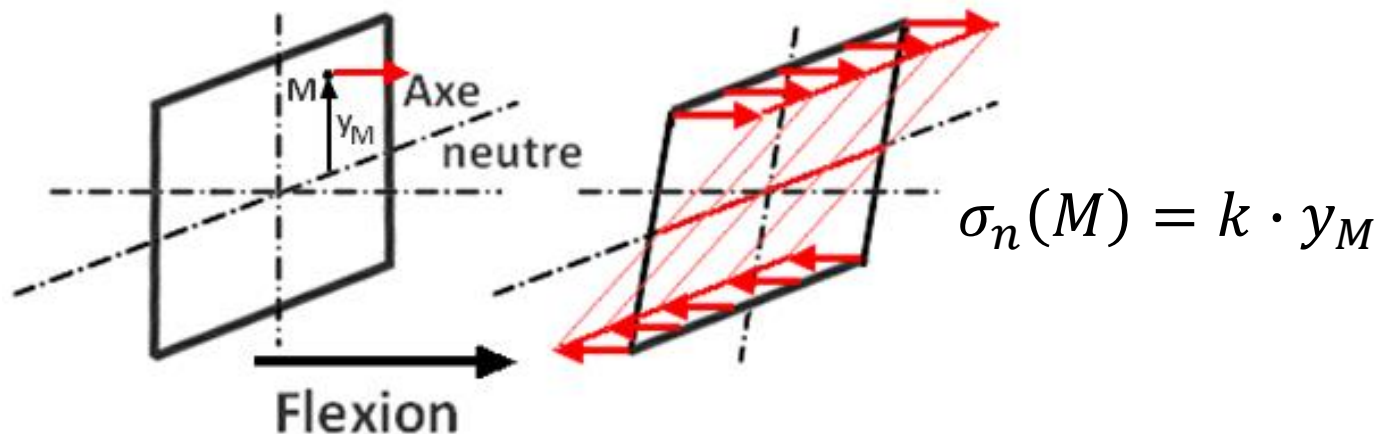
3.3 Hypothèses de la RdM

Hypothèse 8 : Hypothèse de continuité des modèles

Les différentes équations qui décrivent les déplacements, les contraintes et les déformations sont des fonctions mathématiques continues et dérivables.

Hypothèse 9 : Hypothèse 2 de Barré de Saint Venant (pour le cas de la flexion simple)

On considère que la contrainte normale en tout point M d'une section droite d'une poutre fléchie en **flexion simple**, est proportionnelle à la distance qui le sépare de l'axe neutre, axe qui passe par le centre d'inertie de la section.

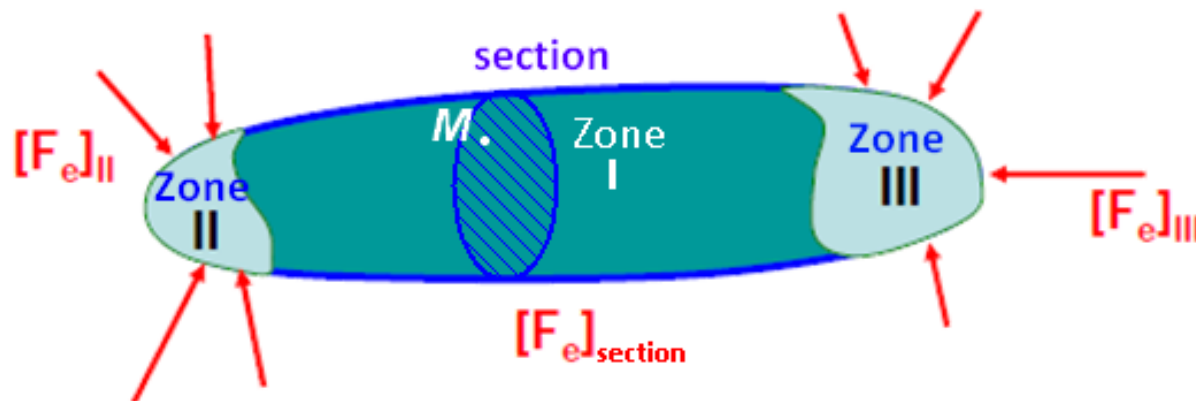


3.3 Hypothèses de la RdM

Hypothèse 10 : Problème de Barré de Saint Venant

On admet en RdM, que dans toute pièce prismatique (poutre), les contraintes et les déformations produites en tout point M par un système de forces appliquées, ne dépendent que des **éléments de réduction** dûs à ce système de forces, c'est-à-dire de **sa résultante** et de **son moment résultant** dans la section qui contient le point M.

Cette proposition n'est toutefois **valable que pour des points suffisamment éloignés des zones d'application des charges** (région 1).



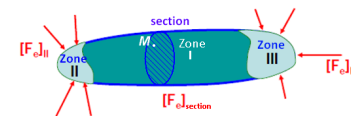
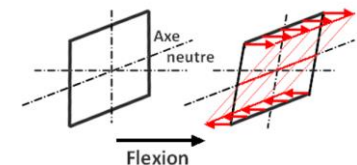
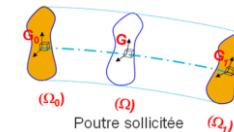
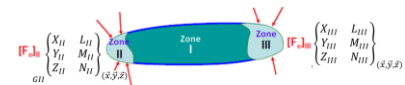
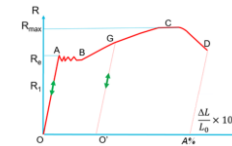
3. HYPOTHÈSES DE LA RdM

28

3.3 Hypothèses de la RdM

□ Récapitulatif des hypothèses de la RdM

- Hypothèse 1 : Hypothèse géométrique $5h < L < 30h$, $R_{\text{courbure}} > 20h$
- Hypothèse 2 : Homogénéité et isotropie des matériaux
- Hypothèse 3 : Comportement élastique linéaire
- Hypothèse 4 : Action statique des forces
- Hypothèse 5 : Conservation des dimensions initiales (détermination chargement)
- Hypothèse 6 : Hypothèse de Barré de Saint Venant
- Hypothèse 7 : Hypothèse de Navier Bernouilli
- Hypothèse 8 : Hypothèse de continuité des modèles f' , f'' continues
- Hypothèse 9 : Hypothèse Barré de Saint Venant (flexion)
- Hypothèse 10 : Problème de Barré de Saint Venant



4.1 Démarche de résolution d'un problème de RdM

I. Schématisation

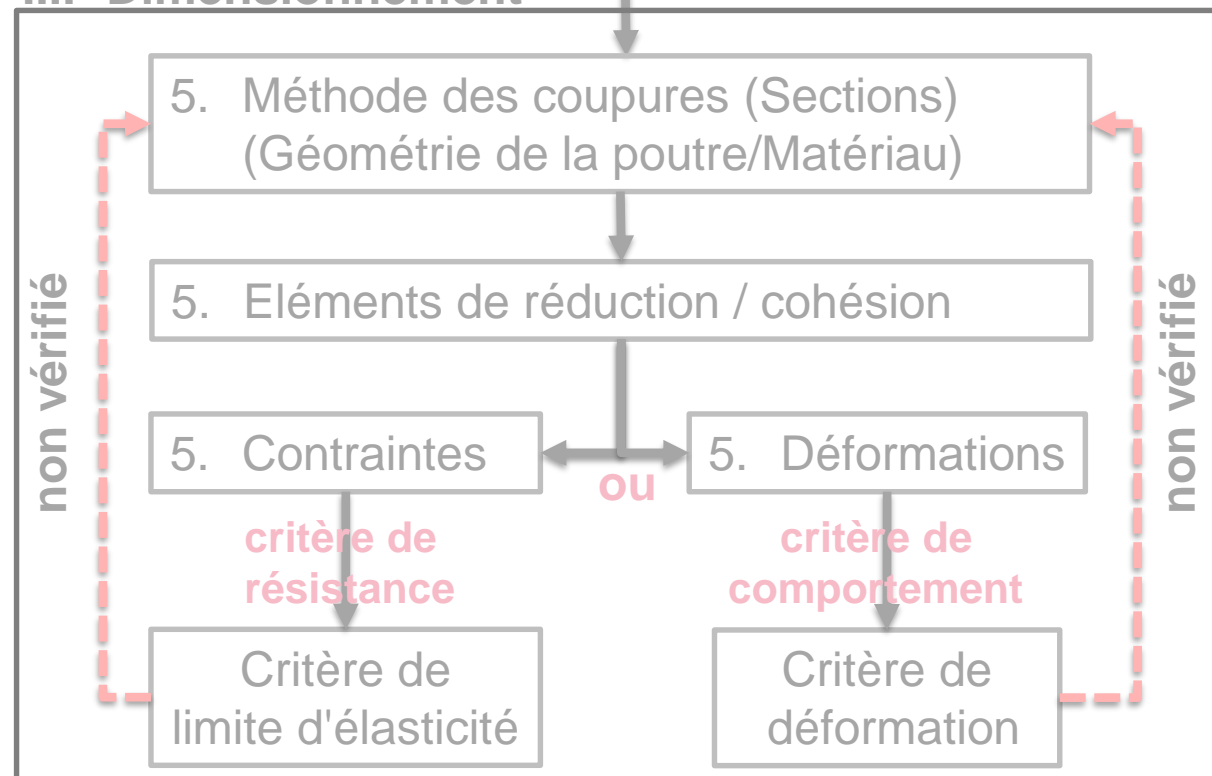
1. Composant (poutre ?)
2. Schématisation
3. Liaisons/sollicitations
4. Hypothèses de la RdM

II. Résolution du problème statique

Principe fondamental de la statique (PFS)

1. Chargements actifs
2. Réactions d'appuis (Actions passives)

III. Dimensionnement

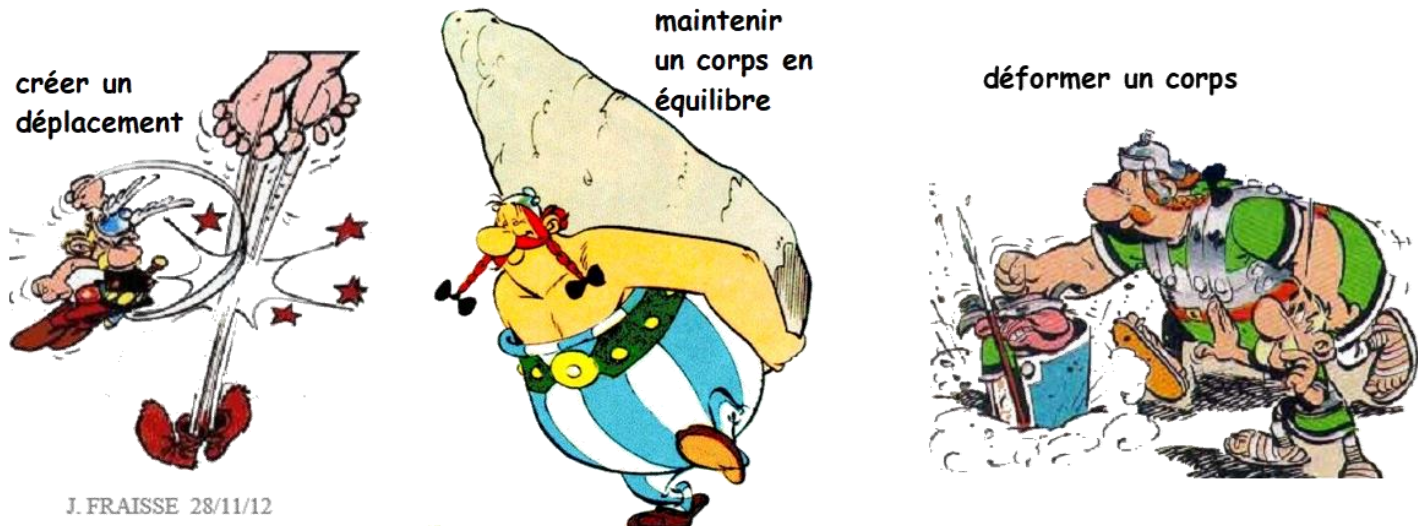


Cette partie a pour objectif, de rappeler les principes du calcul statique nécessaires à l'identification complète du chargement qui s'applique à un élément poutre.

4.2 Actions mécaniques \Leftrightarrow Forces

Le chargement se traduit par des **actions mécaniques (A.M.)**.

Une A.M. est un phénomène physique capable de :



On distingue 2 types d'A.M.:

- Les **A.M. à distance** (ex : champs de pesanteur, champs magnétiques, champs électrostatiques (matériaux électro-actifs : quartz)).
- Les **A.M. de contact** linéiques ou surfaciques, exercées par un solide sur un autre solide par l'intermédiaire de leurs surfaces en contact.

4.2 Actions mécaniques \Leftrightarrow Forces

❑ Actions mécaniques assimilables à des forces

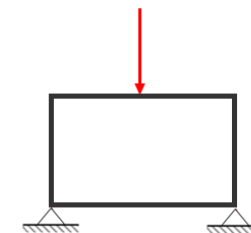
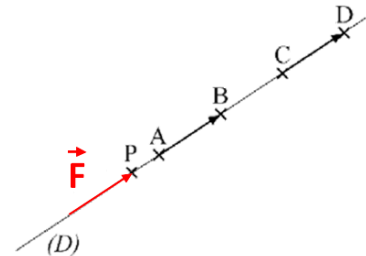
- Le poids d'un solide (force appliquée en son centre de gravité);
- La force de pression (force équivalente à la résultante des pressions qui s'exercent sur une courbe/surface appliquée en son centre géométrique);
- Force élastique (ex: force exercée par un ressort proportionnelle à son allongement);

❑ Une force est un glisseur :

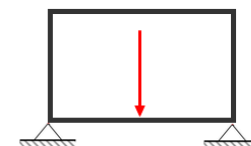
La force est complètement définie par un vecteur \vec{F} et un point P (en général point d'application de la force).

❑ En statique, la force peut être déplacée sur son support la droite (D) sans aucune incidence.

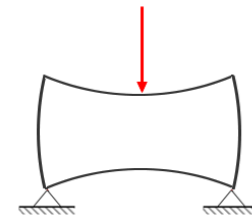
❑ Attention non applicable lors de l'établissement de l'équilibre en RdM.



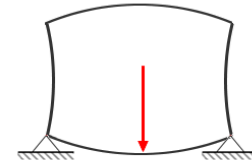
équivalent



Cadre indéformable
Calcul de statique



différent



Cadre déformable
Calcul de RdM

4.3 Torseur d'une force

□ Identification d'une force par un torseur:

L'A.M que crée une force \vec{F} appliquée en un point P d'un corps est équivalente à L'A.M que crée la même force \vec{F} appliquée en tout autre point A de ce même corps, à laquelle on ajoute le moment généré par cette force \vec{F} au point A.

- On modélise de façon générale une force à l'aide d'un **torseur** : on l'exprime avec **2 vecteurs**: le **vecteur force**, et le **vecteur du moment** de cette force calculé en un point A (si A est le point d'application de la force $\vec{\mathcal{M}}_A = \vec{0}$)

$${}_A\{\mathcal{T}_{1 \rightarrow 2}\} = \begin{pmatrix} \vec{\mathcal{F}}_{1 \rightarrow 2} \\ \vec{\mathcal{M}}_A(\vec{\mathcal{F}}_{1 \rightarrow 2}) \end{pmatrix} \quad {}_A\{\mathcal{T}_{1 \rightarrow 2}\} = \begin{pmatrix} F_x & L \\ F_y & M \\ F_z & N \end{pmatrix}_{(\vec{x} \quad \vec{y} \quad \vec{z})}$$

- **Transport d'un torseur** : Définir en un point B, l'incidence d'une force (torseur) exercée initialement en un point A

$$\vec{\mathcal{M}}_B(\vec{\mathcal{F}}_{1 \rightarrow 2}) = \vec{\mathcal{M}}_A(\vec{\mathcal{F}}_{1 \rightarrow 2}) + \vec{BA} \wedge \vec{\mathcal{F}}_{1 \rightarrow 2}$$

$${}_B\{\mathcal{T}_{1 \rightarrow 2}\} = \begin{pmatrix} \vec{\mathcal{F}}_{1 \rightarrow 2} \\ \vec{\mathcal{M}}_B(\vec{\mathcal{F}}_{1 \rightarrow 2}) \end{pmatrix} \quad \begin{array}{l} \leftarrow \text{Résultante: invariante} \\ \leftarrow \text{Moment: dépend du point B} \end{array}$$

4.5 Chargement actif et Chargement réactif (passif)

Le chargement qui s'exerce sur une structure se décompose en :

❑ **Éléments de chargement actif**

- Ils s'expriment sous la forme de forces, moments, charges linéiques, ou charges à distance (telles le poids, les forces électrostatiques).
- Ils peuvent s'appliquer directement sur la structure ou par l'intermédiaire des liaisons qui relient la structure à son environnement.
- **Ils correspondent aux données d'entrée connues du problème.**

❑ **Éléments de chargement réactif (passif)**

- Ils sont appliqués à la structure à travers les liaisons qui relient la structure à son environnement, ils "s'adaptent" au chargement actif.
- **ce sont les inconnues du problème.**

4.7 Quelques règles pour faciliter les calculs

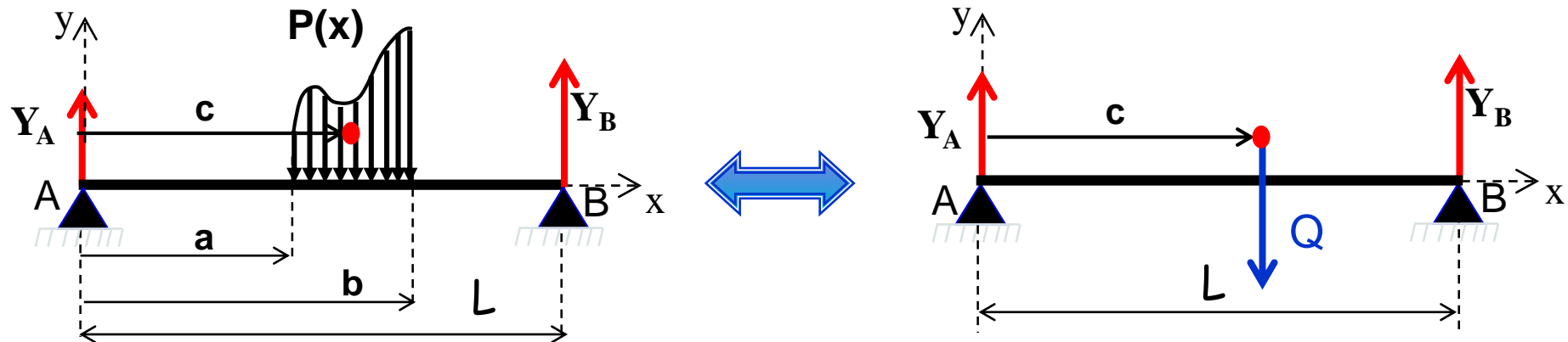
Quelques rappels de règles pour faciliter les calculs :

Equilibre des moments

- Pour un système en équilibre statique, si le **moment des forces est nul par rapport à un point A**, ce **moment sera nul par rapport à tout autre point** de l'espace. Donc le choix du point par rapport auquel on calcule le moment est libre.
- Le choix de ce point est guidé par la simplicité des relations obtenues.

Remplacement charges réparties par charge concentrée

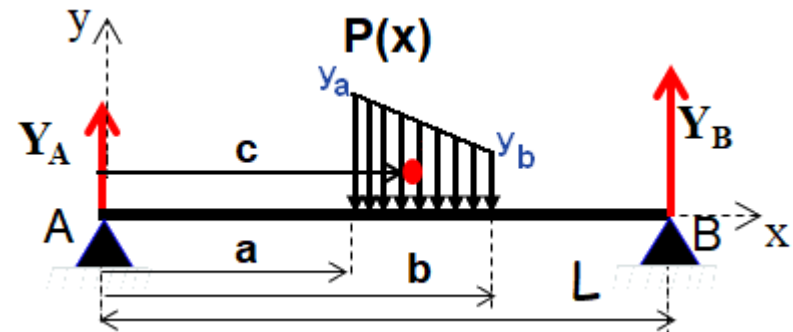
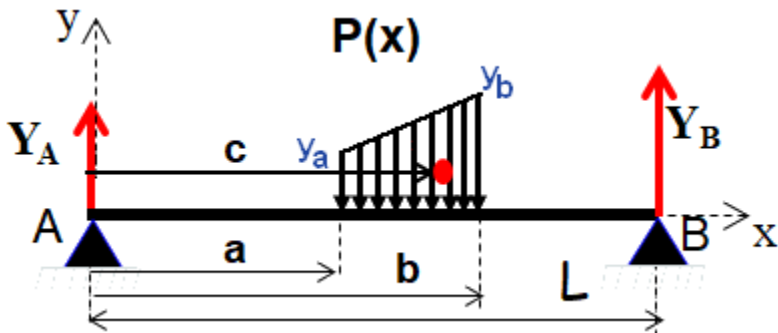
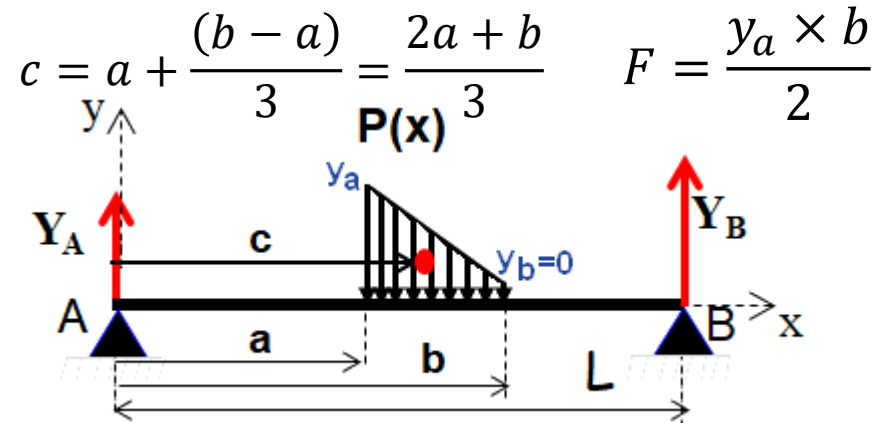
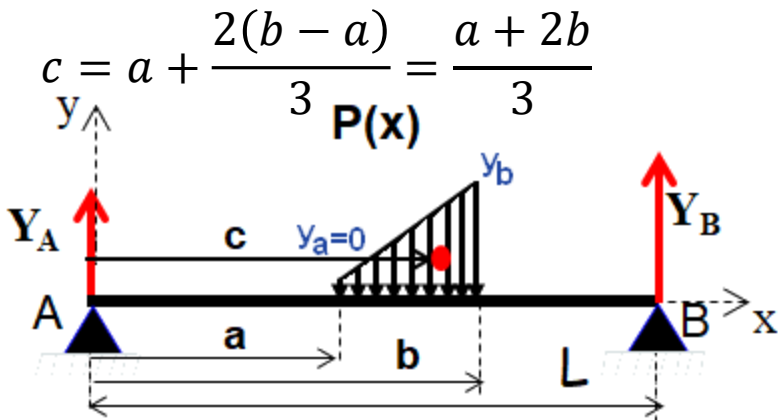
Dans ce cas d'une étude statique (et **seulement pour l'étude statique**), toutes charges réparties, peuvent être remplacées par sa résultante appliquée au centre de gravité du diagramme de répartition de la charge.



4.7 Quelques règles pour faciliter les calculs

Remplacement charges réparties par charge F concentrée

Quelques cas de chargement

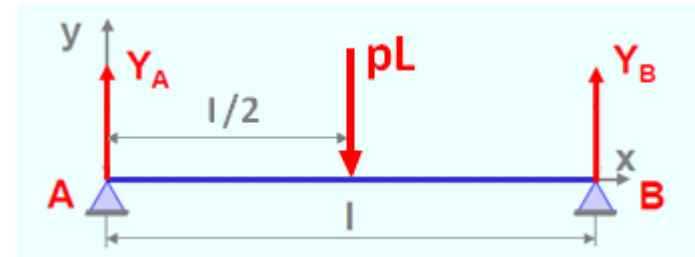
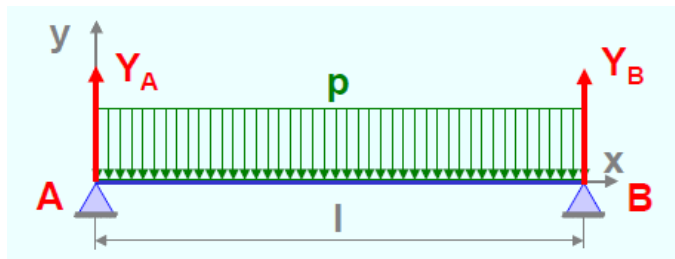


$$c = a + (b-a) \frac{y_a + 2y_b}{3(y_a + y_b)}$$

$$F = \frac{(y_a + y_b) \times b}{2}$$

4.7 Quelques règles pour faciliter les calculs

Exemple 1 : Une poutre AB de longueur l supporte une charge uniformément répartie p sur toute sa longueur, et repose sur deux appuis simples. Déterminer les réactions d'appui en A et B.



Solution:

PFS $\left\{ \begin{array}{l} \text{Projection des forces sur } Ax : \\ \text{Projection des forces sur } Ay : \\ \text{Projection des moments en A sur } Az \end{array} \right. \begin{array}{l} 0 = 0 \\ Y_A + Y_B - pl = 0 \\ Y_B l + \int_0^l x(-p)dx = 0 \end{array}$

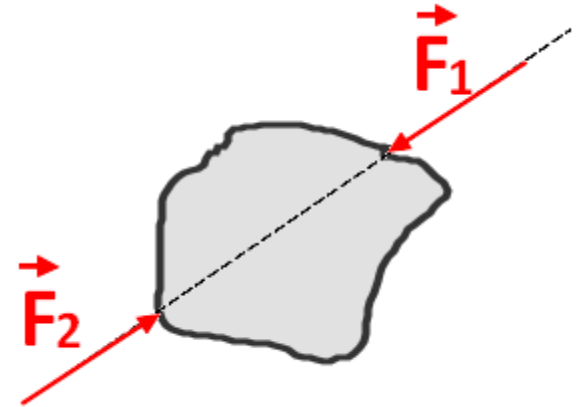
$$\begin{cases} Y_A = \frac{pl}{2} \\ Y_B = \frac{pl}{2} \end{cases}$$

4.7 Quelques règles pour faciliter les calculs

Quelques rappels de règles pour faciliter les calculs :

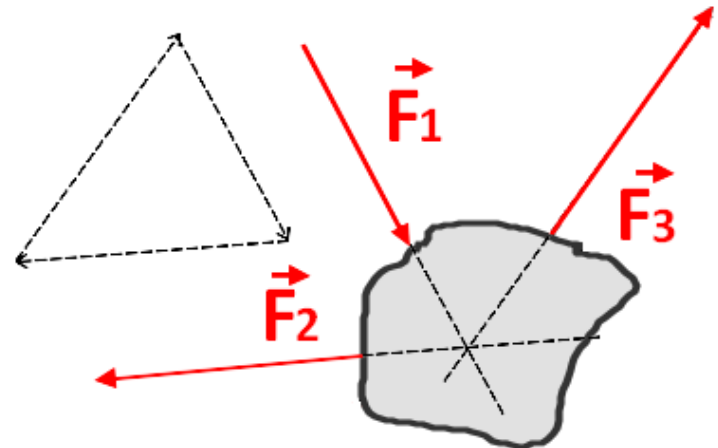
Si un solide est en équilibre sous l'action de:

deux forces, \vec{F}_1 , \vec{F}_2 , ces forces ont la même ligne d'action, ont deux sens opposés et ont une même intensité .



Si un solide est en équilibre sous l'action de:

trois forces, \vec{F}_1 , \vec{F}_2 , \vec{F}_3 , non parallèles, les lignes d'action de ces forces se coupent en un même point, leur somme vectorielle est nulle.



4.4 Traduction du PFS à l'aide des Torseurs

□ Rappel : hypothèse 4 de la RdM « action statique des forces »

Les chargements extérieurs sont considérés s'appliquer de façon lente, continue et progressive et ceci depuis une valeur nulle jusqu'à leurs intensités maximales.

(La poutre reste en équilibre quasi statique)

On peut donc appliquer le principe fondamental de la statique (PFS) pour étudier l'équilibre de la structure, et déterminer les forces et les moments extérieurs qui s'appliquent à la structure.

L'équilibre du système se traduit par le Principe Fondamental de la Statique :

$\sum_{i=1}^{i=n}$ « torseur des actions extérieures » = « torseur nul »

$$\sum_{i=1}^{i=n} {}_O \begin{Bmatrix} X_i & L_i \\ Y_i & M_i \\ Z_i & N_i \end{Bmatrix}_{(\vec{x}, \vec{y}, \vec{z})} = {}_O \begin{Bmatrix} 0 & 0 \\ 0 & 0 \\ 0 & 0 \end{Bmatrix}_{(\vec{x}, \vec{y}, \vec{z})}$$

4.6 Équations d'équilibre du PFS (problèmes plans)

Étant donnée la **nature plane** des problèmes à résoudre, l'équilibre du **système étudié isolé** se réduit à un système de trois équations, extraites de l'équation torsorielle générale du PFS:

« **torseurs Chgt actif** » + « **torseurs Chgt réactif** » = « **torseur nul** »

Dans repère global $(\vec{x}_0, \vec{y}_0, \vec{z}_0)$

$$\sum_{i=1}^n \begin{Bmatrix} X_i & 0 \\ Y_i & 0 \\ 0 & N_i \end{Bmatrix}_{(\vec{x}_0, \vec{y}_0, \vec{z}_0)} + \sum_{j=1}^m \begin{Bmatrix} X_j & 0 \\ Y_j & 0 \\ 0 & N_j \end{Bmatrix}_{(\vec{x}_0, \vec{y}_0, \vec{z}_0)} = \begin{Bmatrix} 0 & 0 \\ 0 & 0 \\ 0 & 0 \end{Bmatrix} \Leftrightarrow \begin{cases} \sum_{i=1}^n X_i \text{ (proj/X)} \\ \sum_{i=1}^n Y_i \text{ (proj/Y)} \\ \sum_{i=1}^n N_i \text{ (Mt(O)/Z)} \end{cases}$$

Chgt actif

Chargement
extérieur connu
qui s'applique sur
le système isolé

Chgt réactif

Réactions de
Liaisons du
système isolé qui
sont inconnues

problèmes plans
3 équations d'équilibre

4.7 Quelques règles pour faciliter les calculs

Quelques rappels de règles pour faciliter les calculs :

Système isostatique / Système hyperstatique:

Lorsque le **problème de statique à résoudre est plan**, l'équilibre du système se réduit à un système de **trois équations**, extraites de l'équation torsorielle générale (PFS)..

$$\begin{cases} \sum_{i=1}^n X_i \text{ (proj/X)} \\ \sum_{i=1}^n Y_i \text{ (proj/Y)} \\ \sum_{i=1}^n N_i \text{ (Mt(O)/Z)} \end{cases}_O$$

La Résolution du problème statique dépend du nombre d'inconnues introduites par les réactions de liaisons :

- **moins de 3 inconnues**: le problème est dit **hypostatique**. L'équilibre statique est en général impossible, sauf si les forces connues satisfont à certaines conditions.
- **3 inconnues** : le problème est dit **isostatique** ou statiquement défini.
- **plus de 3 inconnues** : le problème est dit **hyperstatique**, il est mathématiquement indéterminé. Pour pouvoir être résolu, il faut autant d'équations supplémentaires qu'il y a d'inconnues surabondantes (>3). L'étude des déformations permet d'écrire les équations manquantes, ce qui lèvera l'indétermination.

5. Équations d'équilibre en RdM

41

5.1 Démarche de résolution d'un problème de RdM

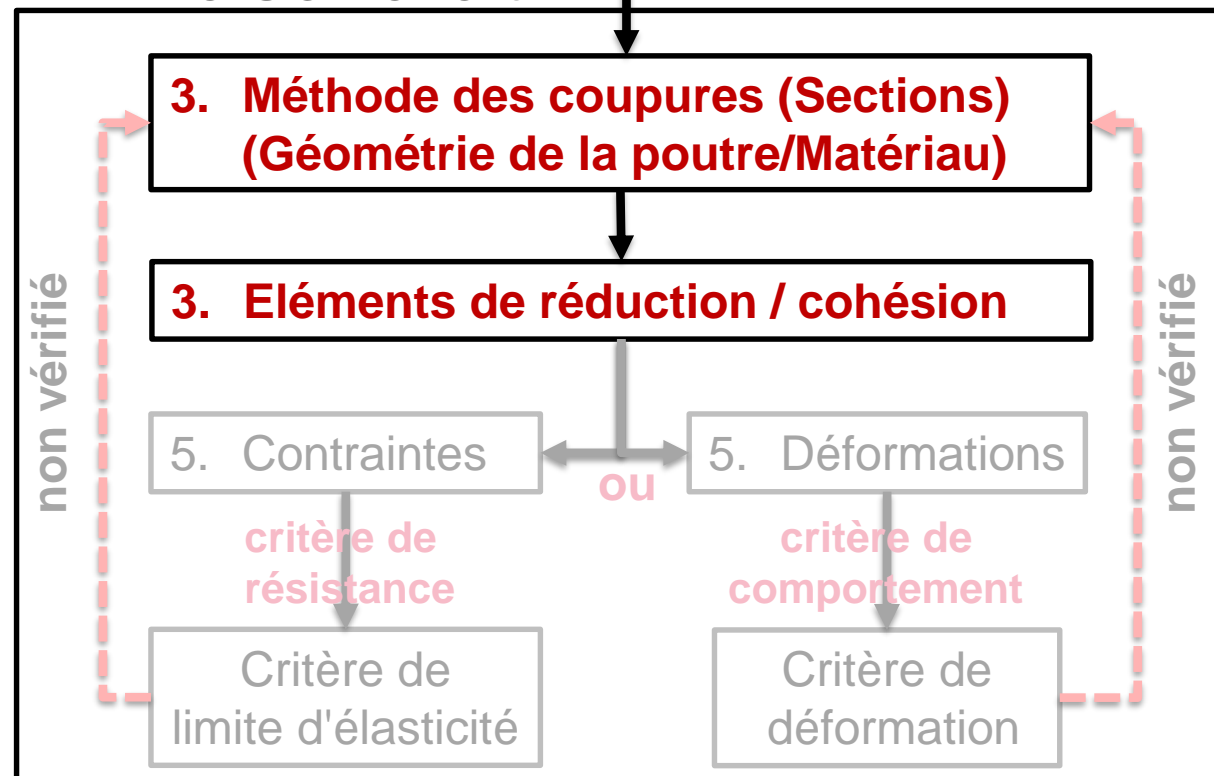
I. Schématisation

1. Composant (poutre ?)
2. Schématisation
3. Liaisons/sollicitations
4. Hypothèses de la RdM

II. Résolution du problème (statique)

- Principe fondamental de la statique (PFS)
1. Chargements actifs
 2. Réactions d'appuis (Actions passives)

III. Dimensionnement



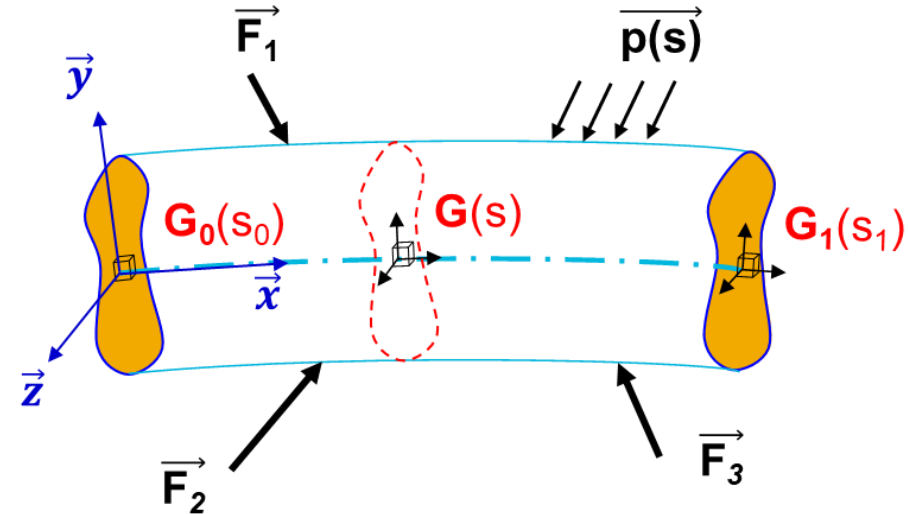
5. Équations d'équilibre en RdM

42

5.2 Equilibre d'une poutre

Soient:

- Une poutre de fibre moyenne (\mathbf{g}) en équilibre statique sous l'action des forces extérieures $\vec{F}_1; \vec{F}_2; \vec{F}_3$ et $\vec{p}(s)$.
- \mathbf{G} le centre d'inertie d'une section droite \mathbf{S} de la poutre.



⇒ Par application du **Principe Fondamental de la Statique (P.F.S)** au point \mathbf{G} :

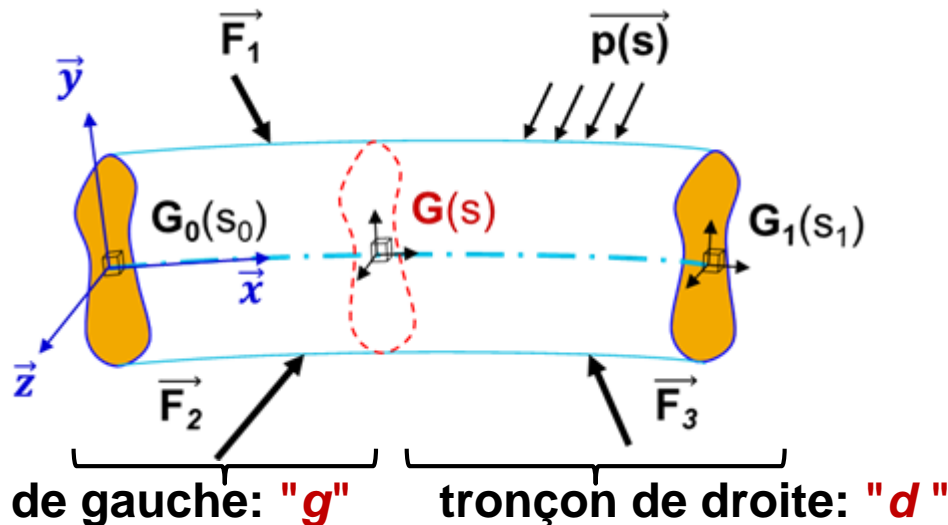
$$\left\{ \mathcal{T}_{F_{ext}/\mathbf{g}} \right\}_G = \left\{ \begin{matrix} \vec{F}_{ext} \\ \vec{M}_{ext} \end{matrix} \right\}_G = \left\{ \begin{matrix} 0 & 0 \\ 0 & 0 \\ 0 & 0 \end{matrix} \right\}_{(\vec{x}; \vec{y}; \vec{z})} \xrightarrow{\text{Projection}}$$

- Effort normal: projection / (\mathbf{G}, \vec{x})
 $\vec{F}_{1x} + \vec{F}_{2x} + \vec{F}_{3x} + \vec{P}_x = \vec{0}$
- Effort tranchant: projection / (\mathbf{G}, \vec{y})
 $\vec{F}_{1y} + \vec{F}_{2y} + \vec{F}_{3y} + \vec{P}_y = \vec{0}$
- Moment flexion: rotation / (\mathbf{G}, \vec{z})
 $\vec{M}_{\vec{F}_1/G} + \vec{M}_{\vec{F}_2/G} + \vec{M}_{\vec{F}_3/G} + \vec{M}_{\vec{P}/G}$

5.3 Notion de coupe fictive (tronçons)

Pour évaluer la résistance de la poutre aux efforts extérieurs \overrightarrow{F}_{ext} , il faut connaître la répartition des **efforts intérieurs** (dans le matériau).

- Soit une **coupe fictive** selon une section de la poutre de centre **G** situé sur fibre moyenne (**g**) et d'abscisse curviligne (s)
- La poutre est ainsi décomposée en deux tronçons:
 - Un tronçon dit le **tronçon de gauche** (noté "**g**") , défini par la partie **G₀G**;
 - Un tronçon dit le **tronçon de droite** (noté "**d**") , défini par la partie **GG₁**;



5. Équations d'équilibre en RdM

44

5.4 Torseur des éléments de réduction/ Torseur des éléments de cohésion

□ Par convention (dans le cadre de ce cours):

- Le **Torseur des éléments de réduction** $\{ \mathcal{T}_{F_{ext}/g} \}_G$ caractérise le **bilan des forces extérieures appliquées au tronçon de gauche** (résolu au centre G de la section "coupée". Il s'exprime par:

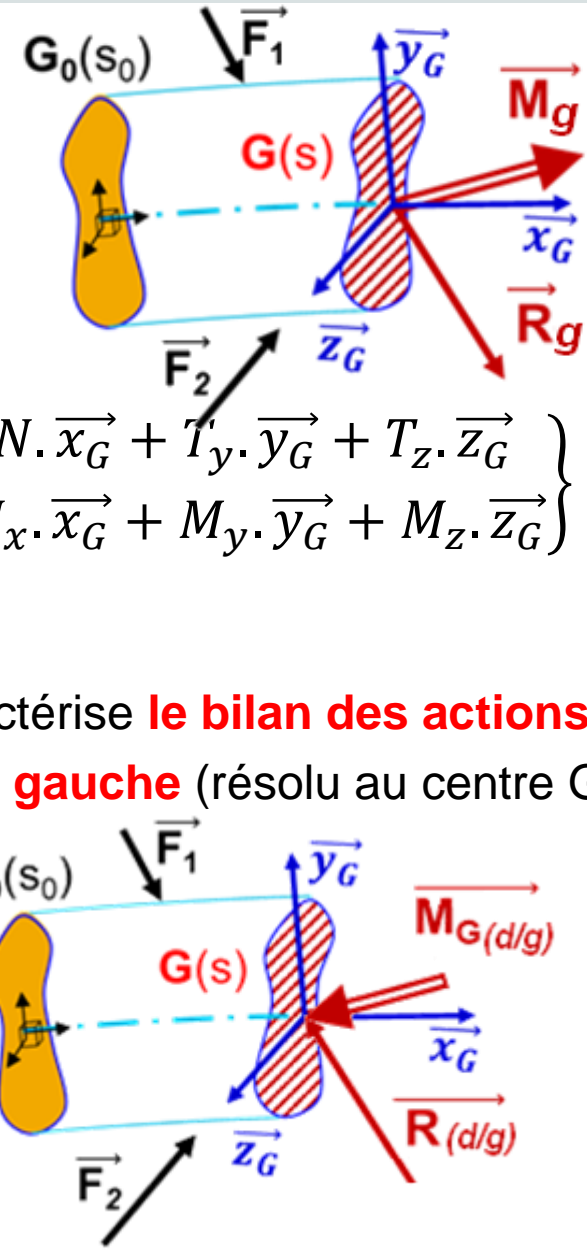
$$[\vec{F}_e]_g = \{ \mathcal{T}_{F_{ext}/g} \}_G = \left\{ \begin{array}{c} \vec{R}_g \\ \vec{M}_g \end{array} \right\}_{(\vec{x}_G; \vec{y}_G; \vec{z}_G)} = \left\{ \begin{array}{c} \vec{F}_{ext} \\ \vec{M}_{ext} \end{array} \right\}_G = \left\{ \begin{array}{c} N \cdot \vec{x}_G + T_y \cdot \vec{y}_G + T_z \cdot \vec{z}_G \\ M_x \cdot \vec{x}_G + M_y \cdot \vec{y}_G + M_z \cdot \vec{z}_G \end{array} \right\}_G$$

dans le repère $(\vec{x}_G; \vec{y}_G; \vec{z}_G)$ de la section "coupée".

- Le **Torseur des éléments de cohésion** $\{ \mathcal{T}_{d/g} \}_G$ caractérise le **bilan des actions** appliquées par le **tronçon de droite sur le tronçon de gauche** (résolu au centre G de la section "coupée").

$$\{ \mathcal{T}_{d/g} \}_G = \left\{ \begin{array}{c} \vec{R}_{(d/g)} \\ \vec{M}_{G(d/g)} \end{array} \right\}_{(\vec{x}_G; \vec{y}_G; \vec{z}_G)}$$

dans le repère $(\vec{x}_G; \vec{y}_G; \vec{z}_G)$ de la section coupée

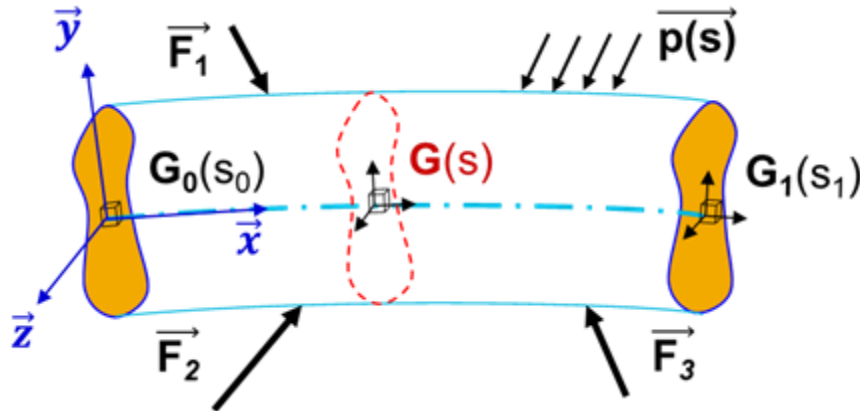


5. Équations d'équilibre en RdM

45

5.4 Torseur des éléments de réduction/ Torseur des éléments de cohésion

□ Étude de l'équilibre de la poutre:



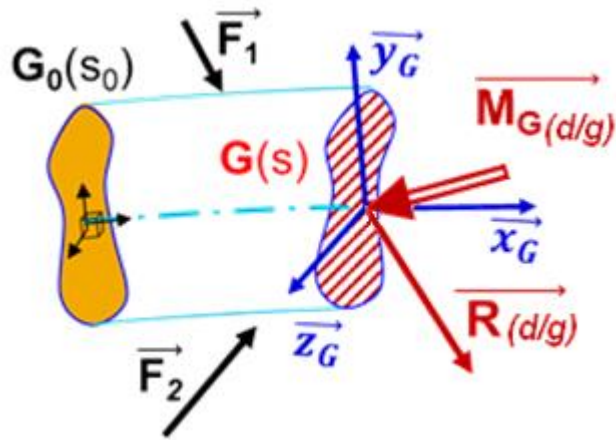
- Application du P.F.S au point **G**:

$${}_G\{\mathcal{T}_{F_{ext}/g}\} + {}_G\{\mathcal{T}_{F_{ext}/d}\} = \{\vec{0}\}$$

$${}_G\{\mathcal{T}_{F_{ext}/g}\} = -{}_G\{\mathcal{T}_{F_{ext}/d}\}$$

□ Étude de l'équilibre du Tronçon gauche :

- Application du P.F.S au point **G**



$${}_G\{\mathcal{T}_{F_{ext}/g}\} + {}_G\{\mathcal{T}_{d/g}\} = \{\vec{0}\} \quad (i)$$

Principe de l'Action / Réaction :

$${}_G\{\mathcal{T}_{d/g}\} = -{}_G\{\mathcal{T}_{g/d}\} \quad (ii)$$

**Torseur des
éléments de
réduction (gauche)**

$${}_G\{\mathcal{T}_{F_{ext}/g}\} = {}_G\{\mathcal{T}_{g/d}\} = -{}_G\{\mathcal{T}_{d/g}\}$$

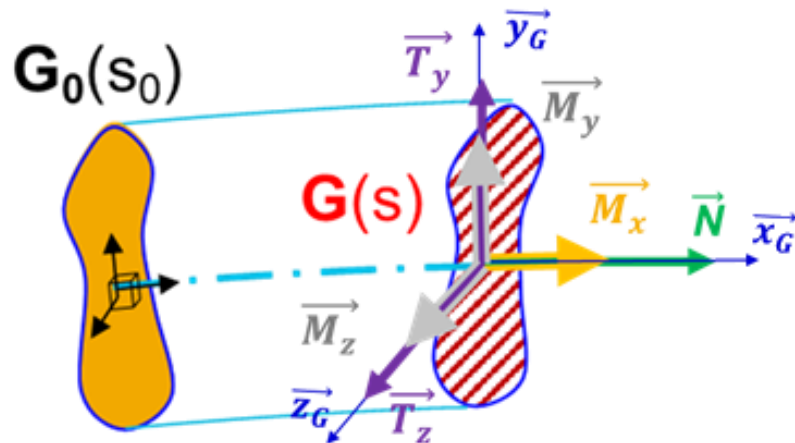
**Torseur des
éléments de
cohésion (droite)**

5.5 Composantes d'un torseur des éléments de réduction

- La **détermination des éléments de réduction** consiste à déterminer les composantes du torseur $\mathcal{T}_{F_{ext}/g}$ en chaque point G le long de la fibre moyenne de la poutre **exprimé dans le repère local** $(G, \vec{x}_G, \vec{y}_G, \vec{z}_G)$ **de la section**.

$$\mathcal{T}_{ext/g} = \begin{Bmatrix} \vec{F}_{ext} \\ \vec{M}_{ext} \end{Bmatrix}_G = \begin{Bmatrix} N \cdot \vec{x}_G + T_y \cdot \vec{y}_G + T_z \cdot \vec{z}_G \\ M_x \cdot \vec{x}_G + M_y \cdot \vec{y}_G + M_z \cdot \vec{z}_G \end{Bmatrix}_G = \begin{Bmatrix} N & M_x \\ T_y & M_y \\ T_z & M_z \end{Bmatrix}_G (\vec{x}_G; \vec{y}_G; \vec{z}_G)$$

- Dans le cadre d'un problème 3D (cas plus général que les problèmes plans), les composantes du torseur $\mathcal{T}_{F_{ext}/g}$ désignent:



N: effort normal (à la section S) suivant (G, \vec{x}_G)

T_y : effort tranchant suivant (G, \vec{y}_G)

T_z : effort tranchant suivant (G, \vec{z}_G)

M_x : moment de torsion autour (G, \vec{x}_G)

M_y : moment fléchissant autour (G, \vec{y}_G)

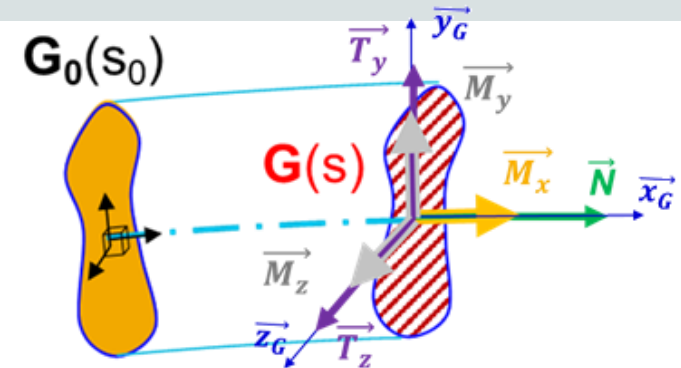
M_z : moment fléchissant autour (G, \vec{z}_G)

5. Équations d'équilibre en RdM

47

5.6 Torseur des éléments de réduction/ sollicitations simples

$$\underset{G}{\{\mathcal{T}_{ext/g}\}} = \underset{G}{\left\{ \begin{array}{c} \overrightarrow{F_{ext}} \\ \overrightarrow{M_{ext}} \end{array} \right\}} = \underset{G}{\left\{ \begin{array}{cc} N & M_x \\ T_y & M_y \\ T_z & M_z \end{array} \right\}} (\overrightarrow{x_G}; \overrightarrow{y_G}; \overrightarrow{z_G})$$



- Selon les valeurs prises par la résultante et le moment du torseur des éléments de réduction, on identifie les différentes sollicitations simples auxquelles les poutres sont soumises.

Éléments
de réduction

N	T _y ou T _z	M _x	M _y ou M _z	Identification de la sollicitation
≠0	=0	=0	=0	N<0 Traction N>0 Compression
=0	≠0	=0	=0	Cisaillement simple
=0	=0	≠0	=0	Torsion pure
=0	=0	=0	≠0	Flexion pure
=0	≠0 =0 =0 ≠0	=0	=0 ≠0 ≠0 =0	Flexion simple

5. Équations d'équilibre en RdM

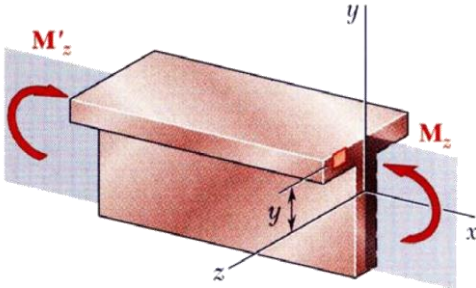
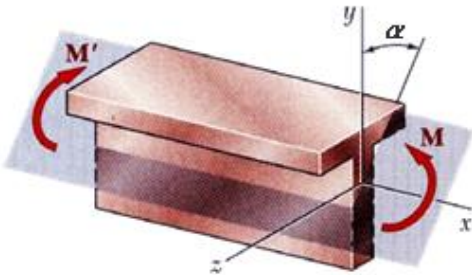
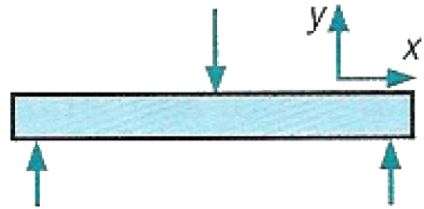

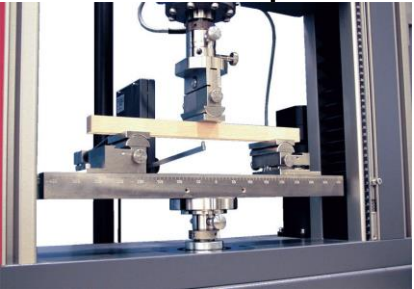
48

5.7 Torseur des éléments de réduction/ flexion

- ❑ Dans la partie 3 nous étudierons les types de flexions dont les torseurs des éléments de réductions correspondent aux cas suivants:

dans le repère $(\vec{x}_G; \vec{y}_G; \vec{z}_G)$ de la section coupée

$${}_G\{\mathcal{T}_{ext}/\mathbf{g}\}$$

Flexion pure plane	Flexion pure déviée	Flexion simple
		
${}_G\begin{Bmatrix} 0 & - \\ 0 & - \\ - & M_z \end{Bmatrix} \text{ ou } {}_G\begin{Bmatrix} 0 & - \\ - & M_y \\ 0 & - \end{Bmatrix}$	${}_G\begin{Bmatrix} 0 & 0 \\ 0 & Msina \\ 0 & Mcosa \end{Bmatrix}$	${}_G\begin{Bmatrix} 0 & - \\ T_y & - \\ - & M_z \end{Bmatrix} \text{ ou } {}_G\begin{Bmatrix} 0 & - \\ - & M_y \\ T_z & - \end{Bmatrix}$
<p>Flexion 4 points</p> 		<p>Flexion trois points</p> 

Exemple

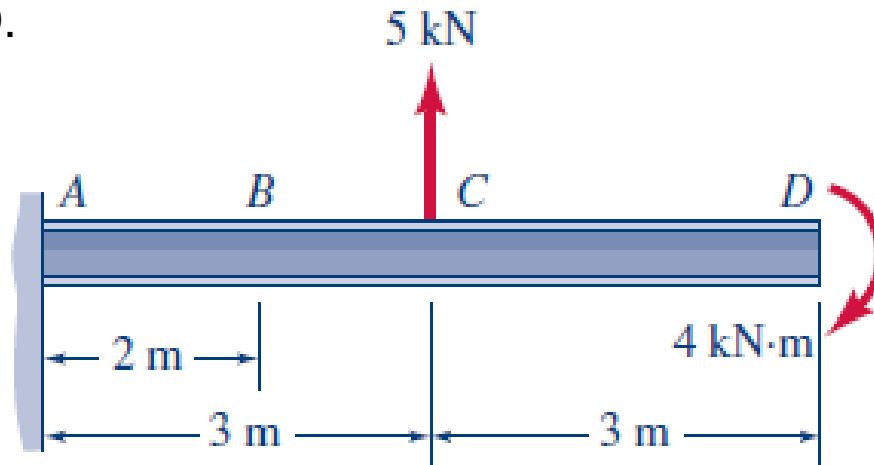
5. Équations d'équilibre en RdM

49

Application directe: Exemple 1

□ Application directe: Exemple 1

Une poutre AD de longueur L est soudée à une structure au point A. La poutre est soumise à une force de 5 kN à une distance $L/2$ du point A et à une rotation suivant son sa plus longue dimension sous l'effet du moment M de 4 kN.m appliqué à son extrémité au point D.



- 1) Déterminer les éléments de réduction au point B situé à une distance $L/3$ du point A.
- 2) Déterminer les éléments de réduction tout au long de la poutre AD.

Application directe: Exemple 1

■ Résolution:

■ Schématisation

- 1) Représentation fibre moyenne
- 2) Repère
- 3) Sens positif
- 4) Les liaisons
- 5) Les forces de réaction

- Détermination des réactions:
Application du PFS

5. Équations d'équilibre en RdM

51

Application directe: Exemple 1

- Éléments de réduction en B

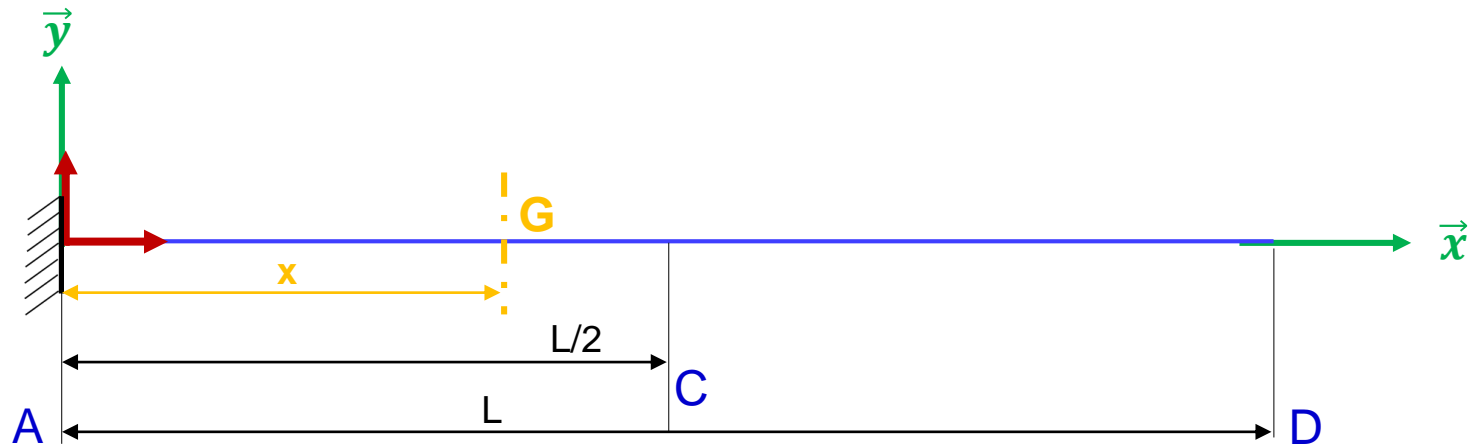


5. Équations d'équilibre en RdM

52

Application directe: Exemple 1

2) Déterminer les éléments de réduction tout au long de la poutre AD.

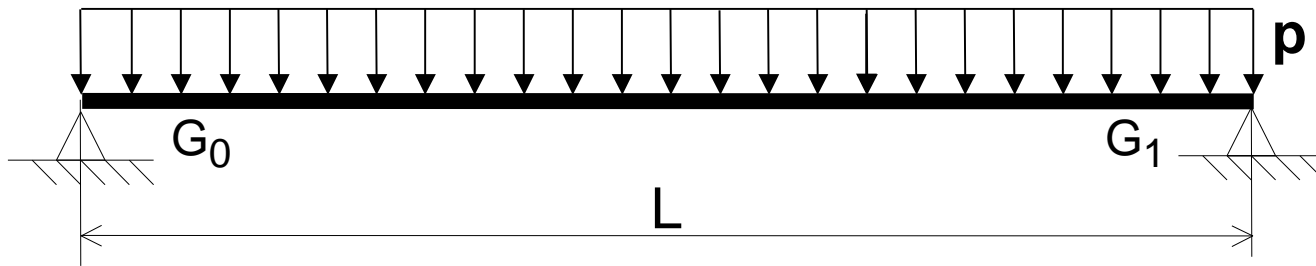


	$0 \leq x < L/2$	$L/2 \leq x < L$
N		
T_y		
M_z		

Application directe: Exemple 2

□ Application directe: Exemple 2

Une poutre droite, de longueur L et reposant sur deux appuis simples en G_0 et G_1 , est soumise à une charge uniformément répartie de taux p .

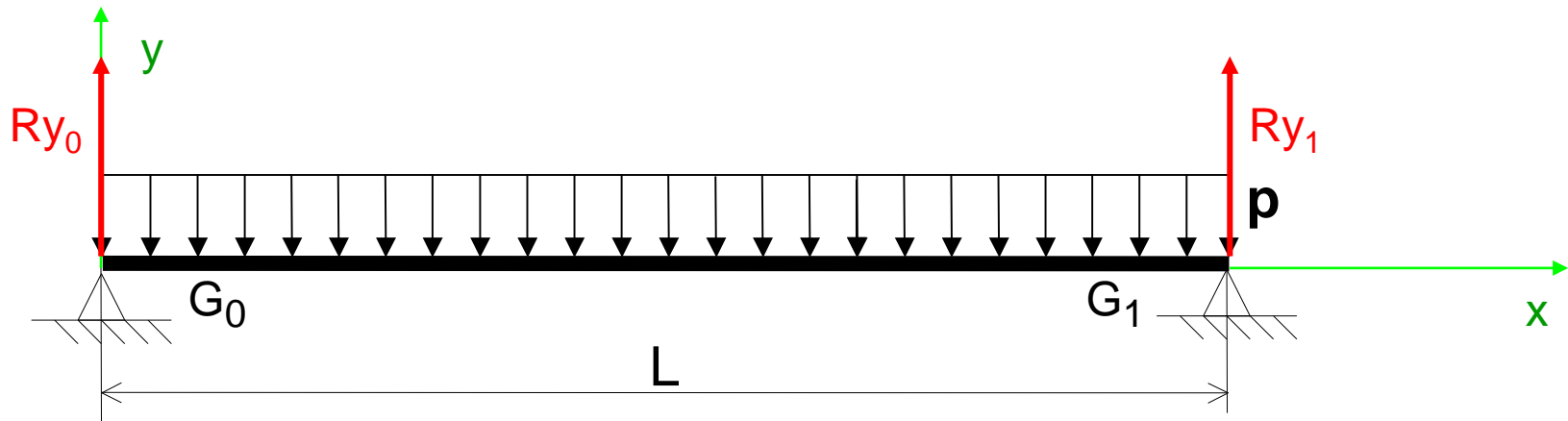


Question: Calculer les éléments de réduction.

Démarche de résolution:

1) Schématisation:

- a. Définir le repère de travail
- b. Définir le sens positif des moments
- c. Représentation des forces de réaction et des moments au niveau des liaisons.



5. Équations d'équilibre en RdM

55

Application directe: Exemple 2

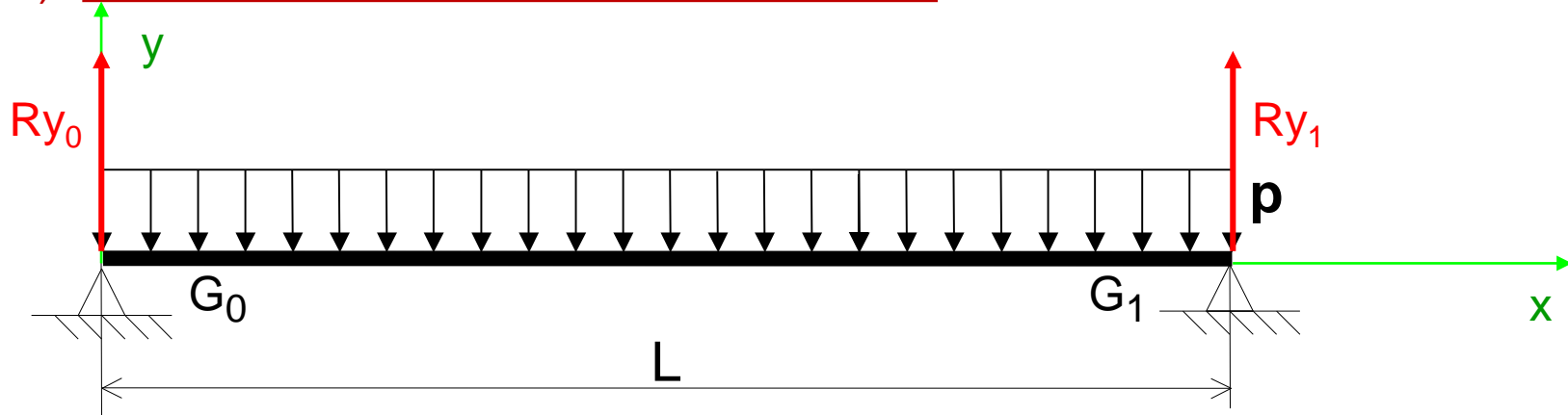
2) Résolution du problème statique:

5. Équations d'équilibre en RdM

56

Application directe: Exemple 2

2) Détermination des éléments de réduction:



5. Équations d'équilibre en RdM

57

Application directe: Exemple 2

Tracé des Diagrammes des éléments de réduction:

☐ Diagramme de l'effort tranchant:

☐ Diagramme du moment de flexion:

5. Équations d'équilibre en RdM

58

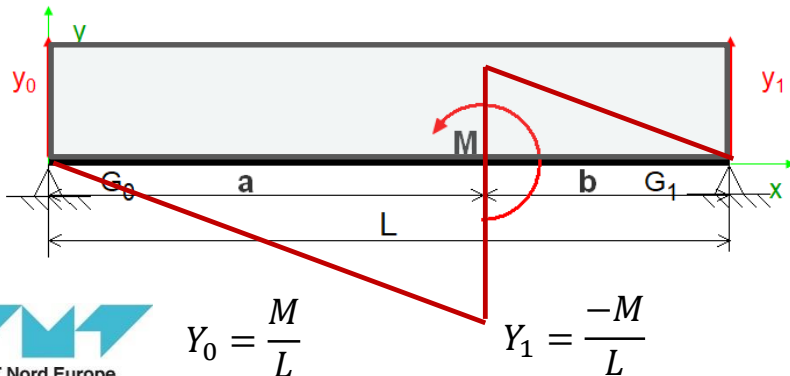
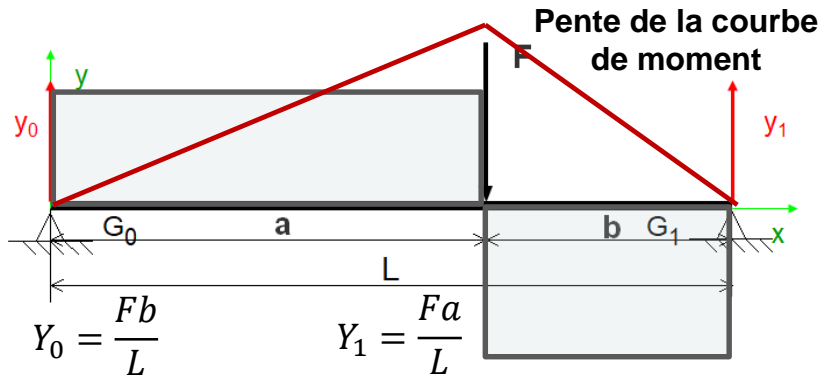
Tracé des diagrammes : (cas de la flexion)

Aide aux tracés : (Elts de réduction)

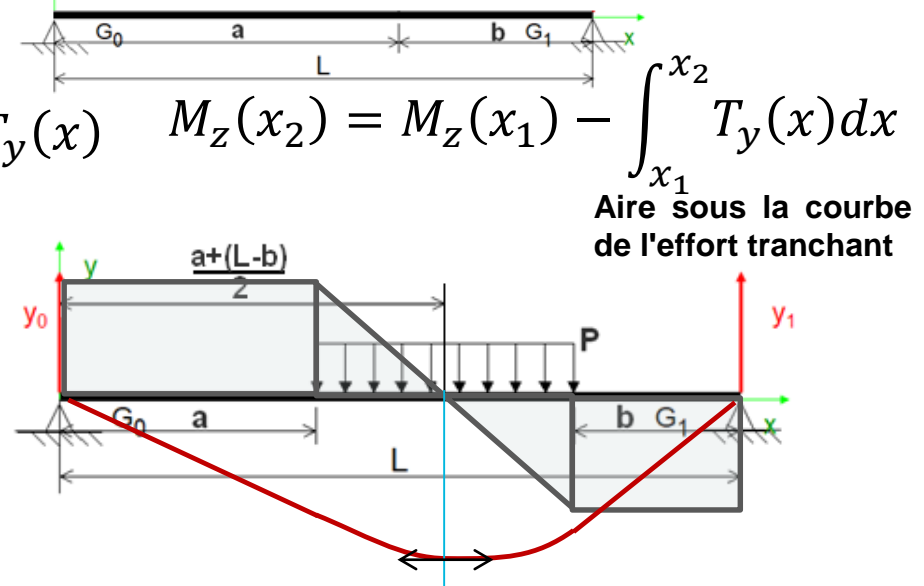
□ Conséquences de la règle :

$$\frac{\partial M_z}{\partial x} = -T_y(x) \quad M_z(x_2) = M_z(x_1) - \int_{x_1}^{x_2} T_y(x) dx$$

Aire sous la courbe de l'effort tranchant



Une poutre sur 2 appuis



□ Une poutre sur 2 appuis supporte souvent un chargement qui sera une combinaison de ces 3 chargements élémentaires considérés unitaires (F=1, P=1, M=1)

□ Les tracés seront une superposition de ceux réalisés pour chaque chargement

5. Équations d'équilibre en RdM

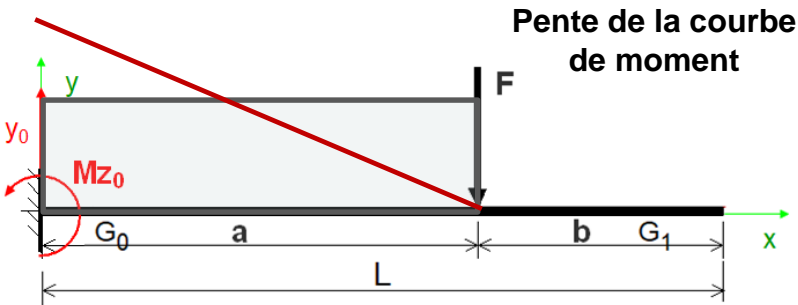
59

Tracé des diagrammes : (cas de la flexion)

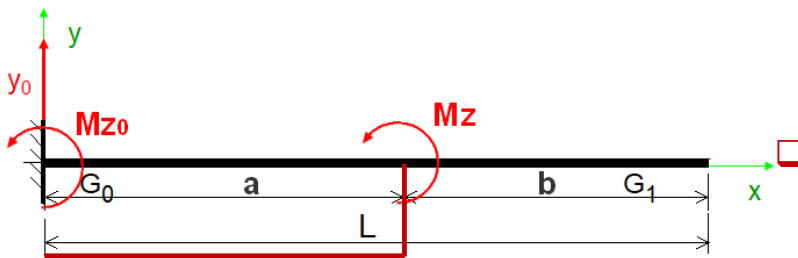
Aide aux tracés : (Elts de réduction)

□ Conséquences de la règle :

$$\frac{\partial M_z}{\partial x} = -T_y(x) \quad M_z(x_2) = M_z(x_1) - \int_{x_1}^{x_2} T_y(x) dx$$



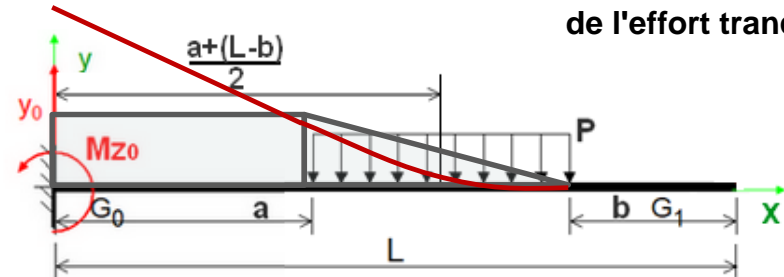
$$Y_0 = F \quad M_{z_0} = Fa$$



$$Y_0 = 0 \quad M_{z_0} = -M_z$$



Aire sous la courbe de l'effort tranchant



$$Y_0 = P(L - a - b)$$

$$M_{z_0} = P(L - a - b) \left(\frac{a + L - b}{2} \right)$$

□ Une poutre encastrée en une extrémité supporte souvent un chargement qui sera une combinaison de ces 3 chargements élémentaires considérés unitaires ($F=1, P=1, M=1$)

□ Les tracés seront une superposition de ceux réalisés pour chaque chargement



IMT Nord Europe
École Mines-Télécom
IMT-Université de Lille

Résistance des Matériaux (RdM)

Séance 3 Partie 2 (2/2)

Intervenant:

AU: 2022-2023

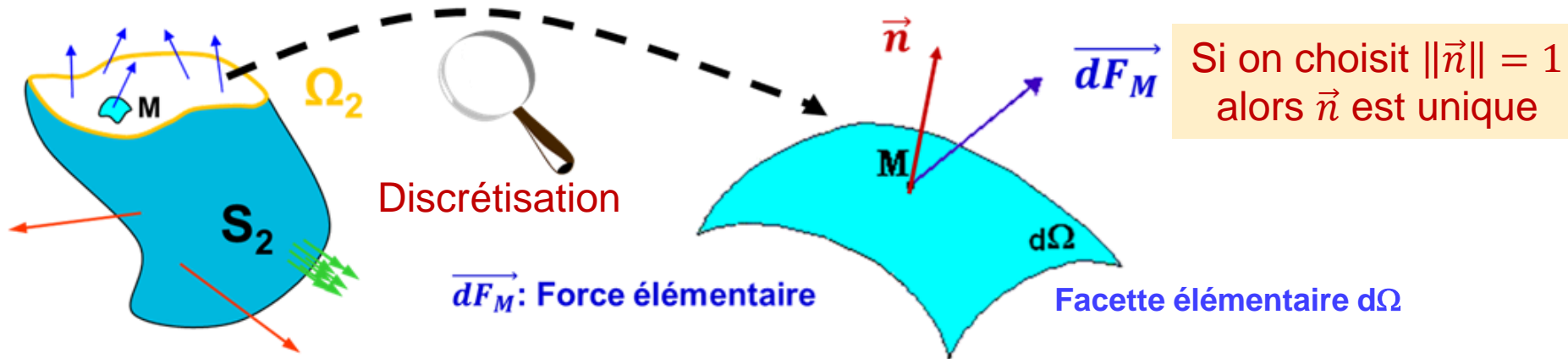
Partie 1

- 1. NOTION DE CONTRAINTE**
- 2. NOTION DE DÉFORMATION**
- 3. CARACTÉRISATION MÉCANIQUE
D'UN MATÉRIAU**
- 4. LOI DE COMPORTEMENT**



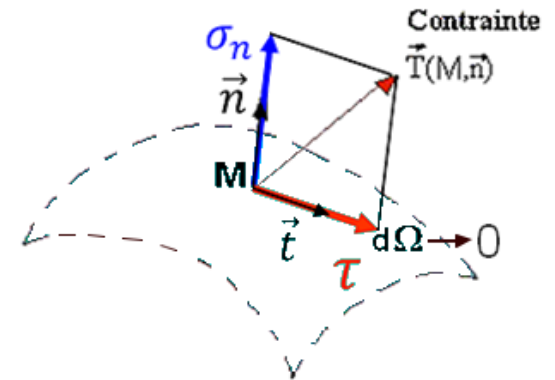
1.2 Vecteur contrainte: Définition

- Soit le solide S_2 et soit un point M localisé sur la surface Ω_2
- On identifie autour du point M une facette élémentaire $d\Omega$ de **vecteur normal sortant** (au point M) \vec{n} (\vec{n} est le vecteur caractéristique de la surface)



□ **Définition: le vecteur contrainte** (on le note $\vec{T}(M, \vec{n})$) au point M de la surface $d\Omega$ de normale sortante \vec{n} est donné par:

$$\vec{T}(M, \vec{n}) = \lim_{d\Omega \rightarrow 0} \frac{\vec{dF}_M}{d\Omega}$$



1.8 Fiche récapitulative

Vecteur contrainte

$$\vec{T}(M, \vec{n}) = \overrightarrow{\sigma_n(M, \vec{n})} + \overrightarrow{\tau(M, \vec{n})}$$

Contrainte normale

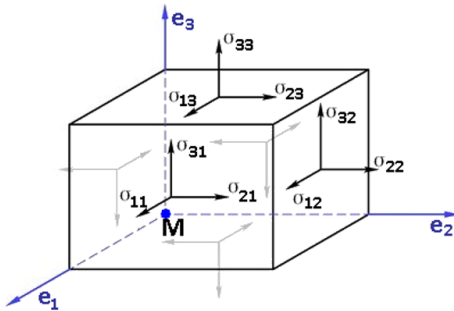
$$\sigma_n(M, \vec{n}) = \vec{n} \cdot \vec{T}(M, \vec{n})$$

Contrainte de cisaillement

$$\tau(M, \vec{n}) = \|\vec{T}(M, \vec{n}) \wedge \vec{n}\|$$

Etat de contraintes

$$\overline{\overline{\sigma(M)}} = \begin{bmatrix} \sigma_{11} & \sigma_{12} & \sigma_{13} \\ \sigma_{21} & \sigma_{22} & \sigma_{23} \\ \sigma_{31} & \sigma_{32} & \sigma_{33} \end{bmatrix}_{(\vec{e}_1, \vec{e}_2, \vec{e}_3)}$$



Vecteur contrainte

$$\vec{T}(M, \vec{n}) = \overline{\overline{\sigma(M)}} \begin{bmatrix} n_1 \\ n_2 \\ n_3 \end{bmatrix}$$

$$\|\vec{n}\| = 1$$

$$\vec{T}(M, \vec{e}_i) = \begin{bmatrix} \sigma_{1i} \\ \sigma_{2i} \\ \sigma_{3i} \end{bmatrix}$$

Etat de contraintes principales

$$\overline{\overline{\sigma(M)}} = \begin{bmatrix} \sigma_I & 0 & 0 \\ 0 & \sigma_{II} & 0 \\ 0 & 0 & \sigma_{III} \end{bmatrix}_{(\vec{p}_1, \vec{p}_2, \vec{p}_3)}$$

Changement de repère

$$\overline{\overline{\sigma'}}_{R2} = \overline{\overline{R2T_{R1}}} \times \overline{\overline{\sigma}}_{R1} \times \overline{\overline{R1T_{R2}}}$$

2.5 Matrice de déformation : propriétés

Etudions la matrice : $\bar{\bar{\epsilon}}$

$$\bar{\bar{\epsilon}} = \begin{bmatrix} \epsilon_{11} & \epsilon_{12} & \epsilon_{13} \\ \epsilon_{21} & \epsilon_{22} & \epsilon_{23} \\ \epsilon_{31} & \epsilon_{32} & \epsilon_{33} \end{bmatrix}_{(\vec{e}_1, \vec{e}_2, \vec{e}_3)}$$

- Mathématiquement la matrice de déformation se comporte de la même manière que la matrice de contraintes.
- Elle est symétrique, diagonalisable, on peut la changer de repère.
- Le repère principal est identique pour la matrice de déformation et de contrainte

3. CARACTÉRISATION MÉCANIQUE D'UN MATÉRIAU

6

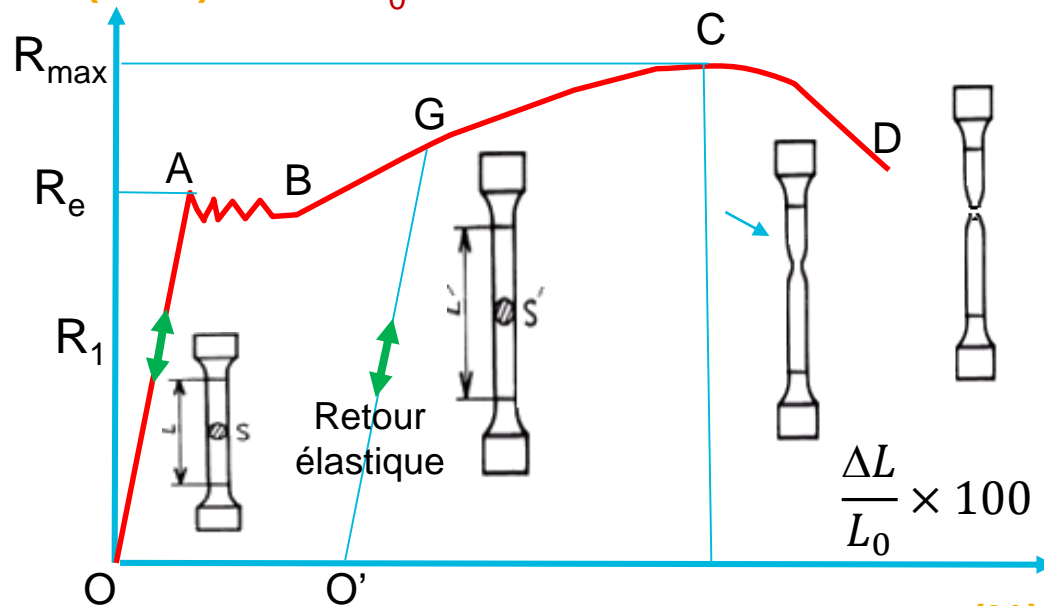
3.3 Essai de traction : courbe conventionnelle de traction

Enregistrement des capteurs de force et d'extensométrie :
Force , Allongement ΔL

Tracé de la **force unitaire** de traction en fonction de l'allongement pourcent

R(MPa) $R=F/S_0$

Allongement ΔL (mm)



courbe conventionnelle de traction (%)

$R=F/S_0$: Force unitaire de traction (MPa)

Trois zones de comportement:
Zone élastique (OA)

- Allongement **linéaire réparti** : déformation totalement réversible. (Zone de déformation plastique AD)

Zone d'écrouissage (AC)

- Allongement **non linéaire réparti** : déformation partiellement irréversible (élastique+plastique)

(parfois palier d'écoulement plastique AB)

Zone de striction (CD)

- **Allongement localisé** au niveau d'une section droite qui diminue jusqu'à rupture.

(O'G) : en cours d'essai si la force est annulée, on observe un retour élastique du matériau (réversible)

4. LOI DE COMPORTEMENT

7

4.2 Loi de comportement : Loi généralisée

Loi de Hooke généralisée
(Repère quelconque) $\varepsilon_{ij} = \frac{(1+\nu)}{E} \sigma_{ij} - \frac{\nu}{E} (\sigma_{11} + \sigma_{22} + \sigma_{33}) \delta_{ij}$

Inversion de la loi de Hooke généralisée inversée
(Repère quelconque)

$$\sigma_{ij} = \frac{E}{1+\nu} \varepsilon_{ij} + \frac{E\nu}{(1+\nu)(1-2\nu)} (\varepsilon_{11} + \varepsilon_{22} + \varepsilon_{33}) \delta_{ij}$$

Que l'on pose aussi $\sigma_{ij} = 2\mu \varepsilon_{ij} + \lambda (\varepsilon_{11} + \varepsilon_{22} + \varepsilon_{33}) \delta_{ij}$

Grandeurs caractéristiques des matériaux

μ, λ coefficients de Lamé
 E Module de YOUNG
 ν Coefficient de Poisson
 μ Module de COULOMB

$$\left\{ \begin{array}{l} \lambda = \frac{E\nu}{(1+\nu)(1-2\nu)} \\ \mu = \frac{E}{2(1+\nu)} \\ \nu = \frac{\lambda}{2(\lambda + \mu)} \\ E = \mu \frac{3\lambda + 2\mu}{\mu + \lambda} \end{array} \right.$$

PARTIE 2

DÉMARCHE DE RÉOLUTION D'UN PROBLÈME DE RdM

ETAPE 1 :

- Schématisation
- Hypothèses de la RdM

ETAPE 2 : RÉOLUTION PROBLÈME STATIQUE

- Principe fondamental de la statique (PFS)
- Liaisons

ETAPE 3 : DIMENSIONNEMENT

- Éléments de réduction
- Équations d'équilibre en RdM
- Equations d'équilibre d'une section

COMPLÉMENT DE COURS:

- Propriétés de sections

Rappel Séance 2



IMT Nord Europe
École Mines-Télécom
IMT-Université de Lille

2. Démarche de résolution d'un problème de RdM

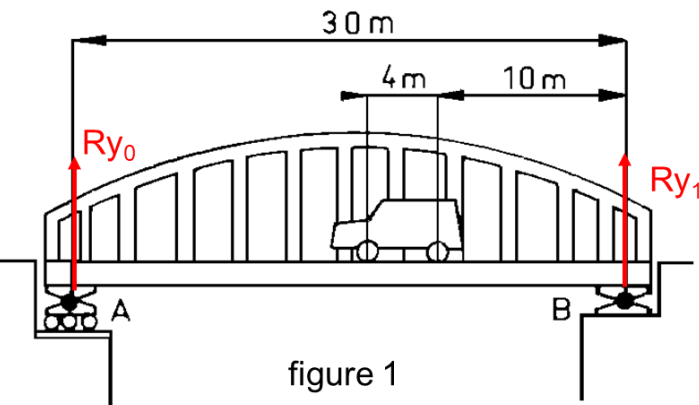
9

❑ Comment vérifier les critères usuels pour les poutres ?

Scénario: « Soit une automobile de 1200 Kg qui se déplace sur un pont de 30 m de longueur et 20 tonnes de masse (figure 1). Le véhicule s'arrête brusquement à 10 m du point B »

❑ Problème de RdM

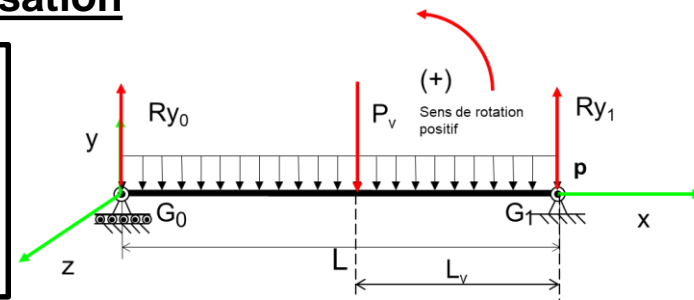
Le pont risque-t-il de fléchir sous l'action du poids du véhicule ?



❑ La résolution par la RdM se fait en **trois étapes**

I. Etape 1: la schématisation

Composant (poutre ?)
Schématisation
Liaisons/sollicitations
Hypothèses de la RdM



II. Etape 2: Résolution du problème statique : recherche actions "passives"

$$\begin{cases} Ry_0 = \frac{pL^2/2 + P_v(L_v)}{L} \\ Ry_1 = \frac{pL^2/2 + P_v(L - L_v)}{L} \end{cases}$$

III. Etape 3: Dimensionnement

Vérification de critères en
contrainte ou en
déformation

2. DÉMARCHE DE RÉOLUTION D'UN PROBLÈME DE RdM

10

□ 2.1 Étapes de résolution d'un problème de RdM

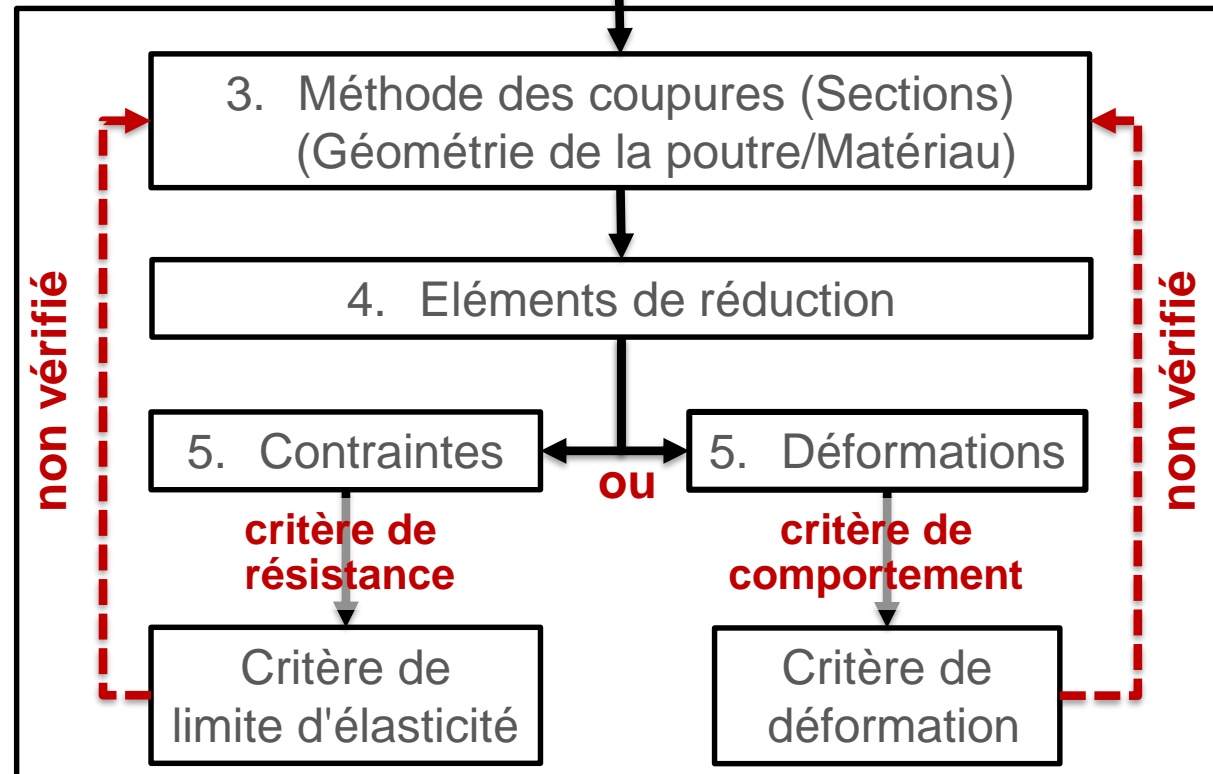
I. Schématisation

1. Composant (poutre ?)
2. Schématisation
3. Liaisons/sollicitations
4. Hypothèses de la RdM

II. Résolution du problème statique

- Principe fondamental de la statique (PFS)
1. Chargements actifs
 2. Réactions d'appuis (Actions passives)
- Système isostatique/hyperstatique

III. Dimensionnement / vérification:



Est-ce que la structure et/ou
le composant vérifie le critère
(Contrainte/Déformations) ?

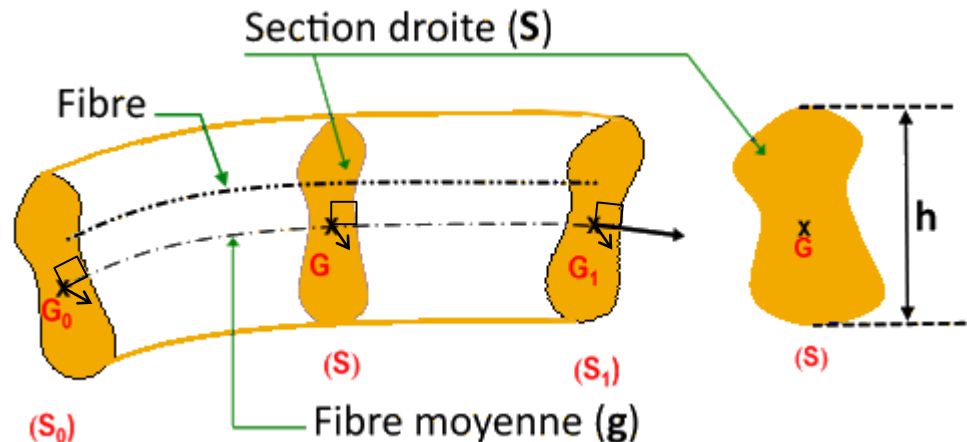
A RETENIR

2. 2 Géométrie du composant

□ Géométrie (Hypothèse 1 de la RdM)

- Les composants étudiés en RdM sont **des poutres**.
- Par définition,
 - Une **poutre** est engendrée par une surface plane **S** nommée **section droite** dont le centre d'inertie (ou barycentre) **G** parcourt une courbe continue **g** appelée **fibre moyenne**;
 - La **section droite (S)** reste **perpendiculaire** à la fibre moyenne **g**;
 - Toute courbe parallèle à la courbe moyenne **g** est appelée **fibre**;

A RETENIR



2.2 Géométrie du composant

❑ Critères géométriques d'une poutre:

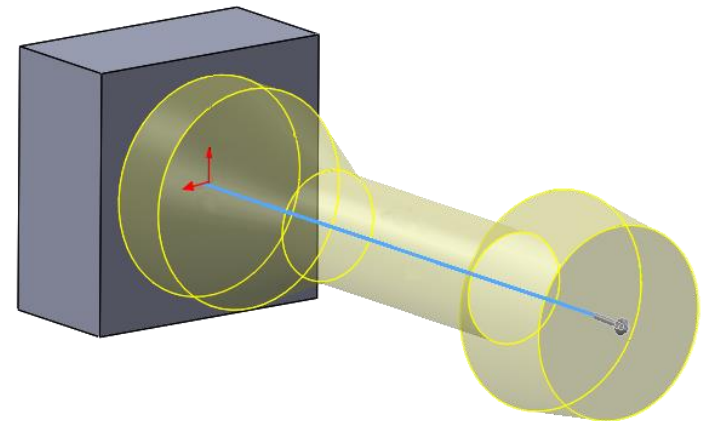
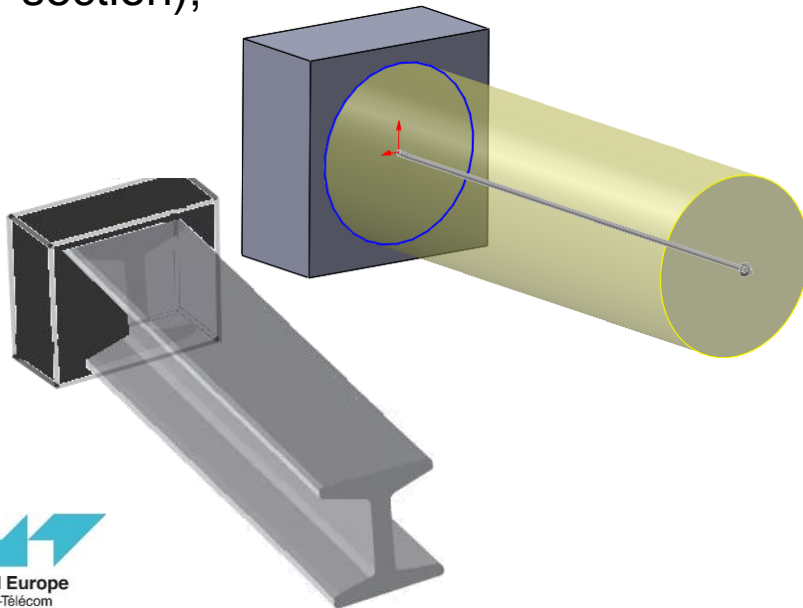
- La **longueur L** de la fibre moyenne doit être suffisamment grande devant la plus grande dimension **h** de la section droite (S):

$$5h < L < 30h$$

- Le **rayon de courbure R** en tout point de **g** de la fibre moyenne doit vérifier:

$$R > 20h$$

- Les **variations de forme et de dimensions de la section (S)** le long de la fibre moyenne **g** doivent être **progressives** (pas de variation brusque de la section);



2.3.2 Liaisons et sollicitations

- Chaque liaison d'un solide S_2 avec un solide S_1 est caractérisée par **deux torseurs**:

□ Torseur cinématique :

Il traduit la vitesse relative du solide S_2 par rapport à un autre solide S_1

$${}_O\{V_{S_2/S_1}\} = \begin{Bmatrix} \vec{\Omega}_{S_2/S_1} = \omega_x \cdot \vec{x} + \omega_y \cdot \vec{y} + \omega_z \cdot \vec{z} \\ \vec{V}_{O,S_2/S_1} = V_x \cdot \vec{x} + V_y \cdot \vec{y} + V_z \cdot \vec{z} \end{Bmatrix}_{(\vec{x}, \vec{y}, \vec{z})} = \begin{Bmatrix} \omega_x & V_x \\ \omega_y & V_y \\ \omega_z & V_z \end{Bmatrix}_{(\vec{x}, \vec{y}, \vec{z})} \quad \text{Avec,}$$

$\vec{\Omega}_{S_2/S_1}$: vecteur vitesse de rotation
 $\vec{V}_{O,S_2/S_1}$: vecteur vitesse du point O appartenant au solide S_2 par rapport au solide S_1

□ Torseur statique (Torseur de liaison):

Il traduit les efforts et moments transmissibles d'un solide S_2 à un autre solide S_1 .

$${}_O\{\tau_{S_2/S_1}\} = \begin{Bmatrix} \vec{F}_{S_2/S_1} = X \cdot \vec{x} + Y \cdot \vec{y} + Z \cdot \vec{z} \\ \vec{M}_{O,S_2/S_1} = L \cdot \vec{x} + M \cdot \vec{y} + N \cdot \vec{z} \end{Bmatrix}_{(\vec{x}, \vec{y}, \vec{z})} = \begin{Bmatrix} X & L \\ Y & M \\ Z & N \end{Bmatrix}_{(\vec{x}, \vec{y}, \vec{z})} \quad \text{Avec,}$$

\vec{F}_{S_2/S_1} : Force exercée par S_2 sur S_1 .
 $\vec{M}_{O,S_2/S_1}$: Moment au point O de S_2 sur S_1 .

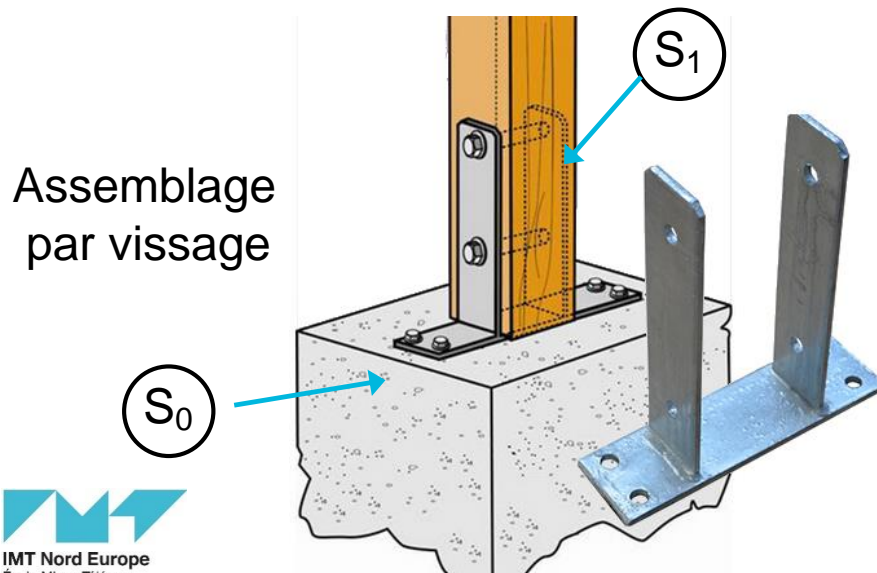
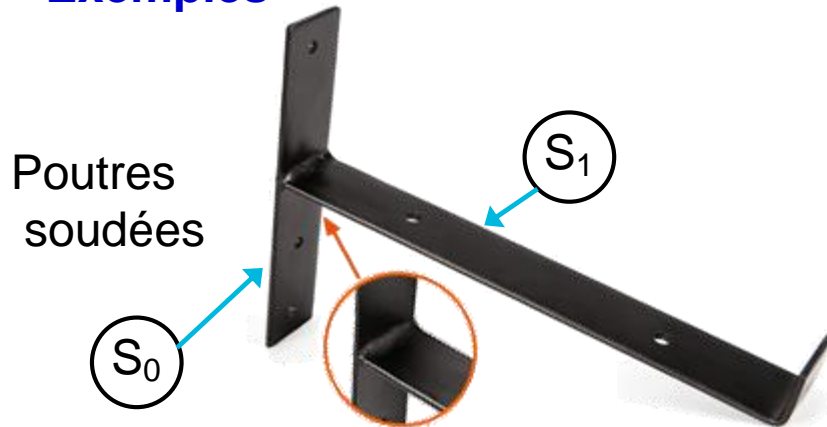
2. SCHÉMATISATION D'UN PROBLÈME DE RdM

14

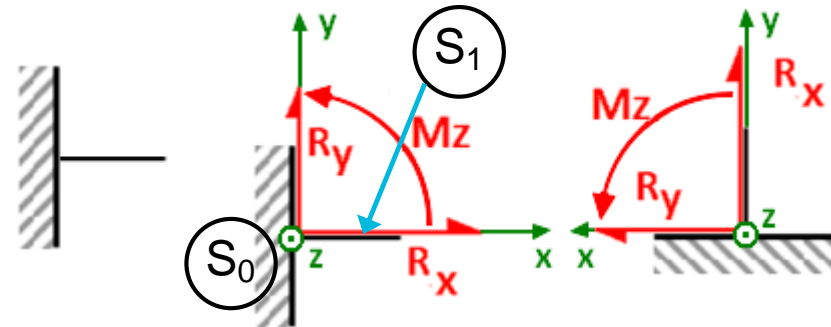
2.3.2 Liaisons et sollicitations

□ Liaison encastrement

■ Exemples



■ Représentation plane



■ Mouvements possibles (problème plan de normale \vec{z})

$${}_o\{V_{S0/S1}\} = \begin{cases} \omega_{\vec{x}} & V_x = 0 \\ \omega_{\vec{y}} & V_y = 0 \\ \omega_z = 0 & V_z \end{cases}$$

■ Torseur statique

$${}_o\{\tau_{S0/S1}\} = \begin{pmatrix} R_x & - \\ R_y & - \\ - & M_z \end{pmatrix}_{(\vec{x}, \vec{y}, \vec{z})}$$

2. SCHÉMATISATION D'UN PROBLÈME DE RdM

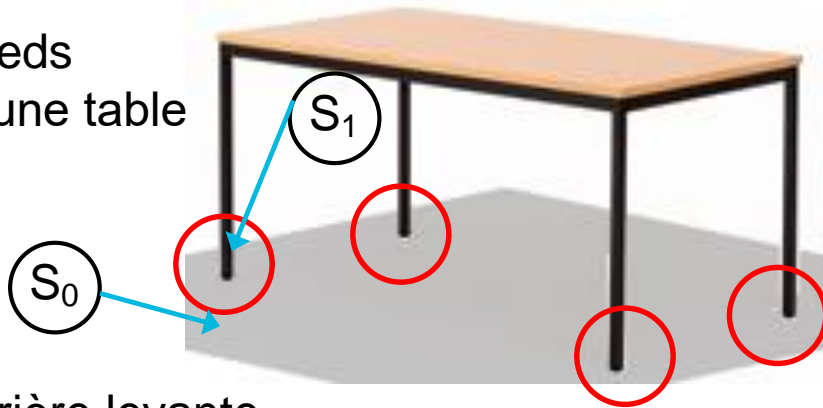
15

2.3.2 Liaisons et sollicitations

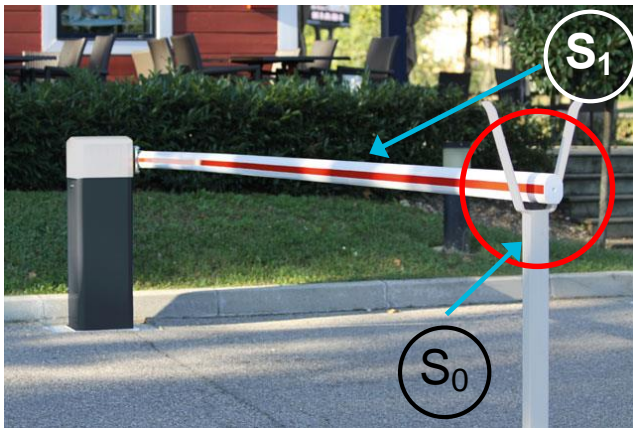
□ Liaison appui simple (ou ponctuelle)

▪ Exemples:

Pieds
d'une table

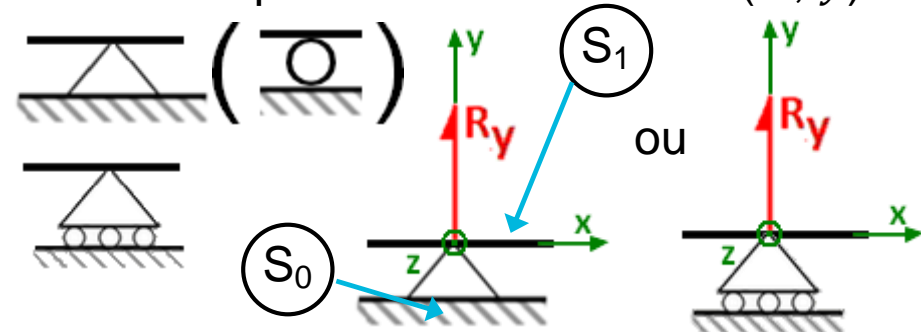


Barrière levante



▪ Représentation plane

Liaison ponctuelle de normale (O, \vec{y})



▪ Mouvements possibles (problème plan de normale \vec{z})

$${}_O\{V_{S0/S1}\} = \begin{Bmatrix} \omega_{\vec{x}} \\ \omega_{\vec{y}} \\ \omega_z \\ V_x \\ V_y \\ V_z \end{Bmatrix} = \begin{Bmatrix} V_x \\ V_y = 0 \\ V_z \end{Bmatrix}$$

▪ Torseur statique

$${}_O\{\tau_{S0/S1}\} = \begin{Bmatrix} R_x = 0 \\ R_y \\ - \\ M_z = 0 \end{Bmatrix}_{(\vec{x}, \vec{y}, \vec{z})}$$

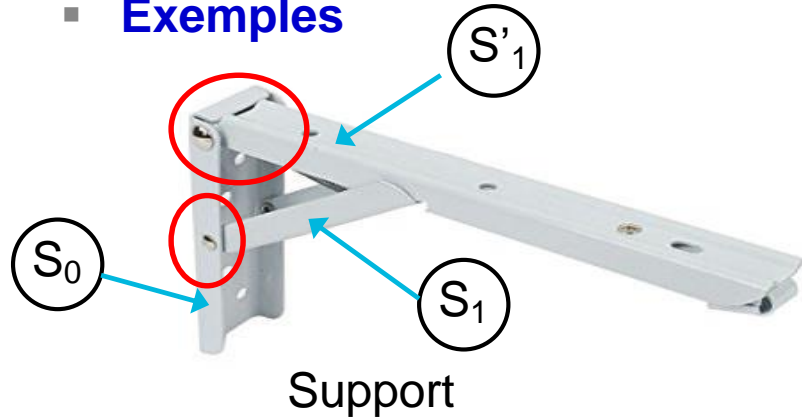
2. SCHÉMATISATION D'UN PROBLÈME DE RdM

16

2.3.2 Liaisons et sollicitations

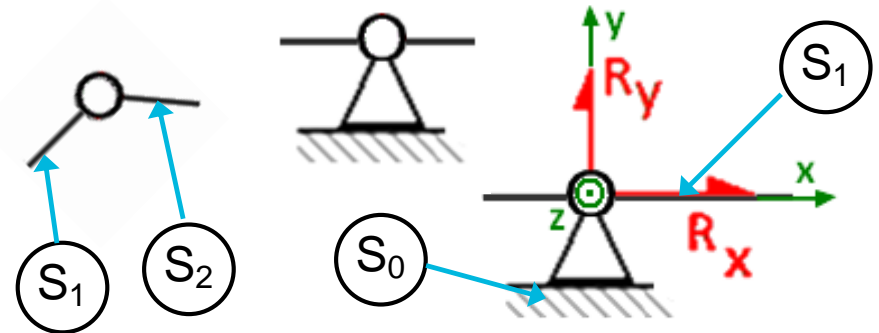
□ Liaison pivot

■ Exemples



Domaine du génie civil: les ponts

■ Représentation plane d'axe (O, \vec{z})



■ Mouvements possibles (problème plan de normale \vec{z})

$${}_O\{V_{S0/S1}\} = \begin{cases} \omega_{\vec{x}} & V_x = 0 \\ \omega_{\vec{y}} & V_y = 0 \\ \omega_z & V_z \end{cases}$$

■ Torseur statique

$${}_O\{\tau_{S0/S1}\} = \begin{cases} R_x & - \\ R_y & - \\ - & M_z = 0 \end{cases}_{(\vec{x}, \vec{y}, \vec{z})}$$

4.5 Chargement actif et Chargement réactif (passif)

Le chargement qui s'exerce sur une structure se décompose en :

❑ **Eléments de chargement actif**

- Ils s'expriment sous la forme de forces, moments, charges linéiques, ou charges à distance (telles le poids, les forces électrostatiques).
- Ils peuvent s'appliquer directement sur la structure ou par l'intermédiaire des liaisons qui relient la structure à son environnement.
- **Ils correspondent aux données d'entrée connues du problème.**

❑ **Eléments de chargement réactif (passif)**

- Ils sont appliqués à la structure à travers les liaisons qui relient la structure à son environnement, ils "s'adaptent" au chargement actif.
- **ce sont les inconnues du problème.**

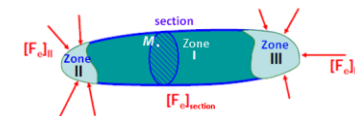
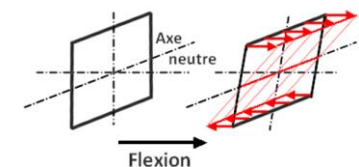
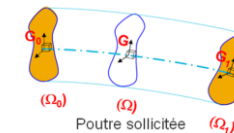
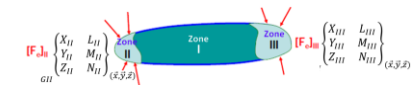
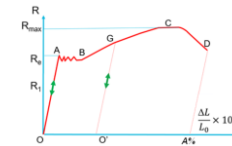
3. HYPOTHÈSES DE LA RdM

18

3.3 Hypothèses de la RdM

□ Récapitulatif des hypothèses de la RdM

- Hypothèse 1 : Hypothèse géométrique $5h < L < 30h$, $R_{\text{courbure}} > 20h$
- Hypothèse 2 : Homogénéité et isotropie des matériaux
- Hypothèse 3 : Comportement élastique linéaire
- Hypothèse 4 : Action statique des forces
- Hypothèse 5 : Conservation des dimensions initiales (détermination chargement)
- Hypothèse 6 : Hypothèse de Barré de Saint Venant
- Hypothèse 7 : Hypothèse de Navier Bernouilli
- Hypothèse 8 : Hypothèse de continuité des modèles f' , f'' continues
- Hypothèse 9 : Hypothèse Barré de Saint Venant (flexion)
- Hypothèse 10 : Problème de Barré de Saint Venant



4.1 Démarche de résolution d'un problème de RdM

I. Schématisation

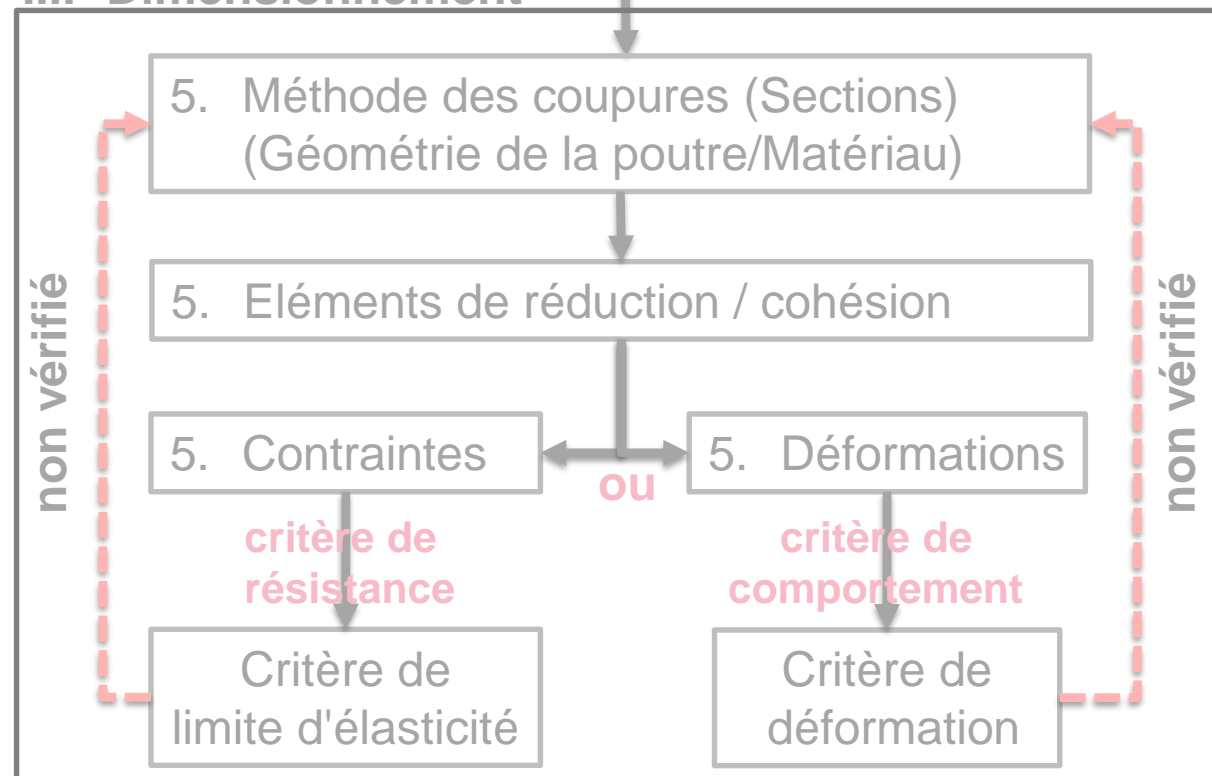
1. Composant (poutre ?)
2. Schématisation
3. Liaisons/sollicitations
4. Hypothèses de la RdM

II. Résolution du problème statique

Principe fondamental de la statique (PFS)

1. Chargements actifs
2. Réactions d'appuis (Actions passives)

III. Dimensionnement



Cette partie a pour objectif, de rappeler les principes du calcul statique nécessaires à l'identification complète du chargement qui s'applique à un élément poutre.

4.3 Torseur d'une force

□ Identification d'une force par un torseur:

L'A.M que crée une force \vec{F} appliquée en un point P d'un corps est équivalente à L'A.M que crée la même force \vec{F} appliquée en tout autre point A de ce même corps, à laquelle on ajoute le moment généré par cette force \vec{F} au point A.

□ On modélise de façon générale une force à l'aide d'un **torseur** : on l'exprime avec **2 vecteurs**: le **vecteur force**, et le **vecteur du moment** de cette force calculé en un point A (si A est le point d'application de la force $\vec{\mathcal{M}}_A = \vec{0}$)

$${}_A\{\mathcal{T}_{1 \rightarrow 2}\} = \begin{Bmatrix} \vec{\mathcal{F}}_{1 \rightarrow 2} \\ \vec{\mathcal{M}}_A(\vec{\mathcal{F}}_{1 \rightarrow 2}) \end{Bmatrix} \quad {}_A\{\mathcal{T}_{1 \rightarrow 2}\} = \begin{Bmatrix} F_x & L \\ F_y & M \\ F_z & N \end{Bmatrix}_{(\vec{x} \quad \vec{y} \quad \vec{z})}$$

□ **Transport d'un torseur** : Définir en un point B, l'incidence d'une force (torseur) exercée initialement en un point A

$$\vec{\mathcal{M}}_B(\vec{\mathcal{F}}_{1 \rightarrow 2}) = \vec{\mathcal{M}}_A(\vec{\mathcal{F}}_{1 \rightarrow 2}) + \vec{BA} \wedge \vec{\mathcal{F}}_{1 \rightarrow 2}$$

$${}_B\{\mathcal{T}_{1 \rightarrow 2}\} = \begin{Bmatrix} \vec{\mathcal{F}}_{1 \rightarrow 2} \\ \vec{\mathcal{M}}_B(\vec{\mathcal{F}}_{1 \rightarrow 2}) \end{Bmatrix} \quad \begin{array}{l} \leftarrow \text{Résultante: invariante} \\ \leftarrow \text{Moment: dépend du point B} \end{array}$$

4.6 Équations d'équilibre du PFS (problèmes plans)

Étant donnée la **nature plane** des problèmes à résoudre, l'équilibre du **système étudié isolé** se réduit à un système de trois équations, extraites de l'équation torsorielle générale du PFS:

« **torseurs Chgt actif** » + « **torseurs Chgt réactif** » = « **torseur nul** »

Dans repère global $(\vec{x}_0, \vec{y}_0, \vec{z}_0)$

$$\sum_{i=1}^n \begin{Bmatrix} X_i & 0 \\ Y_i & 0 \\ 0 & N_i \end{Bmatrix}_{o(\vec{x}_0, \vec{y}_0, \vec{z}_0)} + \sum_{j=1}^m \begin{Bmatrix} X_j & 0 \\ Y_j & 0 \\ 0 & N_j \end{Bmatrix}_{o(\vec{x}_0, \vec{y}_0, \vec{z}_0)} = \begin{Bmatrix} 0 & 0 \\ 0 & 0 \\ 0 & 0 \end{Bmatrix} \Leftrightarrow \begin{cases} \sum_{i=1}^n X_i (proj/X) \\ \sum_{i=1}^n Y_i (proj/Y) \\ \sum_{i=1}^n N_i (Mt(O)/Z) \end{cases}$$

Chgt actif

Chargement
extérieur connu
qui s'applique sur
le système isolé

Chgt réactif

Réactions de
Liaisons du
système isolé qui
sont inconnues

problèmes plans
3 équations d'équilibre

4.7 Quelques règles pour faciliter les calculs

Quelques rappels de règles pour faciliter les calculs :

Système isostatique / Système hyperstatique:

Lorsque le **problème de statique à résoudre est plan**, l'équilibre du système se réduit à un système de **trois équations**, extraites de l'équation torsorielle générale (PFS)..

$$\begin{cases} \sum_{i=1}^n X_i \text{ (proj/X)} \\ \sum_{i=1}^n Y_i \text{ (proj/Y)} \\ \sum_{i=1}^n N_i \text{ (Mt(O)/Z)} \end{cases}_O$$

La Résolution du problème statique dépend du nombre d'inconnues introduites par les réactions de liaisons :

- **moins de 3 inconnues**: le problème est dit **hypostatique**. L'équilibre statique est en général impossible, sauf si les forces connues satisfont à certaines conditions.
- **3 inconnues** : le problème est dit **isostatique** ou statiquement défini.
- **plus de 3 inconnues** : le problème est dit **hyperstatique**, il est mathématiquement indéterminé. Pour pouvoir être résolu, il faut autant d'équations supplémentaires qu'il y a d'inconnues surabondantes (>3). L'étude des déformations permet d'écrire les équations manquantes, ce qui lèvera l'indétermination.

5. Équations d'équilibre en RdM

23

5.1 Démarche de résolution d'un problème de RdM

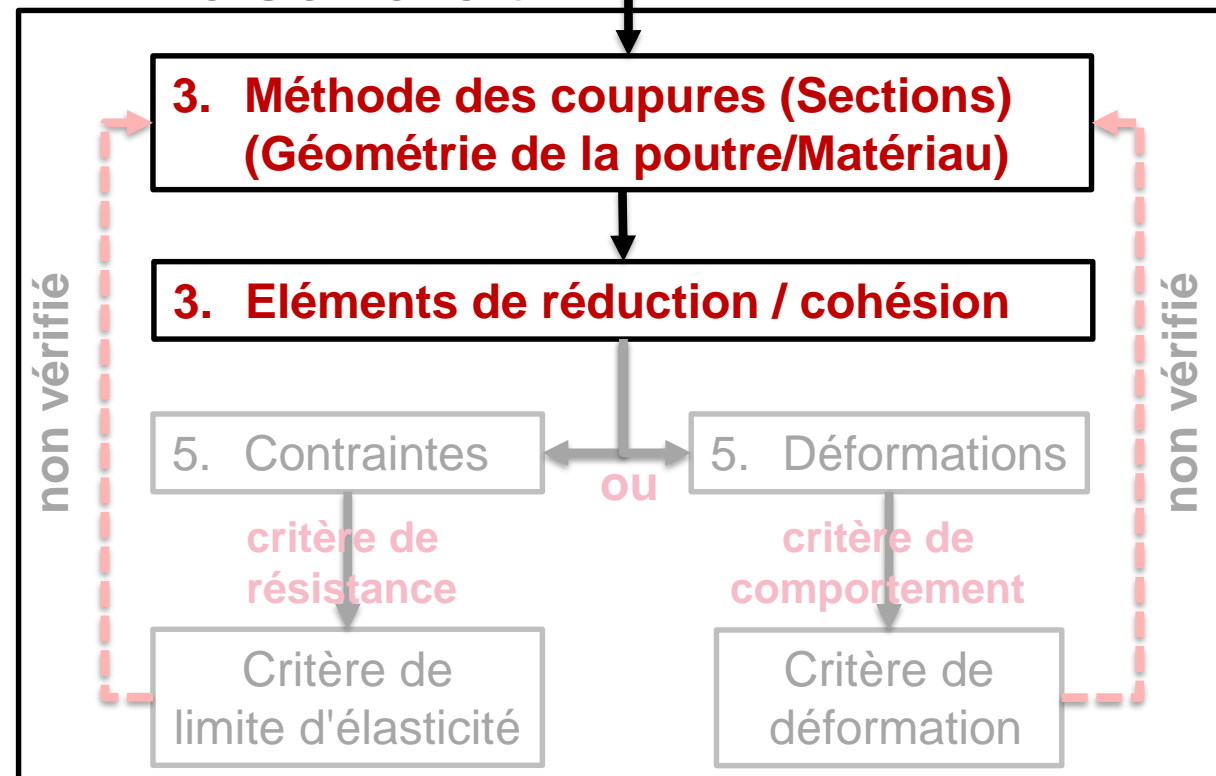
I. Schématisation

1. Composant (poutre ?)
2. Schématisation
3. Liaisons/sollicitations
4. Hypothèses de la RdM

II. Résolution du problème (statique)

- Principe fondamental de la statique (PFS)
1. Chargements actifs
 2. Réactions d'appuis (Actions passives)

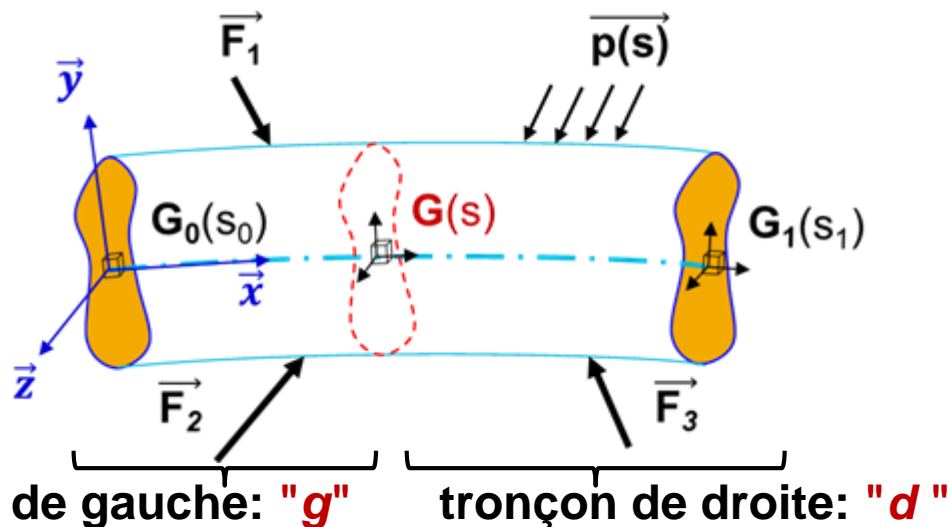
III. Dimensionnement



5.3 Notion de coupe fictive (tronçons)

Pour évaluer la résistance de la poutre aux efforts extérieurs \overrightarrow{F}_{ext} , il faut connaître la répartition des **efforts intérieurs** (dans le matériau).

- Soit une **coupe fictive** selon une section de la poutre de centre **G** situé sur fibre moyenne (**g**) et d'abscisse curviligne (s)
- La poutre est ainsi décomposée en deux tronçons:
 - Un tronçon dit le **tronçon de gauche** (noté "**g**") , défini par la partie **G₀G**;
 - Un tronçon dit le **tronçon de droite** (noté "**d**") , défini par la partie **GG₁**;



5. Équations d'équilibre en RdM

25

5.4 Torseur des éléments de réduction/ Torseur des éléments de cohésion

□ Par convention (dans le cadre de ce cours):

- Le **Torseur des éléments de réduction** $\{ \mathcal{T}_{F_{ext}/g} \}_G$ caractérise le **bilan des forces extérieures appliquées au tronçon de gauche** (résolu au centre G de la section "coupée". Il s'exprime par:

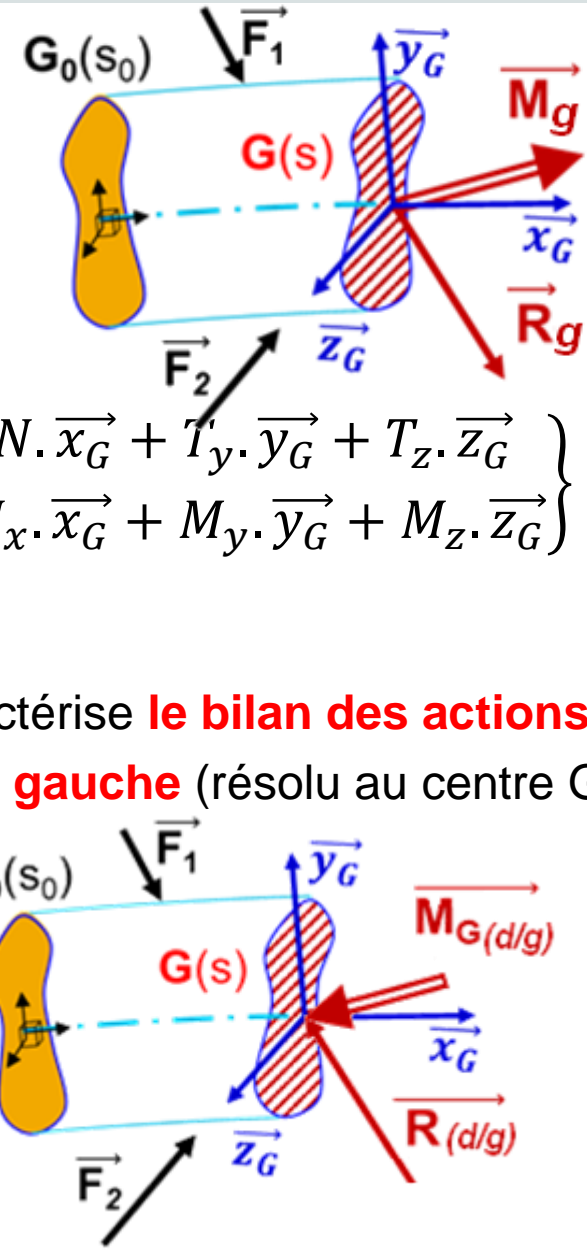
$$[\vec{F}_e]_g = \{ \mathcal{T}_{F_{ext}/g} \}_G = \left\{ \begin{array}{c} \vec{R}_g \\ \vec{M}_g \end{array} \right\}_{(\vec{x}_G; \vec{y}_G; \vec{z}_G)} = \left\{ \begin{array}{c} \vec{F}_{ext} \\ \vec{M}_{ext} \end{array} \right\}_G = \left\{ \begin{array}{c} N \cdot \vec{x}_G + T_y \cdot \vec{y}_G + T_z \cdot \vec{z}_G \\ M_x \cdot \vec{x}_G + M_y \cdot \vec{y}_G + M_z \cdot \vec{z}_G \end{array} \right\}_G$$

dans le repère $(\vec{x}_G; \vec{y}_G; \vec{z}_G)$ de la section "coupée".

- Le **Torseur des éléments de cohésion** $\{ \mathcal{T}_{d/g} \}_G$ caractérise le **bilan des actions** appliquées par le **tronçon de droite sur le tronçon de gauche** (résolu au centre G de la section "coupée").

$$\{ \mathcal{T}_{d/g} \}_G = \left\{ \begin{array}{c} \vec{R}_{(d/g)} \\ \vec{M}_{G(d/g)} \end{array} \right\}_{(\vec{x}_G; \vec{y}_G; \vec{z}_G)}$$

dans le repère $(\vec{x}_G; \vec{y}_G; \vec{z}_G)$ de la section coupée

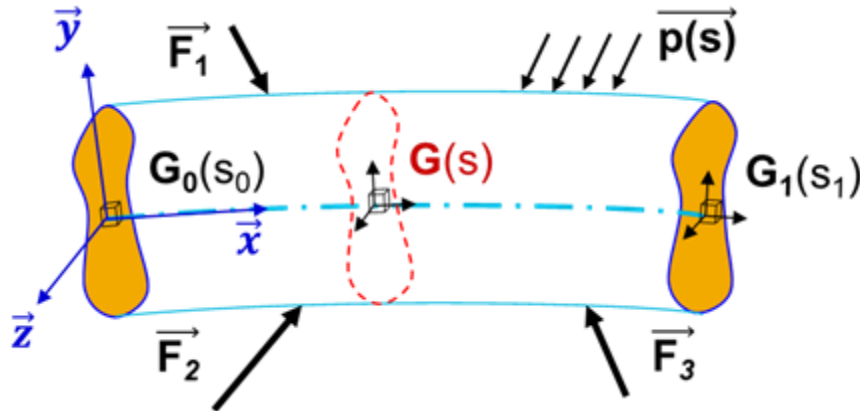


5. Équations d'équilibre en RdM

26

5.4 Torseur des éléments de réduction/ Torseur des éléments de cohésion

□ Étude de l'équilibre de la poutre:



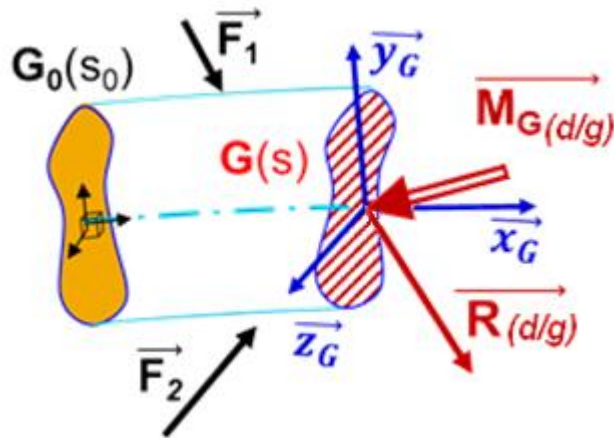
- Application du **P.F.S** au point **G**:

$${}_G\{\mathcal{T}_{F_{ext}/g}\} + {}_G\{\mathcal{T}_{F_{ext}/d}\} = \{\vec{0}\}$$

$${}_G\{\mathcal{T}_{F_{ext}/g}\} = -{}_G\{\mathcal{T}_{F_{ext}/d}\}$$

□ Étude de l'équilibre du Tronçon gauche :

- Application du **P.F.S** au point **G**



$${}_G\{\mathcal{T}_{F_{ext}/g}\} + {}_G\{\mathcal{T}_{d/g}\} = \{\vec{0}\} \quad (i)$$

Principe de l'Action / Réaction :

$${}_G\{\mathcal{T}_{d/g}\} = -{}_G\{\mathcal{T}_{g/d}\} \quad (ii)$$

**Torseur des
éléments de
réduction (gauche)**

$${}_G\{\mathcal{T}_{F_{ext}/g}\} = {}_G\{\mathcal{T}_{g/d}\} = -{}_G\{\mathcal{T}_{d/g}\}$$

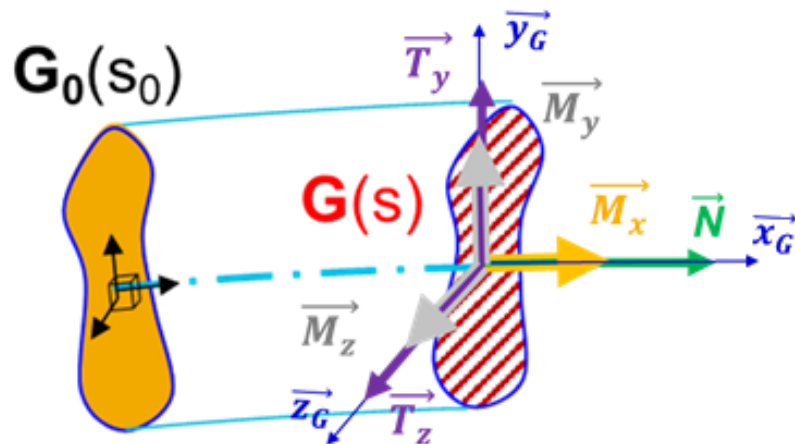
**Torseur des
éléments de
cohésion (droite)**

5.5 Composantes d'un torseur des éléments de réduction

- La **détermination des éléments de réduction** consiste à déterminer les composantes du torseur $\{\mathcal{T}_{F_{ext}/g}\}$ en chaque point G le long de la fibre moyenne de la poutre **exprimé dans le repère local** $(G, \vec{x}_G, \vec{y}_G, \vec{z}_G)$ **de la section**.

$$\mathcal{T}_{ext/g} = \begin{Bmatrix} \vec{F}_{ext} \\ \vec{M}_{ext} \end{Bmatrix}_G = \begin{Bmatrix} N \cdot \vec{x}_G + T_y \cdot \vec{y}_G + T_z \cdot \vec{z}_G \\ M_x \cdot \vec{x}_G + M_y \cdot \vec{y}_G + M_z \cdot \vec{z}_G \end{Bmatrix}_G = \begin{Bmatrix} N & M_x \\ T_y & M_y \\ T_z & M_z \end{Bmatrix}_G (\vec{x}_G; \vec{y}_G; \vec{z}_G)$$

- Dans le cadre d'un problème 3D (cas plus général que les problèmes plans), les composantes du torseur $\{\mathcal{T}_{F_{ext}/g}\}$ désignent:



N: effort normal (à la section S) suivant (G, \vec{x}_G)

T_y : effort tranchant suivant (G, \vec{y}_G)

T_z : effort tranchant suivant (G, \vec{z}_G)

M_x : moment de torsion autour (G, \vec{x}_G)

M_y : moment fléchissant autour (G, \vec{y}_G)

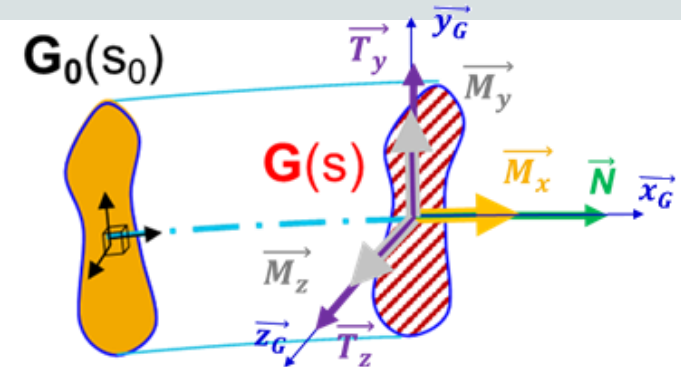
M_z : moment fléchissant autour (G, \vec{z}_G)

5. Équations d'équilibre en RdM

28

5.6 Torseur des éléments de réduction/ sollicitations simples

$$\underset{G}{\{\mathcal{T}_{ext/g}\}} = \underset{G}{\left\{ \begin{array}{c} \overrightarrow{F_{ext}} \\ \overrightarrow{M_{ext}} \end{array} \right\}} = \underset{G}{\left\{ \begin{array}{cc} N & M_x \\ T_y & M_y \\ T_z & M_z \end{array} \right\}} (\overrightarrow{x_G}; \overrightarrow{y_G}; \overrightarrow{z_G})$$



- Selon les valeurs prises par la résultante et le moment du torseur des éléments de réduction, on identifie les différentes sollicitations simples auxquelles les poutres sont soumises.

Éléments de réduction

N	T _y ou T _z	M _x	M _y ou M _z	Identification de la sollicitation
≠0	=0	=0	=0	N<0 Traction N>0 Compression
=0	≠0	=0	=0	Cisaillement simple
=0	=0	≠0	=0	Torsion pure
=0	=0	=0	≠0	Flexion pure
=0	≠0 =0 =0 ≠0	=0	=0 ≠0 ≠0 =0	Flexion simple

5. Équations d'équilibre en RdM

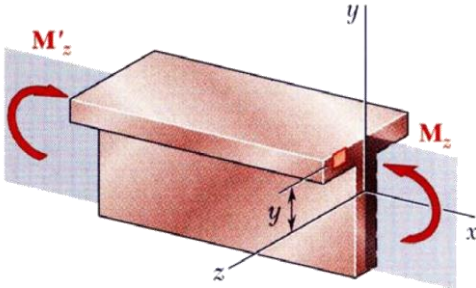
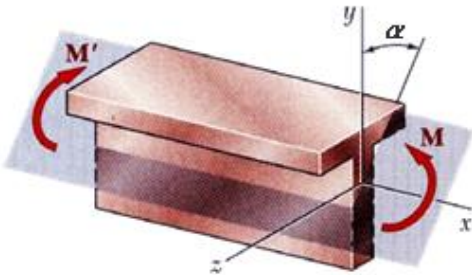
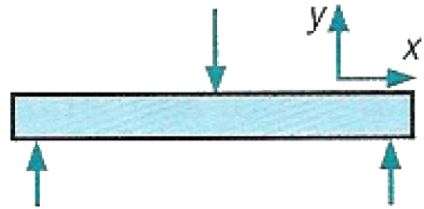

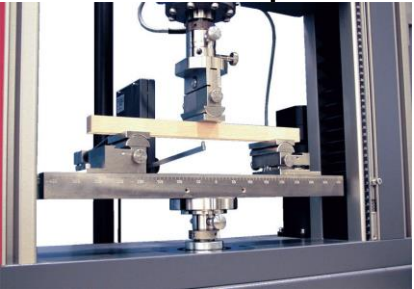
29

5.7 Torseur des éléments de réduction/ flexion

- ❑ Dans la partie 3 nous étudierons les types de flexions dont les torseurs des éléments de réductions correspondent aux cas suivants:

dans le repère $(\vec{x}_G; \vec{y}_G; \vec{z}_G)$ de la section coupée

$${}_G\{\mathcal{T}_{ext}/\mathbf{g}\}$$

Flexion pure plane	Flexion pure déviée	Flexion simple
		
${}_G\begin{Bmatrix} 0 & - \\ \mathbf{0} & - \\ - & \mathbf{M_z} \end{Bmatrix} \text{ ou } {}_G\begin{Bmatrix} 0 & - \\ - & \mathbf{M_y} \\ \mathbf{0} & - \end{Bmatrix}$	${}_G\begin{Bmatrix} 0 & 0 \\ 0 & M \sin \alpha \\ 0 & M \cos \alpha \end{Bmatrix}$	${}_G\begin{Bmatrix} 0 & - \\ \mathbf{T_y} & - \\ - & \mathbf{M_z} \end{Bmatrix} \text{ ou } {}_G\begin{Bmatrix} 0 & - \\ - & \mathbf{M_y} \\ \mathbf{T_z} & - \end{Bmatrix}$
<p>Flexion 4 points</p> 		<p>Flexion trois points</p> 

Exemple

WOOCCLAP

SÉANCE 1 SÉANCE 2



IMT Nord Europe
École Mines-Télécom
IMT-Université de Lille

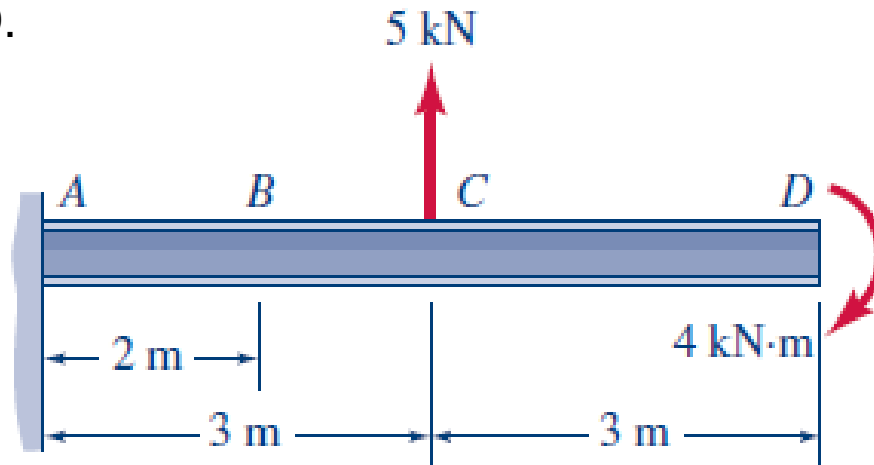
5. Équations d'équilibre en RdM

31

Application directe: Exemple 1

□ Application directe: Exemple 1

Une poutre AD de longueur L est soudée à une structure au point A. La poutre est soumise à une force de 5 kN à une distance $L/2$ du point A et à une rotation suivant son sa plus longue dimension sous l'effet du moment M de 4 kN.m appliqué à son extrémité au point D.



- 1) Déterminer les éléments de réduction au point B situé à une distance $L/3$ du point A.
- 2) Déterminer les éléments de réduction tout au long de la poutre AD.

Application directe: Exemple 1

■ Résolution:

■ Schématisation

- 1) Représentation fibre moyenne
- 2) Repère
- 3) Sens positif
- 4) Les liaisons
- 5) Les forces de réaction

- Détermination des réactions:
Application du PFS

5. Équations d'équilibre en RdM

33

Application directe: Exemple 1

- Eléments de réduction en B

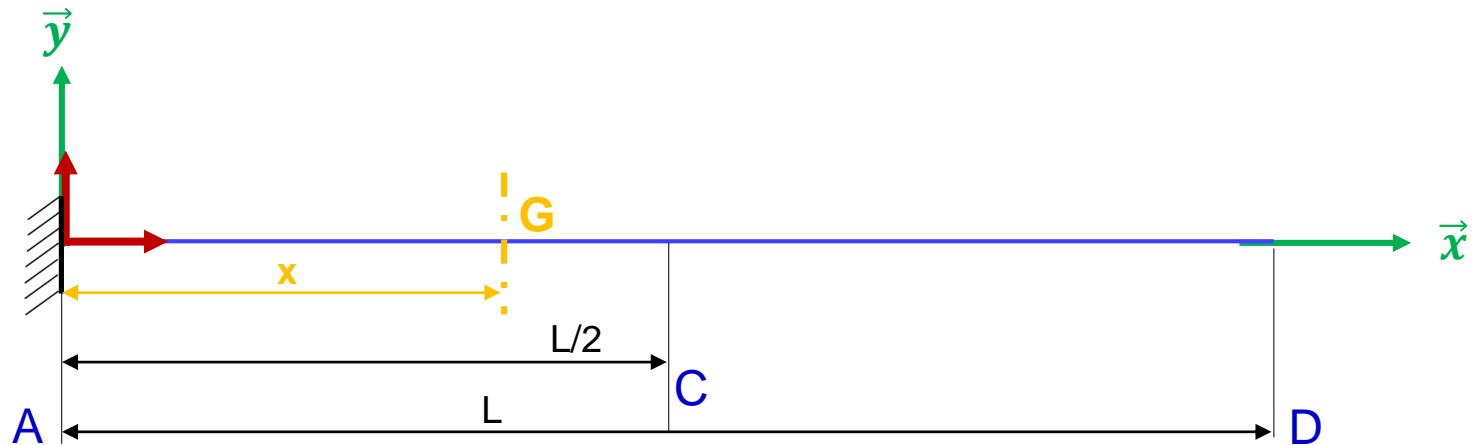


5. Équations d'équilibre en RdM

34

Application directe: Exemple 1

2) Déterminer les éléments de réduction tout au long de la poutre AD.

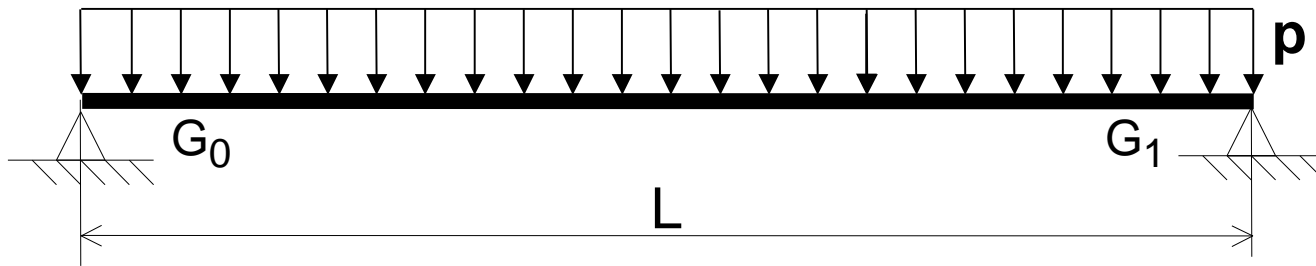


	$0 \leq x < L/2$	$L/2 \leq x < L$
N		
T_y		
M_z		

Application directe: Exemple 2

□ Application directe: Exemple 2

Une poutre droite, de longueur L et reposant sur deux appuis simples en G_0 et G_1 , est soumise à une charge uniformément répartie de taux p .

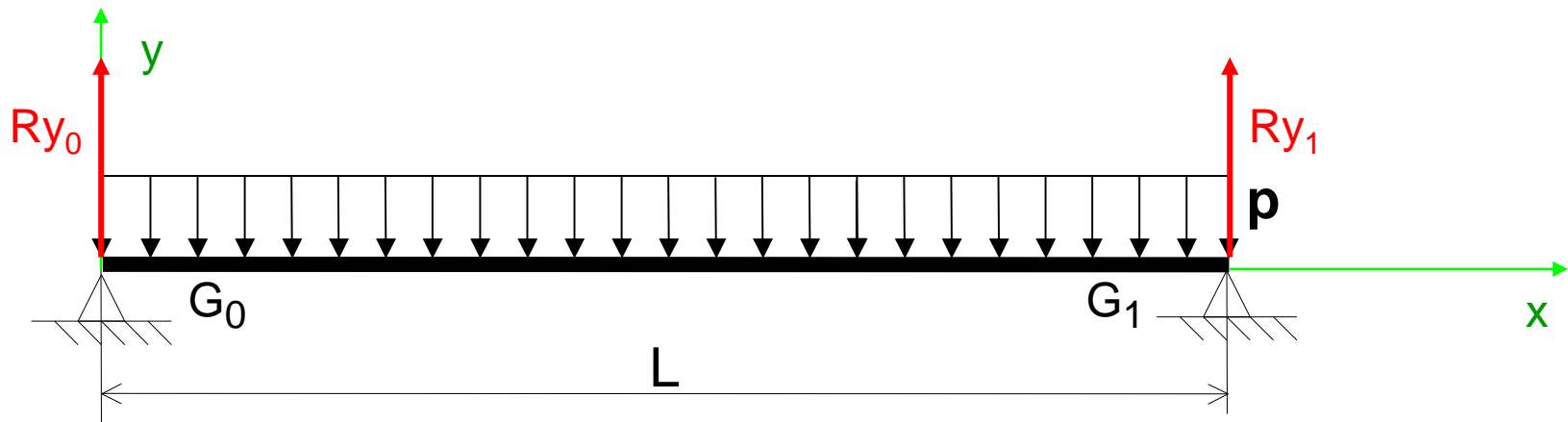


Question: Calculer les éléments de réduction.

Démarche de résolution:

1) Schématisation:

- Définir le repère de travail
- Définir le sens positif des moments
- Représentation des forces de réaction et des moments au niveau des liaisons.



5. Équations d'équilibre en RdM

37

Application directe: Exemple 2

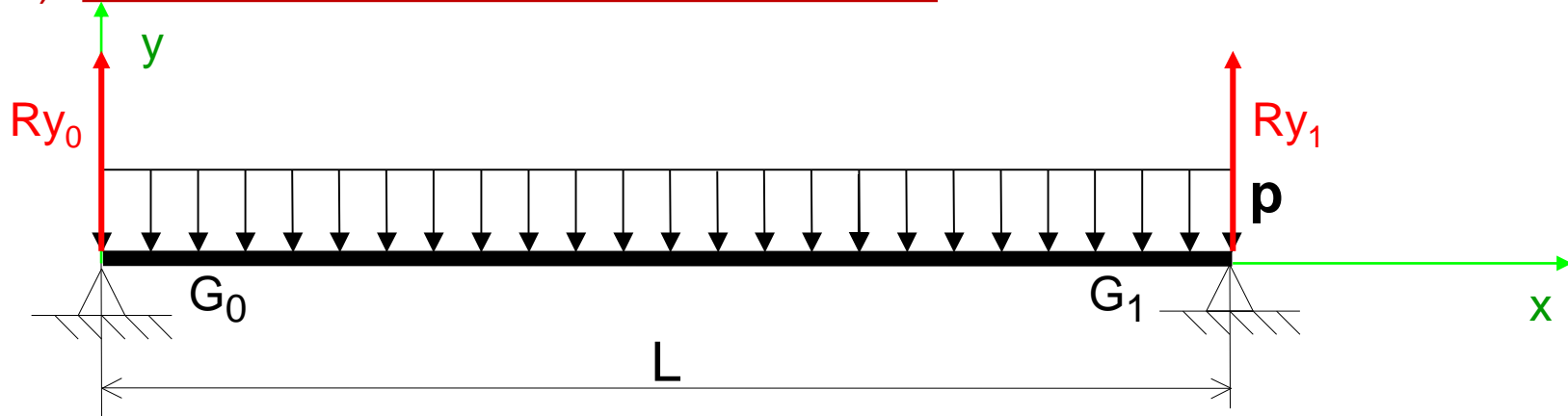
2) Résolution du problème statique:

5. Équations d'équilibre en RdM

38

Application directe: Exemple 2

2) Détermination des éléments de réduction:



5. Équations d'équilibre en RdM

39

Application directe: Exemple 2

Tracé des Diagrammes des éléments de réduction:

☐ Diagramme de l'effort tranchant:

☐ Diagramme du moment de flexion:



PARTIE 2

INTRODUCTION ET DÉMARCHE DE RÉOLUTION

ETAPE 1 :

Schématisation d'un problème de RdM

Hypothèses de la RdM

ETAPE 2 : RÉOLUTION PROBLÈME STATIQUE, DÉTERMINER LES INCONNUES LIAISON

ETAPE 3 : DIMENSIONNEMENT (ÉQUATIONS D'ÉQUILIBRE EN RdM)

A SAVOIR :

Equations d'équilibre d'une section

Propriétés des sections

6.1 Démarche générale de résolution d'un problème de RdM

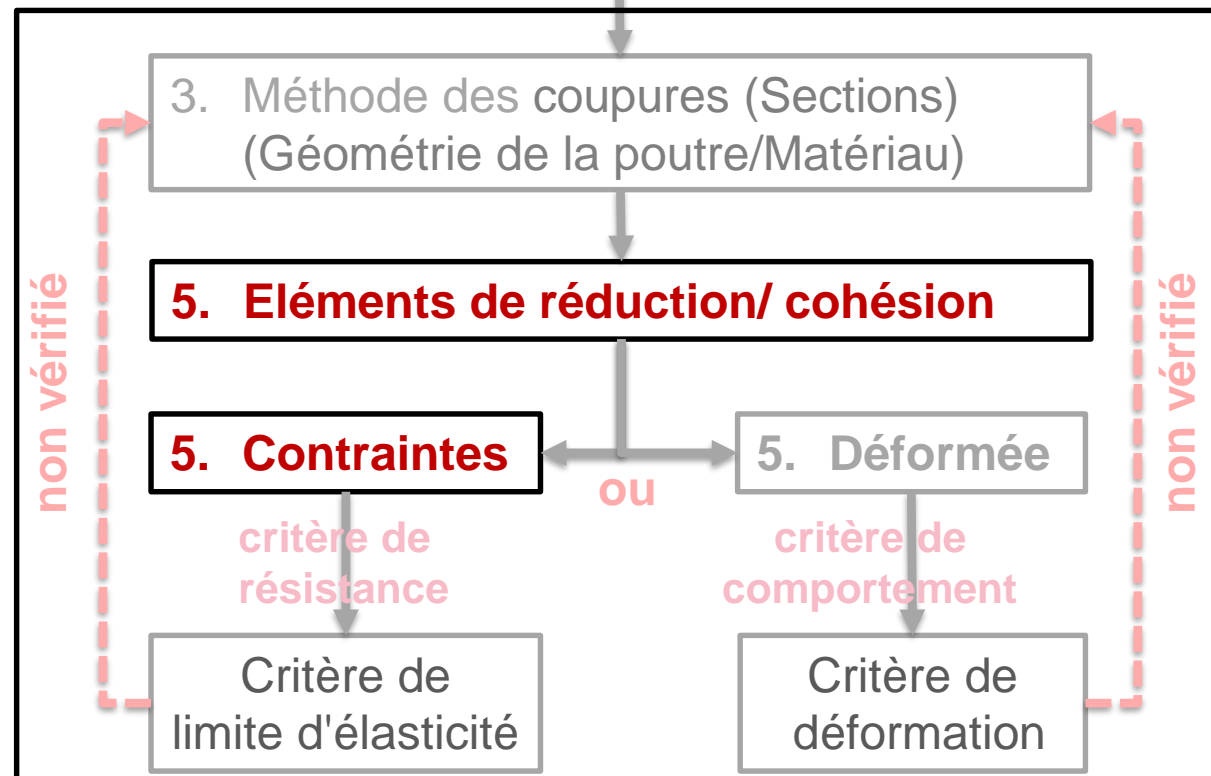
I. Schématisation

1. Composant (poutre ?)
2. Schématisation
3. Liaisons/sollicitations
4. Hypothèses de la RdM

II. Résolution du problème

- Principe fondamental de la statique (PFS)
1. Chargements actifs
 2. Réactions d'appuis (Actions passives)

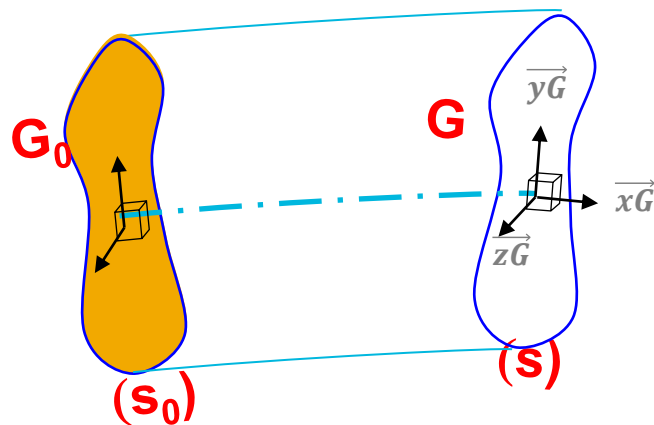
III. Dimensionnement



6.1 Étude de l'équilibre d'une section

Si une poutre est en équilibre statique, toute partie de cette poutre est en équilibre . En particulier pour tout tronçon de gauche

Ce tronçon de gauche est soumis **aux actions des forces extérieures gauches**



$${}_G\{\mathcal{T}_{ext/g}\} = \begin{cases} \overrightarrow{R}_g = N\overrightarrow{x}_G + T_y\overrightarrow{y}_G + T_z\overrightarrow{z}_G \\ \overrightarrow{M}_{G_g} = C\overrightarrow{x}_G + M_y\overrightarrow{y}_G + M_z\overrightarrow{z}_G \end{cases}$$

aux actions des forces intérieures

"actions du tronçon de droite sur le tronçon de

gauche au niveau de la section (Ω) " ${}_G\{\mathcal{T}_{d/g}\}$

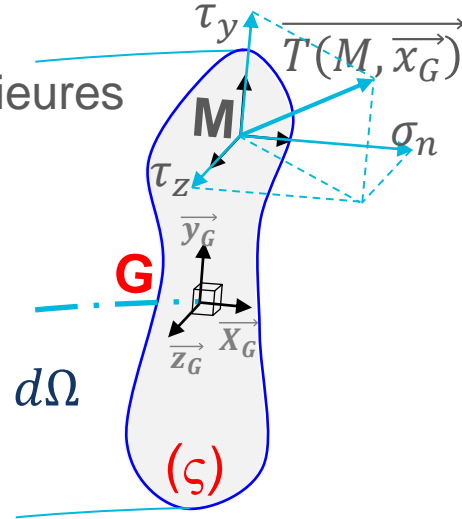
Appliquons le PFS :

$${}_G\{\mathcal{T}_{ext/g}\} + {}_G\{\mathcal{T}_{d/g}\} = \begin{pmatrix} 0 & 0 \\ 0 & 0 \\ 0 & 0 \end{pmatrix}_{(\overrightarrow{x}_G \quad \overrightarrow{y}_G \quad \overrightarrow{z}_G)}$$

6.1 Étude de l'équilibre d'une section

En chaque point M de la section (Ω) , on exprime les actions intérieures par un vecteur contrainte $\overrightarrow{T(M, \overrightarrow{x}_G)} = \sigma_n \overrightarrow{x}_G + \tau_y \overrightarrow{y}_G + \tau_z \overrightarrow{z}_G$.

$${}_G\{\mathcal{T}_{d/g}\} = \begin{cases} \iint_{(\Omega)} \overrightarrow{T(M, \overrightarrow{x}_G)} d\Omega = \iint_{(\Omega)} (\sigma_n \overrightarrow{x}_G + \tau_y \overrightarrow{y}_G + \tau_z \overrightarrow{z}_G) d\Omega \\ \iint_{(\Omega)} \overrightarrow{GM} \wedge \overrightarrow{T(M, \overrightarrow{x}_G)} d\Omega = \iint_{(\Omega)} \overrightarrow{GM} \wedge (\sigma_n \overrightarrow{x}_G + \tau_y \overrightarrow{y}_G + \tau_z \overrightarrow{z}_G) d\Omega \end{cases}$$



Application du PFS fournit 6 équations :

$${}_G\{\mathcal{T}_{ext/g}\} + {}_G\{\mathcal{T}_{d/g}\} = \begin{pmatrix} 0 & 0 \\ 0 & 0 \\ 0 & 0 \end{pmatrix}_{(\overrightarrow{x}_G \quad \overrightarrow{y}_G \quad \overrightarrow{z}_G)}$$

6.1 Étude de l'équilibre d'une section

$$\iint_{(\Omega)} \overrightarrow{GM} \wedge \overrightarrow{T(M, \overrightarrow{x_G})} d\Omega = \iint_{(\Omega)} \overrightarrow{GM} \wedge (\sigma_n \overrightarrow{x_G} + \tau_y \overrightarrow{y_G} + \tau_z \overrightarrow{z_G}) d\Omega$$

Les points G et M sont des points de la section $\Rightarrow \overrightarrow{GM} = \begin{bmatrix} 0 \\ y \\ z \end{bmatrix}_{(\overrightarrow{x_G} \quad \overrightarrow{y_G} \quad \overrightarrow{z_G})}$

$$\overrightarrow{GM} \wedge \overrightarrow{T(M, \overrightarrow{x_G})} = \begin{bmatrix} 0 \\ y \\ z \end{bmatrix} \wedge \begin{bmatrix} \sigma_n \\ \tau_y \\ \tau_z \end{bmatrix} = \begin{cases} y \cdot \tau_z - z \cdot \tau_y \\ z \cdot \sigma_n \\ -y \cdot \sigma_n \end{cases} \quad \text{avec} \quad \begin{cases} \sigma_n = \sigma_{x_G x_G} \\ \tau_y = \sigma_{y_G x_G} \\ \tau_z = \sigma_{z_G x_G} \end{cases}$$

$${}_G \{ \mathcal{T}_{ext/\mathbf{g}} \} + {}_G \{ \mathcal{T}_{\mathbf{d}/\mathbf{g}} \} = \left\{ \begin{array}{ll} N + \iint_{(\Omega)} \sigma_n d\Omega = 0 & C + \iint_{(\Omega)} y \cdot \tau_z - z \cdot \tau_y d\Omega = 0 \\ T_y + \iint_{(\Omega)} \tau_y d\Omega = 0 & M_y + \iint_{(\Omega)} z \cdot \sigma_n d\Omega = 0 \\ T_z + \iint_{(\Omega)} \tau_z d\Omega = 0 & M_z - \iint_{(\Omega)} y \cdot \sigma_n d\Omega = 0 \end{array} \right\}_{(\overrightarrow{x_G} \quad \overrightarrow{y_G} \quad \overrightarrow{z_G})}$$

6.1 Étude de l'équilibre d'une section

$${}_G\{\mathcal{T}_{ext/g}\} + {}_G\{\mathcal{T}_{d/g}\} = \left\{ \begin{array}{ll} N + \iint_{(\Omega)} \sigma_n d\Omega = 0 & C + \iint_{(\Omega)} y \cdot \tau_z - z \cdot \tau_y d\Omega = 0 \\ T_y + \iint_{(\Omega)} \tau_y d\Omega = 0 & M_y + \iint_{(\Omega)} z \cdot \sigma_n d\Omega = 0 \\ T_z + \iint_{(\Omega)} \tau_z d\Omega = 0 & M_z - \iint_{(\Omega)} y \cdot \sigma_n d\Omega = 0 \end{array} \right\}_{(\vec{x}_G \quad \vec{y}_G \quad \vec{z}_G)}$$

De ces équations, **pour chaque sollicitation simple peuvent être extraites des grandeurs intrinsèques aux sections** qui ne dépendent que de leur géométrie : **les moments quadratiques**

Ces moments quadratiques, peuvent donc être calculés de façon indépendante, elles sont des propriétés géométriques des surfaces

On peut les assimiler à une aptitude de la section à résister à la sollicitation

PARTIE 2

INTRODUCTION ET DÉMARCHE DE RÉOLUTION

ETAPE 1 :

Schématisation d'un problème de RdM

Hypothèses de la RdM

ETAPE 2 : RÉOLUTION PROBLÈME STATIQUE, DÉTERMINER LES INCONNUES LIAISON

ETAPE 3 : DIMENSIONNEMENT (ÉQUATIONS D'ÉQUILIBRE EN RdM)

A SAVOIR :

Equations d'équilibre d'une section

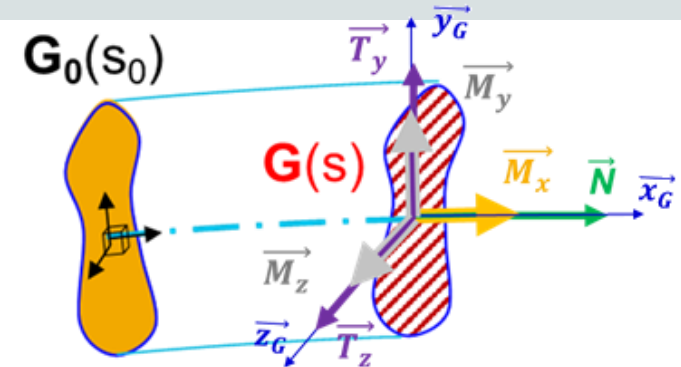
Propriétés des sections

5. Équations d'équilibre en RdM

48

5.6 Torseur des éléments de réduction/ sollicitations simples

$$\underset{G}{\{\mathcal{T}_{ext/g}\}} = \underset{G}{\left\{ \begin{array}{c} \overrightarrow{F_{ext}} \\ \overrightarrow{M_{ext}} \end{array} \right\}} = \underset{G}{\left\{ \begin{array}{cc} N & M_x \\ T_y & M_y \\ T_z & M_z \end{array} \right\}} (\overrightarrow{x_G}; \overrightarrow{y_G}; \overrightarrow{z_G})$$



- Selon les valeurs prises par la résultante et le moment du torseur des éléments de réduction, on identifie les différentes sollicitations simples auxquelles les poutres sont soumises.

Éléments
de réduction

N	T _y ou T _z	M _x	M _y ou M _z	Identification de la sollicitation
≠0	=0	=0	=0	N<0 Traction N>0 Compression
=0	≠0	=0	=0	Cisaillement simple
=0	=0	≠0	=0	Torsion pure
=0	=0	=0	≠0	Flexion pure
=0	≠0 =0 =0 ≠0	=0	=0 ≠0 ≠0 =0	Flexion simple

7.1 Moment quadratique d'une section

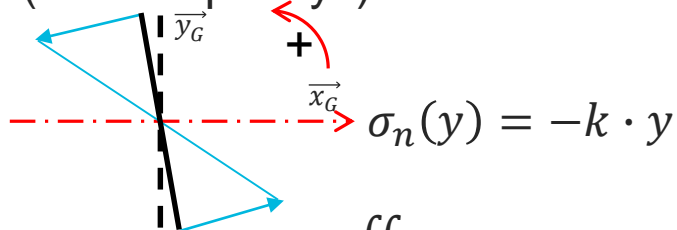
Cas de la flexion simple (ou pure) :

$$\begin{aligned}
 {}_G\{\mathcal{T}_{ext}/\mathbf{g}\} + {}_G\{\mathcal{T}_{\text{Fint} \rightarrow (\Omega)}\} = & \begin{cases} 0 \\ T_y + \iint_{(\Omega)} \tau_y d\Omega = 0 \\ 0 \\ 0 \\ M_z - \iint_{(\Omega)} y \cdot \sigma_n d\Omega = 0 \end{cases} \quad \left. \begin{array}{l} \text{(ex: moment} \\ \text{de flexion } M_z \\ \text{autour de l'axe} \\ \text{z)} \end{array} \right\} \\
 \begin{array}{cc} \text{(Elts} & \text{(Efforts} \\ \text{Réduction):} & \text{intérieurs):} \end{array} & \quad \quad \quad \begin{array}{c} \overrightarrow{x_G} \quad \overrightarrow{y_G} \quad \overrightarrow{z_G} \end{array}
 \end{aligned}$$

Hypothèse 9 : Hypothèse Barré de Saint Venant (flexion)

La contrainte normale en tout point M d'une section droite d'une poutre fléchie en flexion simple, est **proportionnelle à la distance qui sépare le point M de l'axe neutre**, axe qui passe par le centre d'inertie de la section.

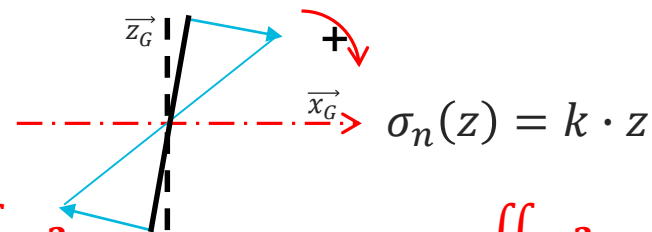
(dans le plan yz): axe de flexion z



$$M_z = \iint_{(\Omega)} y \cdot (-ky) d\Omega = -k \iint_{(\Omega)} y^2 d\Omega$$

Moment quadratique $I_{Gz} = \iint_{(\Omega)} y^2 d\Omega$

(dans le plan yz): axe de flexion y



$$M_y = -k \iint_{(\Omega)} z^2 d\Omega$$

$I_{Gy} = \iint_{(\Omega)} z^2 d\Omega$

7.2 Moment polaire d'une section

Cas de la torsion pure (cas des poutres cylindriques) :

$$\underset{\substack{\text{(Elts} \\ \text{Réduction):}}}{G} \{ \mathcal{T}_{ext/g} \} + \underset{\substack{\text{(Efforts} \\ \text{intérieurs):}}}{G} \{ \mathcal{T}_{\text{fint} \rightarrow (\Omega)} \} = \left\{ \begin{array}{ccc} 0 & M_x + \iint_{(\Omega)} y \cdot \tau_z - z \cdot \tau_y d\Omega = 0 & \\ 0 & 0 & \\ 0 & 0 & \end{array} \right\}_{\substack{(\vec{x}_G \quad \vec{y}_G \quad \vec{z}_G)}}$$

Hypothèse 7 : Hypothèse de Navier Bernouilli

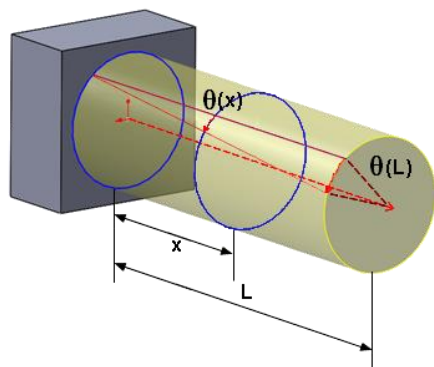
Toute **section plane avant déformation** se transforme en une **section plane après déformation**. Toutes les **sections** (Ω) qui constituent la poutre **restent perpendiculaires à la fibre moyenne après déformation**.

$$M_x + \iint_{(\Omega)} y \cdot \tau_z - z \cdot \tau_y d\Omega = 0$$

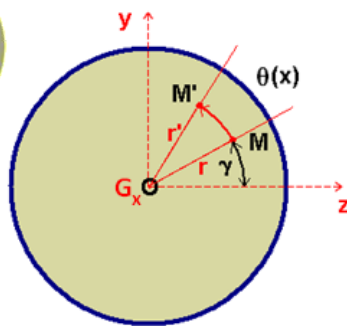
$$M_x + \iint_{(\Omega)} r \cdot \tau_r d\Omega = 0$$

$$M_x = -k \iint_{(\Omega)} r^2 d\Omega = -k \iint_{(\Omega)} y^2 + z^2 d\Omega$$

$$I_G = \iint_{(\Omega)} r^2 d\Omega = I_{Gz} + I_{Gy} \quad I_G \text{ Moment polaire d'inertie}$$



$$\tau_r(r) = k \cdot r$$

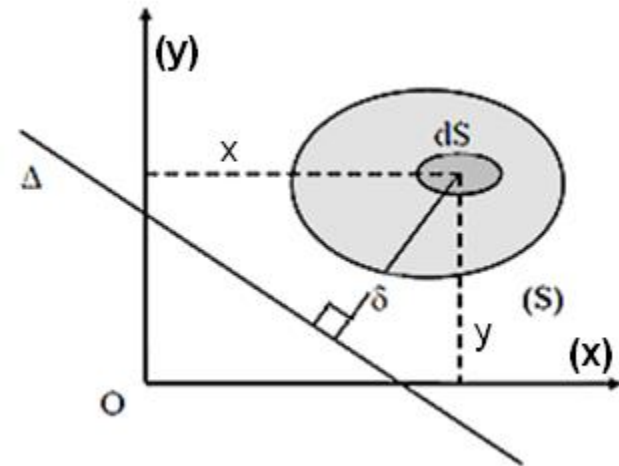


Section : abscisse x
tourne autour de G

7.3 Moment quadratique d'une section

Généralisation

Soit la section (S) et un axe Δ représentés dans un repère (O, \vec{x}, \vec{y})



On appelle **moment quadratique** (d'inertie) d'une section (S) par rapport l'axe Δ la quantité notée $I_{\Delta}(S)$ définie par :

$$I_{\Delta}(S) = \iint_{(S)} \delta^2 dS \quad I_{\Delta}(S) > 0$$

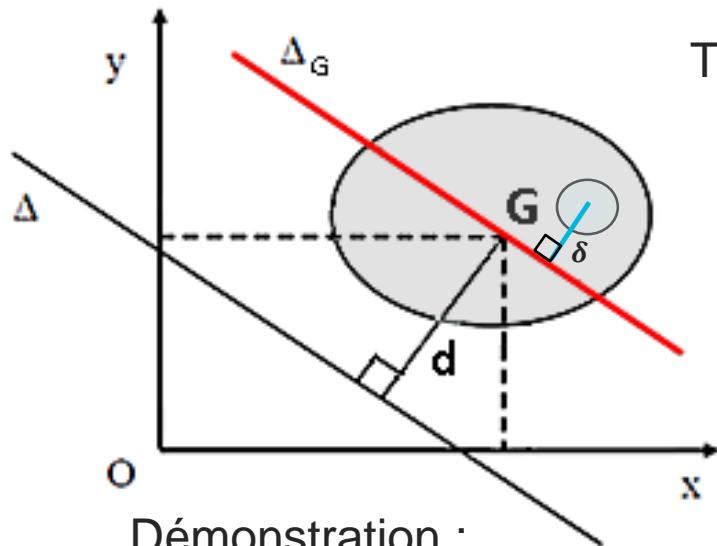
Quelques propriétés :

l'axe Δ confondu avec (O, \vec{x}) alors $\delta = y$ et : $I_{Ox}(S) = \iint_{(S)} y^2 dS$

l'axe Δ confondu avec (O, \vec{y}) alors $\delta = x$ et : $I_{Oy}(S) = \iint_{(S)} x^2 dS$

7.3 Moment quadratique d'une section

Généralisation



Théorème de Huygens :

l'axe Δ_G passe par le centre de gravité G de (S)
l'axe Δ est parallèle à Δ_G distant de d

$$I_{\Delta}(S) = I_{\Delta_G}(S) + d^2 S$$

$$\text{Rq : } I_{\Delta}(S) > I_{\Delta_G}(S)$$

Démonstration :

$$I_{\Delta}(S) = \iint_{(S)} (d + \delta)^2 dS = \iint_{(S)} (d^2 + \delta^2 + 2d\delta) dS$$

$$I_{\Delta}(S) = d^2 S + \underbrace{\iint_{(S)} \delta^2 dS}_{I_{\Delta_G}(S)} + 2d \cancel{\iint_{(S)} \delta dS}$$

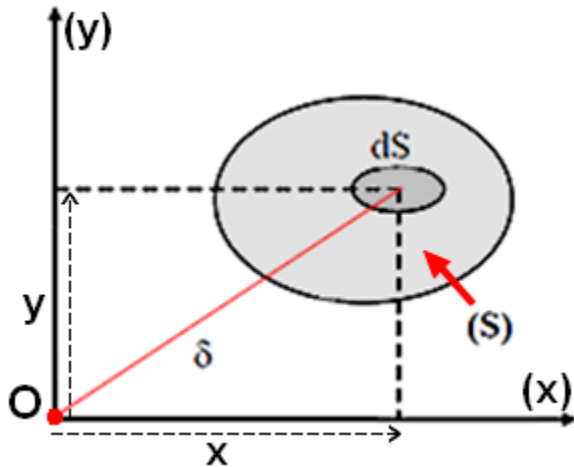
Moment statique de (S) par rapport à $\Delta_G = 0$

7.6 Moment polaire d'une section

Soit la section (S) et un point O représentés dans un repère (O, \vec{x}, \vec{y})

On appelle **moment polaire quadratique** (d'inertie) d'une section (S) par rapport à un point O la quantité notée $I_O(S)$ définie par :

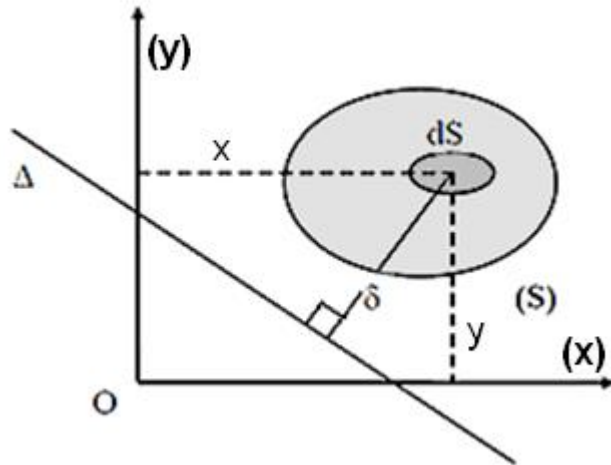
$$I_O(S) = \iint_{(S)} \delta^2 dS$$



Quelques propriétés :

$$I_O(S) = I_{Ox}(S) + I_{Oy}(S) = \iint_{(S)} (x^2 + y^2) dS$$

7.7 Moment statique d'une section



On appelle moment statique de l'aire (S) par rapport à l'axe Δ la quantité notée $m_{\Delta}(S)$ définie par :

$$m_{\Delta}(S) = \iint_{(S)} \delta \, dS$$

Quelques propriétés :

l'axe Δ passe par l'origine du repère (O, \vec{x}, \vec{y}) $m_{\Delta}(S) = \iint_{(S)} \delta \, dS = \overline{OG} \cdot S$

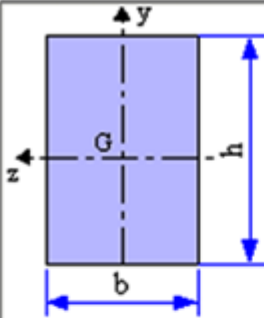
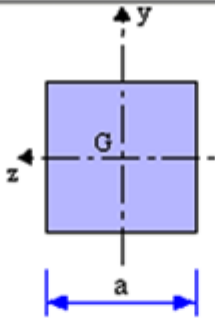
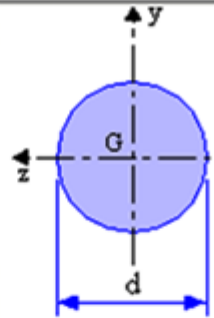
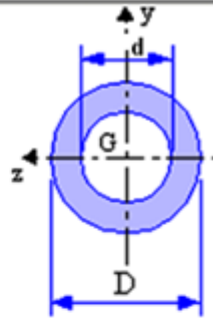
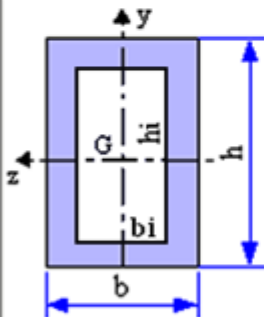
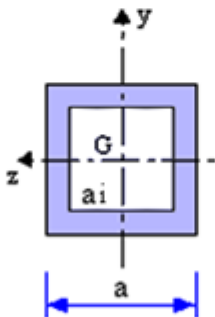
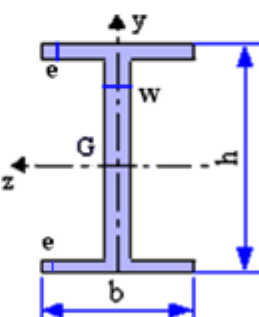
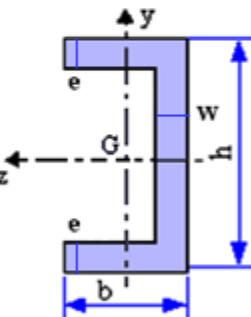
l'axe Δ confondu avec (O, \vec{x}) alors $\delta = y$ et : $m_{\Delta}(S) = \iint_{(S)} y \, dS = y_G \cdot S$


l'axe Δ confondu avec (O, \vec{y}) alors $\delta = x$ et : $m_{\Delta}(S) = \iint_{(S)} x \, dS = x_G \cdot S$

Si l'axe Δ passe par le centre de gravité de la section $m_{\Delta}(S) = 0$

7.8 Moments quadratiques de sections simples

Quelques exemples :
Sections présentant
des symétries

Surface				
	IG_Z (mm ⁴)	$\frac{bh^3}{12}$	$\frac{a^4}{12}$	$\frac{\pi d^4}{64}$
I_G (mm ⁴)	$\frac{bh^3+hb^3}{12}$	$\frac{a^4}{6}$	$\frac{\pi d^4}{32}$	$\frac{\pi (D^4-d^4)}{32}$
Surface				
	IG_Z (mm ⁴)	$\frac{bh^3-b_ih_i^3}{12}$	$\frac{a^4-a_i^4}{12}$	IG_Z (mm ⁴)
I_G (mm ⁴)	$\frac{bh^3+hb^3}{12}-\frac{b_ih_i^3+h_ib_i^3}{12}$	$\frac{a^4-a_i^4}{6}$	IG_Y (mm ⁴)	$\frac{2eb^3-(h-2e)w^3}{12}$



IMT Nord Europe
École Mines-Télécom
IMT-Université de Lille

Intervenant
Dr. A. AYADI

**Résistance
des Matériaux
(RdM)**

Partie 3

Partie 3: Sollicitations simples

- Traction / compression
- Cisaillement pur

Séance 4
01/03/2023

PARTIE 3

1 LA TRACTION / COMPRESSION

2 LE CISAILLEMENT PUR

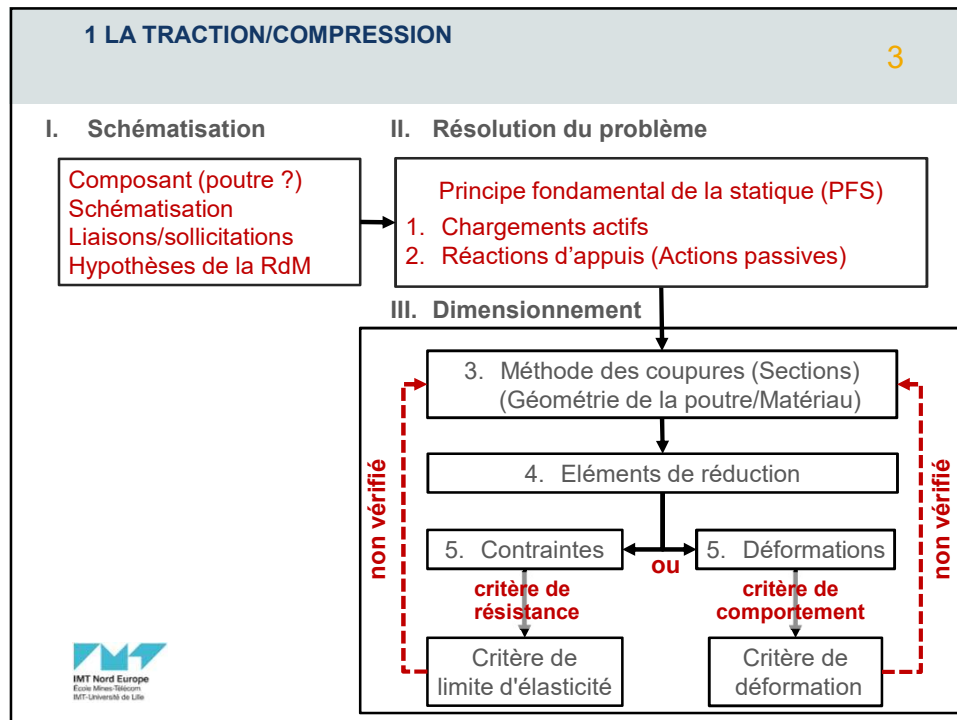
3 LA TORSION

4 LA FLEXION

- La flexion pure
- La flexion simple



IMT Nord Europe
École Mines-Télécom
IMT-Université de Lille



1 LA TRACTION/COMPRESSION 4

1.1 Rappel: Sollicitations simples (Centre d'une section)

- Expression générale d'un torseur des éléments de réduction:

$$\left\{ \mathcal{T}_{F_{ext}/g} \right\}_G = \left\{ \begin{matrix} \overrightarrow{F_{ext}} \\ \overrightarrow{M_{ext}} \end{matrix} \right\}_G = \begin{pmatrix} N & M_x \\ T_y & M_y \\ T_z & M_z \end{pmatrix}_{(x_G; y_G; z_G)}$$

Repère local (au point G)

Expression du torseur dépend de la position de la coupe fictive
- Selon les valeurs de la **résultante** $\overrightarrow{F_{ext}}$ et du **moment** $\overrightarrow{M_{ext}}$ du torseur des éléments de réduction $\left\{ \mathcal{T}_{F_{ext}/g} \right\}_G$, on identifie **les sollicitations simples** auxquelles les poutres sont soumises:

Éléments de réduction

Dans le cadre de ce cours, on traite principalement des problèmes plans (2D)

N	T_y ou T_z	M_x	M_y ou M_z
$\neq 0$	$= 0$	$= 0$	$= 0$
$= 0$	$\neq 0$	$= 0$	$= 0$
$= 0$	$= 0$	$\neq 0$	$= 0$
$= 0$	$= 0$	$= 0$	$\neq 0$
$= 0$	$\neq 0$	$= 0$	$\neq 0$

Sollicitations


$N < 0$ Traction
 $N > 0$ Compression

Cisaillement simple

Torsion pure

Flexion pure

Flexion simple



1 LA TRACTION/COMPRESSION

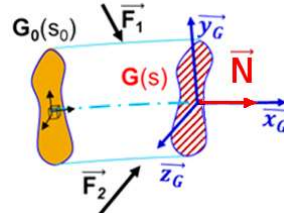
5

1.1 Rappel: Torseur des Elements de réduction (centre d'une section)

1. Torseur des éléments de réduction

Caractérisation de la traction pure

$$_G\{\mathcal{T}_{ext/g}\} = \begin{Bmatrix} N & 0 \\ 0 & 0 \\ 0 & 0 \end{Bmatrix}_{(\vec{x}_G, \vec{y}_G, \vec{z}_G)}$$


 $(\vec{x}_G, \vec{y}_G, \vec{z}_G)$ repère local de la section de la poutre

N	T _y ou T _z	M _x	M _z	Identification de la sollicitation
≠0	=0	=0	=0	N<0 Traction N>0 Compression

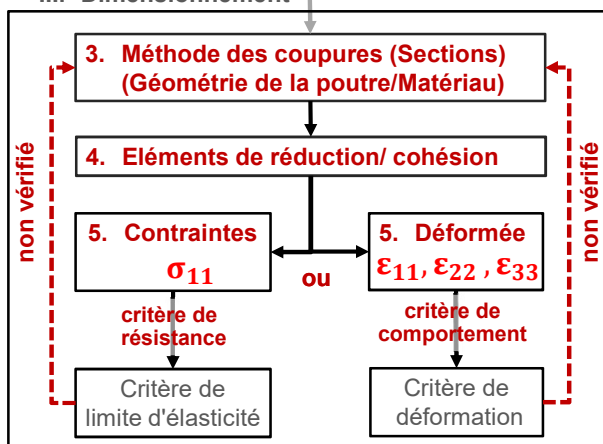
1 LA TRACTION/COMPRESSION

6

1.1 Rappel : contraintes / déformations (point matériel d'une section)

2. Démarche générale de résolution d'un problème de RdM

III. Dimensionnement



Traction simple

$$_G\{\mathcal{T}_{ext/g}\} = \begin{Bmatrix} N & 0 \\ 0 & 0 \\ 0 & 0 \end{Bmatrix}_{(\vec{x}_G, \vec{y}_G, \vec{z}_G)}$$

$$\begin{bmatrix} \sigma_{11} & 0 & 0 \\ 0 & 0 & 0 \\ 0 & 0 & 0 \end{bmatrix}_{(\vec{e}_1, \vec{e}_2, \vec{e}_3)}$$

Loi de Hooke généralisée

$$\varepsilon_{ij} = \frac{(1+\nu)\sigma_{ij}}{E} - \nu \frac{\sigma_{11} + \sigma_{22} + \sigma_{33}}{E}$$

$$\begin{bmatrix} \varepsilon_{11} & 0 & 0 \\ 0 & \varepsilon_{22} & 0 \\ 0 & 0 & \varepsilon_{33} \end{bmatrix}_{(\vec{e}_1, \vec{e}_2, \vec{e}_3)}$$

1 LA TRACTION/COMPRESSION

1.1 Rappel: Equilibre d'une section (Relations entre efforts externes au centre d'une section et états de contraintes à un point quelconque de la section)

3. Équations d'équilibre dans le cas de la traction pure

Composantes du tenseur des éléments de réduction

N	T_y ou T_z	M_x	M_z	Identification de la sollicitation
≠0	=0	=0	=0	N<0 Traction N>0 Compression

Expression des équations d'équilibre de la section coupée

$$\left. \begin{array}{l} \{ \mathcal{T}_{Fex/g} \} + \{ \mathcal{T}_{Fint \rightarrow (\Omega)} \} \\ \{ \mathcal{T}_{Fext/g} \} + \{ \mathcal{T}_{d \rightarrow g} \} \end{array} \right\} = \left\{ \begin{array}{ll} N + \iint_{(\Omega)} \sigma_n d\Omega = 0 & \iint_{(\Omega)} y \cdot \tau_z - z \cdot \tau_y d\Omega = 0 \\ \iint_{(\Omega)} \tau_y d\Omega = 0 & \iint_{(\Omega)} z \cdot \sigma_n d\Omega = 0 \\ \iint_{(\Omega)} \tau_z d\Omega = 0 & \iint_{(\Omega)} y \cdot \sigma_n d\Omega = 0 \end{array} \right\}$$

$(\vec{x}_G \quad \vec{y}_G \quad \vec{z}_G)$

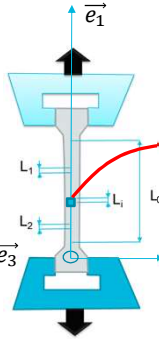


1 LA TRACTION/COMPRESSION

8

1.2 Traction simple

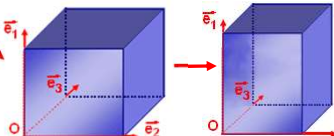
Lors de l'effort de traction uni-axial (selon direction \vec{e}_1), on vérifie :



$$\begin{bmatrix} \sigma_{11} & 0 & 0 \\ 0 & 0 & 0 \\ 0 & 0 & 0 \end{bmatrix}_{(\vec{e}_1, \vec{e}_2, \vec{e}_3)}$$

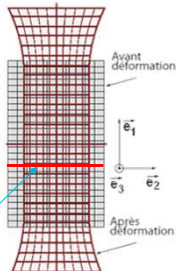
Loi de Hooke généralisée

$$\varepsilon_{ij} = \frac{(1+\nu)\sigma_{ij}}{E} - \nu \frac{\sigma_{11} + \sigma_{22} + \sigma_{33}}{E}$$



$$\begin{bmatrix} \varepsilon_{11} & 0 & 0 \\ 0 & \varepsilon_{22} & 0 \\ 0 & 0 & \varepsilon_{33} \end{bmatrix}_{(\vec{e}_1, \vec{e}_2, \vec{e}_3)}$$

$$\frac{\Delta L_1}{L_1} = \frac{\Delta L_2}{L_2} = \frac{\Delta L_i}{L_i} = \lim_{L_i \rightarrow \infty} \frac{\Delta L_i}{L_i} = \varepsilon_{11}$$



Dans la zone d'intérêt L_0 , en tout point M,

la transformation est homogène, les sections de la poutre restent planes donc **σ_{11} est constante**



1 LA TRACTION/COMPRESSION

9

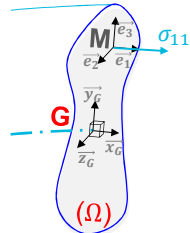
1.3 Relation contrainte / déformation

Equations d'équilibre (traction **uni-axiale**)Relation de la résultante du torseur d'équilibre : \vec{e}_1

$$\begin{bmatrix} \sigma_{11} & 0 & 0 \\ 0 & 0 & 0 \\ 0 & 0 & 0 \end{bmatrix}_{(\vec{e}_1, \vec{e}_2, \vec{e}_3)}$$

$$N + \iint_{(\Omega)} \sigma_{11} d\Omega = 0 \implies N + \sigma_{11} \iint_{(\Omega)} d\Omega = 0$$

$$\sigma_{11} = \frac{-N}{S} = \frac{F}{S}$$

Relation de moment du torseur d'équilibre résolu en G : \vec{e}_3 

Section reste plane
($\vec{e}_1, \vec{e}_2, \vec{e}_3$) et ($\vec{x}_G, \vec{y}_G, \vec{z}_G$)
sont identiques

$$\iint_{(\Omega)} \vec{GM} \wedge (\sigma_{11} \vec{e}_1) d\Omega = \begin{cases} \iint_{(\Omega)} z \cdot \sigma_{11} d\Omega = \sigma_{11} \iint_{(\Omega)} z d\Omega = 0 \\ \iint_{(\Omega)} y \cdot \sigma_{11} d\Omega = \sigma_{11} \iint_{(\Omega)} y d\Omega = 0 \end{cases}$$

Moments
statiques/G
nuls

Loi de Hooke uni-axiale

$$\sigma_{11} = E \varepsilon_{11}$$

Bilan traction
uni-axiale

$$\begin{cases} \sigma_{11} = \frac{F}{S} \\ \sigma_{11} = E \varepsilon_{11} \\ \varepsilon_{22} = \varepsilon_{33} = -\nu \varepsilon_{11} \end{cases}$$

Avec :

E : module d'Young du matériau (ou module d'élasticité longitudinale)

ν : coefficient de Poisson du matériau

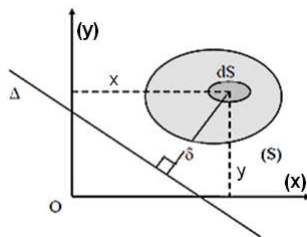
N : effort normal (N=F)



7. PROPRIÉTÉS DES SECTIONS (RAPPEL)

10

7.7 Moment statique d'une section (Rappel complément de cours séance 3)



On appelle moment statique de l'aire (S) par rapport à l'axe Δ la quantité notée $m_{\Delta}(S)$ définie par :

$$m_{\Delta}(S) = \iint_{(S)} \delta dS$$

Moments
statiques/G
nuls

Quelques propriétés :

l'axe Δ passe par l'origine du repère (O, \vec{x}, \vec{y}) $m_{\Delta}(S) = \iint_{(S)} \delta dS = \overline{OG} \cdot S$

l'axe Δ confondu avec (O, \vec{x}) alors $\delta = y$ et : $m_{\Delta}(S) = \iint_{(S)} y dS = y_G \cdot S$

l'axe Δ confondu avec (O, \vec{y}) alors $\delta = x$ et : $m_{\Delta}(S) = \iint_{(S)} x dS = x_G \cdot S$



Si l'axe Δ passe par le centre de gravité de la section

$$m_{\Delta}(S) = 0$$

1 LA TRACTION/COMPRESSION

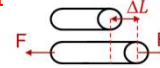
11

1.4 Relation: déformation (ε_{11}) / allongement (ΔL)1. Cas de transformation homogène ε_{11} est constant

$$\begin{bmatrix} \varepsilon_{11} & 0 & 0 \\ 0 & \varepsilon_{22} & 0 \\ 0 & 0 & \varepsilon_{33} \end{bmatrix}_{(\vec{e}_1, \vec{e}_2, \vec{e}_3)}$$

la transformation est homogène
tout au long de la poutre

$$\varepsilon_{11} = \frac{\Delta L}{L_0} \Rightarrow \Delta L = \varepsilon_{11} \cdot L_0$$



2. Cas de la transformation hétérogène:

Exemple 1: Poutre conique de Longueur initiale L_0 **Objectif 1:** Déterminer l'allongement ΔL de la poutre et le déplacement u ?

ε_{11} varie en fonction de l'abscisse x le long de la poutre (section variable). On isole un tronçon de longueur dx , situé entre les sections d'abscisse x et $x+dx$. Soit $u(x)$ le déplacement de la section d'abscisse x lors de la transformation

$$u(x+dx) = u(x) + du(x)$$

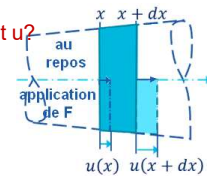
$$\Rightarrow \varepsilon_{11}(x) = \frac{u(x+dx) - u(x)}{dx}$$

$$\Rightarrow \varepsilon_{11}(x) = \frac{du(x)}{dx} = \frac{du}{dx}$$



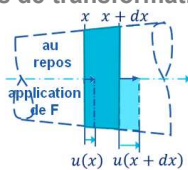
$$\Rightarrow \varepsilon_{11}(x)dx = du$$

$$\Rightarrow \int_0^{L_0} \varepsilon_{11}(x)dx = \int_0^{L_0} du = u(L_0) - u(0) = \Delta L$$



1 LA TRACTION/COMPRESSION

12

1.4 Relation: déformation (ε_{11}) / allongement (ΔL)Cas de transformation hétérogène: Exemple 1: Poutre conique de Longueur initiale L_0 **Objectif 2:** Déterminer l'allongement ΔL de la poutre sous l'action de F ?

Loi de Hooke uni-axiale

$$\left\{ \begin{array}{l} \sigma_{11}(x) = \frac{F}{S(x)} \\ \sigma_{11} = E\varepsilon_{11} \\ \varepsilon_{22} = \varepsilon_{33} = -\nu\varepsilon_{11} \end{array} \right\} \Rightarrow \varepsilon_{11}(x) = \frac{F}{E \cdot S(x)}$$

$$\varepsilon_{11}(x)dx = du \Leftrightarrow \frac{F}{E \cdot S(x)}dx = du \Rightarrow \Delta L = \int_0^{L_0} du = \int_0^{L_0} \varepsilon_{11}(x)dx$$

$$\Rightarrow \Delta L = \int_0^{L_0} \frac{F}{E \cdot S(x)}dx = \frac{F}{E} \int_0^{L_0} \frac{1}{S(x)}dx = \frac{F}{\pi \cdot E} \int_0^{L_0} \frac{1}{r(x)^2}dx$$

$$r(x) = r_0 + x \frac{r_{L_0} - r_0}{L_0} \Rightarrow \Delta L = \frac{F}{\pi \cdot E} \int_0^{L_0} \frac{L_0^2}{(L_0 r_0 + x(r_{L_0} - r_0))^2}dx$$

Changement de variable:

$$\begin{aligned} y(x) &= L_0 \cdot r(x) \\ y(x) &= L_0 r_0 + x(r_{L_0} - r_0) \\ dy &= (r_{L_0} - r_0)dx \end{aligned}$$

$$\Rightarrow \Delta L = \frac{F \cdot L_0^2}{\pi \cdot E} \int_{L_0 r_0}^{L_0 r_{L_0}} \frac{1}{y^2 (r_{L_0} - r_0)} dy = \frac{F \cdot L_0^2}{\pi \cdot E (r_{L_0} - r_0)} \left[-\frac{1}{y} \right]_{L_0 r_0}^{L_0 r_{L_0}}$$

$$\Rightarrow \Delta L = \frac{F \cdot L_0}{\pi \cdot E (r_{L_0} \cdot r_0)}$$

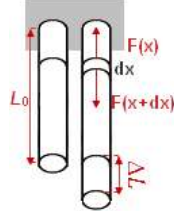
IMT Nord Europe
Ecole Mines Télécom
IMT-Université de Lille

1 LA TRACTION/COMPRESSION

13

1.4 Relation déformation/allongement

Cas de transformation hétérogène : Exemple 2 *poutre de section constante*
Longueur initiale L_0 *charge variable*



Déterminer l'allongement ΔL de la poutre sous l'action de son poids propre ?

Loi de Hooke uni-axiale

$$\left\{ \begin{array}{l} \sigma_{11}(x) = \frac{F(x)}{S} \\ \sigma_{11} = E \varepsilon_{11} \\ \varepsilon_{22} = \varepsilon_{33} = -\nu \varepsilon_{11} \end{array} \right\} \Rightarrow \varepsilon_{11}(x) = \frac{F(x)}{E \cdot S}$$

$$\varepsilon_{11}(x) dx = du \Leftrightarrow \frac{F(x)}{E \cdot S} dx = du \Rightarrow \Delta L = \int_0^{L_0} du = \int_0^{L_0} \varepsilon_{11}(x) dx$$

$$\Rightarrow \Delta L = \int_0^{L_0} \frac{F(x)}{E \cdot S} dx = \frac{1}{ES} \int_0^{L_0} F(x) dx \quad F(x) = \rho g S (L_0 - x)$$

$$\Rightarrow \Delta L = \frac{\rho g S}{ES} \int_0^{L_0} (L_0 - x) dx = \frac{\rho g}{E} \int_0^{L_0} (L_0 - x) dx = \frac{\rho g}{E} \left[L_0 x - \frac{x^2}{2} \right]_0^{L_0}$$

$$\Delta L = \frac{\rho g}{E} \cdot \frac{L_0^2}{2} = \frac{\rho g S L_0}{SE} \cdot \frac{L_0}{2} = \frac{\text{Poids poutre}}{SE} \cdot \frac{L_0}{2} \Rightarrow \Delta L = \frac{\text{Poids poutre}}{SE} \cdot \frac{L_0}{2}$$



1 LA TRACTION/COMPRESSION

14

1.5 Dimensionnement

Critère de dimensionnement

Pour le dimensionner la poutre on peut utiliser deux types de critères :

- un critère en contrainte
- un critère en déplacement

➤ Critère de résistance

Critère de
limite d'élasticité

$$\sigma_{11} < \sigma_u = \frac{R_p}{s}$$

avec $S = S_m \cdot S_e \cdot S_f > 1$

➤ Critère de comportement

Critère de
déformation

Le déplacement en un point P de la poutre ne doit pas excéder une valeur maximale

$$u(P) < \frac{u_{lim}}{s'}$$

avec $s' > 1$



1 LA TRACTION/COMPRESSION

12

1.6 Concentration de contraintes en traction simple

Phénomène de concentration de contraintes

Variation importante de Section :

On observe sous chargement constant, un phénomène de concentration de contraintes au voisinage des discontinuités géométriques.

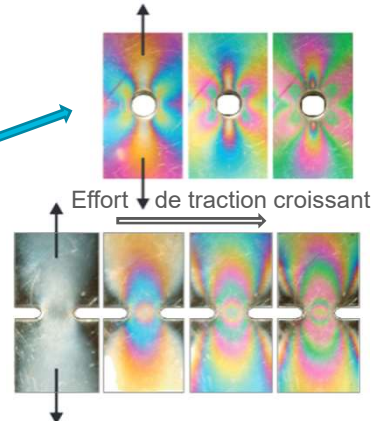
Ex : *entaille/perçage photoélasticité*

Effort de traction croissant



perçage

entaille



4.1 LA TRACTION/COMPRESSION

17

4.1.8 Concentration de contraintes en traction simple

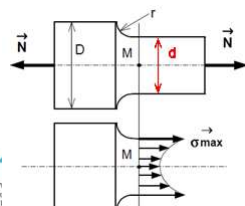
Dimensionnement :

On détermine à partir d'abaques, un coefficient de concentration de contrainte K_t (Il dépend de la perturbation géométrique et du type de sollicitation)

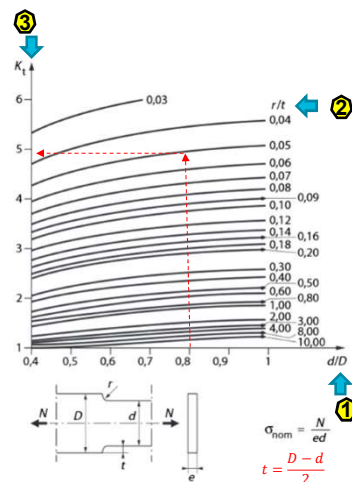
On détermine $\sigma_{nom} = \frac{-N}{S}$ avec **S** la plus petite section

On vérifie $K_t \sigma_{nom} \leq \sigma_u$

□ Exemple : Concentration de contraintes (coude / entaille)



$$S = \frac{\pi d^2}{4}$$



1 LA TRACTION/COMPRESSION

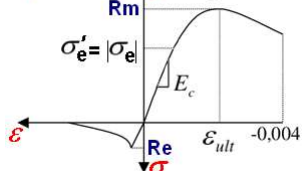
18

1.7 La compression simple

Compression uni axiale

Les résultats établis pour la traction sont transposables à la compression simple

+ Traction - Compression



dans le cas d'un essai de compression la courbe peut être **représentée inversée** / celle d'un essai de traction (cas de la figure)

Sous certaines conditions :

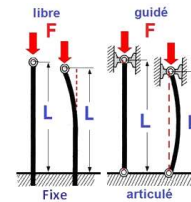
➤ adaptations de signes :

Loi de Hooke: $\sigma_{11} = E \varepsilon_{11}$ $\sigma_{11} < 0$ et $\varepsilon_{11} < 0$

➤ restrictions sur la forme des pièces :

Phénomène de flambement :

En compression , pour une pièce longue, une instabilité peut se produire, qui entraîne une flexion brutale de la poutre. Si la charge est maintenue , elle peut amener à la rupture

**Dimensionnement :**

– on s'assure que l'effort de compression reste inférieur à la **charge critique de flambement** (abordé en M1) (cf. théorie d'Euler)

– Si **absence de risque de flambement** : on vérifiera $\sigma_{11} < \sigma_{ul} = \frac{\sigma_{eI}}{s'}$

($\sigma_{eI} = |\sigma_e|$ contrainte utile en compression)
s' coefficient de sécurité

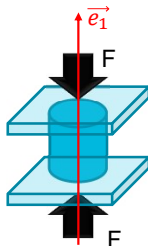


1 LA TRACTION/COMPRESSION

19

1.7 La compression simple

Dans le cas de la caractérisation d'un matériau à la compression, (ex: Béton cas du génie civil), il est d'usage de caractériser déformations et contraintes à partir de leur valeur absolue, la confusion n'étant plus possible.



En considérant $\sigma_{11} \rightarrow \|\sigma_{11}\|$
 $\varepsilon_{11} \rightarrow \|\varepsilon_{11}\|$
(Cas du génie civil)

$$\begin{cases} \sigma_{11} = E \varepsilon_{11} \\ \varepsilon_{22} = \varepsilon_{33} = +\nu \varepsilon_{11} \\ \sigma_{11} = -\frac{F}{S} \end{cases}$$

Avec :

E : module d'Young du matériau (ou module d'élasticité longitudinale)

ν : coefficient de Poisson du matériau

N : effort normal ($N = \|F\|$) (éléments de réduction)

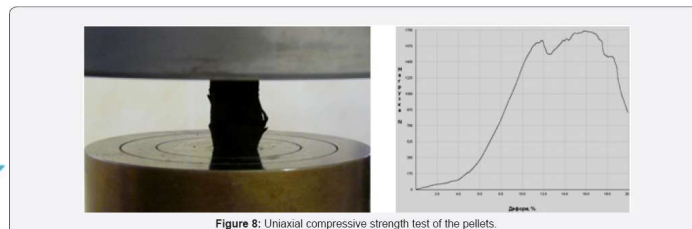


Figure 8: Uniaxial compressive strength test of the pellets.

1 LA TRACTION/COMPRESSION

20

1.8 A RETENIR

Torseur des éléments de réduction

$${}_G\{\mathcal{T}_{F_{ext}/g}\} = \begin{Bmatrix} N & 0 \\ 0 & 0 \\ 0 & 0 \end{Bmatrix}_{(\vec{x}_G, \vec{y}_G, \vec{z}_G)}$$

Bilan Loi de

Hooke

uni-axiale

$$\Rightarrow \begin{cases} \sigma_{11} = \frac{F}{S} \\ \sigma_{11} = E \varepsilon_{11} \\ \varepsilon_{22} = \varepsilon_{33} = -\nu \varepsilon_{11} \end{cases}$$

Etat de contrainte

$$[\sigma] = \begin{bmatrix} \sigma_{11} & 0 & 0 \\ 0 & 0 & 0 \\ 0 & 0 & 0 \end{bmatrix}_{(\vec{e}_1, \vec{e}_2, \vec{e}_3)}$$

Etat de déformation

$$[\varepsilon] = \begin{bmatrix} \varepsilon_{11} & 0 & 0 \\ 0 & \varepsilon_{22} & 0 \\ 0 & 0 & \varepsilon_{33} \end{bmatrix}_{(\vec{e}_1, \vec{e}_2, \vec{e}_3)}$$

transformation est hétérogène

$$\Delta L = \int_0^{L_0} \varepsilon_{11}(x) dx = \int_0^{L_0} du$$

transformation est homogène

$$\Delta L = \varepsilon_{11} \cdot L_0$$

Critère de dimensionnement

➤ Critère de résistance

$$\sigma_{11} < \sigma_u = \frac{R_p}{s} \quad s > 1,5$$

Si concentration
de contrainte

$$K_t \sigma_{11} \leq \sigma_u$$

 $K_t > 1$ coefficient concentration
de contraintes

PARTIE 3

1 LA TRACTION / COMPRESSION

2 LE CISAILLEMENT PUR

3 LA TORSION

4 LA FLEXION

- La flexion pure
- La flexion simple



2 LE CISAILLEMENT

22

2.1 Rappel

1. Torseur des éléments de réduction

Cas du cisaillement pur

Selon direction z

Selon direction y

$${}_G\{\mathcal{T}_{ext/g}\} = \begin{pmatrix} 0 & 0 \\ 0 & 0 \\ T_z & 0 \end{pmatrix}_{(\vec{x}_G, \vec{y}_G, \vec{z}_G)} \quad \text{ou} \quad {}_G\{\mathcal{T}_{ext/g}\} = \begin{pmatrix} 0 & 0 \\ T_y & 0 \\ 0 & 0 \end{pmatrix}_{(\vec{x}_G, \vec{y}_G, \vec{z}_G)}$$

$(\vec{x}_G, \vec{y}_G, \vec{z}_G)$ repère local de la section de la poutre

N	T _y ou T _z	M _x	M _z	Identification de la sollicitation
=0	≠0	=0	=0	Cisaillement simple

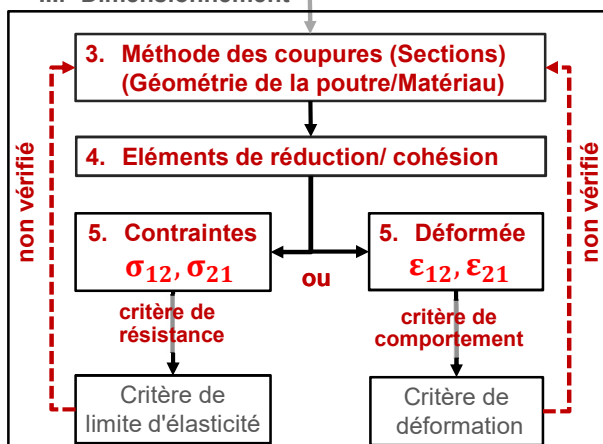
2 LE CISAILLEMENT

23

2.1 Rappel

2. DÉMARCHÉ GÉNÉRALE DE RÉOLUTION D'UN PROBLÈME DE RDM

III. Dimensionnement



Cisaillement simple

$${}_G\{\mathcal{T}_{Fext/g}\} = \begin{pmatrix} 0 & 0 \\ T_y & 0 \\ 0 & 0 \end{pmatrix}_G$$

ou

$${}_G\{\mathcal{T}_{Fext/g}\} = \begin{pmatrix} 0 & 0 \\ 0 & 0 \\ T_z & 0 \end{pmatrix}_G$$

$$\begin{bmatrix} 0 & \sigma_{12} & 0 \\ \sigma_{21} & 0 & 0 \\ 0 & 0 & 0 \end{bmatrix}_{(\vec{e}_1, \vec{e}_2, \vec{e}_3)}$$

Loi de Hooke généralisée

$$\varepsilon_{ij} = \frac{(1+\nu)\sigma_{ij}}{E} - \nu \frac{\sigma_{11} + \sigma_{22} + \sigma_{33}}{E}$$

$$\begin{bmatrix} 0 & \varepsilon_{12} & 0 \\ \varepsilon_{21} & 0 & 0 \\ 0 & 0 & 0 \end{bmatrix}_{(\vec{e}_1, \vec{e}_2, \vec{e}_3)}$$

2 LE CISAILLEMENT

24

2.1 Rappel

Équations d'équilibre dans le cas du cisaillement pur

N	T_y ou T_z	M_x	M_z	Identification de la sollicitation
=0	$\neq 0$	=0	=0	Cisaillement simple

Expression des équations d'équilibre de la section coupée

$$\left. \begin{array}{l}
 {}_G \{ \mathcal{T}_{F_{ext}/g} \} + {}_G \{ \mathcal{T}_{F_{int} \rightarrow (\Omega)} \} \\
 {}_G \{ \mathcal{T}_{F_{ext}/g} \} + {}_G \{ \mathcal{T}_{d \rightarrow g} \} \\
 \text{Soit } T_y = 0 \text{ soit } T_z = 0
 \end{array} \right\} = \left\{ \begin{array}{ll}
 \iint_{(\Omega)} \sigma_n d\Omega = 0 & \iint_{(\Omega)} y \cdot \tau_z - z \cdot \tau_y d\Omega = 0 \\
 T_y + \iint_{(\Omega)} \tau_y d\Omega = 0 & \iint_{(\Omega)} z \cdot \sigma_n d\Omega = 0 \\
 T_z + \iint_{(\Omega)} \tau_z d\Omega = 0 & \iint_{(\Omega)} y \cdot \sigma_n d\Omega = 0
 \end{array} \right\}$$

\uparrow soit \downarrow
 $(\vec{x}_G \quad \vec{y}_G \quad \vec{z}_G)$

2 LE CISAILLEMENT

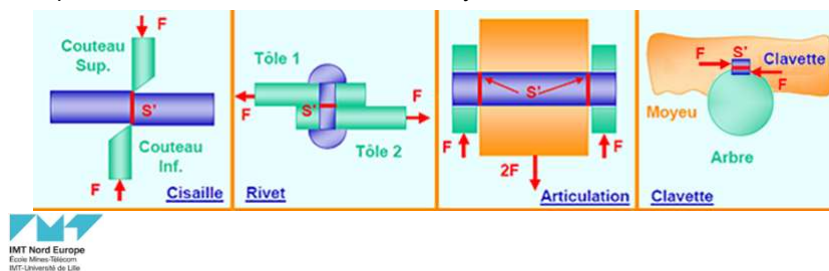
25

2.2 Cisaillement : cas type

En pratique le cisaillement est combiné avec d'autres sollicitations (Le cas le plus fréquent est celui de la flexion simple pour lequel l'effort tranchant est accompagné d'un moment de flexion. Dans ce cas la contrainte de traction est beaucoup plus importante, et l'effort tranchant est négligé).

Cisaillement pur → Assez rare

La configuration du système étudié permet d'appliquer sur une pièce de ce système, l'effort de cisaillement dans un plan défini où se situe la section cisailée. Par exemple : cisaille (deux couteaux), rivet (liant deux tôles), axe d'articulation de deux pièces, clavette liant un arbre à un moyeu.



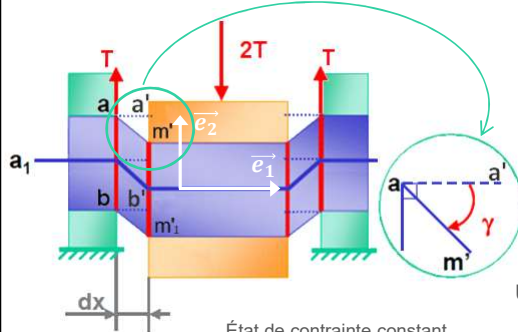
2 LE CISAILLEMENT

26

2.3 Cisaillement → Schéma de principe

Caractérisation du cisaillement pur

Lors d'un essai de cisaillement observons : 2 Sections infiniment voisines matérialisées par ab et $a'b'$ de normale \vec{n} espacées de la distance faible dx .



On constate que la section $a'b'$ glisse en bloc par rapport à la section ab donc la transformation est homogène :

La contrainte de cisaillement $\tau = \sigma_{tn}$ est constante dans la section ab de normale $\vec{n} (= \vec{e}_1)$

$$\tau = \frac{-T}{S} (= \sigma_{21})$$

Un angle de glissement γ matérialisé par $(a'a'm')$ ou $(b'b'm')$ se forme, avec a' ou b' la position initiale du point appartenant à la section cisailée et m' ou m'_1 sa position finale après déformation.

État de contrainte constant dans la section ab

$$\begin{bmatrix} 0 & \sigma_{12} & 0 \\ \sigma_{21} & 0 & 0 \\ 0 & 0 & 0 \end{bmatrix}_{(\vec{e}_1, \vec{e}_2, \vec{e}_3)}$$

Facette de normale \vec{e}_1

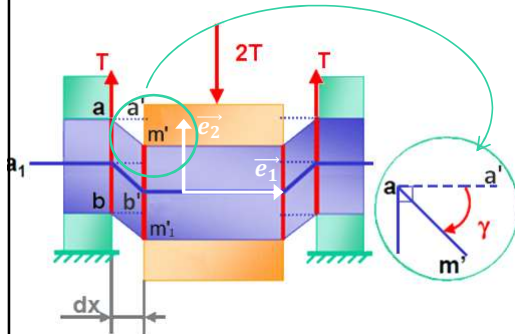


2 LE CISAILLEMENT

27

2.3 Cisaillement → Schéma de principe

Caractérisation du cisaillement pur



On déduit que quelque soit p appartenant à la section ab cisailée le vecteur contrainte :

$$\vec{T}(p, \vec{e}_1) = \tau \vec{e}_2 = \frac{-T}{S} \vec{e}_2$$

On déduit l'état de contrainte :

$$[\sigma] = \begin{bmatrix} 0 & \sigma_{12} = \frac{-T}{S} & 0 \\ \sigma_{21} = \frac{-T}{S} & 0 & 0 \\ 0 & 0 & 0 \end{bmatrix}_{(\vec{e}_1, \vec{e}_2, \vec{e}_3)}$$

A l'aide de la loi de Hooke on peut définir l'état de déformation

$$\sigma_{ij} = 2\mu \varepsilon_{ij} + \lambda(\varepsilon_{11} + \varepsilon_{22} + \varepsilon_{33})\delta_{ij}$$

(δ_{ij} : symbole de Kronecker)

$$[\varepsilon] = \begin{bmatrix} 0 & \varepsilon_{12} = \varepsilon_{21} & 0 \\ \varepsilon_{21} = \frac{1}{2}\gamma = \frac{-T}{2\mu S} & 0 & 0 \\ 0 & 0 & 0 \end{bmatrix}_{(\vec{e}_1, \vec{e}_2, \vec{e}_3)}$$



$$\mu = G = \frac{E}{2(1+\nu)} \quad \text{Module de Coulomb}$$

2 LE CISAILLEMENT

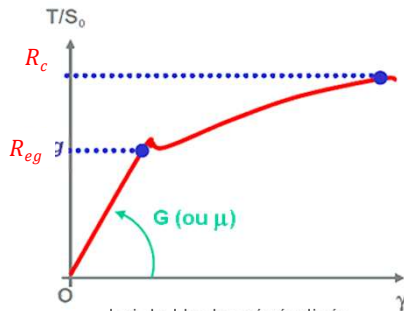
28

2.4 Essai de Cisaillement (Norme NF EN 3238:2010)

Courbe de l'essai de cisaillement

On relève la courbe représentant $\tau = T/S_0$ (T effort de traction, S_0 section initiale de la poutre) en fonction de l'angle γ

On constate une analogie entre l'essai de traction et de cisaillement (caractéristiques du matériau explicitant son comportement en cisaillement)



On distingue :

Domaine élastique linéaire $0 \leq \frac{T}{S} \leq R_{eg}$

$$\tau = \frac{T}{S}, \quad \tau = \mu\gamma = G\gamma$$

Résistance élastique au glissement

avec

$$\mu = G = \frac{E}{2(1+\nu)} \quad \text{module de Coulomb ou } 2^{\text{ème}} \text{ coefficient de Lamé}$$

γ angle de cisaillement

- Loi de Hooke généralisée

$$\varepsilon_{ij} = \frac{(1+\nu)}{E} \sigma_{ij} - \nu \frac{\nu}{E} (\sigma_{11} + \sigma_{22} + \sigma_{33}) \delta_{ij}$$

(δ_{ij} : symbole de Kronecker)



$$\begin{cases} \sigma_{ij} = \tau & \text{avec } i \neq j \\ \sigma_{ij} = 2\mu\varepsilon_{ij} & \text{avec } i = j \\ \gamma = 2\varepsilon_{ij} \end{cases}$$

2 LE CISAILLEMENT

29

2.5 Dimensionnement

Critère de dimensionnement

Pour dimensionner la poutre on pose :

- une condition de résistance liée à un critère de contrainte maximale

➤ Critère de contrainte maximale

lié à la limite d'élasticité

$$\tau = \sigma_{21} < \tau_u = R_{pg} = \frac{R_{eg}}{S} \quad \text{avec} \quad S = S_m \cdot S_e \cdot S_f (>1,5)$$

Cas particulier :

Pour de nombreuses applications industrielles de cisaillement (ex : poinçonnage, découpe de tôles,...) on souhaitera le dépassement de la **résistance au cisaillement** (notée R_c)

- la condition à vérifier sera :

$$\tau > k \cdot R_c \quad \text{avec} \quad R_c = \frac{F_m}{S_0} \quad \text{et } k > 1$$



(Norme NF EN 3238:2010)

2 LE CISAILLEMENT

30

2.6 A RETENIR

Torseur des éléments de réduction

$${}_G\{\mathcal{T}_{ext/g}\} = \begin{Bmatrix} 0 \\ T_y \\ 0 \end{Bmatrix}_{(x_G, y_G, z_G)}$$

$$\begin{cases} \tau = -T_y/S \\ \tau = \mu\gamma = G\gamma \\ \varepsilon_{12} = \frac{1}{2}\gamma \end{cases}$$

$\mu = G = \frac{E}{2(1+\nu)}$
 - μ module de Coulomb
 - γ angle de cisaillement

$$\varepsilon_{12} = \varepsilon_{21} = \frac{-T_y}{2\mu \cdot S}$$

 $\forall M$ appartenant à la poutre:

Etat de contrainte

$$[\sigma] = \begin{bmatrix} 0 & \sigma_{12} = \tau & 0 \\ \sigma_{21} = \tau & 0 & 0 \\ 0 & 0 & 0 \end{bmatrix}_{(e_1, e_2, e_3)}$$

Etat de déformation

$$[\varepsilon] = \begin{bmatrix} 0 & \varepsilon_{12} & 0 \\ \varepsilon_{21} & 0 & 0 \\ 0 & 0 & 0 \end{bmatrix}_{(e_1, e_2, e_3)}$$

Critère de dimensionnement

➤ Critère en contrainte

$$\tau < \tau_u = R_{pg} = \frac{R_{eg}}{s}$$

R_{eg} : Résistance élastique au glissement

➤ Critère en contrainte
(Dans le cas de découpe de pièce)

$$\tau > k \cdot R_c \quad k > 1$$

2 LE CISAILLEMENT

31

2.6 : Banc de test type de cisaillement

❑ V-Notch Shear Fixtures (Banc de test de cisaillement en V)

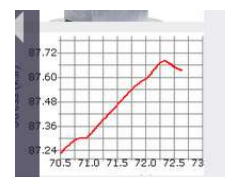


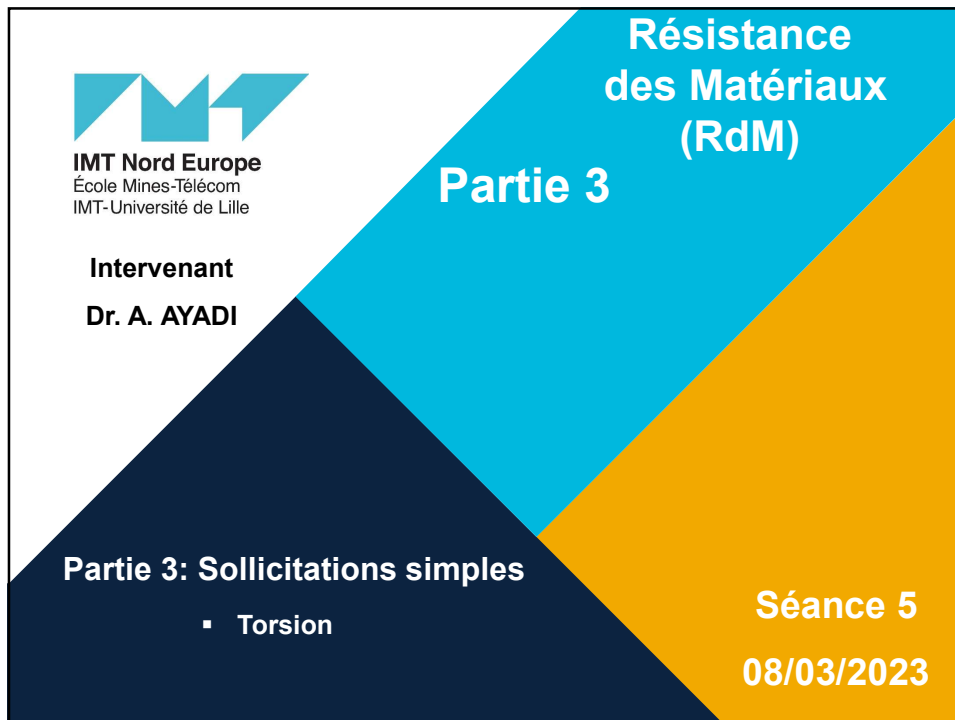
Rq : Fixe Glissière


ASTM D 5379 & D 7078 (INSTRON)



❑ Fastener Double Shear Testing (double cisaillement)






IMT Nord Europe
École Mines-Télécom
IMT-Université de Lille

Intervenant
Dr. A. AYADI

**Résistance
des Matériaux
(RdM)**

Partie 3

Partie 3: Sollicitations simples
▪ Torsion

Séance 5
08/03/2023



PARTIE 3

1 LA TRACTION / COMPRESSION

2 LE CISAILLEMENT PUR

3 LA TORSION

4 LA FLEXION

- La flexion pure
- La flexion simple


IMT Nord Europe
École Mines-Télécom
IMT-Université de Lille

1 LA TRACTION/COMPRESSION 3

1.1 Rappel: Sollicitations simples (Centre d'une section)

▪ Expression générale d'un torseur des éléments de réduction:

$$\left\{ \mathcal{T}_{F_{ext}/g} \right\}_G = \left\{ \begin{matrix} \overrightarrow{F_{ext}} \\ \overrightarrow{M_{ext}} \end{matrix} \right\}_G = \left\{ \begin{matrix} N & M_x \\ T_y & M_y \\ T_z & M_z \end{matrix} \right\}_G \quad \text{Repère local (au point G)} \quad \Rightarrow \quad \text{Expression du torseur dépend de la position de la coupe fictive}$$

($x_G; y_G; z_G$)

➤ Selon les valeurs de la **résultante** $\overrightarrow{F_{ext}}$ et du **moment** $\overrightarrow{M_{ext}}$ du torseur des éléments de réduction $\left\{ \mathcal{T}_{F_{ext}/g} \right\}_G$, on identifie **les sollicitations simples** auxquelles les poutres sont soumises:

Éléments de réduction \Rightarrow

N	T_y ou T_z	M_x	M_y ou M_z	Sollicitations
$\neq 0$	$= 0$	$= 0$	$= 0$	$N < 0$ Traction $N > 0$ Compression
$= 0$	$\neq 0$	$= 0$	$= 0$	Cisaillement simple
$= 0$	$= 0$	$\neq 0$	$= 0$	Torsion pure
$= 0$	$= 0$	$= 0$	$\neq 0$	Flexion pure
$= 0$	$\neq 0$	$= 0$	$\neq 0$	Flexion simple

La torsion est un cas particulier ou le problème n'est pas plan

IMT Nord Europe
Ecole Mines Télécom
IMT-Université de Lille

1 LA TRACTION/COMPRESSION 4

1.1 Rappel:

I. Schématisation

Composant (poutre ?)
Schématisation
Liaisons/sollicitations
Hypothèses de la RdM

II. Résolution du problème

Principe fondamental de la statique (PFS)
1. Chargements actifs
2. Réactions d'appuis (Actions passives)

III. Dimensionnement

3. Méthode des coupures (Sections) (Géométrie de la poutre/Matériau)

4. Éléments de réduction

5. Contraintes \leftarrow ou \rightarrow 5. Déformations

critère de résistance \rightarrow Critère de limite d'élasticité

critère de comportement \rightarrow Critère de déformation

non vérifié (red dashed arrows from 5. Contraintes and 5. Déformations back to 3. Méthode des coupures)

IMT Nord Europe
Ecole Mines Télécom
IMT-Université de Lille

PARTIE 3

3 LA TORSION

3.1 TORSION: CARACTÉRISATION

3.2 GÉOMÉTRIE DES POUTRES

3.3 ESSAI DE TORSION

3.4 ÉTUDE DU CHAMP DE DÉPLACEMENT

3.5 ÉTUDE DU CHAMP DE DEFORMATIONS

3.6 ÉTUDE DU CHAMP DE CONTRAINTE

3.7 DIMENSIONNEMENT

3.8 À RETENIR

3.9 CONCENTRATION DE CONTRAINTE



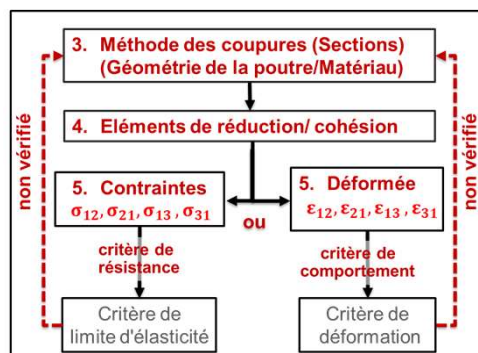
3.1 TORSION : CARACTÉRISATION

7

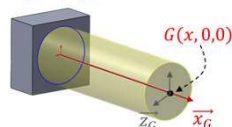
3.1.1 Rappel:

DÉMARCHE GÉNÉRALE DE RÉOLUTION D'UN PROBLÈME DE RDM

III. Dimensionnement



$$G(x, 0, 0), 0 \leq x < L$$



Torsion simple

$$_G \{ \mathcal{T}_{ext/g} \} = \begin{Bmatrix} 0 \\ 0 \\ 0 \end{Bmatrix} \begin{matrix} M(x) \\ 0 \\ 0 \end{matrix} \Big|_{(\vec{e}_1, \vec{e}_2, \vec{e}_3)}$$

$$\begin{bmatrix} 0 & \sigma_{12} & \sigma_{13} \\ \sigma_{21} & 0 & 0 \\ \sigma_{31} & 0 & 0 \end{bmatrix} \Big|_{(\vec{e}_1, \vec{e}_2, \vec{e}_3)}$$



Loi de Hooke généralisée

$$\varepsilon_{ij} = \frac{(1+\nu)}{E} \sigma_{ij} - \frac{\nu}{E} (\sigma_{11} + \sigma_{22} + \sigma_{33}) \delta_{ij}$$



$$\begin{bmatrix} 0 & \varepsilon_{12} & \varepsilon_{13} \\ \varepsilon_{21} & 0 & 0 \\ \varepsilon_{31} & 0 & 0 \end{bmatrix} \Big|_{(\vec{e}_1, \vec{e}_2, \vec{e}_3)}$$

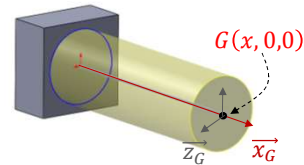
3.1 TORSION : CARACTÉRISATION

8

3.1.2 Caractérisation de la torsion pure

N	T _y ou T _z	M _x	M _z	Identification de la sollicitation
=0	=0	≠0	=0	Torsion pure

$$G(x, 0, 0), 0 \leq x < L$$



Expression du torseur des
Eléments de réduction

$${}_G\{\mathcal{T}_{ext/g}\} = \begin{pmatrix} 0 & M_x(x) \\ 0 & 0 \\ 0 & 0 \end{pmatrix}_{(\vec{x}_G, \vec{y}_G, \vec{z}_G)}$$

□ Expression des équations d'équilibre de section coupée

$${}_G\{\mathcal{T}_{ext/g}\} + {}_G\{\mathcal{T}_{d \rightarrow g}\} = {}_G\{0\} = \begin{cases} \iint_{(\Omega)} \sigma_n d\Omega = 0 & M_x(x) + \iint_{(\Omega)} y \cdot \tau_z - z \cdot \tau_y d\Omega = 0 \\ \iint_{(\Omega)} \tau_y d\Omega = 0 & \iint_{(\Omega)} z \cdot \sigma_n d\Omega = 0 \\ \iint_{(\Omega)} \tau_z d\Omega = 0 & \iint_{(\Omega)} y \cdot \sigma_n d\Omega = 0 \end{cases}_{(\vec{x}_G, \vec{y}_G, \vec{z}_G)}$$

${}_G\{\mathcal{T}_{ext/g}\} + {}_G\{\mathcal{T}_{Fint \rightarrow (\Omega)}\}$

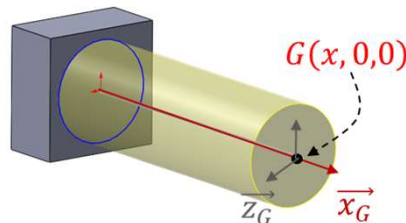


3.1 TORSION : CARACTÉRISATION

9

3.1.3 Hypothèses des cas étudiés

N	T _y ou T _z	M _x	M _z	Identification de la sollicitation
=0	=0	≠ 0	=0	Torsion pure



La surface latérale est non chargée.

- Les forces de volume sont négligeables.
- Les éléments de réduction se réduisent à un couple $M_x = C$, dirigé selon \vec{x}



PARTIE 3

3 LA TORSION

3.1 TORSION: CARACTÉRISATION

3.2 GÉOMÉTRIE DES POUTRES

3.3 ESSAI DE TORSION

3.4 ÉTUDE DU CHAMP DE DÉPLACEMENT

3.5 ÉTUDE DU CHAMP DE DEFORMATIONS

3.6 ÉTUDE DU CHAMP DE CONTRAINTES

3.7 DIMENSIONNEMENT

3.8 À RETENIR

3.9 CONCENTRATION DE CONTRAINTE



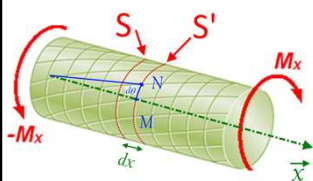
3.2 GÉOMÉTRIE DES POUTRES

13



3.2 Torsion : Géométrie des poutres

Cas 1: Section avec symétrie de révolution



- Les sections droites **restent** planes après déformation,
- Le déplacement relatif de deux sections droites voisines (S et S'), distantes de dx , se réduit à une rotation d'angle $d\theta$ autour de l'axe (O, \vec{x}) ,
- La déformation consiste en un glissement relatif des sections voisines.

Cas 2: Section sans symétrie de révolution



- Les sections **ne restent plus** planes après déformation,
- L'hypothèse de Navier Bernouilli ([hypothèse N°7, chapitre 1](#)) n'est plus respectée,
- Le cas 2 ne fait pas partie du cadre de ce chapitre.



3.2 GÉOMÉTRIE DES POUTRES

15

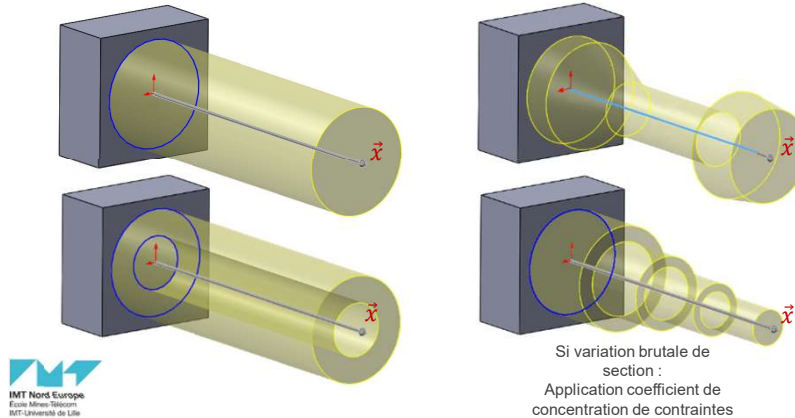
3.2 Torsion : Géométrie des poutres

Identification géométrique

Géométrie des poutres

L'étude se limitera aux poutres qui répondent aux critères suivants :

- Les génératrices sont rectilignes parallèles à l'axe (O, \vec{x})
- La section droite est de révolution autour de l'axe (O, \vec{x}) de rayon R
- Les sections peuvent varier de façon progressive



PARTIE 3

3.1 TORSION: CARACTÉRISATION

3.2 GÉOMÉTRIE DES POUTRES

3.3 ESSAI DE TORSION

3.4 ÉTUDE DU CHAMP DE DÉPLACEMENT

3.5 ÉTUDE DU CHAMP DE DEFORMATIONS

3.6 ÉTUDE DU CHAMP DE CONTRAINTE

3.7 DIMENSIONNEMENT

3.8 À RETENIR

3.9 CONCENTRATION DE CONTRAINTE

3.3 ESSAI DE TORSION

17

3.3.1 Essai de torsion

MACHINES D'ESSAIS POUR LA TORSION

- **Torsion pure** : Application sur l'éprouvette d'une sollicitation de torsion.



IMT Nord Europe
Ecole Mines Télécom
IMT-Université de Lille

- **Sollicitation composée : Torsion + traction/compression** :

Application simultanée d'une Sollicitation en torsion et d'une Sollicitation en traction ou compression



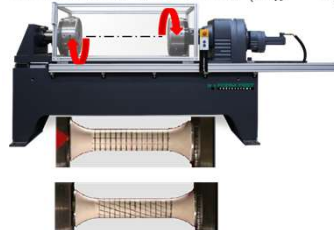
3.3 ESSAI DE TORSION

18

3.3.1 Essai de torsion

□ Essai de torsion pure

L'éprouvette est soumise uniquement à une sollicitation de torsion ($M_x = C$).



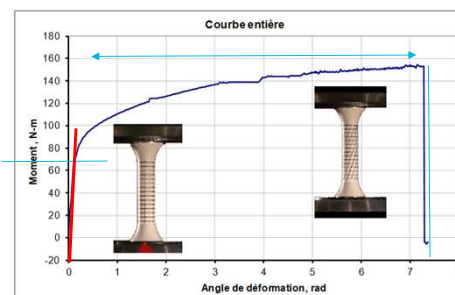
Selon la norme ASTM E-143, les propriétés de cisaillement sont souvent déterminées par un essai de torsion.

IMT Nord Europe
Ecole Mines Télécom
IMT-Université de Lille

Unités:

- [Moment]: N.m
- [Angle]: rad

□ Courbe de contrainte-déformation



3.3 ESSAI DE TORSION

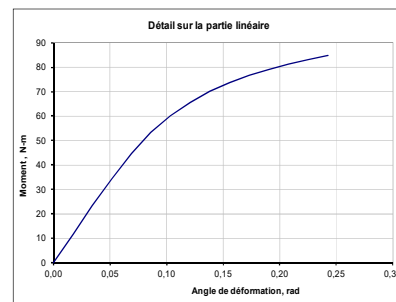
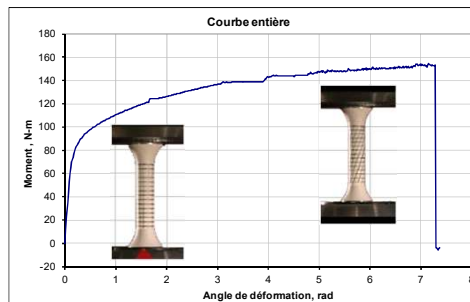
20

3.3.1 Essai de torsion

Essai de torsion

Les résultats de l'essai de torsion sont utilisés pour tracer une courbe de contrainte-déformation (**Moment vs Angle de déformation**) qui permet de déterminer la limite d'élasticité, le module d'élasticité en torsion, le module de rupture en torsion et la résistance à la torsion. Les propriétés de **cisaillement** sont souvent déterminées par un essai de torsion (ASTM E-143)

Déterminer le **MODULE DE COULOMB** (noté **G**) encore appelé **module de cisaillement** ou **module de glissement** ou **second coefficient de lamé** (noté **μ**)



Faites attention aux unités !

3.3 ESSAI DE TORSION

21

3.3.2 Déterminer le MODULE DE COULOMB (noté G)

Exercice type : Déterminer le MODULE DE COULOMB (noté G)

1. Évaluer le module de Coulomb de ce matériau
2. Déterminer le retour élastique si le couple appliqué est supprimé au niveau du point C



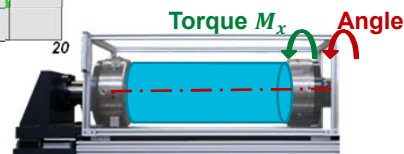
Dimensions de l'éprouvette

$$L_0 = 100 \text{ mm}$$

$$D_0 = 8 \text{ mm}$$

Conversion d'unité

$$1 \text{ in.lb} = 114,3 \text{ N.mm}$$



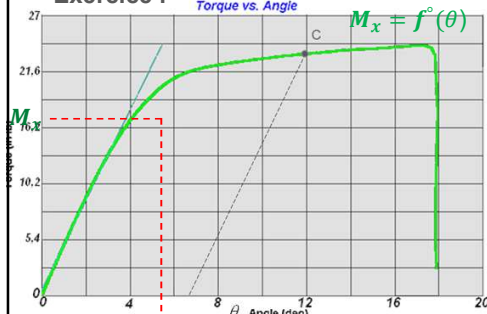
3.3 ESSAI DE TORSION

22

3.3.2 Déterminer le MODULE DE COULOMB (noté G)

Exercice :

Torque vs. Angle



Résolution:

On donne: $M_x = (G \cdot I_{G0}) \cdot \alpha = cste. \alpha$

$$\Rightarrow G = \frac{M_x}{I_{G0} \cdot \alpha} \quad (1)$$

 α Angle unitaire de torsion (inconnue)

$$I_{G0} = \frac{\pi \cdot d^4}{32} = 402 \text{ mm}^4$$

La courbe exp. correspond à $M_x = f(\theta)$

$$\theta = \alpha \cdot L_0 \Rightarrow \alpha = \frac{\theta}{L_0} \quad (2)$$

$$\Rightarrow G = \frac{L_0}{I_{G0} \cdot \theta} M_x$$

1. Évaluer le module de Coulomb de ce matériau

Pente de la partie linéaire de la courbe:

$$\text{coef}_{\text{dir}} = \frac{y_2 - y_1}{x_2 - x_1} = \frac{y_2 - 0}{x_2 - 0} = \frac{M_x}{\theta} = \frac{1}{\alpha \cdot L_0} M_x \quad (3)$$

 $(\theta = 4,2 \text{ deg}, M_x = 18,9 \text{ in. lb})$ 

$$G = \frac{M_x}{I_{G0} \cdot \alpha} = \left(\frac{M_x}{\alpha \cdot L_0} \right) \cdot \frac{L_0}{I_{G0}} = \frac{y_2}{x_2} \cdot \frac{L_0}{I_{G0}} = \frac{18,9}{4,2} \cdot \frac{100}{I_{G0}} = \frac{18,9 \cdot 114,3}{4,2 \cdot \frac{\pi \cdot 8^4}{32}} = 7329 \text{ MPa} \cdot$$

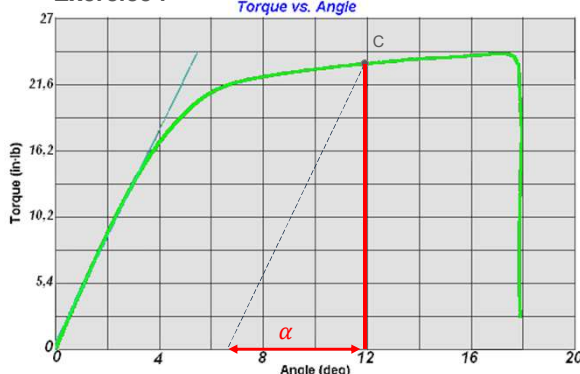
3.3 ESSAI DE TORSION

23

3.3.2 Déterminer le MODULE DE COULOMB (noté G)

Exercice :

Torque vs. Angle



Dimensions de l'éprouvette

 $L_0 = 100 \text{ mm}$ $D_0 = 8 \text{ mm}$

Conversion d'unité

 $1 \text{ in. lb} = 114,3 \text{ N} \cdot \text{mm}$

2. Déterminer le retour élastique si le couple appliqué est supprimé au niveau du point C

$$\alpha = \frac{12 - 6,8}{100} = 0,052 \text{ } ^\circ/\text{mm}$$

Dédution: l'angle de rotation dû au retour élastique pour la section située en $x=L_0=100 \text{ mm}$ est:

$$\theta(x=L_0) = L_0 \cdot \alpha = 5,2^\circ$$

PARTIE 3

3 LA TORSION

3.1 TORSION: CARACTÉRISATION

3.2 GÉOMÉTRIE DES POUTRES

3.3 ESSAI DE TORSION

3.4 ÉTUDE DU CHAMP DE DÉPLACEMENT

3.5 ÉTUDE DU CHAMP DE DÉFORMATIONS

3.6 ÉTUDE DU CHAMP DE CONTRAINTES

3.7 DIMENSIONNEMENT

3.8 À RETENIR

3.9 CONCENTRATION DE CONTRAINTE



3.4 ÉTUDE DU CHAMP DE DÉPLACEMENT

25

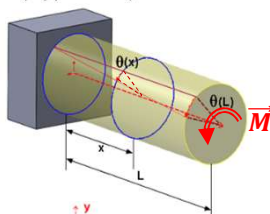


3.4.1 Étude du champ de déplacement

On soumet à un couple de Torsion M , une poutre de section circulaire constante, d'axe de révolution Ox , de longueur L encastrée à l'une de ses extrémités.

Étude du champ de déplacement \implies Observons une section d'abscisse x .

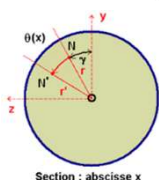
La section tourne autour de son centre de gravité d'un angle $\theta(x)$, $\theta(x)$ reste petit (hyp RDM). La section reste plane, ce qui impose pour $N \in S, N \rightarrow N' : r = r'$



Que devient un point N ? $\implies N'$

$$\begin{cases} x_N = x \\ y_N = r \cos \gamma \\ z_N = r \sin \gamma \end{cases} \implies \begin{cases} x_{N'} = x \\ y_{N'} = r \cos(\gamma + \theta(x)) \\ z_{N'} = r \sin(\gamma + \theta(x)) \end{cases}$$

Déplacement du point N ? $\implies \overrightarrow{NN'}$



$$\overrightarrow{NN'} : \begin{cases} u = 0 \\ v = r \cos(\gamma + \theta(x)) - r \cos \gamma \\ w = r \sin(\gamma + \theta(x)) - r \sin \gamma \end{cases} \begin{cases} u = 0 \\ v = r(\cos \gamma \cdot \cos \theta(x) - \sin \gamma \cdot \sin \theta(x)) - r \cos \gamma \\ w = r(\sin \gamma \cdot \cos \theta(x) + \cos \gamma \cdot \sin \theta(x)) - r \sin \gamma \end{cases}$$

$$\begin{cases} \theta(x) \text{ reste petit} \\ \sin(\theta) \approx \theta \\ \cos(\theta) \approx 1 \end{cases}$$

$$\begin{cases} u = 0 \\ v \approx -r \sin(\gamma) \theta(x) \\ w \approx r \cos(\gamma) \theta(x) \end{cases} \implies \overrightarrow{NN'} : \begin{cases} u = 0 \\ v \approx -\theta(x) \cdot z_N \\ w \approx \theta(x) \cdot y_N \end{cases}$$



3.4 ÉTUDE DU CHAMP DE DÉPLACEMENT

26

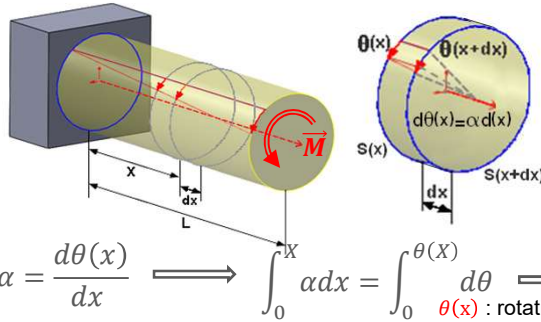
3.4.1 Étude du champ de déplacement : **Section constante**

Étude du champ de déplacement : définition de l'Angle unitaire de torsion

Observons deux sections droites voisines, $S(x)$ et $S(x+dx)$ distantes de dx .

Le déplacement de $S(x+dx)$ par rapport à $S(x)$ se réduit à **une rotation d'angle $d\theta$ autour de l'axe Ox** .

$$\theta(x+dx) - \theta(x) = \theta(x) + d\theta(x) - \theta(x) = \alpha(x) \cdot dx \implies d\theta(x) = \alpha(x) \cdot dx$$



Hypothèses :

- La section $S(x)$ est constante pour $0 < x < L$,
- La surface latérale n'est pas chargée, donc $M(x) = M$ est constant.
- $\alpha(x)$ est constant sur le tronçon dx

$$\alpha = \frac{d\theta(x)}{dx} \implies \int_0^{\theta(x)} \alpha dx = \int_0^{\theta(x)} d\theta \implies \theta(x) = \alpha \cdot x$$

$\theta(x)$: rotation de $S(x)$ par rapport à $S(0)$

α est appelé : **Angle unitaire de torsion**



Expression du champ de déplacement en fonction de α

$$\overrightarrow{NN'} : \begin{cases} u = 0 \\ v \approx -\theta(x) \cdot z_N \\ w \approx \theta(x) \cdot y_N \end{cases}$$

$$\begin{cases} u = 0 \\ v \approx -\alpha \cdot x \cdot z_N \\ w \approx \alpha \cdot x \cdot y_N \end{cases}$$

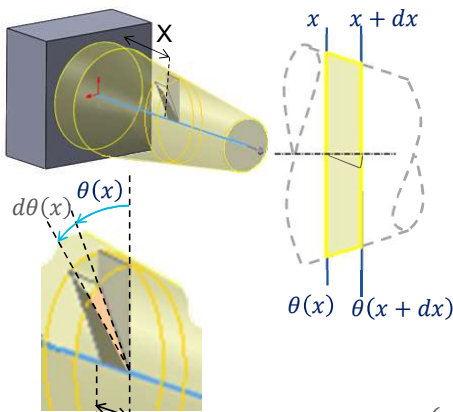
3.4 ÉTUDE DU CHAMP DE DÉPLACEMENT

27

3.4.2 Étude du champ de déplacement : **section variable**

Étude du champ de déplacement \implies La section varie progressivement

Observons un tronçon élémentaire situé à l'abscisse x de la poutre d'épaisseur dx .



$$\theta(x+dx) - \theta(x) = d\theta(x) = \alpha(x) \cdot dx$$

La section $S(x)$ est variable,
La surface latérale n'est pas chargée,
donc $M(x)$ est constant
 $\alpha(x)$ est une fonction de x

$$\int_0^x \alpha(x) dx = \int_0^x d\theta(x)$$

$$\int_0^x \alpha(x) dx = \theta(x) - \theta(0)$$



Expression du champ de déplacement en fonction de $\alpha(x)$

$$\overrightarrow{NN'} : \begin{cases} u = 0 \\ v \approx -\theta(x) \cdot z_N \\ w \approx \theta(x) \cdot y_N \end{cases}$$

$$\begin{cases} u = 0 \\ v \approx -\int_0^x \alpha(x) dx \cdot z_N \\ w \approx \int_0^x \alpha(x) dx \cdot y_N \end{cases}$$

PARTIE 3

3 LA TORSION

3.1 TORSION: CARACTÉRISATION

3.2 GÉOMÉTRIE DES POUTRES

3.3 ESSAI DE TORSION

3.4 ÉTUDE DU CHAMP DE DÉPLACEMENT

3.5 ÉTUDE DU CHAMP DE DEFORMATIONS

3.6 ÉTUDE DU CHAMP DE CONTRAINTE

3.7 DIMENSIONNEMENT

3.8 À RETENIR

3.9 CONCENTRATION DE CONTRAINTE



3.5 ÉTUDE DU CHAMP DE DEFORMATIONS

29

3.5.1 Torsion : Étude du champ de déformation : repère $(G, \vec{x}, \vec{y}, \vec{z})$

Étude du champ de déformation \implies Observons une section d'abscisse x .

Le champ de déformation se déduit à partir de la relation établie ci-dessous qui exprime le champ de déformation à partir du champ de déplacement.

$$\begin{cases} u = 0 \\ v \approx -\alpha \cdot x \cdot z_N \\ w \approx \alpha \cdot x \cdot y_N \end{cases} \quad [\mathcal{E}(N)] = \frac{1}{2} \begin{bmatrix} 2 \frac{Du}{Dx} & \frac{Du}{Dy} + \frac{Dv}{Dx} & \frac{Du}{Dz} + \frac{Dw}{Dx} \\ \text{sym} & 2 \frac{Dv}{Dy} & \frac{Dv}{Dz} + \frac{Dw}{Dy} \\ \text{sym} & \text{sym} & 2 \frac{Dw}{Dz} \end{bmatrix}_{(\vec{x}, \vec{y}, \vec{z})}$$

Le calcul est réalisé dans la base $(\vec{x}, \vec{y}, \vec{z})$

$$\begin{cases} u = 0 \\ v \approx -\alpha \cdot x \cdot z_N \\ w \approx \alpha \cdot x \cdot y_N \end{cases} \quad [\mathcal{E}(N)] = \begin{bmatrix} 0 & \frac{-\alpha \cdot z_N}{2} & \frac{\alpha \cdot y_N}{2} \\ \text{sym} & 0 & 0 \\ \text{sym} & \text{sym} & 0 \end{bmatrix}_{(\vec{x}, \vec{y}, \vec{z})}$$

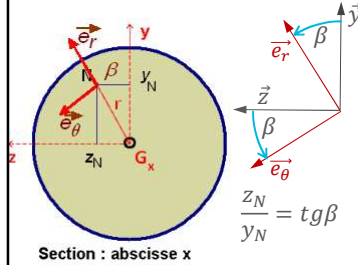
Section : abscisse x

3.5 ÉTUDE DU CHAMP DE DEFORMATIONS

30

3.5.2 Torsion : Étude du champ de déformation dans le repère polaire $(G, \vec{x}, \vec{e}_r, \vec{e}_\theta)$

Étude du champ de contraintes

 \implies dans le repère $(G, \vec{x}, \vec{e}_r, \vec{e}_\theta)$ 

Section : abscisse x

$$[\mathcal{E}(N)]_{(\vec{x}, \vec{e}_r, \vec{e}_\theta)} = P^t \begin{bmatrix} 0 & \frac{-\alpha \cdot z_N}{2} & \frac{\alpha \cdot y_N}{2} \\ \text{sym} & 0 & 0 \\ \text{sym} & \text{sym} & 0 \end{bmatrix} \cdot P$$

P : Matrice de passage de $(\vec{x}, \vec{y}, \vec{z})$ à $(\vec{x}, \vec{e}_r, \vec{e}_\theta)$

$$P = \begin{bmatrix} 1 & 0 & 0 \\ 0 & \cos\beta & -\sin\beta \\ 0 & \sin\beta & \cos\beta \end{bmatrix}$$

Matrice de passage
Exprimer \vec{x}, \vec{e}_r et \vec{e}_θ dans
la base $(\vec{x}, \vec{y}, \vec{z})$

$$[\mathcal{E}(N)]_{(\vec{x}, \vec{e}_r, \vec{e}_\theta)} = \begin{bmatrix} 1 & 0 & 0 \\ 0 & \cos\beta & \sin\beta \\ 0 & -\sin\beta & \cos\beta \end{bmatrix} \begin{bmatrix} 0 & \varepsilon_{xy} & \varepsilon_{xz} \\ \varepsilon_{yx} & 0 & 0 \\ \varepsilon_{zx} & 0 & 0 \end{bmatrix} \begin{bmatrix} 1 & 0 & 0 \\ 0 & \cos\beta & -\sin\beta \\ 0 & \sin\beta & \cos\beta \end{bmatrix}$$

$$[\mathcal{E}(N)]_{(\vec{x}, \vec{e}_r, \vec{e}_\theta)} = \begin{bmatrix} 0 & \cos\beta \cdot \varepsilon_{xy} + \sin\beta \cdot \varepsilon_{xz} & -\sin\beta \cdot \varepsilon_{xy} + \cos\beta \cdot \varepsilon_{xz} \\ \cos\beta \cdot \varepsilon_{yx} + \sin\beta \cdot \varepsilon_{zx} & 0 & 0 \\ -\sin\beta \cdot \varepsilon_{yx} + \cos\beta \cdot \varepsilon_{zx} & 0 & 0 \end{bmatrix}$$



3.5 ÉTUDE DU CHAMP DE DEFORMATIONS

31

3.5.2 Torsion : détermination du champ de déformation dans le repère polaire

$$[\mathcal{E}(N)]_{(\vec{x}, \vec{e}_r, \vec{e}_\theta)} = \begin{bmatrix} 0 & \cos\beta \cdot \varepsilon_{xy} + \sin\beta \cdot \varepsilon_{xz} & -\sin\beta \cdot \varepsilon_{xy} + \cos\beta \cdot \varepsilon_{xz} \\ \cos\beta \cdot \varepsilon_{yx} + \sin\beta \cdot \varepsilon_{zx} & 0 & 0 \\ -\sin\beta \cdot \varepsilon_{yx} + \cos\beta \cdot \varepsilon_{zx} & 0 & 0 \end{bmatrix}$$

$$\begin{aligned} (\varepsilon_{12}) \quad & \cos\beta \cdot \varepsilon_{xy} + \sin\beta \cdot \varepsilon_{xz} = \cos\beta \cdot \frac{-\alpha \cdot z_N}{2} + \sin\beta \cdot \frac{\alpha \cdot y_N}{2} \\ (\varepsilon_{13}) \quad & -\sin\beta \cdot \varepsilon_{yx} + \cos\beta \cdot \varepsilon_{zx} = -\sin\beta \cdot \frac{-\alpha \cdot z_N}{2} + \cos\beta \cdot \frac{\alpha \cdot y_N}{2} \end{aligned}$$

$$\text{or } \frac{z_N}{y_N} = \tan\beta$$

$$\begin{aligned} (\varepsilon_{12}) \quad & \cos\beta \cdot \varepsilon_{xy} + \sin\beta \cdot \varepsilon_{xz} = -\cos\beta \cdot \frac{\alpha}{2} \cdot y_N \tan\beta + \sin\beta \cdot \frac{\alpha}{2} \cdot y_N = 0 \\ (\varepsilon_{13}) \quad & -\sin\beta \cdot \varepsilon_{yx} + \cos\beta \cdot \varepsilon_{zx} = +\sin\beta \cdot \alpha \cdot y_N \tan\beta + \cos\beta \cdot \alpha \cdot y_N \end{aligned}$$

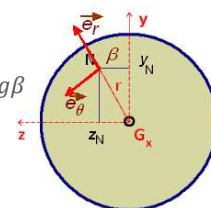
$$(\varepsilon_{13}) \quad -\sin\beta \cdot \varepsilon_{yx} + \cos\beta \cdot \varepsilon_{zx} = \frac{\sin^2\beta \cdot \alpha \cdot y_N + \cos^2\beta \cdot \alpha \cdot y_N}{2\cos\beta} = \frac{\alpha \cdot y_N}{2\cos\beta}$$

$$\text{or } y_N = r \cdot \cos\beta$$

$$\varepsilon_{13} = -\sin\beta \cdot \varepsilon_{yx} + \cos\beta \cdot \varepsilon_{zx} = \frac{\alpha \cdot r}{2}$$

Avantage de travailler
en repère polaire !

$$[\mathcal{E}(N)]_{(\vec{x}, \vec{e}_r, \vec{e}_\theta)} = \begin{bmatrix} 0 & 0 & \frac{\alpha}{2} \cdot r \\ 0 & 0 & 0 \\ \frac{\alpha}{2} \cdot r & 0 & 0 \end{bmatrix}_{(\vec{x}, \vec{e}_r, \vec{e}_\theta)}$$



Section : abscisse x

PARTIE 3

3 LA TORSION

3.1 TORSION: CARACTÉRISATION

3.2 GÉOMÉTRIE DES POUTRES

3.3 ESSAI DE TORSION

3.4 ÉTUDE DU CHAMP DE DÉPLACEMENT

3.5 ÉTUDE DU CHAMP DE DEFORMATIONS

3.6 ÉTUDE DU CHAMP DE CONTRAINTES

3.7 DIMENSIONNEMENT

3.8 À RETENIR

3.9 CONCENTRATION DE CONTRAINTE



3.6 ÉTUDE DU CHAMP DE CONTRAINTES

33

3.6.1 Torsion : Étude du champ de contraintes : repère $(G, \vec{x}, \vec{y}, \vec{z})$

Étude du champ de contraintes \implies Observons une section d'abscisse x .
 Nous allons déterminer l'état de contrainte en utilisant la loi de Hooke généralisée, qui permet de relier déformation à contrainte.

Matrice décrivant l'état de contrainte en un point $N(x_N, y_N, z_N)$ de la section

$$[\varepsilon(N)] = \begin{bmatrix} 0 & -\alpha \cdot z_N & \alpha \cdot y_N \\ \text{sym} & 2 & 0 \\ \text{sym} & \text{sym} & 0 \end{bmatrix}_{(\vec{x}, \vec{y}, \vec{z})}$$

Loi de Hooke généralisée

$$\sigma_{ij} = \frac{E}{1+\nu} \varepsilon_{ij} + \frac{E\nu}{(1+\nu)(1-2\nu)} (\varepsilon_{11} + \varepsilon_{22} + \varepsilon_{33}) \delta_{ij}$$

$\frac{E}{1+\nu} = 2\mu = 2G$ G : Module de Coulomb

$$[\sigma(N)] = \begin{bmatrix} 0 & -G \cdot \alpha \cdot z_N & G \cdot \alpha \cdot y_N \\ \text{sym} & 0 & 0 \\ \text{sym} & \text{sym} & 0 \end{bmatrix}_{(\vec{x}, \vec{y}, \vec{z})}$$

Section : abscisse x

3.6 ÉTUDE DU CHAMP DE CONTRAINTES

34

3.6.1 Torsion : Étude du champ de contraintes : repère $(G, \vec{x}, \vec{y}, \vec{z})$ Relation entre α angle unitaire de torsion et $M(x)$

Tenseur des contraintes

$$[\sigma(N)] = \begin{bmatrix} 0 & -G \cdot \alpha \cdot z_N & G \cdot \alpha \cdot y_N \\ \text{sym} & 0 & 0 \\ \text{sym} & \text{sym} & 0 \end{bmatrix}_{(\vec{x}, \vec{y}, \vec{z})} \quad \begin{cases} \sigma_{yx} = -G \cdot \alpha \cdot z_N & \sigma_{yx} = \tau_y \\ \sigma_{zx} = G \cdot \alpha \cdot y_N & \sigma_{zx} = \tau_z \end{cases}$$

$${}_G\{\mathcal{T}_{ext}\} = \begin{Bmatrix} 0 & M_x(x) \\ 0 & 0 \\ 0 & 0 \end{Bmatrix}_G$$

avec $0 \leq z_N \leq R$ $0 \leq y_N \leq R$

Utilisation des équations d'équilibre d'une section

$$M(x) + \iint_{(\Omega)} (y_N \cdot \tau_z - z_N \cdot \tau_y) d\Omega = M(x) + \iint_{(\Omega)} (y_N \cdot G \cdot \alpha \cdot y_N + z_N \cdot G \cdot \alpha \cdot z_N) d\Omega = 0$$

$$M(x) = -G \cdot \alpha \iint_{(\Omega)} y_N^2 + z_N^2 d\Omega$$

$$M(x) = -G \cdot \alpha \cdot I_{G0}$$

$$\alpha = -\frac{M(x)}{G \cdot I_{G0}}$$



α : Angle unitaire de torsion
Unité de α : rad/mm

I_{G0} est appelé moment d'inertie polaire de section

Il s'agit d'une propriété géométrique de la section d'une poutre.

$$I_{G0} = \iint_{(\Omega)} (y^2 + z^2) d\Omega$$

$$I_{G0} = \iint_{(\Omega)} y^2 d\Omega + \iint_{(\Omega)} z^2 d\Omega = I_{Gz} + I_{Gy}$$

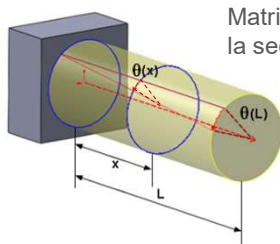
3.6 ÉTUDE DU CHAMP DE CONTRAINTES

36

3.6.1 Torsion : Étude du champ de contraintes : dans le repère polaire $(G, \vec{x}, \vec{e}_r, \vec{e}_\theta)$

Étude du champ de contraintes \implies Observons une section d'abscisse x .

Nous allons déterminer l'état de contrainte en utilisant la loi de Hooke généralisée, qui permet de relier l'état de déformation à celui de contrainte.



Matrice décrivant l'état de contrainte en un point $N(x_N, r, \beta)$ de la section

$$[\varepsilon(N)] = \begin{bmatrix} 0 & 0 & \frac{\alpha}{2} \cdot r \\ 0 & 0 & 0 \\ \frac{\alpha}{2} \cdot r & 0 & 0 \end{bmatrix}_{(\vec{x}, \vec{e}_r, \vec{e}_\theta)}$$

□ Méthode 1: Loi de Hooke généralisée

$$\sigma_{ij} = \frac{E}{1+\nu} \varepsilon_{ij} + \frac{E\nu}{(1+\nu)(1-2\nu)} (\varepsilon_{11} + \varepsilon_{22} + \varepsilon_{33}) \delta_{ij}$$

$$\frac{E}{1+\nu} = 2\mu = 2G \quad G : \text{Module de Coulomb}$$

$$[\sigma(N)] = \begin{bmatrix} 0 & 0 & \tau(r) = G \cdot \alpha \cdot r \\ \text{sym} & 0 & 0 \\ \text{sym} & \text{sym} & 0 \end{bmatrix}_{(\vec{x}, \vec{e}_r, \vec{e}_\theta)}$$



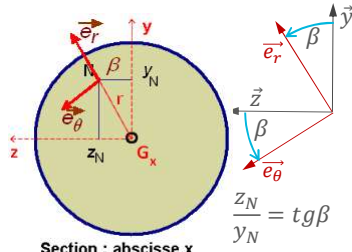
3.6 ÉTUDE DU CHAMP DE CONTRAINTES

37

3.6.2 Torsion : Détermination du champ de contraintes dans le repère polaire

Étude du champ de contraintes \implies dans le repère $(G, \vec{x}, \vec{e}_r, \vec{e}_\theta)$

□ Méthode 2: Matrice de passage



$$[\sigma(N)]_{(\vec{x}, \vec{e}_r, \vec{e}_\theta)} = P^t \begin{bmatrix} 0 & -G \cdot \alpha \cdot z_N & G \cdot \alpha \cdot y_N \\ \text{sym} & 0 & 0 \\ \text{sym} & \text{sym} & 0 \end{bmatrix}_{(\vec{x}, \vec{y}, \vec{z})} \cdot P$$

P : Matrice de passage de $(\vec{x}, \vec{y}, \vec{z})$ à $(\vec{x}, \vec{e}_r, \vec{e}_\theta)$

$$P = \begin{bmatrix} 1 & 0 & 0 \\ 0 & \cos \beta & -\sin \beta \\ 0 & \sin \beta & \cos \beta \end{bmatrix}$$

$$[\sigma(N)]_{(\vec{x}, \vec{e}_r, \vec{e}_\theta)} = \begin{bmatrix} 1 & 0 & 0 \\ 0 & \cos \beta & \sin \beta \\ 0 & -\sin \beta & \cos \beta \end{bmatrix} \begin{bmatrix} 0 & \sigma_{xy} & \sigma_{xz} \\ \sigma_{yx} & 0 & 0 \\ \sigma_{zx} & 0 & 0 \end{bmatrix} \begin{bmatrix} 1 & 0 & 0 \\ 0 & \cos \beta & -\sin \beta \\ 0 & \sin \beta & \cos \beta \end{bmatrix}$$

$$= \begin{bmatrix} 0 & \cos \beta \cdot \sigma_{xy} + \sin \beta \cdot \sigma_{xz} & -\sin \beta \cdot \sigma_{xy} + \cos \beta \cdot \sigma_{xz} \\ \cos \beta \cdot \sigma_{yx} + \sin \beta \cdot \sigma_{zx} & 0 & 0 \\ -\sin \beta \cdot \sigma_{yx} + \cos \beta \cdot \sigma_{zx} & 0 & 0 \end{bmatrix}$$



3.6 ÉTUDE DU CHAMP DE CONTRAINTES

38

3.6.2 Torsion : détermination du champ de contraintes dans le repère polaire

$$[\sigma(N)]_{(\vec{x}, \vec{e}_r, \vec{e}_\theta)} = \begin{bmatrix} 0 & \cos \beta \cdot \sigma_{xy} + \sin \beta \cdot \sigma_{xz} & -\sin \beta \cdot \sigma_{xy} + \cos \beta \cdot \sigma_{xz} \\ \cos \beta \cdot \sigma_{yx} + \sin \beta \cdot \sigma_{zx} & 0 & 0 \\ -\sin \beta \cdot \sigma_{yx} + \cos \beta \cdot \sigma_{zx} & 0 & 0 \end{bmatrix}$$

$$\begin{cases} \cos \beta \cdot \sigma_{xy} + \sin \beta \cdot \sigma_{xz} = -\cos \beta \cdot G \cdot \alpha \cdot z_N + \sin \beta \cdot G \cdot \alpha \cdot y_N \\ -\sin \beta \cdot \sigma_{xy} + \cos \beta \cdot \sigma_{xz} = \sin \beta \cdot G \cdot \alpha \cdot z_N + \cos \beta \cdot G \cdot \alpha \cdot y_N \end{cases}$$

$$\text{or } \frac{z_N}{y_N} = \tan \beta$$

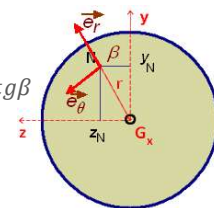
$$\begin{cases} \cos \beta \cdot \sigma_{xy} + \sin \beta \cdot \sigma_{xz} = -\cos \beta \cdot G \cdot \alpha \cdot y_N \tan \beta + \sin \beta \cdot G \cdot \alpha \cdot y_N = 0 \\ -\sin \beta \cdot \sigma_{xy} + \cos \beta \cdot \sigma_{xz} = \sin \beta \cdot G \cdot \alpha \cdot y_N \tan \beta + \cos \beta \cdot G \cdot \alpha \cdot y_N \end{cases}$$

$$-\sin \beta \cdot \sigma_{xy} + \cos \beta \cdot \sigma_{xz} = \frac{\sin^2 \beta \cdot G \cdot \alpha \cdot y_N + \beta \cdot G \cdot \alpha \cdot y_N}{\cos \beta} = \frac{G \cdot \alpha \cdot y_N}{\cos \beta}$$

$$\text{or } y_N = r \cdot \cos \beta$$

$$-\sin \beta \cdot \sigma_{xy} + \cos \beta \cdot \sigma_{xz} = G \cdot \alpha \cdot r$$

$$[\sigma(N)]_{(\vec{x}, \vec{e}_r, \vec{e}_\theta)} = \begin{bmatrix} 0 & 0 & G \cdot \alpha \cdot r \\ 0 & 0 & 0 \\ G \cdot \alpha \cdot r & 0 & 0 \end{bmatrix}_{(\vec{x}, \vec{e}_r, \vec{e}_\theta)}$$

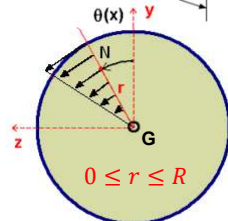
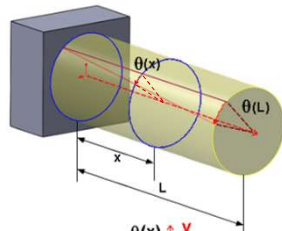


3.6 ÉTUDE DU CHAMP DE CONTRAINTES

39

3.6.2 Torsion : Étude du champ de contraintes dans le repère polaire

Observons le **champ de contraintes dans le repère polaire** $(G, \vec{x}, \vec{e}_r, \vec{e}_\theta)$



Section : abscisse x

IMT Nord Europe
École Mines-Télécom
IMT-Université de Lille

$$[\sigma(N)] = \begin{bmatrix} 0 & 0 & G \cdot \alpha \cdot r \\ 0 & 0 & 0 \\ G \cdot \alpha \cdot r & 0 & 0 \end{bmatrix}_{(\vec{x}, \vec{e}_r, \vec{e}_\theta)} \quad \alpha: \text{angle unitaire de torsion}$$

▪ Vecteur de contrainte

$$\vec{\sigma}(N, \vec{x}) = \vec{\sigma} \vec{x} = \begin{bmatrix} 0 & 0 & G \cdot \alpha \cdot r \\ 0 & 0 & 0 \\ G \cdot \alpha \cdot r & 0 & 0 \end{bmatrix} \begin{bmatrix} 1 \\ 0 \\ 0 \end{bmatrix} = \begin{bmatrix} 0 \\ 0 \\ G \cdot \alpha \cdot r \end{bmatrix}$$

$$\vec{\sigma}(N, \vec{x}) = G \cdot \alpha \cdot r \cdot \vec{e}_\theta \quad \text{avec} \quad \alpha = \frac{-M(x)}{G \cdot I_{G0}} = \frac{C(x)}{G \cdot I_{G0}}$$

Contrainte de cisaillement en fonction de α Diapo 34

$$\tau(r) = G \cdot \alpha \cdot r \Rightarrow \tau_{\max} = \tau(R) = G \cdot \alpha \cdot R$$

Contrainte de cisaillement en fonction de $M(x)$

$$\tau(r) = \frac{C(x)}{I_{G0}} r \Rightarrow \tau_{\max} = \tau(R) = \frac{C(x)}{I_{G0}} R$$

PARTIE 3

3 LA TORSION

3.1 TORSION: CARACTÉRISATION

3.2 GÉOMÉTRIE DES POUTRES

3.3 ESSAI DE TORSION

3.4 ÉTUDE DU CHAMP DE DÉPLACEMENT

3.5 ÉTUDE DU CHAMP DE DEFORMATIONS

3.6 ÉTUDE DU CHAMP DE CONTRAINTES

3.7 DIMENSIONNEMENT

3.8 À RETENIR

3.9 CONCENTRATION DE CONTRAINTE

IMT Nord Europe
École Mines-Télécom
IMT-Université de Lille

3.7 DIMENSIONNEMENT

41

3.7 Torsion : Dimensionnement

Condition de résistance

$$|\tau_{max}| \leq \tau_u = R_{pg}$$

R_{pg} : Résistance pratique au glissement $R_{pg} = \frac{R_{eg}}{s}$

- R_{eg} limite élastique au glissement du matériau
- s coefficient de sécurité (supérieur à 1).

$$|\tau_{max}| \leq R_{pg}$$

$$\frac{-C(x)}{I_{G0}} R_{max} \leq R_{pg}$$

A la condition de résistance s'ajoute en torsion une **condition de rigidité**, qui limite l'angle unitaire de torsion à une valeur maximale au-delà de laquelle l'hypothèse de planéité de section n'est plus respectée.

Condition de rigidité

$$\alpha_{max} = 0.25 \text{deg/m}$$

L'angle unitaire de torsion α ne doit pas dépasser une valeur limite α_{max} imposée par l'expérience (en pratique $\alpha_{max} = 0.25 \text{deg/m}$, en mécanique



$$|\alpha| = \left| \frac{-M(x)}{G \cdot I_{G0}} \right| \leq \alpha_{max}$$

3.8 LA TORSION

42

3.8 A RETENIR

Torseur des éléments de réduction

$$_G \{T_{Fext/g}\} = \begin{Bmatrix} 0 & M(x) \\ 0 & 0 \\ 0 & 0 \end{Bmatrix}_{(\vec{x}_G, \vec{y}_G, \vec{z}_G)}$$

Etat de contrainte $\forall N$

$$[\sigma(r)] = \begin{bmatrix} 0 & 0 & \sigma_{13}(r) \\ 0 & 0 & 0 \\ \sigma_{31}(r) & 0 & 0 \end{bmatrix}_{(\vec{x}, \vec{e}_r, \vec{e}_\theta)}$$

Repère polaire

Bilan Loi de Hooke généralisée \Rightarrow

$$\begin{aligned} \tau(r) = \sigma_{13}(r) &= \frac{-M(x)}{I_{G0}} r \quad 0 \leq r \leq R \\ \alpha(x) &= \frac{-M(x)}{G \cdot I_{G0}} \\ \tau(r) &= \alpha(x) \cdot G \cdot r \end{aligned}$$

 I_{G0} : moment polaire

$$\sigma_{13} = 2\mu \varepsilon_{13} \quad \mu = G = \frac{E}{2(1+\nu)}$$

Etat de déformation

$$[\varepsilon(r)] = \begin{bmatrix} 0 & 0 & \varepsilon_{13}(r) \\ 0 & 0 & 0 \\ \varepsilon_{31}(r) & 0 & 0 \end{bmatrix}_{(\vec{x}, \vec{e}_r, \vec{e}_\theta)}$$

Repère polaire

 $\alpha(x)$: Angle unitaire de torsion $\theta(x)$: Angle de rotation de section abscisse $S(x)$ / section abscisse $S(0)$

Détermination de l'angle de rotation

$$\begin{aligned} \text{Si section constante} &\Rightarrow \theta(x) = \alpha \cdot x \\ \text{Si section variable} &\Rightarrow \theta(x) = \int_0^x \alpha(x) dx \end{aligned}$$

Critères de dimensionnement

➤ Critère en contrainte

$$\tau_{max} < \tau_u = R_{pg} = \frac{R_{eg}}{s} \quad s > 1,5$$

➤ Condition de rigidité (Critère en déformation)

$$\alpha < 0,25^\circ/m$$



5 LA TORSION

43



3.8 A Savoir

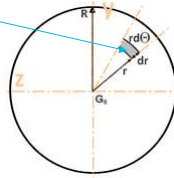
Détermination des moments polaires d'inertie de section (I_{G0}) : Inertie de la section par rapport à un point (G_0)

Les **sections « S »** utilisées dans le cadre de ce cours sont des **sections circulaires** pleines ou creuses. Le moment est calculé par rapport au point qui coupe la fibre moyenne de la poutre

$$= I_{Gz} = I_{Gy}$$

Moment polaire :
$$I_{G0} = \iint_S r^2 ds = \iint_S (y^2 + z^2) ds = \iint_S y^2 ds + \iint_S z^2 ds$$

$$ds = dr \cdot r d\theta$$



I_{Gz} : moment quadratique de « S » par rapport à l'axe Gz

I_{Gy} : moment quadratique de « S » par rapport à l'axe Gy

Section pleine :

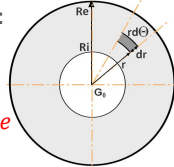
$$D = 2 \cdot R$$

R : rayon

$$I_{G0} = \int_0^R \int_0^{2\pi} r^2 \cdot r d\theta dr = 2\pi \int_0^R r^3 dr$$

$$I_{G0} = \frac{\pi R^4}{2} = \frac{\pi D^4}{32}$$

Section creuse :



$$I_{G0} = \int_{Ri}^{Re} \int_0^{2\pi} r^2 \cdot r d\theta dr = 2\pi \int_{Ri}^{Re} r^3 dr$$

R_e : rayon externe
 R_i : rayon interne

$$I_{G0} = 2\pi \frac{(R_e^4 - R_i^4)}{4} = \pi \frac{(R_e^4 - R_i^4)}{2} = \frac{\pi(D_e^4 - D_i^4)}{32}$$

PARTIE 3

3 LA TORSION

3.1 TORSION: CARACTÉRISATION

3.2 GÉOMÉTRIE DES POUTRES

3.3 ESSAI DE TORSION

3.4 ÉTUDE DU CHAMP DE DÉPLACEMENT

3.5 ÉTUDE DU CHAMP DE DEFORMATIONS

3.6 ÉTUDE DU CHAMP DE CONTRAINTE

3.7 DIMENSIONNEMENT

3.8 À RETENIR

3.9 CONCENTRATION DE CONTRAINTE

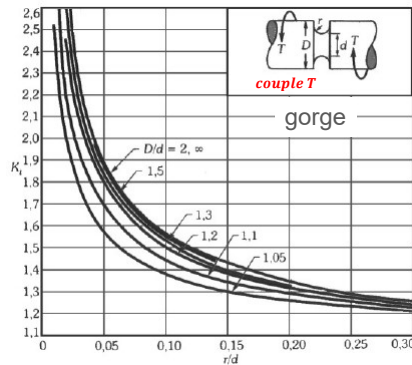
3.9 CONCENTRATION DE CONTRAINTE

45

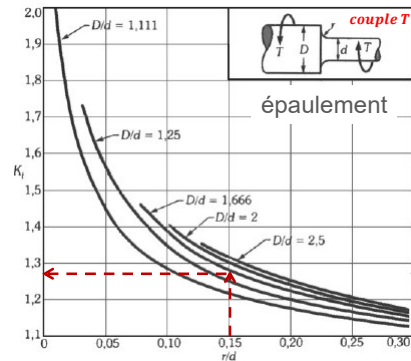
3.9 Torsion : Dimensionnement : Concentration de contraintes

Concentration de contraintes


En cas de **variation brutale** de section, la contrainte nominale est multipliée par un coefficient de concentration de contraintes K_t qui dépend de "l'accident de forme"



$$|\tau_{nom}| \leq \frac{T}{\pi d^4} \cdot \frac{d}{2}$$



$$K_t |\tau_{nom}| \leq R_{pg}$$



IMT Nord Europe
École Mines-Télécom
IMT-Université de Lille

Résistance des Matériaux (RdM)

Partie 3

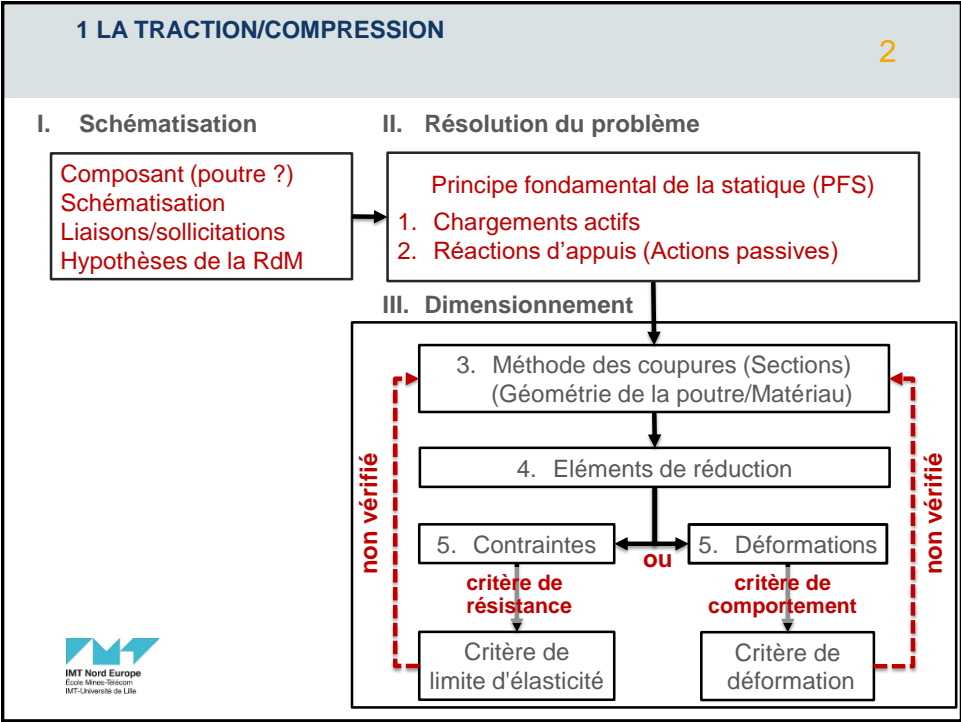
Intervenant
Dr. A. AYADI

Partie 3: Sollicitations simples

- Flexion pure
- Flexion simple

Séance 6

15/03/2023



IMT Nord Europe
École Mines-Télécom
IMT-Université de Lille

1 LA TRACTION/COMPRESSION

3

1.1 Rappel: Sollicitations simples (Centre d'une section)

▪ Expression générale d'un torseur des éléments de reduction:

$$\left\{ \mathcal{T}_{F_{ext}/g} \right\}_G = \left\{ \overrightarrow{F_{ext}} \atop \overrightarrow{M_{ext}} \right\}_G = \left\{ \begin{matrix} N & M_x \\ T_y & M_y \\ T_z & M_z \end{matrix} \right\}_G$$

Repère local (au point G)
 $(\vec{x}_G; \vec{y}_G; \vec{z}_G)$


Expression du torseur dépend de la position de la coupe fictive

➤ Selon les valeurs de la résultante $\overrightarrow{F_{ext}}$ et du moment $\overrightarrow{M_{ext}}$ du torseur des éléments de réduction $\left\{ \mathcal{T}_{F_{ext}/g} \right\}_G$, on identifie les sollicitations simples auxquelles les poutres sont soumises:

Éléments de réduction

Dans le cadre de ce cours, on traite principalement des problèmes plans (2D)

N	T _y ou T _z	M _x	M _y ou M _z	Sollicitations
≠0	=0	=0	=0	N<0 Traction N>0 Compression
=0	≠0	=0	=0	Cisaillement simple
=0	=0	≠0	=0	Torsion pure
=0	=0	=0	≠0	Flexion pure
=0	≠0	=0	≠0	Flexion simple



PARTIE 3

1 LA TRACTION / COMPRESSION

2 LE CISAILLEMENT PUR

3 LA TORSION

4 LA FLEXION

- La flexion pure
- La flexion simple



PARTIE 3

4 LA FLEXION



4.1 FLEXION: CARACTÉRISATION

4.2 LA FLEXION PURE

4.3 FLEXION PURE PLANE

4.4 LA FLEXION SIMPLE

4.5 EXEMPLES D'APPLICATION

4.6 LA FLEXION PURE PLANE (complément)

4.8 LA FLEXION DÉVIÉE (hors programme)

PARTIE 3

4 LA FLEXION



4.1 FLEXION: CARACTÉRISATION

1. 3 types de flexion
2. Rappel
3. Relation $T_y(x)$ et $M_z(x)$
4. hypothèses de la RDM flexion

4.2 LA FLEXION PURE

4.3 FLEXION PURE PLANE

4.4 LA FLEXION SIMPLE

4.5 EXEMPLES D'APPLICATION

4.6 LA FLEXION PURE PLANE (complément)

4.8 LA FLEXION DÉVIÉE (hors programme)

4.1 FLEXION: CARACTÉRISATION

7

4.1.1 Les 3 Types de Flexion


On différencie 3 types de flexion caractérisées chacune par un torseur des éléments de réduction spécifique (ci-dessous). Parmi ces 3 types , 2 seront principalement abordés : la flexion pure plane, et la flexion simple (la plus fréquente).

$(G_0; \vec{e}_x, \vec{e}_y, \vec{e}_z)$

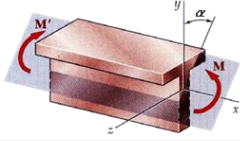
est le Repère principal d'inertie de la poutre.

$G\{\mathcal{T}_{ext/g}\} = \begin{pmatrix} 0 & 0 \\ 0 & M_y = Msina \\ 0 & M_z = Mcosa \end{pmatrix}_{G(\vec{e}_x, \vec{e}_y, \vec{e}_z)}$

Exemple :



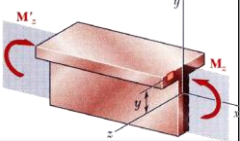
Flexion pure



$\begin{pmatrix} 0 & 0 \\ 0 & M_y = Msina \\ 0 & M_z = Mcosa \end{pmatrix}_G$


Le moment M n'est pas porté par l'un des axes \vec{e}_y, \vec{e}_z du repère principal de la poutre $(\vec{e}_x, \vec{e}_y, \vec{e}_z)$

Flexion pure plane

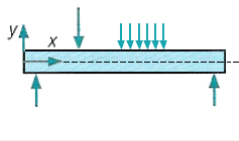


$\begin{pmatrix} 0 & 0 \\ 0 & 0 \\ 0 & M_z \end{pmatrix}_G$ ou $\begin{pmatrix} 0 & 0 \\ 0 & M_y \\ 0 & 0 \end{pmatrix}_G$

Flexion 4 points




Flexion simple (plane)



$\begin{pmatrix} 0 & 0 \\ T_y & 0 \\ 0 & M_z \end{pmatrix}_G$ ou $\begin{pmatrix} 0 & 0 \\ 0 & M_y \\ T_z & 0 \end{pmatrix}_G$

Flexion trois points



4.1 FLEXION: CARACTÉRISATION

8

4.1.2 Rappel

DÉMARCHE GÉNÉRALE DE RÉOLUTION D'UN PROBLÈME DE RDM

III. Dimensionnement

3. Méthode des coupures (Sections) (Géométrie de la poutre/Matériau)

4. Eléments de réduction/ cohésion

5. Contraintes σ_{11}

critère de résistance

Critère de limite d'élasticité

ou

5. Déformée $\epsilon_{11}, \epsilon_{22}, \epsilon_{33}$

critère de comportement

Critère de déformation

non vérifié

non vérifié

Flexion simple

$G\{\mathcal{T}_{ext/g}\} = \begin{pmatrix} 0 & 0 \\ T_y(x) & 0 \\ 0 & M_z(x) \end{pmatrix}_{G(\vec{x}, \vec{y}, \vec{z})}$ ou $\begin{pmatrix} 0 & 0 \\ 0 & M_y(x) \\ T_z(x) & 0 \end{pmatrix}_G$

Flexion pure

$G\{\mathcal{T}_{ext/g}\} = \begin{pmatrix} 0 & 0 \\ 0 & M_y(x) \\ 0 & M_z(x) \end{pmatrix}_{G(\vec{x}, \vec{y}, \vec{z})}$

Flexion déviée et flexion composée ne sont pas au programme

4

4.1 FLEXION: CARACTÉRISATION

9

4.1.3 Equations d'équilibre

N	T_y ou T_z	M_x	M_z ou M_y	Identification de la sollicitation
=0	$\neq 0$	=0	$\neq 0$	Flexion simple (plane)
=0	=0	=0	$\neq 0$	Flexion pure plane

Expression du torseur des Eléments de réduction

$${}_G\{\mathcal{T}_{ext/g}\} = \begin{Bmatrix} 0 \\ T_y(x) \\ 0 \\ 0 \\ M_z(x) \end{Bmatrix}_{(\vec{x}, \vec{y}, \vec{z})_G} \quad \text{ou} \quad \begin{Bmatrix} 0 \\ 0 \\ M_y(x) \\ T_z(x) \\ 0 \end{Bmatrix}_{(\vec{x}, \vec{y}, \vec{z})_G} \quad \text{Flexion pure} \quad \begin{Bmatrix} 0 \\ 0 \\ M_y(x) \\ 0 \\ M_z(x) \end{Bmatrix}_{(\vec{x}, \vec{y}, \vec{z})_G}$$

Expression des équations d'équilibre

$${}_G\{\mathcal{T}_{ext/g}\} + {}_G\{\mathcal{T}^{d \rightarrow g}\} = \begin{cases} \iint_{(\Omega)} \sigma_n d\Omega = 0 & \iint_{(\Omega)} y \cdot \tau_z - z \cdot \tau_y d\Omega = 0 \\ T_y(x) + \iint_{(\Omega)} \tau_y d\Omega = 0 & M_y(x) + \iint_{(\Omega)} z \cdot \sigma_n d\Omega = 0 \\ T_z(x) + \iint_{(\Omega)} \tau_z d\Omega = 0 & M_z(x) + \iint_{(\Omega)} y \cdot \sigma_n d\Omega = 0 \end{cases}$$

Trois cas sont possibles:

- $T_y(x) = M_z(x) = 0$
- ou $T_z(x) = M_y(x) = 0$
- ou $T_z(x) = T_y(x) = 0$

$(\vec{x}_G \quad \vec{y}_G \quad \vec{z}_G)$



4.1 FLEXION: CARACTÉRISATION

10

4.1.4 Relation effort tranchant-moment fléchissant : flexion simpleSoit une poutre chargée dans son plan (\vec{x}, \vec{y}) par des:

- forces concentrées \vec{F}_i appliquées en x_i
- charges réparties $p_j(x)$ appliquées entre (b_j, c_j)
- des moments \vec{M}_k

Eléments de réduction au point G d'abscisse X:

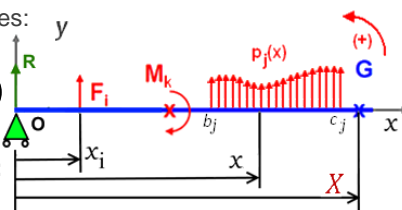
$$\begin{cases} T_y(X) = R + \sum_{i=1}^n F_i + \sum_{j=1}^p \int_{b_j}^{c_j} p_j(x) dx \\ M_z(X) = \sum_{k=1}^m M_k - RX - \sum_{i=1}^n F_i(X - x_i) - \sum_{j=1}^p \int_{b_j}^{c_j} p_j(x)(X - x) dx \end{cases}$$

Par dérivation de $M_z(X)$ par rapport à X , on constate que $M_z(X)$ est lié à $T_y(X)$ par une relation de dérivation en effet:

$$\frac{dM_z(X)}{dX} = -R - \sum_{i=1}^n F_i - \sum_{j=1}^p \int_{b_j}^{c_j} p_j(x) dx = -T_y(X) \implies \frac{dM_z(X)}{dX} = -T_y(X)$$

Par analogie, un calcul suivant le même raisonnement dans le plan (\vec{x}, \vec{z}) donne:

$$\frac{dM_y(X)}{dX} = T_z(X)$$



4.1 FLEXION: CARACTÉRISATION

11



4.1.4 Relation effort tranchant-moment fléchissant : flexion pure

Dans le cas de la **flexion pure**: $\vec{T} = \vec{0} \Rightarrow T_y = 0, T_z = 0$



flexion pure:

- Pas d'efforts tranchants \rightarrow Pas de contrainte de cisaillement
- Flexion induite par des couples directement opposés

$${}_G\{\mathcal{T}_{ext/g}\} = \begin{Bmatrix} 0 & 0 \\ 0 & M_y \\ 0 & M_z \end{Bmatrix} \quad \vec{T} = \vec{0} \Rightarrow \frac{d\vec{M}}{dX} = -T_y \vec{y} + T_z \vec{z} \Rightarrow \boxed{\frac{d\vec{M}}{dX} = \vec{0}}$$

Si le problème est dans le plan (\vec{x}, \vec{y}) $\frac{dM_z(X)}{dX} = 0$

Si le problème est dans le plan (\vec{x}, \vec{z}) $\frac{dM_y(X)}{dX} = 0$

Le moment fléchissant M d'une poutre chargée en flexion pure ($\vec{T} = \vec{0}$) est constant.



IMT Nord Europe
Ecole Mines-Telecom
IMT-Université de Lille

X: abscisse du centre d'inertie G d'une section virtuelle (voir slide d'avant)

4.1 FLEXION: CARACTÉRISATION

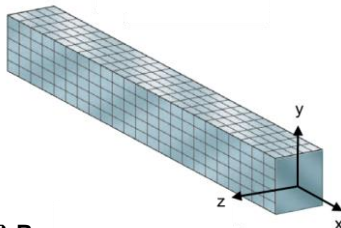
12

4.1.5 Quelques hypothèses de la RdM dans le cadre de la flexion

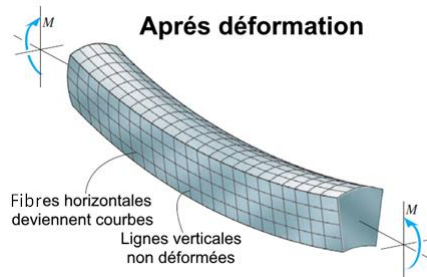
□ Hypothèses

- Les poutres considérées ont des sections droites ayant un axe de symétrie (G, \vec{y})
- Le comportement du matériau reste linéaire élastique
- L'hypothèse de Bernoulli est vérifiée: **Toute section plane avant déformation se transforme en une section plane après déformation.**

Avant déformation



Après déformation



□ Remarque



IMT Nord Europe
Ecole Mines-Telecom
IMT-Université de Lille

Pour la base $(\vec{e}_x, \vec{e}_y, \vec{e}_z)$ utilisée par la suite, les axes \vec{y}, \vec{z} seront **toujours les axes principaux de la section de la poutre**, c'est dans ce repère que sont toujours déterminés les éléments de réduction, les matrices de contraintes et de déformations.

PARTIE 3

4 LA FLEXION



4.1 FLEXION: CARACTÉRISATION

4.2 LA FLEXION PURE

1. Etude champ de contraintes
2. Etude champ de déformation
3. Etude champ de déplacement
4. Équations d'équilibre

4.3 FLEXION PURE PLANE

4.4 LA FLEXION SIMPLE

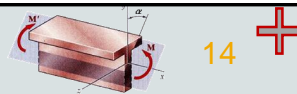
4.5 EXEMPLES D'APPLICATION

4.6 LA FLEXION PURE PLANE (complément)

4.8 LA FLEXION DÉVIÉE (hors programme)

4.2 FLEXION PURE

4.2.1 Flexion pure : champ de contraintes



En **flexion pure**, l'effort tranchant $\vec{T} = \vec{0} \Rightarrow T_z(x) = 0, T_y(x) = 0$

la contrainte de cisaillement $\tau(\vec{M})$ est nulle dans toute section droite.

Ainsi, en tout point $M(x, y, z)$ de la section (S) de la poutre, le

vecteur contrainte $\vec{T}(M, \vec{x})$ s'exprime par:

$$\left. \begin{aligned} \vec{T}(M, \vec{x}) &= \sigma_{xx}(x, y, z) \vec{x} + \overrightarrow{\tau(M)} \\ \overrightarrow{\tau(M)} &= \sigma_{yx} \vec{y} + \sigma_{zx} \vec{z} = \vec{0} \end{aligned} \right\} \Rightarrow \vec{T}(M, \vec{x}) = \sigma_{xx}(x, y, z) \vec{x}$$

➤ Le vecteur contrainte $\vec{T}(M, \vec{x})$ se réduit à sa composante normale:

$$\vec{T}(M, \vec{x}) = \begin{bmatrix} \sigma_{xx} & \sigma_{xy} & \sigma_{xz} \\ \sigma_{yx} & 0 & 0 \\ \sigma_{zx} & 0 & 0 \end{bmatrix} \cdot \begin{bmatrix} 1 \\ 0 \\ 0 \end{bmatrix} = \begin{bmatrix} \sigma_{xx}(x, y, z) \\ 0 \\ 0 \end{bmatrix}$$

$$\sigma_{yx} = \frac{T_y}{S} = 0$$

$$\sigma_{zx} = \frac{T_z}{S} = 0$$

➤ La matrice d'état de contraintes, dans le repère (de la section), n'a qu'une seule composante non nulle et elle s'écrit :



$$M[\sigma] = \begin{bmatrix} \sigma_{xx}(x, y, z) & 0 & 0 \\ 0 & 0 & 0 \\ 0 & 0 & 0 \end{bmatrix}_{(\vec{x}, \vec{y}, \vec{z})}$$

Le champ de contraintes est uni-axial

PARTIE 3

4 LA FLEXION



4.1 FLEXION: CARACTÉRISATION

4.2 LA FLEXION PURE

- 1. Etude champ de contraintes
- 2. Etude champ de déformation
- 3. Etude champ de déplacement
- 4. Équations d'équilibre

4.3 FLEXION PURE PLANE

4.4 LA FLEXION SIMPLE

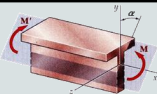
4.5 EXEMPLES D'APPLICATION

4.6 LA FLEXION PURE PLANE (complément)

4.8 LA FLEXION DÉVIÉE (hors programme)

4.2 FLEXION PURE

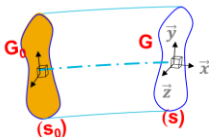
4.2.2 Flexion pure: champ de déformation



16

La poutre est constituée d'un matériau élastique, isotrope et homogène, on utilise la loi de Hooke généralisée pour déterminer à partir du champ de contraintes $M[\sigma]$ le champ de déformation $M[\epsilon]$:

loi de Hooke généralisée $\Rightarrow \epsilon_{ii} = \frac{\sigma_{ii}}{E} - \nu \frac{\sigma_{jj} + \sigma_{kk}}{E} \Rightarrow \begin{cases} \epsilon_{xx} = \frac{\sigma_{xx}}{E} - \nu \frac{\sigma_{yy} + \sigma_{zz}}{E} = \frac{\sigma_{xx}}{E} \\ \epsilon_{yy} = \frac{\sigma_{yy}}{E} - \nu \frac{\sigma_{zz} + \sigma_{xx}}{E} = -\nu \frac{\sigma_{xx}}{E} \\ \epsilon_{zz} = \frac{\sigma_{zz}}{E} - \nu \frac{\sigma_{xx} + \sigma_{yy}}{E} = -\nu \frac{\sigma_{xx}}{E} \end{cases}$



Ainsi, en flexion pure, en tout point $M(x,y,z)$ de la section (S) de la poutre:

avec $M[\sigma] = \begin{bmatrix} \sigma_{xx} & 0 & 0 \\ 0 & 0 & 0 \\ 0 & 0 & 0 \end{bmatrix}_{M(\vec{x}; \vec{y}; \vec{z})} \Rightarrow M[\epsilon] = \begin{bmatrix} \frac{\sigma_{xx}}{E} & 0 & 0 \\ 0 & -\nu \frac{\sigma_{xx}}{E} & 0 \\ 0 & 0 & -\nu \frac{\sigma_{xx}}{E} \end{bmatrix}_{M(\vec{x}; \vec{y}; \vec{z})}$



$M[\sigma] = \bar{\sigma}(M)$

$M[\epsilon] = \bar{\epsilon}(M)$

PARTIE 3

4 LA FLEXION



4.1 FLEXION: CARACTÉRISATION

4.2 LA FLEXION PURE

1. Etude champ de contraintes
2. Etude champ de déformation
3. Etude champ de déplacement
4. Équations d'équilibre

4.3 FLEXION PURE PLANE

4.4 LA FLEXION SIMPLE

4.5 EXEMPLES D'APPLICATION

4.6 LA FLEXION PURE PLANE (complément)

4.8 LA FLEXION DÉVIÉE (hors programme)

4.2 FLEXION PURE

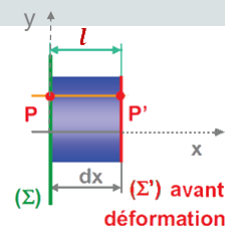
4.2.3 Flexion pure: Etude du champ de déplacement

18

Soient une poutre droite et deux sections droites (Σ) et (Σ') de cette poutre, très proches l'une de l'autre.

On observe une fibre PP' de longueur initiale l

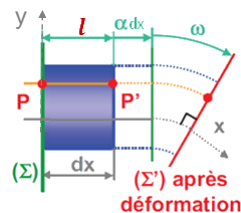
$$\begin{matrix} P(x, y, z) \\ P'(x + dx, y, z) \end{matrix} \Rightarrow \overrightarrow{PP'} \begin{pmatrix} dx \\ 0 \\ 0 \end{pmatrix}$$



Sous l'action d'une sollicitation de **flexion pure** d'après **l'hypothèse de Navier-Bernoulli** : toute section droite plane avant déformation, reste plane après déformation.

Le respect de cette hypothèse, permet de déduire que l'allongement dl de PP' est dû à :

- une translation de la section (Σ') par $\alpha \cdot dx$ selon l'axe $(G_0 \vec{x})$
- une rotation de la section (Σ') autour d'un axe appartenant au plan de (Σ') par $\vec{\omega} = \omega_y \vec{y} + \omega_z \vec{z}$, qui génère un allongement de la fibre pouvant être mis sous la forme : $(\beta \cdot y + \gamma \cdot z) \cdot dx$

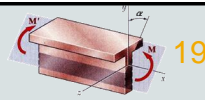


L'allongement dl de la fibre PP' peut donc s'exprimer par :

$$dl = \alpha \cdot dx + \beta \cdot dx \cdot y + \gamma \cdot dx \cdot z$$

4.2 FLEXION PURE

4.2.3 Flexion pure: Etude du champ de déplacement

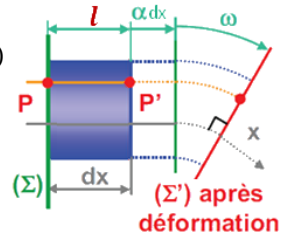


L'allongement dl d'une fibre PP'

$P(x, y, z)$

$P'(x + dx, y, z)$

$$dl = \underbrace{\alpha \cdot dx}_{\text{translation de la section droite } (\Sigma')} + \underbrace{\beta \cdot dx \cdot y + \gamma \cdot dx \cdot z}_{\text{rotation de la section droite } (\Sigma')}$$



L'allongement dl d'une fibre PP' est une fonction linéaire en y et z

On peut en déduire la déformation normale ε_{xx} de la fibre PP'

L'expression générale de ε_{xx} au point $P(x, y, z)$ d'une poutre soumise à **flexion pure** :

$$\varepsilon_{xx}(P(x, y, z)) = \varepsilon_{xx}(y, z) = \lim_{dx \rightarrow 0} \frac{dl}{dx} = \alpha + \beta y + \gamma z$$



α ; β et γ sont des inconnues à déterminer par la suite

PARTIE 3

4 LA FLEXION

4.1 FLEXION: CARACTÉRISATION

4.2 LA FLEXION PURE

1. Etude champ de contraintes
2. Etude champ de déformation
3. Etude champ de déplacement
4. Équations d'équilibre

4.3 FLEXION PURE PLANE

4.4 LA FLEXION SIMPLE

4.5 EXEMPLES D'APPLICATION

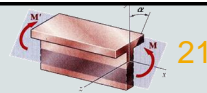
4.6 LA FLEXION PURE PLANE (complément)

4.8 LA FLEXION DÉVIÉE (hors programme)



4.2 FLEXION PURE

4.2.4 Flexion pure : Equations d'équilibre



21

Equations d'équilibre d'une section

$$\left. \begin{aligned} {}_G\{\mathcal{T}_{ext/g}\} + {}_G\{\mathcal{T}_{d/g}\} &= \{0\} \\ {}_G\{\mathcal{T}_{ext/g}\} + {}_G\{\mathcal{T}_{Fint/(S)}\} &= \{0\} \end{aligned} \right\} \quad \begin{aligned} &\left\{ \begin{aligned} \iint_S \sigma_{xx} dS &= 0 & \dots \\ \dots & & M_y + \iint_S z \cdot \sigma_{xx} dS = 0 \\ \dots & & M_z - \iint_S y \cdot \sigma_{xx} dS = 0 \end{aligned} \right. \end{aligned}$$

(G centre de gravité de la section)

Pour tout point M(x,y,z) de la section (S) de la poutre sollicitée en flexion pure :

$${}_M[\sigma] = \begin{bmatrix} \sigma_{xx}(x, y, z) & 0 & 0 \\ 0 & 0 & 0 \\ 0 & 0 & 0 \end{bmatrix}_{(\vec{x}; \vec{y}; \vec{z})}$$

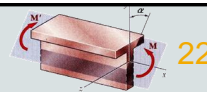
L'étude des équations d'équilibre va permettre d'exprimer σ_{xx} en fonction de M_y et M_z



IMT Nord Europe
Ecole Mines-Télécom
IMT-Université de Lille

4.2 FLEXION PURE

4.2.4 Flexion pure : Equations d'équilibre



22



$$\left. \begin{aligned} {}_G\{\mathcal{T}_{ext/g}\} + {}_G\{\mathcal{T}_{d/g}\} &= \{0\} \\ {}_G\{\mathcal{T}_{ext/g}\} + {}_G\{\mathcal{T}_{Fint/(S)}\} &= \{0\} \end{aligned} \right\} \quad \begin{aligned} &\left\{ \begin{aligned} \iint_S \sigma_{xx} dS &= 0 & \dots \\ \dots & & M_y + \iint_S z \cdot \sigma_{xx} dS = 0 \\ \dots & & M_z - \iint_S y \cdot \sigma_{xx} dS = 0 \end{aligned} \right. \end{aligned}$$

(G centre de gravité de la section)

En rappelant l'expression de:
 ■ la loi de Hooke uni-axiale: $\sigma_{xx} = \mathbf{E} \varepsilon_{xx}$
 ■ ε_{xx} pour la **flexion pure**: $\varepsilon_{xx} = \alpha + \beta y + \gamma z$

Alors, la **contrainte normale** (σ_{xx}) s'exprime par:

$$\sigma_{xx} = k_1 + k_2 y + k_3 z$$

$$\Rightarrow \left\{ \begin{aligned} \iint_S (k_1 + k_2 y + k_3 z) dS &= 0 \\ M_y + \iint_S z \cdot \sigma_{xx} dS &= 0 \\ M_z - \iint_S y \cdot \sigma_{xx} dS &= 0 \end{aligned} \right. \Rightarrow \left\{ \begin{aligned} k_1 S + k_2 \iint_S y dS + k_3 \iint_S z dS &= 0 \\ M_y + \iint_S z \cdot \sigma_{xx} dS &= 0 \\ M_z - \iint_S y \cdot \sigma_{xx} dS &= 0 \end{aligned} \right.$$



IMT Nord Europe
Ecole Mines-Télécom
IMT-Université de Lille

$\iint_S y dS$ et $\iint_S z dS$: moments statiques calculés par rapport aux axes principaux de section (tjs nuls) $\Rightarrow k_1 = 0 \Rightarrow (\alpha = 0)$

4.2 FLEXION PURE

23

4.2.4 Flexion pure : Equations d'équilibre

$$\begin{cases} k_1 = 0 \\ M_y + \iint_S z(k_2 y + k_3 z) dS = 0 \\ M_z - \iint_S y(k_2 y + k_3 z) dS = 0 \end{cases} \Rightarrow \begin{cases} k_1 = 0 \\ M_y + k_2 \iint_S zy dS + k_3 \iint_S z^2 dS = 0 \\ M_z - k_2 \iint_S y^2 dS - k_3 \iint_S zy dS = 0 \end{cases}$$

$\iint_S zy dS$ produit d'inertie de la section S par rapport à ses axes principaux est tjs nul

$\iint_S y^2 dS \iint_S z^2 dS$ Moments quadratiques d'inertie de la section S par rapport à ses axes principaux

$I_{Gyz} = \iint_S y \cdot z dS = 0$

$I_y = I_{Gy} = \iint_S z^2 dS \quad I_z = I_{Gz} = \iint_S y^2 dS$

$$\Rightarrow \begin{cases} k_1 = 0 \\ M_y + k_2 \iint_S zy dS + k_3 \iint_S z^2 dS = 0 \\ M_z - k_2 \iint_S y^2 dS - k_3 \iint_S zy dS = 0 \end{cases} \Rightarrow \begin{cases} k_1 = 0 \\ M_y + k_3 I_y = 0 \\ M_z - k_2 I_z = 0 \end{cases} \Rightarrow \begin{cases} k_1 = 0 \\ k_3 = -\frac{M_y}{I_{Gy}} \\ k_2 = \frac{M_z}{I_{Gz}} \end{cases}$$

IMT Nord Europe
Ecole Mines-Telecom
IMT-Université de Lille

Ainsi, la contrainte normale σ_{xx} s'exprime par:

$$\sigma_{xx} = \frac{M_z}{I_{Gz}} y - \frac{M_y}{I_{Gy}} z$$

4.2 FLEXION PURE

24

4.2.4 Flexion pure : Equations d'équilibre d'une section (Synthèse)

Expression de la contrainte normale σ_{xx} en fonction de M_y et M_z :

Flexion pure cas général
 $M_z \neq 0$ et $M_y \neq 0$

Flexion pure plane dans le plan (x,y)
 $M_z \neq 0$ et $M_y = 0$

Flexion pure plane dans le plan (x,z)
 $M_z = 0$ et $M_y \neq 0$

$\sigma_{xx} = \frac{M_z}{I_{Gz}} y - \frac{M_y}{I_{Gy}} z$	$\epsilon_{xx} = \frac{M_z}{E \cdot I_{Gz}} y - \frac{M_y}{E \cdot I_{Gy}} z$
$\sigma_{xx} = \frac{M_z}{I_{Gz}} y$	$\epsilon_{xx} = \frac{M_z}{E \cdot I_{Gz}} y$
$\sigma_{xx} = -\frac{M_y}{I_{Gy}} z$	$\epsilon_{xx} = -\frac{M_y}{E \cdot I_{Gy}} z$

Expression des matrices d'état de contraintes et de déformation

$$M[\sigma] = \begin{bmatrix} \sigma_{xx}(x, y, z) & 0 & 0 \\ 0 & 0 & 0 \\ 0 & 0 & 0 \end{bmatrix}_{(\vec{x}, \vec{y}, \vec{z})}$$

$$M[\sigma] = \begin{bmatrix} \epsilon_{xx}(x, y, z) & 0 & 0 \\ 0 & -\nu \epsilon_{xx} & 0 \\ 0 & 0 & -\nu \epsilon_{xx} \end{bmatrix}_{(\vec{x}, \vec{y}, \vec{z})}$$

IMT Nord Europe
Ecole Mines-Telecom
IMT-Université de Lille

En flexion pure l'état de contraintes est uniaxial

12

PARTIE 3

4 LA FLEXION

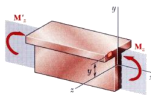


4.1 FLEXION: CARACTÉRISATION

4.2 LA FLEXION PURE

4.3 FLEXION PURE PLANE

1. Distribution de contraintes dans une section
2. Dimensionnement
3. Déformée en flexion pure plane
4. Flexion circulaire
5. Déflexion, comportement des fibres
6. Essai de flexion 4 points



4.4 LA FLEXION SIMPLE

4.5 EXEMPLES D'APPLICATION

4.6 LA FLEXION PURE PLANE (complément)

4.8 LA FLEXION DÉVIÉE (hors programme)

4.3 FLEXION PURE PLANE

4.3.1 Flexion pure plane: Distribution de contraintes dans une section

26

- Hypothèses:

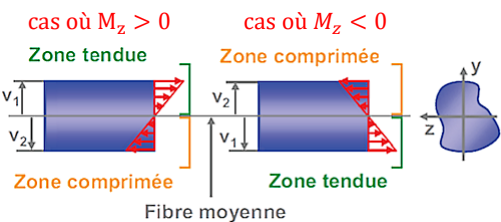
$M_z \neq 0$

$${}_G\{\mathcal{T}_{ext/g}\}_{(\vec{e}_x, \vec{e}_y, \vec{e}_z)} \equiv \begin{Bmatrix} 0 & 0 \\ 0 & 0 \\ 0 & M_z \end{Bmatrix}$$

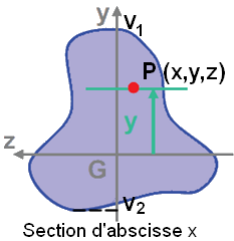
- Expression de la contrainte normale en P(x,y,z) :

$$\sigma_{xx}(P) = \frac{M_z(x)}{I_{Gz}} y$$

- Dans toute section droite d'abscisse x, la contrainte normale σ_{xx} est linéaire en y .



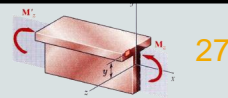
- $(G; \vec{x}, \vec{z})$ est appelé **plan neutre** c'est le lieu des points où la contrainte normale $\sigma_{xx} = 0$
- La contrainte normale est **maximale** pour les points les plus éloignés du **plan neutre** $(G; \vec{x}, \vec{z})$



- Remarque sur la Notation : l'indice i de Vi est choisi égal à 1 pour identifier la zone en traction, et 2 pour identifier la zone en compression.

4.3 FLEXION PURE PLANE

4.3.2 Flexion pure plane : Dimensionnement



□ Cas des matériaux symétriques:

- Pour un matériau symétrique les **limites élastiques en traction** R_e et en **compression** R'_e sont égales (en valeur absolue):

$$R_e = |R'_e|$$

- La **contrainte limite utile** (σ_u) en flexion pure correspond à:

$$\sigma_u = \frac{R_e}{s}$$

$s (> 1)$: coefficient de sécurité

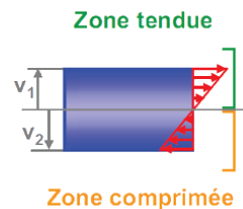
- La **condition de résistance** d'une poutre sollicitée en flexion doit respecter : la contrainte maximale (σ_{xx_max}) inférieure à la contrainte limite d'utilisation :

$$\sigma_{xx_max} \leq \sigma_u$$

- La **condition de résistance** s'écrit donc aussi sous la forme:

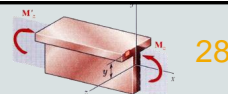
$$\frac{|M_z|}{I_{Gz}} v \leq \sigma_u$$

avec $v = \sup(V_1, V_2)$



4.3 FLEXION PURE PLANE

4.3.2 Flexion pure plane : Dimensionnement



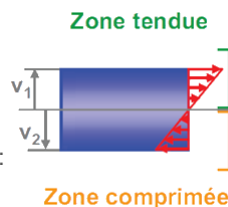
□ Cas des matériaux non symétriques ($R_e \neq |R'_e|$)

- Le dimensionnement de la poutre doit vérifier **deux équations** de résistance :
- Dans la zone tendue: • Dans la zone comprimée:

$$|\sigma_{xx}| = \frac{|M_z|}{I_{Gz}} V_1 \leq \sigma_u$$

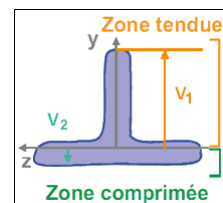
et

$$|\sigma_{xx}| = \frac{|M_z|}{I_{Gz}} V_2 \leq \sigma'_u$$



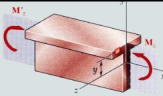
- De nombreux matériaux, comme **la fonte** ou **le béton**, ont une limite élastique en traction nettement inférieure à leur limite élastique en compression ($\sigma_e \ll |\sigma'_e|$).

- Pour **éviter le sur-dimensionnement** de la zone comprimée dans le cas de poutres formées par ces matériaux, le concepteur doit **optimiser** la géométrie de la section droite de façon à **minimiser** la contrainte maximale de traction.



4.3 FLEXION PURE PLANE

4.3.2 Flexion pure plane : Dimensionnement



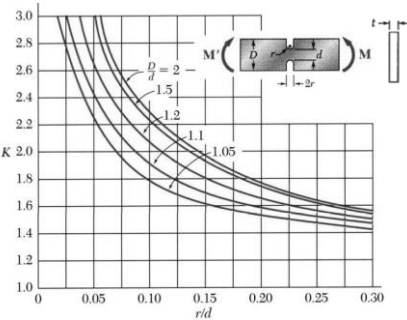
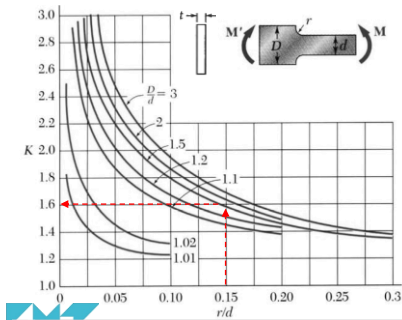
29

□ Concentration de contraintes

En cas de **variation brutale** de section , la contrainte nominale est multipliée par un coefficient de concentration de contraintes **K_t** qui depend de " l'accident de forme "

$$\sigma_{\max} = K_t \cdot \sigma_{\text{nom}} \quad \sigma_{\text{nom}} = \frac{M(d/2)}{t * d^3/12}$$

d, D: hauteur de la poutre
t : épaisseur de la poutre



IMT Nord Europe
Ecole Mines-Télécom
IMT-Université de Lille

Exemple: $\frac{r}{d} = 0,15$ $\frac{D}{d} = 1,5 \Rightarrow K_t = 1,6$

PARTIE 3

4 LA FLEXION

4.1 FLEXION: CARACTÉRISATION

4.2 LA FLEXION PURE

4.3 FLEXION PURE PLANE

1. Distribution de contraintes dans une section
2. Dimensionnement
3. Déformée en flexion pure plane
4. Flexion circulaire
5. Déflexion, comportement des fibres
6. Essai de flexion 4 points

4.4 LA FLEXION SIMPLE

4.5 EXEMPLES D'APPLICATION

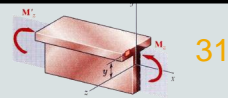
4.6 LA FLEXION PURE PLANE (complément)

4.8 LA FLEXION DÉVIÉE (hors programme)

IMT Nord Europe
Ecole Mines-Télécom
IMT-Université de Lille

4.3 FLEXION PURE PLANE

4.3.3 Déformée en flexion pure plane (plan (x,y))



31

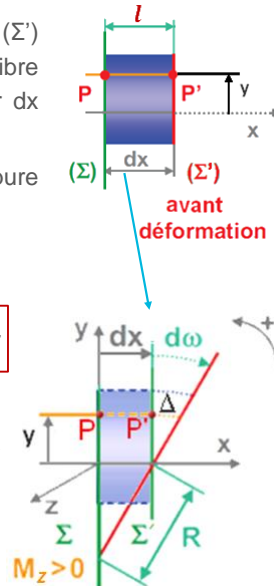
- Soient une poutre droite et deux sections droites (Σ) et (Σ') de cette poutre (très proches l'une de l'autre) et une fibre (PP') située à la cote y suivant l'axe (P, \vec{y}), de longueur dx avant déformation.
- Après déformation** sous une sollicitation de flexion pure plane (plan (x,y)), la fibre (PP') subit :
- Un allongement Δ suivant l'axe (P, \vec{x}), tel que :

$$\sigma_{xx} = \frac{M_z}{I_{Gz}} y \Rightarrow \Delta = \varepsilon_{xx} \cdot dx = \frac{\sigma_{xx}}{E} \cdot dx = \frac{M_z}{E \cdot I_{Gz}} y \cdot dx$$

La section droite (Σ') subit une rotation d'un angle infinitésimal $d\omega$ dans le plan (x,y) autour de z par rapport à son orientation initiale (**petites déformations**):

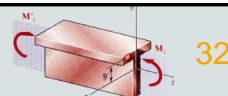


$$tg(d\omega) \approx d\omega = -\frac{\Delta}{y} = -\frac{M_z}{E \cdot I_{Gz}} dx$$



4.3 FLEXION PURE PLANE

4.3.3 Déformation en flexion pure plane (plan (x,y))

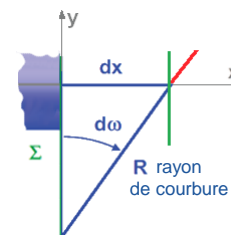


32

$$d\omega = -\frac{M_z}{E \cdot I_{Gz}} dx \quad \textcircled{1} \Rightarrow \frac{d\omega}{dx} = -\frac{M_z}{E \cdot I_{Gz}} \Rightarrow \left| \frac{d\omega/dx}{M_z} \right| = \frac{1}{E \cdot I_{Gz}}$$

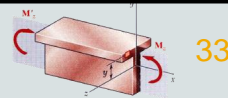
- Le terme $\left| \frac{d\omega/dx}{M_z} \right|$ est appelé **flexibilité** de la poutre.
- Le terme $E \cdot I_{Gz}$ est appelé **coefficient de rigidité à la flexion** de la poutre selon l'axe ($G; \vec{z}$).
- Pour caractériser la **flèche en flexion pure** de la poutre dans son ensemble, en RdM on cherche à déterminer la "**déformée**" de la **fibre moyenne**.
- La variation angulaire $d\omega$ permet de déterminer le rayon de courbure R de cette **fibre moyenne fléchie** :

$$d\omega \approx \sin(d\omega) = \frac{dx}{R} \Rightarrow R = \frac{dx}{d\omega} \quad \textcircled{1} \Rightarrow R = \frac{dx}{d\omega} = -\frac{E \cdot I_{Gz}}{M_z}$$



4.3 FLEXION PURE PLANE

4.3.4 Flexion circulaire

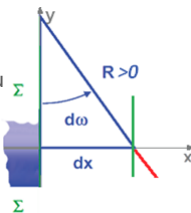


□ Flexion circulaire

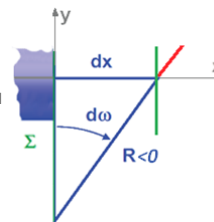
$$R = -\frac{E \cdot I_{Gz}}{M_z}$$

- Soit une poutre :
 - Elle possède une section droite uniforme (même section droite partout) alors I_{Gz} est constant.
 - Le moment de flexion M_z appliquée est constant tout le long de la poutre
- Dans ce cas :
 - Le rayon de courbure R est constant.
 - la déformée de la poutre décrit un **arc de cercle** et on parle de **flexion circulaire**.

$R > 0$ si il se situe du côté des y positifs



$R < 0$ si il se situe du côté des y négatifs



4.3 FLEXION PURE PLANE

4.3.5 Déflexion, comportement des fibres / plan neutre

34

- La **déflexion** de la poutre se fait suivant un **arc de cercle de rayon R**
- Soit une fibre (JK) située à une distance $y > 0$ et qui est parallèle à la fibre neutre (DE)
- La longueur initiale L de la poutre est celle de la fibre neutre: $L = R\theta$
- La longueur après déformation:

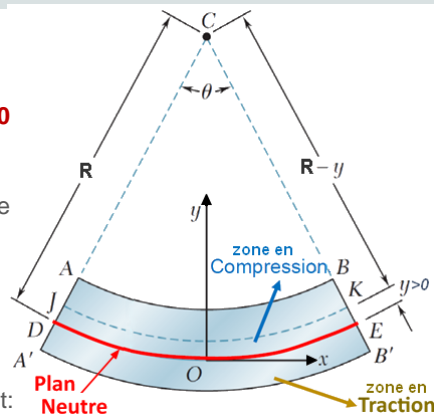
$$L' = (R - y)\theta$$
- La déformation axiale suivant l'axe $(0, \vec{x})$ est:

$$\varepsilon_x = \frac{L' - L}{L} = \frac{(R - y)\theta - R\theta}{R\theta} = -\frac{y}{R}$$

Conclusion ($M_z < 0$):



- Les fibres situées au dessus du plan neutre ($y > 0$) sont comprimées.
- Les fibres situées en dessous du plan neutre ($y < 0$) sont tendues.



Le cas de la figure
 $M_z < 0$

4.3 LA FLEXION PURE

35

4.3.6 A RETENIR

Torseur des éléments de réduction

$${}_G\{T_{Fext/g}\} = \begin{Bmatrix} 0 & 0 \\ 0 & M \cos \alpha \\ 0 & M \sin \alpha \end{Bmatrix}_{(\bar{x}_G, \bar{y}_G, \bar{z}_G)G}$$

Flexion pure plane

$$\alpha = 0 \text{ ou } \alpha = \frac{\pi}{2}$$

Etat de contrainte $v_1 \leq y \leq v_2$

$$[\sigma(y)] = \begin{Bmatrix} \sigma_{11}(y) & 0 & 0 \\ 0 & 0 & 0 \\ 0 & 0 & 0 \end{Bmatrix}_{(\bar{x}_G, \bar{y}_G, \bar{z}_G)}$$

Bilan Loi de Hooke \Rightarrow uniaxiale

$$\begin{cases} \sigma_{xx} = \frac{M \sin \alpha}{I_{Gz}} y - \frac{M \cos \alpha}{I_{Gy}} z \\ \varepsilon_{11}(y) = \frac{M \sin \alpha}{E \cdot I_{Gz}} y - \frac{M \cos \alpha}{E \cdot I_{Gy}} z \\ \sigma_{11}(y) = E \cdot \varepsilon_{11}(y) \end{cases}$$

I_{Gz}, I_{Gy} : moment quadratique

$$[\varepsilon(y)] = \begin{Bmatrix} \varepsilon_{11}(y) & 0 & 0 \\ 0 & -\nu \varepsilon_{11}(y) & 0 \\ 0 & 0 & -\nu \varepsilon_{11}(y) \end{Bmatrix}_{(\bar{x}_G, \bar{y}_G, \bar{z}_G)}$$

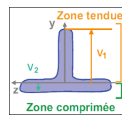
Etat de déformation

Rayon de courbure (cas de la flexion pure plane)

$$\alpha = \frac{\pi}{2}, R = -\frac{E \cdot I_{Gz}}{M_z} \quad \alpha = 0, R = \frac{E \cdot I_{Gy}}{M_y}$$

Critères de dimensionnement

➤ Critère en contrainte $s > 1,5$



$$v = \sup(v_1, v_2)$$

Matériaux non-symétriques

$$\text{traction} \quad |\sigma_{max}| = \frac{|M_z|}{I_{Gz}} v_1 \leq \sigma_u$$

$$\text{compression} \quad |\sigma_{max}| = \frac{|M_z|}{I_{Gz}} v_2 \leq \sigma'_u$$

Matériaux symétriques

$$\sigma_{max} = \frac{|M_z|}{I_{Gz}} v < \sigma_u = \frac{R_e}{s}$$



4.3 LA FLEXION PURE

36

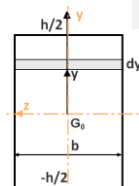
3.8 A Savoir

Détermination des moments quadratiques de sections simples

Sections rectangulaires pleines ou creuses

Moment quadratique / l'axe Gz : $I_{Gz} = \iint_S y^2 ds$

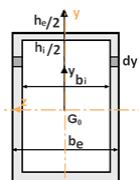
Section pleine :



$$I_{Gz} = \int_{-h/2}^{h/2} y^2 \cdot b dy = b \left[\frac{y^3}{3} \right]_{-h/2}^{h/2} = b \left(\frac{h^3}{24} + \frac{h^3}{24} \right)$$

$$I_{Gz} = \frac{bh^3}{12}$$

Section creuse :



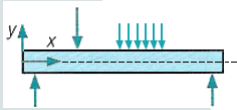
$$I_{Gz} = \int_{-h_e/2}^{h_e/2} y^2 \cdot b_e dy - \int_{-h_i/2}^{h_i/2} y^2 \cdot b_i dy$$

$$I_{Gz} = \frac{b_e h_e^3}{12} - \frac{b_i h_i^3}{12}$$



PARTIE 3

4 LA FLEXION



4.1 FLEXION: CARACTÉRISATION

4.2 LA FLEXION PURE

4.3 FLEXION PURE PLANE

4.4 LA FLEXION SIMPLE

1. Mise en place du problème
2. Évaluation des contraintes
3. Dimensionnement
4. Les déplacements en flexion simple
5. Équation de la déformée

4.5 EXEMPLES D'APPLICATION

4.6 LA FLEXION PURE PLANE (complément)

4.8 LA FLEXION DÉVIÉE (hors programme)

4.4 LA FLEXION SIMPLE

38

4.4.1 Mise en place du problème

→ On se place dans le cas de la flexion simple où les éléments de réduction, dans une section droite quelconque, sont :

$$_G\{\mathcal{T}_{ext}\} \equiv \begin{Bmatrix} 0 & 0 \\ T_y(x) & 0 \\ 0 & M_z(x) \end{Bmatrix}_{(\vec{e}_x, \vec{e}_y, \vec{e}_z)}$$

→ On s'intéressera tout d'abord au cas où : $\begin{cases} M_z \neq 0, M_y = 0 & \text{moment fléchissant} \\ T_y \neq 0, T_z = 0 & \text{effort tranchant} \end{cases}$

$$\frac{dM_z(x)}{dx} = -T_y(x)$$

→ On décomposera le champ de contraintes en :

- contraintes dues à $M_z \Rightarrow \sigma_{xx} = \frac{M_z}{I_{Gz}} \cdot y$
- contraintes dues à $T_y \Rightarrow \vec{\tau} = \sigma_{yx}\vec{e}_y + \sigma_{zx}\vec{e}_z$



Le résultat global sera obtenu **par superposition** de ces deux champs de contraintes.

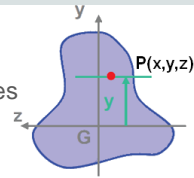
4.4 LA FLEXION SIMPLE

39

4.4.2 Évaluation des contraintes

❑ Contraintes dues à l'effort tranchant

Les contraintes dues à l'effort tranchant sont négligeables comparées à celles dues au moment de flexion. (démonstration non abordée dans ce cours)



❑ Contraintes dues au moment fléchissant

Les contraintes sont identiques à celles calculées en flexion pure, à la différence près que, ici, le moment fléchissant M_z est une fonction de x .

M_z génère donc des contraintes $\sigma_{xx}(x)$, normales à la section droite, telles que

$$\sigma_{xx}(x, y, z) = \frac{M_z(x)}{I_{Gz}(x)} y$$

La matrice des contraintes s'écrit:

$${}_G [\sigma_{ij}]_{(\vec{e}_x, \vec{e}_y, \vec{e}_z)} = \begin{bmatrix} \sigma_{xx} & \sigma_{xy} \ll \sigma_{xx} & 0 \\ \sigma_{yx} \ll \sigma_{xx} & 0 & 0 \\ 0 & 0 & 0 \end{bmatrix} \cong \begin{bmatrix} \sigma_{xx} & 0 & 0 \\ 0 & 0 & 0 \\ 0 & 0 & 0 \end{bmatrix}$$



4.4 LA FLEXION SIMPLE

40

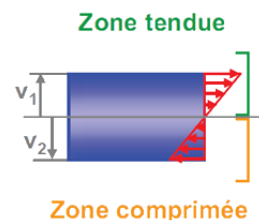
4.4.3 Dimensionnement

Le dimensionnement en flexion simple, est identique à celui de la flexion pure.

En effet, les contraintes de cisaillement induites par l'effort tranchant étant négligeables par rapport à celles de traction dues au moment de flexion, nous avons donc :

❑ Cas des matériaux symétriques:

$$\frac{|M_z|}{I_{Gz}} v \leq \sigma_u \quad \text{avec } v = \sup(V_1, V_2)$$



❑ Cas des matériaux non symétriques

- Dans la zone tendue:

$$|\sigma_{xx}| = \frac{|M_z|}{I_{Gz}} V_1 \leq \sigma_u$$

- Dans la zone comprimée:

$$|\sigma_{xx}| = \frac{|M_z|}{I_{Gz}} V_2 \leq \sigma'_u$$

❑ Concentration de contraintes



En cas de **variation brutale** de section, la contrainte nominale est multipliée par un coefficient de concentration de contraintes K_t qui dépend de "l'accident de forme"

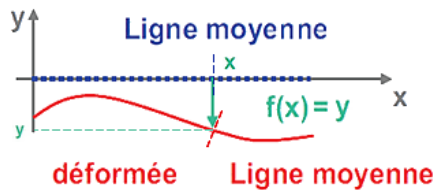
4.4 LA FLEXION SIMPLE

41

4.4.4 Les déplacements en flexion simple

□ Déplacements en flexion simple

Une poutre droite, soumise à de la flexion simple fléchit. Sa **déformée** est caractérisée par la **flèche** que prend la ligne moyenne (effet du moment fléchissant $M_z(x)$) et par le gauchissement de la section (considéré nul dans le cadre des hypothèses). (effet de l'effort tranchant T_y).



4.4 LA FLEXION SIMPLE

42

4.4.5 Équation de la déformée

□ Equation différentielle de la ligne moyenne fléchie - Equation de la "déformée"

Rayon de courbure d'une courbe plane

Soit une courbe plane continue, dans le plan (O, \vec{x}, \vec{y}) , d'équation :

$$y = f(x)$$

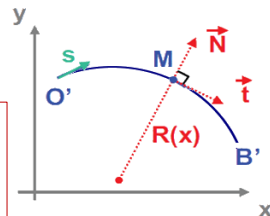
▪ **Propriété 3 (rayon de courbure)**

On notera s l'abscisse curviligne le long de la poutre orientée de O' vers B' , et $R(x)$ le rayon de courbure au point d'abscisse x .

Le **rayon de courbure $R(x)$** en un point donné de la courbe

définie par $y = f(x)$ se déduit par la relation* :

$$\frac{1}{R(x)} = \frac{\frac{d^2f(x)}{dx^2}}{\left[1 + \left(\frac{df(x)}{dx}\right)^2\right]^{3/2}} = \frac{f''(x)}{\left[1 + (f'(x))^2\right]^{3/2}}$$



4.4 LA FLEXION SIMPLE

43

4.4.5 Équation de la déformée (cas d'une poutre droite)

□ Ligne moyenne déformée d'une poutre droite

Dans le cas d'une poutre droite:

Propriété 4 (Equation de la **ligne moyenne déformée**)

Dans le cas de la flexion simple : $R(x) = -\frac{EI_{Gz}(x)}{M_z(x)}$ (cf. diapo. 33)
 I_{Gz} Moment quadratique d'inertie de la section S par rapport à l'axe principal z

La ligne moyenne déformée est une courbe plane d'équation $y = f(x)$ continue

avec : $\frac{1}{R(x)} = \frac{f''(x)}{[1 + (f'(x))^2]^{3/2}} = -\frac{M_z(x)}{EI_{Gz}(x)}$

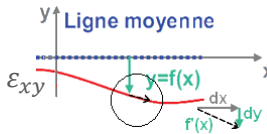
$$\frac{f''(x)}{[1 + (f'(x))^2]^{3/2}} = -\frac{M_z(x)}{EI_{Gz}(x)}$$



• $f'(x) = \frac{dy}{dx}$

$f'(x)$ est du même ordre de grandeur que ε_{xy}

En effet $\varepsilon_{xy} = \frac{1}{2} \left(\frac{\partial v}{\partial x} + \frac{\partial u}{\partial y} \right)$



4.4 LA FLEXION SIMPLE

44

4.4.5 Équation de la déformée (cas d'une poutre droite)

Dans le domaine élastique des petites déformations, les termes d'ordre 2 sont négligés :

$$\varepsilon_{ij}^2 \approx 0 \text{ donc } \left(\frac{df(x)}{dx} \right)^2 \approx 0$$

d'où l'équation différentielle de la ligne moyenne déformée $f''(x) = \frac{d^2 f(x)}{dx^2} \approx -\frac{M_z(x)}{EI_{Gz}(x)}$

Conclusion : $f''(x) = -\frac{M_z(x)}{EI_{Gz}(x)}$

Par intégrations successives, cette équation permet de déterminer l'équation de la **ligne moyenne déformée** $f(x)$. Elle introduit des constantes d'intégration, que l'on peut déterminer à partir des conditions aux limites du problème.

D'une manière générale, on utilise les conditions cinématiques associées aux divers appuis (liaisons) de la poutre étudiée :



4.4 LA FLEXION SIMPLE

45

4.4.5 Équation de la déformée (conditions aux limites)

Le moment fléchissant $M_3(x)$ est une fonction qui s'exprime par tronçon. Chaque liaison exerce une action passive sur la poutre, elle introduit une discontinuité de $M_3(x)$ et donc délimite un tronçon.

La double intégration de l'équation différentielle $f''(x) = -\frac{M_3(x)}{EI_{GZ}(x)}$ introduit alors deux constantes au niveau de chaque discontinuité de M_3 . Pour déterminer la valeur de ces constantes, on écrira la valeur que prend $f(x)$ au niveau du point de liaison et la continuité de sa dérivée en ce même point.

- **Appui simple ou liaison pivot** : (ex: en $x = X_0$)
 - le déplacement selon (O, \vec{y}) est imposé (en général nul) : $f(x = X_0) = 0$
 - il y a continuité de $\frac{df(x=X_0)}{dx}$ qui représente **l'angle de rotation** de la section droite par rapport à son orientation initiale : $f'\left(\begin{smallmatrix} x \rightarrow X_0 \\ x < X_0 \end{smallmatrix}\right) = f'\left(\begin{smallmatrix} x \rightarrow X_0 \\ x > X_0 \end{smallmatrix}\right)$
- **Encastrement** : peut toujours représenter une extrémité de poutre ($x = 0$ ou $x = L$)
 - le déplacement selon (O, \vec{y}) est imposé (en général nul) : $f(x = X_0) = 0$
 - $\frac{df(x=X_0)}{dx}$ est imposée (en général nulle) : $f'(x = 0) = 0$ et/ou $f'(x = L) = 0$



4.4 LA FLEXION SIMPLE

46

4.4.5 Équation de la déformée (conditions aux limites)

Cas d'un problème hyperstatique

Lorsque le problème est hyperstatique les étapes précédentes ne sont pas suffisantes pour résoudre complètement l'équation de la ligne moyenne déformée, des inconnues subsistent.

En effet $M_3(x)$ n'a pas pu être déterminé lors de la résolution du PFS, le nombre d'inconnues statiques étant supérieur à 3 (cas des problèmes plans).

A ce stade de résolution, des conditions limites supplémentaires : valeurs de déplacements $f(x = X_i)$ ou de rotations $f'(x = X_i)$ imposées mais non encore utilisées pourront permettre de résoudre l'équation de la ligne moyenne déformée.

Il s'agira ici d'identifier ces valeurs de déplacements $f(x = X_i)$ et/ou de rotations $f'(x = X_i)$ imposées pour finaliser la résolution de l'équation de la ligne moyenne déformée.

En général ces conditions limites supplémentaires sont identifiées au niveau des appuis



4.4 LA FLEXION SIMPLE

47

4.4.6 A RETENIR

Torseur des éléments de réduction

$${}_G\{\mathcal{F}_{ext}/g\} = \begin{Bmatrix} 0 & 0 \\ T_y(x) & 0 \\ 0 & M_z(x) \end{Bmatrix}_G \quad {}_G\{\mathcal{F}_{ext}/g\} = \begin{Bmatrix} 0 & 0 \\ 0 & M_y(x) \\ T_z(x) & 0 \end{Bmatrix}_G$$
$$\frac{dM_z(X)}{dX} = -T_y(X) \quad \frac{dM_y(X)}{dX} = T_z(X)$$

Etat de contrainte $v_1 \leq y \leq v_2$

$$[\sigma(y)] = \begin{bmatrix} \sigma_{11}(y) & 0 & 0 \\ 0 & 0 & 0 \\ 0 & 0 & 0 \end{bmatrix}_{(\vec{x}_G, \vec{y}_G, \vec{z}_G)}$$

Bilan Loi de Hooke uniaxiale

$$\begin{cases} \sigma_{11}(y) = \frac{M_z(x)}{I_{Gz}} \cdot y \\ \varepsilon_{11}(y) = \frac{M_z(x)}{E \cdot I_{Gz}} \cdot y \\ \sigma_{11}(y) = E \cdot \varepsilon_{11}(y) \end{cases}$$

I_{Gz} : moment quadratique


Etat de déformation

$$[\varepsilon(y)] = \begin{bmatrix} \varepsilon_{11}(y) & 0 & 0 \\ 0 & \varepsilon_{22}(y) & 0 \\ 0 & 0 & \varepsilon_{33}(y) \end{bmatrix}_{(\vec{x}_G, \vec{y}_G, \vec{z}_G)}$$

Equation de la déformée

$$E \cdot I_{Gz} \cdot \frac{\partial^2 f}{\partial x^2} = -M_z(x)$$

Critères de dimensionnement



IMT Nord Europe
Ecole Mines-Télécom
IMT-Université de Lille

➤ Critère en contrainte $\sigma_{max} < \sigma_u = \frac{R_e}{s}$ $s > 1,5$

PARTIE 3

4.1 FLEXION: CARACTÉRISATION

4.2 LA FLEXION PURE

4.3 FLEXION PURE PLANE

4.4 LA FLEXION SIMPLE

4.5 EXEMPLES D'APPLICATION


1. exemples

2. Essai flexion 4 points

4.6 LA FLEXION PURE PLANE (complément)

4.8 LA FLEXION DÉVIÉE (hors programme)

4 LA FLEXION



IMT Nord Europe
Ecole Mines-Télécom
IMT-Université de Lille

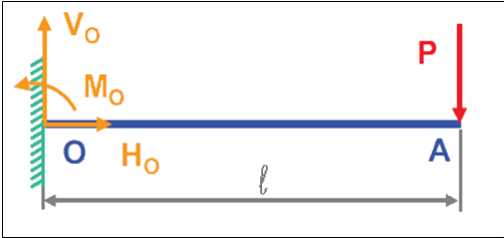
24

4.5 EXEMPLES D'APPLICATION

49

4.5.1 Application : poutre encastrée à l'une de ses extrémités

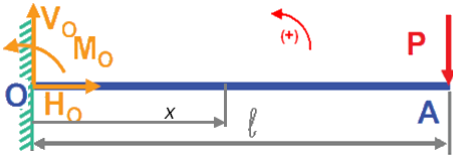
❑ **Exemple 1** : Soit une poutre droite d'inertie constante, de longueur L , encastrée à l'extrémité $x=0$, libre à l'autre extrémité A, supportant une charge ponctuelle P en A . Déterminer la flèche en $x = l$ et $x = l/2$.



4.5 EXEMPLES D'APPLICATION

50

4.5.1 Application : poutre encastrée à l'une de ses extrémités



	$0 \leq x < L$
$T_y(x)$	$-(-P)$
$M_z(x)$	$-(P(x-L))$
$f''(x)$	$\frac{1}{E \cdot I_{Gz}}(P(x-L))$
$f'(x)$	$\frac{1}{E \cdot I_{Gz}}\left(P \frac{(x-L)^2}{2} + C\right) \quad f'(x=0) = 0, C = -P \frac{L^2}{2}$
$f(x)$	$\frac{1}{E \cdot I_{Gz}}\left(P \frac{(x-L)^3}{6} - P \frac{L^2}{2}x + D\right) \quad f(x=0) = 0, D = P \frac{L^3}{6}$



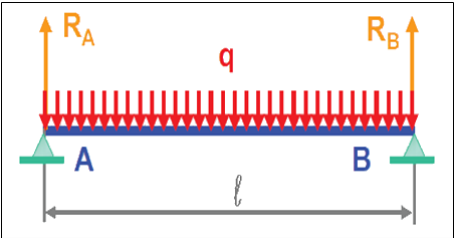
$$f(x=L) = \frac{1}{E \cdot I_{Gz}}\left(-P \frac{L^2}{2}L + P \frac{L^3}{6}\right) = -\frac{P}{E \cdot I_{Gz}} \frac{L^3}{3} \quad f\left(x=\frac{L}{2}\right) = -\frac{5P}{E \cdot I_{Gz}} \frac{L^3}{48}$$

4.5 EXEMPLES D'APPLICATION

51

4.5.2 Application : poutre sur deux appuis simples

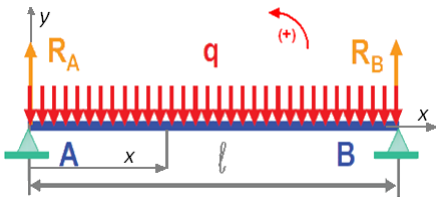
❑ **Exemple 2** : Soit une poutre droite d'inertie constante, de longueur l , sur deux appuis simples en A et B, supportant une charge répartie de densité q sur toute sa longueur. Déterminer la valeur de la flèche maximale.



4.5 EXEMPLES D'APPLICATION

52

4.5.2 Application : poutre sur deux appuis simples



$$R_A = R_B = \frac{q \cdot l}{2}$$

	$0 \leq x < L$	
$T_y(x)$	$q \cdot \left(\frac{l}{2} - x \right)$	
$M_z(x)$	$q \cdot \left(-\frac{lx}{2} + \frac{x^2}{2} \right)$	$f''(x) = \frac{-M_z(x)}{E \cdot I_{Gz}}$
$f'(x)$	$\frac{q}{E \cdot I_{Gz}} \left(\frac{Lx^2}{4} - \frac{x^3}{6} + C \right)$	$f'(x = \frac{l}{2}) = 0 \quad C = -\frac{L^3}{24}$
$f(x)$	$\frac{q}{E \cdot I_{Gz}} \left(\frac{Lx^3}{12} - \frac{x^4}{24} - \frac{L^3}{24}x + D \right)$	$f(x = 0) = 0 \quad D = 0$



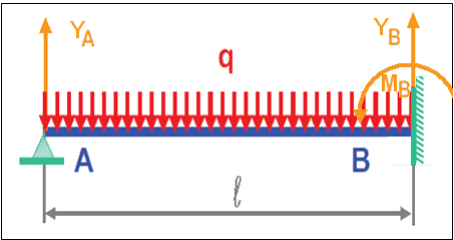
$$f_{maxi} = f\left(x = \frac{l}{2}\right) = \frac{q}{E \cdot I_{Gz}} \left(\frac{Lx^3}{12} - \frac{x^4}{24} - \frac{L^3}{24}x \right) = \frac{-q}{E \cdot I_{Gz}} \left(\frac{5L^4}{384} \right)$$

4.5 EXEMPLES D'APPLICATION

53

4.5.3 Application : poutre sur appui simple et encastrée (hyperstatique)

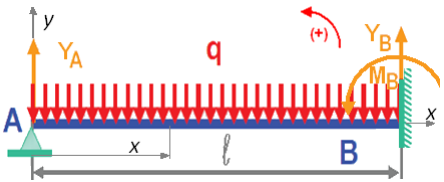
- ❑ **Exemple 3** : Soit une poutre droite d'inertie constante, de longueur l , sur un appui simple en A et encastrée en B, supportant une charge répartie de densité q sur toute sa longueur.
- Déterminer l'équation de la ligne moyenne déformée.
 - On pourra en déduire la valeur de la flèche maximale.



4.5 EXEMPLES D'APPLICATION

54

4.5.3 Application : poutre sur appui simple et encastrée (hyperstatique)



$$Y_A - q \cdot l + Y_B = 0$$
$$-Y_A \cdot L + q \cdot \frac{l^2}{2} + M_B = 0$$

	$0 \leq x < L$	
$T_y(x)$	$Y_A - q \cdot x$	
$M_z(x)$	$-Y_A \cdot x + q \cdot \frac{x^2}{2}$	$f''(x) = \frac{-M_z(x)}{E \cdot I_{Gz}}$
$f'(x)$	$\frac{1}{E \cdot I_{Gz}} \left(Y_A \cdot \frac{x^2}{2} - q \frac{x^3}{6} + C \right)$	$f'(x=L) = 0$
$f(x)$	$\frac{q}{E \cdot I_{Gz}} \left(Y_A \cdot \frac{x^3}{6} - q \frac{x^4}{24} + Cx + D \right)$	$f(x=0) = 0$

$$C = -Y_A \cdot \frac{L^2}{2} + q \frac{L^3}{6}$$

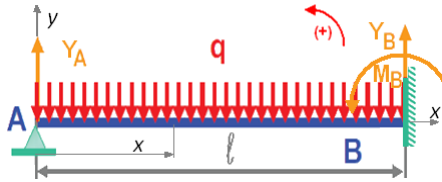
$$D = 0$$

$$f(x=L) = 0 \Rightarrow Y_A \cdot \frac{L^3}{6} - q \frac{L^4}{24} + \left(-Y_A \cdot \frac{L^2}{2} + q \frac{L^3}{6} \right) L = 0$$
$$Y_A \cdot \frac{1}{6} - q \frac{L}{24} - Y_A \cdot \frac{1}{2} + q \frac{L}{6} = 0 \Rightarrow -\frac{Y_A}{3} + q \frac{L}{8} = 0 \Rightarrow Y_A = \frac{3qL}{8}$$

4.5 EXEMPLES D'APPLICATION

55

4.5.3 Application : poutre sur appui simple et encastrée (hyperstatique)



$$\begin{aligned} Y_A - q \cdot l + Y_B &= 0 \\ -Y_A \cdot L + q \cdot \frac{l^2}{2} + M_B &= 0 \end{aligned}$$

	$0 \leq x < L$
$f'(x)$	$\frac{q}{E \cdot I_{Gz}} \left(\frac{3L}{8} \cdot \frac{x^2}{2} - \frac{x^3}{6} - \frac{L^3}{48} \right)$
$f(x)$	$\frac{q}{E \cdot I_{Gz}} \left(\frac{3L}{8} \cdot \frac{x^3}{6} - \frac{x^4}{24} - \frac{5L^3}{48} x \right)$

la flèche maximale lorsque $f'(x)=0$: $\frac{3L}{8} \cdot \frac{x^2}{2} - \frac{x^3}{6} - \frac{L^3}{48} = 0$ $x = L$
Est racine de cette équation
 $\Rightarrow -\frac{9L \cdot x^2 + 8 \cdot x^3 + L^3}{48} = 0 = (x - L)(8 \cdot x^2 - x \cdot L - L^2)$



Résolution de

$$8 \cdot x^2 - x \cdot L - L^2 = 0$$

$$\Delta = 33L^2$$

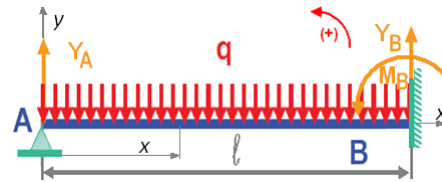
Seule la racine positive est utilisable

$$x_{fmax} = \frac{1 + \sqrt{33}}{16} L = 0,4215 L$$

4.5 EXEMPLES D'APPLICATION

56

4.5.3 Application : poutre sur appui simple et encastrée (hyperstatique)



$$\begin{aligned} Y_A - q \cdot l + Y_B &= 0 \\ -Y_A \cdot L + q \cdot \frac{l^2}{2} + M_B &= 0 \end{aligned}$$

	$0 \leq x < L$
$f'(x)$	$\frac{q}{E \cdot I_{Gz}} \left(\frac{3L}{8} \cdot \frac{x^2}{2} - \frac{x^3}{6} - \frac{5L^3}{48} \right)$
$f(x)$	$\frac{q}{E \cdot I_{Gz}} \left(\frac{3L}{8} \cdot \frac{x^3}{6} - \frac{x^4}{24} - \frac{5L^3}{48} x \right)$

la flèche maximale est donc $f(x = 0,4215 L) = \frac{q}{E \cdot I_{Gz}} \left(\frac{3L}{8} \cdot \frac{(0,4215 L)^3}{6} - \frac{(0,4215 L)^4}{24} - \frac{5L^3}{48} \cdot 0,4215 L \right)$

$$f(x = 0,4215 L) = \frac{q \cdot L^4}{E \cdot I_{Gz}} \left(\frac{3}{8} \cdot \frac{0,4215^3}{6} - \frac{0,4215^4}{24} - \frac{5 \cdot 0,4215}{48} \right) = -0,04054 \frac{q \cdot L^4}{E \cdot I_{Gz}}$$



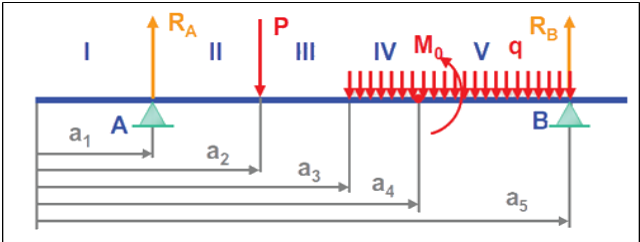
$$f_{max}(x = 0,4215 L) = -0,04054 \frac{q \cdot L^4}{E \cdot I_{Gz}}$$

4.5 EXEMPLES D'APPLICATION

57

4.5.3 Application : Équation générale de la ligne moyenne déformée

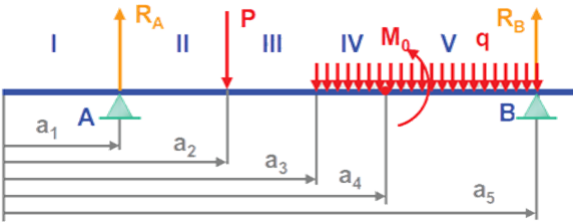
- ❑ **Exemple 3:** Soit une poutre droite reposant sur deux appuis simples de même niveau et supportant un nombre n de charges quelconques. Cette poutre peut être divisée en $(n+1)$ tronçons, correspondant chacun à une expression particulière de l'effort tranchant $T(x)$ et du moment fléchissant $M(x)$ et donc de la dérivée seconde de la déformée $f''(x)$.
- ❑ Établir pour chaque tronçon l'expression des éléments de réduction.
- ❑ Déterminer l'équation de la ligne moyenne déformée.



4.5 EXEMPLES D'APPLICATION

58

4.5.3 Application : Équation générale de la ligne moyenne déformée



$$\begin{aligned} R_a - P - q(a_5 - a_3) + R_b &= 0 \\ -P(a_2 - a_1) \\ -q(a_5 - a_3) \left(\frac{a_5 + a_3}{2} - a_1 \right) \\ + R_b(a_5 - a_1) + M_0 &= 0 \end{aligned}$$

$0 \leq x < a_1$	$a_1 \leq x < a_2$	$a_2 \leq x < a_3$	$a_3 \leq x < a_4$	$a_4 \leq x < a_5$
0	R_a	$R_a - P$	$R_a - P - q(x - a_3)$	
0	$-R_a \cdot (x - a_1)$	$-R_a \cdot (x - a_1) + P \cdot (x - a_2)$	$-R_a \cdot (x - a_1) + P \cdot (x - a_2) + q \frac{(x - a_3)^2}{2}$	$-R_a \cdot (x - a_1) + P \cdot (x - a_2) + q \frac{(x - a_3)^2}{2} + M_0$



PARTIE 3

4 LA FLEXION

4.1 FLEXION: CARACTÉRISATION

4.2 LA FLEXION PURE

4.3 FLEXION PURE PLANE

4.4 LA FLEXION SIMPLE

4.5 EXEMPLES D'APPLICATION

1. exemples
2. Essai flexion 4 points

4.6 LA FLEXION PURE PLANE (complément)

4.8 LA FLEXION DÉVIÉE (hors programme)



4.5 FLEXION PURE PLANE

60

4.5.2 Application : Essai de flexion 4 points

- ❑ **Exemple 1:** Flexion 4 points → Poutre chargée par 2 forces symétriques

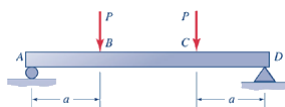
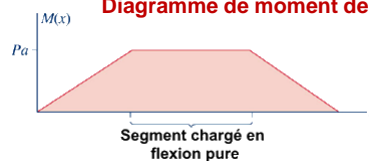
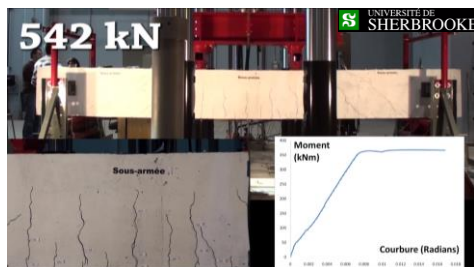
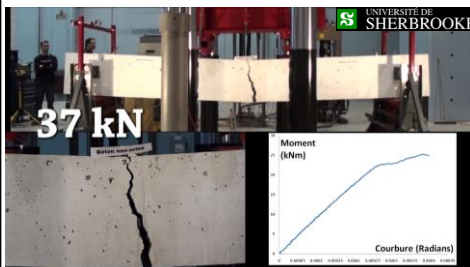


Diagramme de moment de flexion



- ❑ **Exemple 2:** Essais de flexion 4 points

- Poutre en béton non-armée
- Poutre en béton armé sous-armée



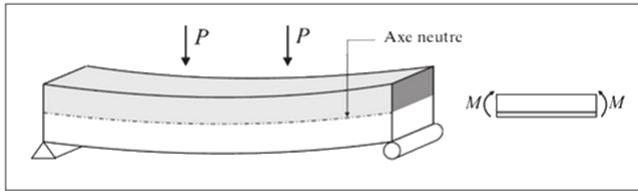
Pourquoi cette différence de mécanismes de rupture?

4.5 FLEXION PURE PLANE

61

4.5.2 Application : Essai de flexion 4 points Remarques concernant l'exemple 2

□ Comportement en flexion des poutres en béton:



Structures en Béton Armé
(source: Revu et Corrigé
D.O. Chaalla)

Une poutre en flexion, peut être imaginée en deux parties de part et d'autre de l'axe neutre :

- **Une Partie comprimée** (située au dessus de l'axe neutre): Dans cette zone la déformation est reprise par le béton (matrice).
- **Une Partie tendue** (située au dessous de l'axe neutre): le béton ayant une faible résistance à la traction, le transfert des contraintes de traction est assuré par les armatures (le renfort) .



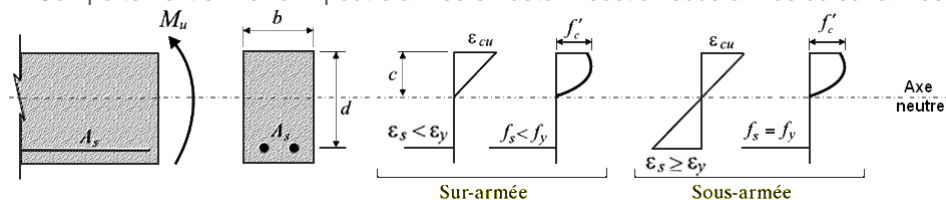
Le transfert de charges dépend de l'adhérence entre le béton et les armatures

4.5 FLEXION PURE PLANE

62

4.5.2 Application : Essai de flexion 4 points Remarques concernant l'exemple 2

□ Comportement en flexion : poutre armée en béton : section sous-armée ou sur armée



Le comportement de l'armature (renfort) lors de la rupture de la poutre permet de classer la poutre:

- **Etat élastique** : Section dite **sur-armée**: la ruine de la poutre est due à la rupture en compression du béton situé au-dessus de l'axe neutre alors que l'armature métallique reste en comportement élastique . La rupture de la poutre présente dans ce cas un caractère fragile (brutal) **(à éviter)**
- **Etat plastique** : Section dite **sous-armée**: l'armature métallique ductile est soumise à une contrainte de traction dans la zone plastique de son comportement, avant que le béton ait atteint sa contrainte de rupture en compression. Une section sous-armée présente un mode de rupture plus sécuritaire car, en profitant du comportement ductile des armatures en acier, elle permet d'éviter une rupture fragile. **(à privilégier)**



4.5 FLEXION PURE PLANE

63

4.5.10 Flexion pure plane : application directe

□ Exemple: Flexion quatre points

Soit une poutre section droite est rectangulaire (hauteur h , largeur $b=3h$).
et le chargement définis sur la figure.

- Déterminer les diagrammes des efforts tranchants et des moments fléchissants, ainsi que la contrainte normale maximale, le rayon de courbure de la fibre moyenne et la flèche au centre de la poutre
- Application numérique :

$l=400\text{mm}$
 $a=100\text{mm}$
 $E=200000\text{MPa}$
 $P=300\text{ N}$
 $\sigma_u=160\text{ MPa}$



PARTIE 3

4 LA FLEXION

4.1 FLEXION: CARACTÉRISATION

4.2 LA FLEXION PURE

4.3 FLEXION PURE PLANE

4.4 LA FLEXION SIMPLE

4.5 EXEMPLES D'APPLICATION

4.6 LA FLEXION PURE PLANE (complément)

1. Rendement géométrique

4.8 LA FLEXION DÉVIÉE (hors programme)

4.6 FLEXION PURE PLANE (complément)

65

4.6.1 Flexion pure plane : Rendement géométrique

- Soit une poutre sollicitée en flexion pure plane ($M_y = 0$; $M_z \neq 0$)
- Le **dimensionnement** en flexion **le plus économique** est tel que les contraintes maximales de traction et de compression sont toutes les deux exactement égales aux contraintes limites d'utilisation en traction et en compression.

Il est tel que:

$$\begin{cases} \frac{|M_z|}{I_{Gz}} v_1 \leq \sigma_u \\ \frac{|M_z|}{I_{Gz}} v_2 \leq \sigma'_u \end{cases} \Leftrightarrow \begin{cases} \frac{I_{Gz}}{v_1} \geq \frac{|M_z|}{\sigma_u} \\ \frac{I_{Gz}}{v_2} \geq \frac{|M_z|}{\sigma'_u} \end{cases}$$

- Les quantités $\frac{I_{Gz}}{v_1}$ et $\frac{I_{Gz}}{v_2}$ sont appelées **modules d'inertie** ou **modules de résistance** de la section droite.



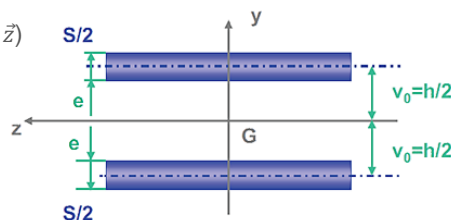
4.6 FLEXION PURE PLANE (complément)

66

4.6.2 Flexion pure plane : Rendement géométrique / Poutre idéale

- Dans une **poutre idéale**, c.à.d. de rendement optimal, toutes les fibres subissent les contraintes limites. Zone tendue
- En se rappelant de la distribution des contraintes en **flexion pure plane**, toutes les fibres doivent être des fibres extrêmes (proches du contour de la poutre). Zone comprimée
- Dans le cas d'un matériau **d'un matériau symétrique** ($\sigma_e = |\sigma'_e|$), la section d'une telle poutre devrait être constituée de **deux membranes identiques de même épaisseur**.
- Le module d'inertie par rapport à l'axe (G; \vec{z}) de cette poutre idéale est donné par:

$$\frac{I_{Gz}}{v_0} = \frac{(S \cdot h^2/4)}{h/2} = \frac{S \cdot h}{2}$$



4.6 FLEXION PURE PLANE (complément)

67

4.6.2 Flexion pure plane : Rendement géométrique / Poutre idéale

- Soit une poutre sollicitée par un chargement en flexion pure ($M_y = 0$; $M_z \neq 0$)
- Le **rendement géométrique** ρ est égal au rapport du module d'inertie I/v sur le module d'inertie de la poutre idéale $\frac{S.h}{2}$

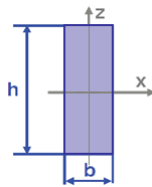
$$\rho = \frac{I/v}{S.h/2} = \frac{I}{v} \times \frac{2}{S.h}$$

□ Applications directes:

Déterminer le rendement géométrique des sections suivantes:

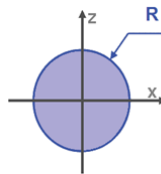
- 1^{er} cas:

Section rectangulaire



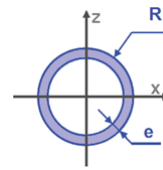
- 2^{ème} cas:

Section circulaire



- 3^{ème} cas:

Section annulaire



PARTIE 3

Fin Partie 3

